

IV BÖLM

N Z R V R YAZ F Z KA, YÜKS K ENERJ L R F Z KASI,
ASTROF Z KA V EKO-ELML R

**BDU-nun Fizika Problemləri İnstitutunun yaradılmasının 10 illiyin həsr olunmuş
Beynəlxalq konfrans**

LEPTON-NUKLON DƏRİŞİKLİYİNİN QEYR-ELASTİK SİPİLMƏSİNİN HİQQS BOZONUN YARANMASI

S.Q. Abdullayev, L.A. Amaliyeva, M. Qocayev

Bakı Dövlət Universiteti

ag.leyla@hotmail.com, m_qocayev@mail.ru

Standart Model çərçivəsində lepton-nuklon dərişikliyi $lN \Rightarrow lHX$, $lN \Rightarrow \nu_l HX$, $\nu_l N \Rightarrow \nu_l HX$, $\nu_l N \Rightarrow \bar{\nu}_l HX$ s pilm proseslərində skalyar Higgs bozonunun ZZ- və WW-bozonların birlişməsi nəticəsində yaranması mexanizmləri təfərrüfatlı öyrənilmişdir. Kvark-parton modeli çərçivəsində göstərilmişdir ki, $lq \Rightarrow lqH$ prosesi $l_L q_L \Rightarrow l_L q_L H$, $l_L q_R \Rightarrow l_L q_R H$, $l_R q_L \Rightarrow l_R q_L H$ və $l_R q_R \Rightarrow l_R q_R H$ spiral proseslərinin uyğun dörd spiral amplitudla (F_{LL}, F_{LR}, F_{RL} və F_{RR}), neytrino-kvark s pilmində Higgs bozonunun yaranması prosesi $\nu_l q_L \Rightarrow \nu_l q_L H$ və $\nu_l q_R \Rightarrow \nu_l q_R H$ spiral proseslərinin uyğun iki spiral amplitudla (F_{LL} və F_{LR}) təsvir olunur. WW-bozonların birlişməsi nəticəsində Higgs bozonunun doğulması prosesinin isə yalnız bir spiral amplitud uyğun gəlir. Göstərilən spiral proseslərin effektiv kəməlləri və tam effektiv kəməlləri üçün analitik ifadələr alınmış, kvarkların nuklon daxilində paylanma funksiyalarından istifadə edilmiş, effektiv kəməllərin xarakteristik qrafikləri qurulmuşdur.

Standart Modelin (SM) mühüm müddəalarından biri skalyar Higgs bozonunun varlığını vətəndaşın söyləmiş olmasıdır. 2012-ci ildə Böyük Hadron Kollayderində ATLAS və CMS kollaborasiyaları tərəfindən aparılan eksperimentlərdə Higgs bozonu kəşf edildi və onun kütləsinin 125 GeV tərtibində olması müəyyənləndirildi. Higgs bozonunun kəşfi ilə əlaqədar olaraq onun müxtəlif yaranma və çevrilmə kanallarının nəzəri öyrənilməsi mühüm həmiyyət tələb edir. Bu məqsədlə tədqiqat olunan idə lepton-nuklon dərişikliyi s pilm proseslərində Higgs bozonunun ZZ- və WW-bozonların birlişməsi nəticəsində yaranması mexanizmləri öyrənilmişdir:

$$l + N \Rightarrow l + H + X, \quad (1) \quad \nu_l + N \Rightarrow \nu_l + H + X, \quad (3)$$

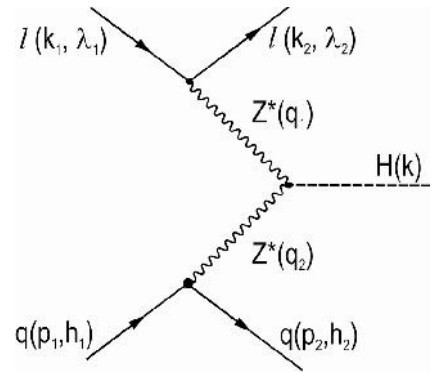
$$l + N \Rightarrow \nu_l + H + X, \quad (2) \quad \nu_l + N \Rightarrow \bar{\nu}_l + H + X, \quad (4)$$

burada l –yüklü lepton (e və ya μ), ν_l –uyğun leptonun neytrinosu (ν_e və ya ν_μ), X isə qeyd alınmayan hadronlar sistemidir.

ZZØH mexanizmi. Kvark-parton modelin görə, (1) prosesi yüklü lepton-kvark (antikvark) s pilmində Higgs bozonunun yaranması ilə əlaqədardır: $l + q \Rightarrow l + q + H$, $l + \bar{q} \Rightarrow l + \bar{q} + H$.

$lq \Rightarrow lqH$ prosesinin Feynman diaqramı 1-ci kild təsvir edilmişdir (mötərizlərdə zərriçlərin 4-ölçülü impulsları və spirallıqlar göstərilmişdir).

Məlumdur ki, fundamental fermionun (leptonun və ya kvarkın) Z bozonla və Z-bozonların Higgs bozonla qarılıqlı təsirləşmələri aşağıdakı kild yazılır:



kil 1. $lq \Rightarrow lqH$ prosesinin Feynman diaqramı.

$$L_{ffZ} = \frac{e}{2 \sin \theta_w \cdot \cos \theta_w} \bar{f} \gamma_\mu [g_L(f)(1 + \chi_5) + g_R(f)(1 - \chi_5)] f \cdot Z_\mu, \quad (5)$$

$$L_{ZZH} = \frac{eM_Z}{2 \sin \theta_w \cdot \cos \theta_w} Z_\mu Z_\nu g_{\mu\nu} H(k),$$

burada

$$g_L(f) = I_3(f) - Q_f \sin^2 \theta_w, \quad g_R(f) = -Q_f \sin^2 \theta_w \quad (6)$$

– fermionun Z-bozonla sol və sağ rabitə sabitləri, θ_w – Vaynberq bucağı, $I_3(f)$ və Q_f – fermionun z if izospininin üçüncü proyeksiyası və elektrik yüküdür.

$lq \Rightarrow lqH$ prosesin dörd spiral amplitudu uyğun gəlir: F_{LL}, F_{LR}, F_{RL} və F_{RR} (burada birinci və ikinci indekslər leptonla kvarkın spirallıqlarını göstərir). H min spiral amplitudlara aiddir.

$$\begin{aligned} l_L + q_L &\Rightarrow l_L + q_L + H, & l_L + q_R &\Rightarrow l_L + q_R + H, \\ l_R + q_L &\Rightarrow l_R + q_L + H, & l_R + q_R &\Rightarrow l_R + q_R + H \end{aligned}$$

və

$$\begin{aligned} F_{LL} &= D_1 D_2 g_L(e) g_L(q), & F_{LR} &= D_1 D_2 g_L(e) g_R(q), \\ F_{RL} &= D_1 D_2 g_R(e) g_L(q), & F_{RR} &= D_1 D_2 g_R(e) g_R(q) \end{aligned} \quad (7)$$

ifadələri ilə yazılır.

Ayrı-ayrı spiral proseslərin effektiv kəmərlərinin ifadələri arasında $lq \Rightarrow lqH$ prosesinin bəzən icazəli spiralıqlarına görə ortalanmış, son zərərli spiralıqlarına görə isə cəmiyyəti tam effektiv kəməri üçün aiddir.

$$\begin{aligned} \dagger(lq \Rightarrow lqH) &= \frac{1}{4} [\dagger(l_L q_L \Rightarrow l_L q_L H) + \dagger(l_L q_R \Rightarrow l_L q_R H) + \dagger(l_R q_L \Rightarrow l_R q_L H) + \dagger(l_R q_R \Rightarrow l_R q_R H)] = \\ &= \frac{1}{16M_Z^2} \left(\frac{r}{x_w(1-x_w)} \right)^3 [g_L^2(e) + g_R^2(e)][g_L^2(q) + g_R^2(q)] \cdot f(r_H). \end{aligned} \quad (8)$$

Burada

$$f(r_H) = (1+r_H) \ln \frac{1}{r_H} - 2 + 2r_H \quad (9)$$

funksiyası daxil edilmiş, $r_H = M_H^2 / \hat{s}$ və M_H – Higgs bozonun kütləsidir.

Lepton-antikvark s-pilməsinin ($l\bar{q} \Rightarrow l\bar{q}H$) effektiv kəməri də eynilə (8) ifadəsi ilə verilir.

Neytrino-nuklon dərəcə qeyri-elastik s-pilməsinə Higgs bozonun yaranması prosesi ($\nu N \Rightarrow \nu HX$) dərəcə $ZZ \Rightarrow H$ mexanizmi hesabına bəzən onun kvark-parton alt prosesi

$$\nu(k_1) + q(p_1, h_1) \Rightarrow \nu(k_2) + q(p_2, h_2) + H(k)$$

reaksiyasıdır. Kvark-parton prosesin iki spiral amplitudu uyğun gəlir: F_{LL} və F_{LR} (neytrino sol polyariz olunmuş zərərli ciktir). H min spiral amplitudlar $\nu + q_L \Rightarrow \nu + q_L + H$, $\nu + q_R \Rightarrow \nu + q_R + H$ proseslərini təsvir edir və

$$F_{LL} = D_1 D_2 g_L(\nu) g_L(q), \quad F_{LR} = D_1 D_2 g_L(\nu) g_R(q) \quad (10)$$

ifadələri ilə yazılır.

Ayrı-ayrı spiral proseslərin effektiv kəmərlərinin ifadələri arasında $\nu q \Rightarrow \nu qH$ prosesinin

tam effektiv kəsiyi üçün aşağıdakı ifadə alınmışdır:

$$\dagger(v_{\bar{q}} \Rightarrow v_{\bar{q}}H) = \frac{1}{16M_Z^2} \cdot \left(\frac{r}{x_w(1-x_w)} \right)^3 g_L^2(v)[g_L^2(q) + g_R^2(q)] \cdot f(r_H) \quad (11)$$

Neytrino-antikvark prosesinin $v_{\bar{q}} \Rightarrow v_{\bar{q}}H$ effektiv kəsiyi (11) düsturu ilə hesablanır.

WWØH mexanizmi. Lepton-nuklon dövrün qeyri-elastiki prosesində Higgs bozon W -bozonların birlişməsi mexanizmi $WW \Rightarrow H$ növündə yaranabilir. Beləliklə (2) və (4) prosesləri üçün kvark-parton alt prosesləri

$$l + q \Rightarrow \nu_l + q'H, \quad \bar{\nu}_l + q \Rightarrow \bar{l} + q'H$$

ola bilər və onlara uyğun Feynman diaqramı 2-ci kildə verilmişdir.

Yüklü zifcərlərə sol polariz olunmuş zirkul daxil olduqdan bir spiral amplitud sıfırdan fərqlənir: $l_L q_L \Rightarrow \nu_L q'_L H$.

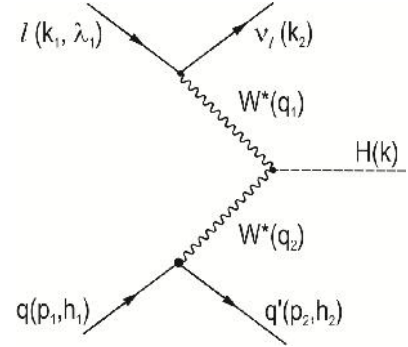
$lq \Rightarrow \nu_l q'H$ prosesinin tam effektiv kəsiyi üçün alınmış ifadə

$$\dagger(lq \Rightarrow \nu_l q'H) = \frac{|U_{qq'}|^2}{16M_W^2} \left(\frac{r}{x_w} \right)^3 \cdot f(r_H) \quad (12)$$

klindir. Burada $U_{qq'} = \cos \theta_C$ ($u \Leftrightarrow d$ keçidində) və ya $\sin \theta_C$ ($u \Leftrightarrow s$ keçidində) ola bilər, θ_C – Kabibbo bucağı, M_W – W -bozonun kütləsidir.

Analoji kildə $\bar{\nu}_l + q \Rightarrow \bar{l} + q'H$ prosesinin də effektiv kəsiyi hesablanmışdır:

$$\dagger(\bar{\nu}_l q \Rightarrow \bar{l} q'H) = \frac{|U_{qq'}|^2}{16M_W^2} \left(\frac{r}{x_w} \right)^3 f(r_H). \quad (13)$$



Şəkil 2. $lq \Rightarrow \nu_l q'H$ prosesinin Feynman diaqramı

Növ I rin müzakirəsi. Kvark-parton proseslərinin effektiv kəsiyi məlum olduqda lepton-nuklon dövrün qeyri-elastiki proses zamanı Higgs bozonun yaranması proseslərinin effektiv kəsiyini asanlıqla hesablaya bilərik:

$$\begin{aligned} \frac{d\dagger}{dx}(lN \Rightarrow lHX) &= \sum_q q(x) \dagger(lq \Rightarrow lqX) = \\ &= \frac{1}{16M_Z^2} \left(\frac{r}{x_w(1-x_w)} \right)^3 [g_L^2(e) + g_R^2(e)] \sum_q q(x) [g_L^2(q) + g_R^2(q)] \cdot f(r_H); \end{aligned} \quad (14)$$

$$\frac{d\dagger}{dx}(lN \Rightarrow \nu_l HX) = \sum_q \sum_{q'} q(x) \dagger(lq \Rightarrow \nu_l q'H) = \frac{1}{16M_W^2} \left(\frac{r}{x_w} \right)^3 \sum_q \sum_{q'} |U_{qq'}|^2 q(x) f(r_H); \quad (15)$$

$$\begin{aligned} \frac{d\dagger}{dx}(v_{\bar{N}} \Rightarrow v_{\bar{N}} HX) &= \sum_q q(x) \dagger(v_{\bar{q}} \Rightarrow v_{\bar{q}} H) = \\ &= \frac{1}{16M_Z^2} \left(\frac{r}{x_w(1-x_w)} \right)^3 g_L^2(v) \sum_q q(x) [g_L^2(q) + g_R^2(q)] \cdot f(r_H); \end{aligned} \quad (16)$$

$$\frac{d\Gamma}{dx}(v_{-}N \Rightarrow \sim HX) = \sum_q \sum_{q'} q(x) \Gamma(v_{-}q \Rightarrow \sim Hq') = \frac{1}{16M_W^2} \left(\frac{r}{x_w}\right)^3 \sum_q \sum_{q'} |U_{qq'}|^2 q(x) f(r_H). \quad (17)$$

Burada cəmiyyətlə nükleonun tərkibindəki bütün kvark və antikvarkların sayı ayrılır, $q(x)$ – nükleon daxilində kvarkın (antikvarkın) paylanma funksiyasıdır. Əldə edilən hesablamalar $\sim + p \Rightarrow \sim + H + X$, $\sim + p \Rightarrow v_{-} + H + X$, $v_{-} + p \Rightarrow v_{-} + H + X$ və $v_{-} + p \Rightarrow v_{-} + H + X$ prosesləri üçün aparılmışdır. Müon (neytrino)-proton sisteminin tam enerjisi $\sqrt{s} = 500 \text{ GeV}$, Higgs bozonunun kütləsi $M_H = 125 \text{ GeV}$, Vaynberq parametri $x_w = 0,232$ olduğu hesab edilmişdir. Proton daxilində kvarkların və antikvarkların paylanma funksiyaları dəqiqədən götürülmüşdür.

3-cü kild müon-proton $\sim + p \Rightarrow \sim + H + X$ prosesinin effektiv kəsməsinin x dəyərinə nisbətli qrafiki verilmişdir. Hesablamalarda aralıq Z-bozonun kütləsi $M_Z = 91,1875 \text{ GeV}$ qəbul edilmişdir.

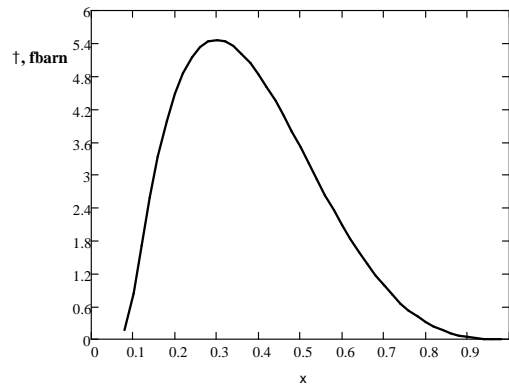
Göründüyü kimi, x dəyərinin artması ilə effektiv kəsmə artır və $x \approx 0,31$ olduqda maksimal qiymətini alır, x dəyərinin sonrakı artması ilə effektiv kəsmə monoton olaraq sıfıra qədər azalır.

4-cü kild $x \approx 0,31$ və $M_H = 125 \text{ GeV}$ olduqda $\sim + p \Rightarrow \sim + H + X$ prosesinin effektiv kəsməsinin enerjidən nisbətli qrafiki verilmişdir. Qrafik görüldüyü kimi, enerjinin artması ilə effektiv kəsmə artması müəhlid olunur.

Müon-proton prosesində qeyri-elastik prosesində Higgs bozonunun yaranması prosesinin effektiv kəsməsinin M_H kütləsindən nisbətli qrafiki 5-ci kild nümayiş etdirilmişdir.

Qrafikdə göründüyü kimi, Higgs bozonunun kütləsinin artması ilə prosesin effektiv kəsməsi azalır. Hesablamalarda $\sqrt{s} = 500 \text{ GeV}$ və $x \approx 0,31$ olduğu qəbul edilmişdir.

Analoji olaraq, $v_{-} + p \Rightarrow \bar{\nu}_{-} + H + X$, $v_{-} + p \Rightarrow \sim + H + X$ və $\sim + p \Rightarrow \bar{\nu}_{-} + H + X$ prosesləri üçün də müvafiq nisbətliqlər tədqiq edilmiş və nəticələr qrafik təsvir olunmuşdur.



kil 3. $\sim p \Rightarrow \sim HX$ prosesinin effektiv kəsməsinin x -dəyərinə nisbətli qrafiki

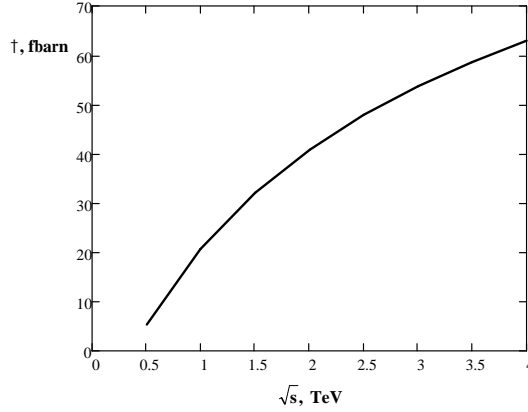


Fig. 4. $\sigma \Rightarrow \sigma_{HX}$ prosesinin effektiv kəsməsinin enerjiden asılılığı

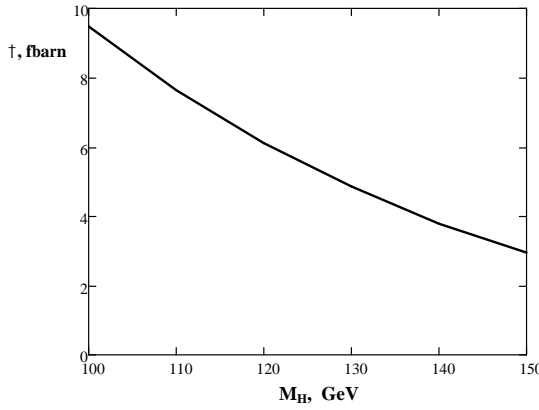


Fig. 5. $\sigma \Rightarrow \sigma_{HX}$ prosesinin effektiv kəsməsinin Higgs bozonunun kütləsindən asılılığı

H QQS BOZONUN ÇEVRELİM KANALLARI

S.Q. Abdullayev, M. M. Qocayev

Bakı Dövlət Universiteti

s_abdullayev@mail.ru, m_qocayev@mail.ru

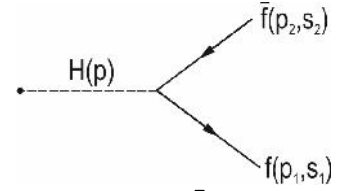
Böyük Hadron Kollayderində 2012-ci ildə ATLAS və CMS kollaborasiyaları tərəfindən aparılan təcrübələrdə kütləsi 125 GeV olan Higgs bozonunun varlığını aşkarlandı. Yeni skalyar bozonun digər zərərçiklilərlə əlaqəli sabitlərinin dəqiq ölçülməsi bu zərərçiyin Standart Modelin Higgs bozonu olub-olmaması məsələsində aydınlıq gətirib. Bu nöqtəyi nəzərdən Higgs bozonunun müxtəlif çevrilmə və doğulma kanallarının nəzərdə tutulmuş maraqlı artmışdır.

Tədqiqat olunan Higgs bozonunun müxtəlif çevrilmə kanallarının tədqiqat əhəmiyyəti artır. Bu məqalədə aşağıdakı proseslər baxılmışdır:

$$\begin{aligned}
 H &\rightarrow f + \bar{f}, & (1) & \quad H &\rightarrow Z + f + \bar{f}, & (2) & \quad H &\rightarrow W + f + \bar{f}', & (3) \\
 H &\rightarrow \chi + \chi, & (4) & \quad H &\rightarrow \chi + Z. & (5) & \quad H &\rightarrow g + g. & (6)
 \end{aligned}$$

Hiqqs bozonun leptonlara (kvarklara) çevrilməsi. (1) prosesinin Feynman diaqramı kəllə 1-d göstərilmişdir (mötərizdə zərərçiklərin 4-impulsu və polarizasiya vektorları verilmişdir).

Əldə biyyatda eyni zamanda psevdoskalyar bozonu da nəzərdən keçirilir. Bu məqsədlə Φ bozonu götürülür ki, onun fermion cütü ilə qarılıqlı təsiri eyni zamanda həm CP -cüt və həm də CP -təklissizlikə malik olsun:



k. 1. $H \rightarrow f\bar{f}$ prosesinin Feynman diaqramı

$$M(\Phi \rightarrow f\bar{f}) = \frac{m_f}{y} [\bar{u}(p_1, s_1)(a + b\gamma_5)u(p_2, s_2)]\Phi(p). \quad (7)$$

Burada m_f – fermionun kütləsi, $y = (\sqrt{2}G_F)^{-1/2} = 246 \text{ GeV}$ – Hiqqs bozon sahəsinin vakuüm qiyməti, G_F – zəif qarılıqlı təsirin Fermi sabiti, $\Phi(p)$ – Φ -bozonun vahid normallaşdırılmış dalğa funksiyası, a və b – ixtiyari sabitlərdir.

(7) ifadəsində $\Phi \rightarrow f\bar{f}$ prosesinin çevrilmə ehtimalı üçün ifadə alınmış və müəyyən olunmuşdur ki, eyni polarlaşmış fermion-antifermion cütünün spinləri paralel olduqda Φ -bozon CP -cüt, antiparalel olduqda isə CP -təklissizlikə qarılıqlı təsir hesabına çevrilir. Φ -bozonun uzununa polarlaşmış fermion-antifermion cütünə çevrilməsi isə fermion və antifermionun eyni spirallı əlaqəyə malik olduu halda mümkündür.

Φ -bozonun fermion-antifermion cütünün spin halları üzrə cəmiyyəti çevrilmə ehtimalı aşağıdakı ifadə ilə təyin olunur:

a) skalyar Hiqqs bozonu üçün –

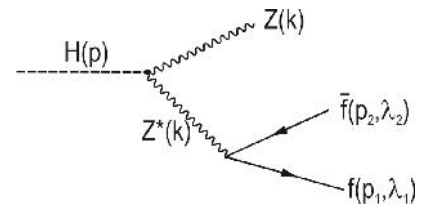
$$\Gamma(H \Rightarrow f\bar{f}) = \frac{G_F N_C}{4\sqrt{2}f} M_H m_f^2 S_f^3; \quad (8)$$

b) psevdoskalyar A bozonu üçün –

$$\Gamma(A \Rightarrow f\bar{f}) = \frac{G_F N_C}{4\sqrt{2}f} M_A m_f^2 S_f, \quad (9)$$

burada M_H və M_A – uyğun olaraq skalyar və psevdoskalyar bozonların kütlələri, N_C – rəng vuru (leptonlar üçün $N_C = 1$, kvarklar üçün $N_C = 3$), $S_f = \sqrt{1 - 4m_f^2/M_\Phi^2}$ – fermionun sürətidir. Nəticələrdə müxtəlif proseslərin çevrilməsinin Hiqqs bozonun kütləsindən asılılıq tədqiq edilmiş və qrafik asılılıqlar qurulmuşdur.

Hiqqs bozonun $Z(W)$ -bozon və fermion cütünə çevrilməsi. Enerji-impulsun saxlanması qanununa görə Hiqqs bozon $H \rightarrow ZZ^* \rightarrow Zf\bar{f}$, $H \rightarrow WW^* \rightarrow Wf\bar{f}$, kanalları üzrə çevrilə bilər (burada Z^* və W^* – virtual bozonlardır). vətəlcə $H \rightarrow ZZ^*$ prosesin baxılmışdır (kəllə 2) (mötərizdə zərərçiklərin 4-impulsu; fermionun və antifermionun spirallıqları λ_1 , λ_2 göstərilmişdir).



k. 2. $H \rightarrow Zf\bar{f}$ prosesinin Feynman diaqramı

Hiqqs bozonun çevrilməsinin tam ehtimalı üçün aşağıdakı ifadə alınmışdır:

$$\Gamma(H \Rightarrow Z\bar{f}f) = \frac{e^2 N_C}{384 f^3} \cdot \left(\frac{M_Z}{y}\right)^2 \cdot M_H \cdot \frac{g_L^2(f) + g_R^2(f)}{x_W(1-x_W)} \cdot R(x). \quad (10)$$

Burada $g_L(f) = I_3(f) - Q_f \sin^2 \theta_W$, $g_R(f) = -Q_f \sin^2 \theta_W$ – fermionun neytral Z-bozonu ilə sol və sağ əlaqə sabitləri, θ_W – Vaynberq bucağı, $x_W = \sin^2 \theta_W$ – Vaynberq parametri,

$$R(x) = \frac{3(20x^2 - 8x + 1)}{\sqrt{4x-1}} \arccos\left(\frac{3x-1}{2x\sqrt{x}}\right) - \frac{3}{2}(4x^2 - 6x + 1) \ln x - \frac{1-x}{2x}(47x^2 - 13x + 2) \quad (11)$$

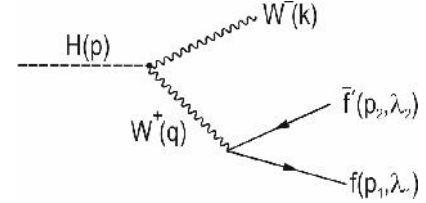
və $x = (M_Z/M_H)^2$.

$\sum_f N_C [g_L^2(f) + g_R^2(f)]$ ifadəsini məlum fermionlar üzrə (t-kvarkdan başqa) cəmləməklə bütün mümkün $H \Rightarrow Z\bar{f}f$ kanalları üzrə Hiqqsbosonun tam çevrilməsinin üçün əldə edilən ifadəni yazmaq olar:

$$\Gamma_{tot}(H \rightarrow Z\bar{f}f) = \frac{r}{32f^2} \cdot \frac{M_H}{x_W(1-x_W)} \left(\frac{M_Z}{y}\right)^2 \left(\frac{7}{4} - \frac{10}{3}x_W + \frac{40}{9}x_W^2\right) \cdot R(x). \quad (12)$$

Eyni qayda ilə hesablamalar aparmaqla Hiqqsbosonun $H \rightarrow W\bar{f}f$ kanalı üzrə çevrilməsinin ($f = \nu_e, \nu_\mu, \nu_\tau, u, c, \bar{f}' = e^+, \mu^+, \tau^+, \bar{d}, \bar{s}$) (kil 3) təməlini üçün əldə edilən ifadəni alırıq.

$$\Gamma(H \rightarrow W\bar{f}f) = \frac{3r}{32f^2} \frac{M_H}{x_W} \left(\frac{M_W}{y}\right)^4 \cdot R(x), \quad (13)$$

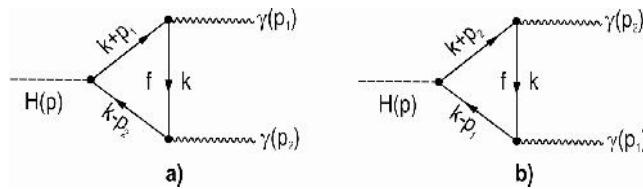


k. 3. $H \rightarrow W^+ \bar{f}f$ prosesinin Feynman diaqramı

burada $R(x)$ funksiyası $x = (M_W/M_H)^2$ nəzərə alınmaqla (11) ifadəsi ilə hesablanır.

Əldə edilən (12) və (13) ifadələri əsasında Hiqqsbosonun $H \Rightarrow Z\bar{f}f$ və $H \rightarrow W\bar{f}f$ sxemləri üzrə çevrilməsinin Hiqqsbosonun kütləsindən asılılı tədqiq edilməsinə nəticələnən grafik təsvir olunmuşdur.

Hiqqsbosonun fotonlara çevrilməsi. Fotonlar (qlüonlar) kütləsiz zərriçklər olduqundan, $H \rightarrow \gamma\gamma$ çevrilməsi virtual yüklü zərriçklər hesabına kil 4-də təsvir olunmuş üçbucaqlı diaqramlar üzərində verilir.



k. 4. $H \rightarrow \gamma\gamma$ prosesinin Feynman diaqramları

Qradiyent invariantlığına əsasən $H \rightarrow \gamma\gamma$ çevrilməsinin matris elementi

$$M(H \rightarrow \gamma\gamma) = A^X a_{\gamma}^{*(1)} a_{\gamma}^{*(2)} [p_2 \cdot p_{1\epsilon} - (p_1 \cdot p_2) g_{\gamma\epsilon}], \quad (13)$$

klind yazıla bilər. Burada $a_{\epsilon}^{*(1)}$ və $a_{\epsilon}^{*(2)}$ – fotonların 4-ölçülü polyarlaşma vektorları, p_1 və p_2 – uyun impulsları, $A^X = A_f^X + A_W^X$ is fermion və W - diaqramlarının (ilgiklərinin) amplituda verdiyi payı xarakteriz edən həddir.

X -kvantların sirkulyar polyarizasiyaları üzrə cəmlənə aparmaqla və fermion və W -bozon ilgiklərinin amplituda verdiyi payı nəzərə almaqla $H \rightarrow \chi\chi$ çevrilmə prosesinin ehtimalı üçün ifadəni aşağıdakı kild yazmaq olar:

$$\Gamma(H \rightarrow \chi\chi) = \frac{G_F r^2 M_H^3}{128\sqrt{2}f^3} \left| \sum_f N_c Q_f^2 A_f^X(\not{p}_f) + A_W^X(\not{p}_W) \right|^2. \quad (14)$$

Göründüyü kimi, $H \rightarrow \chi\chi$ çevrilməsinin yeni Higgs bozonun kütləsinin artması ilə artır.

Higgs bozonun fotona və Z -bozona çevrilməsi. Higgs bozonun $H \rightarrow \chi Z$ sxemi üzrə çevrilməsi də mümkündür. Prosesin matris elementini aşağıdakı kild yazmaq olar:

$$M(H \rightarrow \chi Z) = A^Z e_{\epsilon}^* U_{\epsilon}^* [p_2 \cdot p_{1\epsilon} - (p_1 \cdot p_2) g_{-\epsilon}]. \quad (15)$$

Burada e_{ϵ}^* və U_{ϵ}^* – uyun olaraq X -kvantın və Z -bozonun 4-ölçülü polyarizasiya vektorları, $A^Z = A_f^Z + A_W^Z$ is fermion və W - diaqramlarının (ilgiklərinin) amplituda verdiyi payı xarakteriz edən həddir.

$H \rightarrow \chi Z$ prosesinin çevrilmə yeni üçün alınmış ifadə aşağıdakı kildir:

$$\Gamma(H \rightarrow \chi Z) = \frac{1}{32f} \left(\frac{gr}{fM_W} \cdot \frac{N_c Q_f}{\cos \theta_w} \cdot g_V(f) \right)^2 M_H^3 \left(1 - \frac{M_Z^2}{M_H^2} \right)^3 \cdot |I_f|^2. \quad (16)$$

Higgs bozonun iki qlüona çevrilməsi. Higgs bozonun $H \rightarrow gg$ sxemi üzrə çevrilməsi ehtimalı üçün aşağıdakı ifadə alınmışdır:

$$\Gamma(H \rightarrow gg) = \frac{1}{8f} \left(\frac{r_s}{f} \right)^2 \left(\frac{m_f^2}{y} \right)^2 \frac{I_0^2}{M_H}, \quad (17)$$

burada $r_s = \frac{g_s^2}{4f}$ – güclü qarılıqlı təsir sabitidir. Higgs bozonun kütləsi $M_H = 125$ olduqda

$H \rightarrow gg$ çevrilməsinin parsial yeni $\Gamma(H \rightarrow gg) \sim 0,2 \text{ eV t}$ kildir və Higgs bozonun kütləsinin artması ilə artır, məsələn, $M_H \approx 400 \text{ GeV}$ olduqda $\Gamma(H \rightarrow gg) \sim 10 \text{ eV}$ -ə bərabər olur.

Standart Model çərçivəsində Higgs bozonun müxtəlif mümkün çevrilmə kanallarının amplitudu və ehtimalları üçün alınmış analitik ifadələrdən və tədqiq olunmuş asılılıqlardan görünür ki, Higgs bozonun kütləsi $100 \text{ GeV} \leq M_H \leq 130 \text{ GeV}$ aralığında olarsa, əsas proses $H \rightarrow b\bar{b}$ çevrilməsidir. Məsələn, $M_H = 120 \text{ GeV}$ olduqda müxtəlif çevrilmə kanallarının nisbi ehtimalları

$$B(b\bar{b}) = \frac{\Gamma(H \rightarrow b\bar{b})}{\Gamma(H \rightarrow \dots)} \approx 68\%, \quad B(c\bar{c}) \approx 7\%, \quad B(cc\bar{c}) \approx 3\%, \quad B(gg) \approx 7\%, \quad B(WW^*) = 13\%, \quad B(ZZ^*) \approx 2\%$$

təklildir, digər çevrilmə kanalları isə zəifdir.

Higgs bozonun kütləsinin artması ilə $H \rightarrow WW^*$ və $H \rightarrow ZZ^*$ çevrilmələrinin ehtimalı artır, digər çevrilmələrin ehtimalı isə azalır. Məsələn, $M_H = 300 \text{ GeV}$ olduqda $B(WW^*) \approx 69\%$, $B(ZZ^*) \approx 30\%$.

$e^-e^+ \rightarrow hX$ PROSESİNDƏ ELEKTROZ FASİMMETRİYALAR

S.Q. Abdullayev, A.S. Quliyeva

Bakı Dövlət Universiteti

s_abdullayev@mail.ru, ayte191@box.az

Elektron-pozitron annihilasiyasında hadronların yaranması həmişə, həmişə təcrübə tədqiqatlarında mühüm yer tutur. Xüsusən uzununa polyarlarımı elektron-pozitron cütünün annihilasiyasında son hadronların birinin qeyd alındığı proseslər

$$e^- + e^+ \Rightarrow h + X \quad (1)$$

hadronların quruluşunun öyrənilməsində və müxtəlif modellərin yoxlanılmasında, müstəsna həmişə tələbdir, burada X – qeyd alınmayan hadronlar sistemidir.

Kvart-parton modelin (KPM) görə, həmişə proseslər iki mərhələdə baş verir. Birinci mərhələdə, e^-e^+ -cütüvvəlcə özünü sərbəst aparən kvark-antikvark cütünə çevrilir. İkinci mərhələdə isə kvarkla antikvark bir-birindən uzaqlaşdıqca güclənən qlüon sahəsi vakuumdən yeni kvark-antikvark cütünü yaradır. Həmişə zərərli və öz növbəsində ilkin kvarklara qoşulur və onların rəngini neytralla dərəcə, hadronların yaranmasına səbəb olur.

İnklüziv hadronun yaranması prosesi aralıq fotonun və Z^0 -bozonun mübadiləsi ilə baş verir. Lakin e^-e^+ -cütünün enerjisi Z^0 -bozonun kütləsinə yaxın olan oblastda ($\sqrt{s} \sim M_Z$) Z^0 -bozonla mübadilə diaqramı həlledici rol oynayır və bu halda prosesin invariant amplitudunu

$$M(e^-e^+ \Rightarrow hX) = \frac{e^2}{\sin^2 \theta_w} \cdot D_Z^{-1}(p_2) \cdot [g_L(e)(1+x_s) + g_R(e)(1-x_s)] u(p_1) \cdot \langle hX | J_- | 0 \rangle \quad (2)$$

klində yazmaq olar, burada $D_Z(s) = 1/(s - M_Z^2 + iM_Z\Gamma_Z)^{-1}$, p_1 və p_2 elektronla pozitronun 4-ölçülü impulsları, $s = (p_1 + p_2)^2$ – kütlə mərkəzi sistemində elektronla pozitronun enerjisi cəminin kvadratı, Γ_Z – Z^0 -bozonun təmənisi, $J_- = Z^0 \Rightarrow h + X$ keçidini təsvir edən zəif hadron cərəyanı, $g_L(e)$ və $g_R(e)$ – elektronun Z^0 -bozonla qarılıqlı təsirinin sol və sağ rabitə sabitləri

$$\begin{aligned} g_L(e) &= -\frac{1}{2} + \sin^2 \theta_w, \\ g_R(e) &= \sin^2 \theta_w, \end{aligned} \quad (3)$$

θ_w – Vaynberq parametri.

(1) prosesinin diferensial effektiv kəsiyi aşağıdakı kildə yazılır:

$$\frac{d\Gamma(e^-e^+ \Rightarrow hX)}{dx d\Omega} = \frac{r^2}{32x_w(1-x_w)} |D_Z|^2 Sx L_{-\epsilon} \bar{H}_{-\epsilon}, \quad (4)$$

burada $x = 2E_h/\sqrt{s}$ – hadronun enerjisinin elektronun enerjisinə nisbəti, S və $\Omega(\theta, \phi)$ – hadronun sürəti və çıxışı cisim bucağı, $L_{-\epsilon}$ və $\bar{H}_{-\epsilon}$ – elektron və hadron tenzorları, $x_w = \sin^2 \theta_w$ – Vaynberq parametri.

Uzununa polyarlarımı zərərli halında elektron tenzoru invariant amplitud (2) əsasında

asanlıqla hesablanır:

$$L_{-\epsilon} = \{[(g_L^2(e) + g_R^2(e))(1 - \beta_1)\beta_2] + [(g_L^2(e) - g_R^2(e))(\beta_2 - \beta_1)]L_{-\epsilon}^{(s)} + [(g_L^2(e) - g_R^2(e))(1 - \beta_1)\beta_2] + (g_L^2(e) + g_R^2(e))(\beta_2 - \beta_1)\}L_{-\epsilon}^{(A)} \quad (5)$$

$$L_{-\epsilon}^{(s)} = p_{1-}p_{2\epsilon} + p_{2-}p_{1\epsilon} - (p_1 \cdot p_2)g_{-\epsilon}, \quad L_{-\epsilon}^{(A)} = -i\nu_{-\epsilon, \uparrow} p_{1-} p_{2\uparrow},$$

β_1 və β_2 – elektronla pozitronun spirallıqlarıdır.

$\bar{H}_{-\epsilon}$ tenzorunun üzrindəki xətəli hadronların spin hallarına görə cəmiyyətin, impulslarına görə isə inteqrallamanın aparıldığını göstərir:

$$\bar{H}_{-\epsilon} \equiv (2f)^3 \int \langle hX | J_- | 0 \rangle \langle hX | J_{\epsilon} | o^* \rangle u(q - p - P_X) d\Phi_X, \quad (6)$$

p – hadronun (h) 4-ölçülü impulsu, $q = p_1 + p_2$ – hadronlara ötürülən impuls, P_X və $d\Phi_X$ – qeyd alınmayan hadronların tam impuls və faza həcmidir.

Hadron tenzoru, (6) ifadəsində görünüyü kimi, yalnız p və q impulslarından asılı olacaqdır:

$$\begin{aligned} \bar{H}_{-\epsilon} = & W_1(-g_{-\epsilon} + \frac{q_{-}q_{\epsilon}}{q^2}) + \frac{1}{q^2}(q_{-} - p_{-} \frac{q^2}{(p \cdot q)})(q_{\epsilon} - p_{\epsilon} \frac{q^2}{(p \cdot q)})W_2 - \\ & - i\nu_{-\epsilon, u} \frac{p_{-}q_u}{(p \cdot q)}W_3 + \frac{p_{-}q_{\epsilon}}{q^2}W_4 + \frac{p_{-}q_{\epsilon} + p_{\epsilon}q_{-}}{(p \cdot q)}W_5 + i \frac{p_{-}q_{\epsilon} - p_{\epsilon}q_{-}}{(p \cdot q)}W_6 \end{aligned} \quad (7)$$

W_n ($n=1 \div 6$) – hadronların həqiqi struktur funksiyası olub, $x = 2(p \cdot q)/s$ və s dərəcəli rindən asılıdır.

Elektronun kütləsini nəzərə almadıqda $L_{-\epsilon}$ tenzoru saxlanılır: $L_{-\epsilon}^{ik}q_{-} = L_{-\epsilon}^{ik}q_{\epsilon} = 0$ və (1) prosesinin effektiv kəsiyi yalnız W_1 , W_2 və W_3 struktur funksiyalardan asılı olacaqdır (hadronun kütləsini nəzərə alınmır):

$$\begin{aligned} \frac{d\uparrow(e^{-}e^{+} \Rightarrow hX)}{dx d\Omega} = & \frac{r^2 |D_Z|^2}{32x_w} sx \{ [(g_L^2(e) + g_R^2(e))(1 - \beta_1)\beta_2] + (g_L^2(e) - g_R^2(e))(\beta_2 - \beta_1) \} \times \\ & \times [2W_1 + W_2 \sin^2 \theta] + 2[(g_L^2(e) - g_R^2(e))(1 - \beta_1)\beta_2] + (g_L^2(e) + g_R^2(e))(\beta_2 - \beta_1) W_3 \cos \theta \}. \end{aligned} \quad (8)$$

Effektiv kəsiyin bu düsturu əsasında həmişə diferensial, həmişə də inteqral elektroz ifadəsini ala bilərik. Uzununa polyarlaşmış elektronla polyariz olunmamış pozitronun annihilyasiyası prosesində (8) effektiv kəsiyini

$$\begin{aligned} \frac{d\uparrow(e^{-}e^{+} \Rightarrow hX)}{dx d\Omega} = & \frac{r^2 |D_Z|^2}{32x_w(1-x_w)} sx [g_L^2(e) + g_R^2(e)] \times (2W_1 + W_2 \sin^2 \theta) \times \\ & \times [1 + A_{FB}(s, x, \theta) - \beta_1 A_{LR}(s, x, \theta)] \end{aligned} \quad (9)$$

klind yazmaq olar. Burada $A_{FB}(s, x, \theta)$ və $A_{LR}(s, x, \theta)$ irəliləyiş bucaq asimetriyası ilə sol-sağ spin asimetriyasıdır:

$$A_{FB}(s, x, \theta) = A_e \cdot \frac{2W_3 \cos \theta}{2W_1 + W_2 \sin^2 \theta}, \quad (10)$$

$$A_{LR}(s, x, \theta) = A_e + \frac{2W_3 \cos \theta}{2W_1 + W_2 \sin^2 \theta}.$$

burada

$$A_e = \frac{g_L^2(e) - g_R^2(e)}{g_L^2(e) + g_R^2(e)}. \quad (11)$$

ndi $e^- + e^+ \Rightarrow h + X$ prosesinin integral asimetriyalarına nəzər yetirik. Bunlara əlavəlik elektrozif asimetriyalar daxildir:

1) Hadronun irli-geri bucaq asimetriyası

$$A_{FB} = \frac{d\Gamma_F/dx - d\Gamma_B/dx}{d\Gamma_F/dx + d\Gamma_B/dx} = A_e \cdot \frac{3W_3}{2(3W_1 + W_2)}, \quad (12)$$

$d\Gamma_F/dx$ və $d\Gamma_B/dx$ – irli ($\cos \theta > 0$) və geri ($\cos \theta < 0$) yarımsferalarda barionun doğulmasının effektiv kəfisiyidir;

2) Elektronun spirallı momentinə nəzər almaqla hadronun irli-geri bucaq asimetriyası

$$A_{FB}(\lambda_1) = \frac{d\Gamma_F(\lambda_1)/dx - d\Gamma_B(\lambda_1)/dx}{d\Gamma_F(\lambda_1)/dx + d\Gamma_B(\lambda_1)/dx} = \frac{A_e - \lambda_1}{1 - \lambda_1 A_e} \cdot \frac{3W_3}{2(3W_1 + W_2)}; \quad (13)$$

3) Sol-sağ spin asimetriyası

$$A_{LR} = \frac{d\Gamma_L/dx - d\Gamma_R/dx}{d\Gamma_L/dx + d\Gamma_R/dx} = A_e \quad (14)$$

$d\Gamma_L/dx$ və $d\Gamma_R/dx$ – $e^- + e^+ \Rightarrow h + X$ və $e^- + e^+ \Rightarrow h + X$ proseslərinin effektiv kəfisiyidir;

4) irli-geri spin asimetriyası

$$\begin{aligned} \tilde{A}_{FB}(\lambda_1) &= \frac{d\Gamma_F(\lambda_1)/dx - d\Gamma_F(-\lambda_1)/dx - [d\Gamma_B(\lambda_1)/dx - d\Gamma_B(-\lambda_1)/dx]}{d\Gamma_F(\lambda_1)/dx + d\Gamma_F(-\lambda_1)/dx + d\Gamma_B(\lambda_1)/dx + d\Gamma_B(-\lambda_1)/dx} = \\ &= \lambda_1 \cdot \frac{3W_3}{2(3W_1 + W_2)}. \end{aligned} \quad (15)$$

Elektrozif asimetriyaları qiymətləndirmək üçün KPM əsasında hadronların struktur funksiyalarını təyin edək: struktur funksiyalara əsas pay verən parton proseləri $e^- e^+$ annihilyasiyasında kvark-antikvark cütünün yaranmasıdır: $e^- + e^+ \Rightarrow (Z^0) \Rightarrow q + \bar{q}$

KPM-də $e^- + e^+ \Rightarrow h + X$ prosesinin diferensial effektiv kəfisiyi

$$\frac{d\Gamma(e^- e^+ \Rightarrow hX)}{dx d\Omega} = \sum_q \frac{d\Gamma_q}{d\Omega_q} D_q^h(x) + \sum_{\bar{q}} \frac{d\Gamma_{\bar{q}}}{d\Omega_{\bar{q}}} D_{\bar{q}}^h(x) \quad (16)$$

klind yazılır, burada $D_q^h(x) (D_{\bar{q}}^h(x))$ –kvarkın (antikvarkın) hadrona fraqmentasiya

funksiyası, $d\Gamma_q/d\Omega_q$ –elementar parton prosesində kvarkın bucaqlara görə paylanmasını müəyyən edən effektiv kəfiksdir:

$$\begin{aligned} \frac{d\Gamma_q}{d\Omega_q} &= \frac{r^2 N_c S |D_Z|^2}{16x_w^2 (1-x_w)^2} \{ [(g_L^2(e) + g_R^2(e))(1 - \beta_1 \beta_2) + (g_L^2(e) - g_R^2(e))(\beta_2 - \beta_1)] \times \\ &\times (g_L^2(q) + g_R^2(q))(1 + \cos^2 \theta) + 2[(g_L^2(e) - g_R^2(e))(1 - \beta_1 \beta_2) + (g_L^2(e) + g_R^2(e)) \times \\ &\times (\beta_2 - \beta_1)](g_L^2(q) - g_R^2(q)) \cos \theta \} \end{aligned} \quad (17)$$

$N_c=3$ – rəng vuru, $g_L(q) = I_3(q) - Q_q \sin^2 \theta_w$, $g_R(q) = -Q_q \sin^2 \theta_w$, $I_3(q)$ və Q_q – kvarkın zif spininin üçüncü proyeksiyası ilə elektrik yüküdür.

(8) və (16) effektiv kəfiksirlinin müqayisəsində hadronların struktur funksiyaları üçün aşağıdakı ifadələri alırıq:

$$\begin{aligned} xW_1 = -xW_2 &= \frac{2N_c}{x_w(1-x_w)} \sum_q [g_L^2(q) + g_R^2(q)] [D_q^h(x) + D_{\bar{q}}^h(x)], \\ xW_3 &= \frac{2N_c}{x_w(1-x_w)} \sum_q [g_L^2(q) - g_R^2(q)] [D_q^h(x) - D_{\bar{q}}^h(x)]. \end{aligned} \quad (18)$$

f^\pm, K^\pm – və D^\pm – mezonların doğulması proseslərində irəliləyiş bucaq asimetriyasının ölçülməsi LEP sürətli zərrəciklərdə müxtəlif qruplar tərəfindən həyata keçirilmişdir. Yükləmə və izotop spin invariantlığına görə, fraqmentasiya funksiyaları arasında aşağıdakı münasibətlər olmalıdır:

$$\begin{aligned} D_u^{f^+}(x) &= D_d^{f^+}(x) = D_d^{f^-}(x) = D_u^{f^-}(x), \\ D_c^{D^+}(x) &= D_s^{D^+}(x) = D_s^{D^-}(x) = D_c^{D^-}(x), \\ D_u^{K^+}(x) &= D_s^{K^+}(x) = D_s^{K^-}(x) = D_u^{K^-}(x). \end{aligned}$$

Bu halda elektrozif asimetriyalar fraqmentasiya funksiyalarından asılı olmur:

$$\begin{aligned} A_{FB}^{f^+} &= -A_{FB}^{f^-} = A_{FB}^{K^+} = -A_{FB}^{K^-} = D_{FB}^{D^+}(x) = -D_{FB}^{D^-}(x) = \frac{3}{4} A_e \cdot A_{ud}; \\ A_{FB}^{f^+}(\beta_1 = \pm 1) &= -A_{FB}^{f^-}(\beta_1 = \pm 1) = A_{FB}^{K^+}(\beta_1 = \pm 1) = -A_{FB}^{K^-}(\beta_1 = \pm 1) = \\ &= A_{FB}^{D^+}(\beta_1 = \pm 1) = -A_{FB}^{D^-}(\beta_1 = \pm 1) = \mp \frac{3}{4} \cdot A_{ud}; \\ A_{LR}^{f^+} &= A_{LR}^{f^-} = A_{LR}^{K^+} = A_{LR}^{K^-} = A_{LR}^{D^+} = A_{LR}^{D^-} = A_e; \\ \tilde{A}_{FB}^{f^+}(\beta_1) &= -\tilde{A}_{FB}^{f^-}(\beta_1) = \tilde{A}_{FB}^{K^+}(\beta_1) = -\tilde{A}_{FB}^{K^-}(\beta_1) = \tilde{A}_{FB}^{D^+}(\beta_1) = -\tilde{A}_{FB}^{D^-}(\beta_1) = \mp \frac{3}{4} \beta_1 \cdot A_{ud}. \end{aligned}$$

burada

$$A_{ud} = \frac{g_L^2(u) - g_R^2(u) - g_L^2(d) + g_R^2(d)}{g_L^2(u) + g_R^2(u) + g_L^2(d) + g_R^2(d)}.$$

$e^-e^+ \Rightarrow BX$ PROSESİNDƏ HADRONLARIN

STRUKTUR FUNKSİYALARI

S.Q. Abdullayev, A.S. Quliyeva

Bakı Dövlət Universiteti

s_abdullayev@mail.ru, ayte1991@box.az

Hadronların daxili quruluşunun öyrənilməsində lepton-nuklon dövrün qeyri-elastic proseslərinə (DQES) prosesləri ilə yanaşı elektron – pozitron annihilasiyasında polyaşma barionların yaranması prosesləri də mühüm yer tutur.

$$e^-(p_1, \lambda_1) + e^+(p_2, \lambda_2) \Rightarrow (X^*; Z^0) \Rightarrow B(p, h_B) + X. \quad (1)$$

mötürizlərdə zərərçiklərin 4-ölçülü impuls və spirallıqları göstərilmişdir, B –sonda qeyd alınan $\frac{1}{2}$ spinli bariondur ($p, \Lambda, \Sigma^+, \dots$), X –qeyd alınmayan hadronlar sistemidir.

Elektron –pozitron annihilasiyasında 4 – ölçülü impulsuna və h_B spirallıqına malik inkluziv barionun yaranması prosesinin invariant amplitudunu aşağıdakı kild yazmaq olar:

$$M = \frac{e^2}{2} \sum_i \bar{u}(p_2, \lambda_2) \gamma_\mu [G_L^i(1 + \gamma_5) + G_R^i(1 - \gamma_5)] u(p_1, \lambda_1) \langle B(p, h_B) X | J_\mu^i | 0 \rangle, \quad (2)$$

burada

$$G_{L(R)}^i = \frac{g_{L(R)e}^i}{s - M_i^2 + iM_i\Gamma_i},$$

çəmiləmə aralığı foton və Z^0 -bozon üzərində aparılır ($i = \gamma; Z^0$) (bundan sonra çəmiləməsi yazılmayacaqdır), M_Z və Γ_Z – Z^0 -bozonun kütləsi və tam eni (foton halında $M_\gamma = \Gamma_\gamma = 0$ -dır), $J_\mu^i - i \Rightarrow B + X$ keçidini xarakteriz edən hadron çəkiləməsi, $g_L^i(e)$ və $g_R^i(e)$ – elektronun fotonla və ya Z^0 -bozonla qarılıqlı təsirinin sol və sağ rabitə sabitləridir:

$$\begin{aligned} g_L^\gamma(e) &= g_R^\gamma(e) = Q_e = -1, \\ g_L^Z(e) &= \frac{g_L(e)}{\sin \theta_w \cos \theta_w}, \quad \frac{g_R(e)}{\sin \theta_w \cos \theta_w}, \\ g_L(e) &= -\frac{1}{2} + \sin^2 \theta_w, \\ g_R(e) &= \sin^2 \theta_w \end{aligned}$$

θ_w – Vaynberq parametri.

(1) prosesinin diferensial effektiv kəsimi bərabərdir:

$$\frac{d\Gamma}{dx d\Omega} = \frac{r^2}{16} x L_{-\epsilon}^{ik} \bar{H}_{-\epsilon}^{ik}, \quad (3)$$

burada $x = 2E_B / \sqrt{s}$ – barionun enerjisinin elektronun enerjisinə nisbəti, $\Omega(\mu, \theta)$ – barionun çıxışı cisim bucağı.

$$L_{-\epsilon}^{ik} = [(g_1^{ik}(1 - \beta_1)\beta_2) + g_2^{ik}(\beta_2 - \beta_1)][p_{1-}p_{2\epsilon} + p_{2-}p_{1\epsilon} - (p_1 \cdot p_2)g_{-\epsilon}^{ik}] \times \\ \times [(g_2^{ik}(1 - \beta_1)\beta_2) + g_1^{ik}(\beta_2 - \beta_1)]iV_{-\epsilon\dots\uparrow} p_{1\dots} p_{2\uparrow} \quad (4) \\ g_1^{ik} = G_L^i G_L^{*K} + G_R^i G_R^{*K}, \quad g_2^{ik} = G_L^i G_L^{*K} - G_R^i G_R^{*K}$$

– lepton tenzoru, $\bar{H}_{-\epsilon}^{ik}$ is hadron tenzorudur. Hadron tenzorunun üzrindəki xəttilər qeyd alınmayan hadronların spinlərinə görə cəmlənmənin, impulslarına görə isə inteqrallamanın aparıldığını göstərir:

$$\bar{H}_{-\epsilon}^{ik} \equiv (2f)^3 \sum_{spin} \langle B(p, h_B) X | J_-^i | 0 \rangle \langle B(p, h_B) X | J_V^K | 0^* \rangle u(q - p - P_X) d\Phi_X \quad (5)$$

q – hadronlara ötürülən impuls, P_X və $d\Phi_X$ – qeyd alınmayan hadronların tam impuls və faza həcmidir. $\bar{H}_{-\epsilon}^{xx}$ və $\bar{H}_{-\epsilon}^{zz}$ tenzorları $e^- + e^+ \Rightarrow B + X$ prosesinin fotonla və Z^0 -bozonla mübadil diaqramlarına uyundur. $\bar{H}_{-\epsilon}^{xz}$ və $\bar{H}_{-\epsilon}^{zx}$ tenzorları isə foton Z^0 -bozon diaqramlarının interferensiyasını xarakterizə edir.

J_-^x və J_-^z hadron cərəyanlarının faza inversiyasına görə simmetriya xassələri bilinir, $\bar{H}_{-\epsilon}^{ik}$ tenzorlarının ümumi quruluşunu müəyyən etmək mümkündür. Bu zaman $e^- + e^+ \Rightarrow B + X$ prosesinin dinamikasını bilmək heç də zəruri deyildir, sadəcə birfotonlu və Z^0 -bozonlu mexanizmlərin xüsusiyyətlərini bilmək zəruridir. (5) inteqralından görünür ki, hadron tenzoru $\bar{H}_{-\epsilon}^{ik}$ barionun spirallı ilə 4-ölçülü p və q impulslarından asılıdır (lepton tenzoru saxlanıldığından $L_{-\epsilon}^{ik} q_- = L_{-\epsilon}^{ik} q_\epsilon = 0$, q_- və q_ϵ ilə mütənasib olan hədlər nəzərdən atılmışdır):

$$\bar{H}_{-\epsilon}^{ik} = -(W_1^{ik} + h_B G_1^{ik}) g_{-\epsilon}^{ik} + (W_2^{ik} + h_B G_2^{ik}) p_- p_\epsilon \cdot \frac{q^2}{(p \cdot q)^2} - i(W_3^{ik} + h_B G_3^{ik}) V_{-\epsilon rs} \frac{p_r p_s}{(p \cdot q)^2} \quad (6)$$

W_n^{ik} və G_n^{ik} ($n=1, 2, 3$) – xəttilərdəki asılı struktur funksiyalardır.

Lepton və hadron tenzorlarının vurulması nəticəsində $e^- + e^+ \Rightarrow B + X$ prosesinin diferensial effektiv kəsiyi üçün aşağıdakı ifadəni alırıq:

$$\frac{d\Gamma}{dx d\Omega} = \frac{r^2}{16} s x \{ [g_1^{ik}(1 - \beta_1)\beta_2) + g_2^{ik}(\beta_2 - \beta_1)] [2(W_1^{ik} + h_B G_1^{ik}) + (W_2^{ik} + h_B G_2^{ik}) \sin^2 \mu] + \\ + 2[g_2^{ik}(1 - \beta_1)\beta_2) + g_1^{ik}(\beta_2 - \beta_1)] (W_3^{ik} + h_B G_3^{ik}) \cos \mu \}. \quad (7)$$

SE sadə kvark-parton modelində (KPM) təyin edilmiş model görə, (1) prosesi iki mərhələdə baş verir.vvle aralıq foton və ya Z^0 -bozon kvark–antikvark cütünü çevrilir ($X^* ; Z^0 \Rightarrow q + \bar{q}$), sonra isə onlar hadronlara fraqmentasiya edir ($q + \bar{q} \Rightarrow B + X$). Fərz edək ki, prosedə kvarkın impulsunun böyük hissəsini dəiyən barion ($x = E_B / E_q = 2E_B / \sqrt{s} \approx 1$) qeyd alınmışdır. Hesab etmək olar ki, belə barion eyni istiqamətdə hərəkət edən sürətli kvarkdan

formala mır, sürətli kvark çatımayan iki kvarkı “düzəldən” zəbt edir və sürətli bariona çevrilir.

KPM-də $e^- + e^+ \Rightarrow B + X$ prosesinin diferensial effektiv kəsiyi aşağıdakı kild yazılır:

$$\frac{d\Gamma}{dx d\Omega} = \sum_{q, h_q} \frac{d\Gamma_q(h_q)}{d\Omega_q} D_{q(h_q)}^{B(h_B)}(x) + \sum_{\bar{q}, h_{\bar{q}}} \frac{d\Gamma_{\bar{q}}(h_{\bar{q}})}{d\Omega_{\bar{q}}} D_{\bar{q}(h_{\bar{q}})}^{B(h_B)}(x) \quad (8)$$

çün ki barionunun tərkibindəki bütün kvarklara görə aparılır, $D_{q(h_q)}^{B(h_B)}(x)$ – spirallı h_q olan kvarkın h_B spirallı bariona fraqmentasiya funksiyasıdır. Uzununa polyarla mır kvarkın bucaqlara görə paylanması təsvir edən $e^- + e^+ \Rightarrow q + \bar{q}$ parton prosesinin diferensial effektiv kəsiyi bərabərdir:

$$\begin{aligned} \frac{d\Gamma_q(h_q)}{d\Omega_q} = \frac{r^2 N_c S}{32} \{ & [g_1^{ik} (1 - \cos \theta_1) \cos \theta_2] + g_2^{ik} (\cos \theta_2 - \cos \theta_1) (q_1^{ik} - h_q q_2^{ik}) (1 + \cos^2 \theta_w) + \\ & + 2[g_2^{ik} (1 - \cos \theta_1) \cos \theta_2] + g_1^{ik} (\cos \theta_2 - \cos \theta_1) (q_2^{ik} - h_q q_1^{ik}) \cos \theta_w \} \end{aligned} \quad (9)$$

burada $N_c = 3$ rəng vuru, $S = 2$ spin vuru, $\theta_1, \theta_2, \theta_w$ – kvarkın zif izospininin üçüncü proyeksiyası və elektrik yüküdür.

$$\begin{aligned} g_1^{ik} &= g_L^i(q) g_L^k(q) + g_L^i(q) g_L^k(q), \quad g_2^{ik} = g_R^i(q) g_R^k(q) - g_R^i(q) g_R^k(q), \\ g_L^x(q) &= g_R^x(q) = Q_q, \quad g_L^z(q) = \frac{g_L(q)}{\sin \theta_w \cdot \cos \theta_w}, \quad g_R^z(q) = \frac{g_R(q)}{\sin \theta_w \cdot \cos \theta_w}, \\ g_L(q) &= I_3(q) - Q_q \sin^2 \theta_w, \quad g_R(q) = -Q_q \sin^2 \theta_w, \end{aligned} \quad (10)$$

$I_3(q)$ və Q_q – kvarkın zif izospininin üçüncü proyeksiyası və elektrik yüküdür.

Uzununa polyarla mır antikvarkın bucaqlara görə paylanma düsturunu almaqdan ötrü (9) ifadəsində $h_q \Rightarrow -h_{\bar{q}}$ və $\cos \theta_1 \Rightarrow -\cos \theta_1$ və zifli mır aparılmalıdır.

Qeyd edək ki, $e^- + e^+ \Rightarrow Z^0 \Rightarrow q + \bar{q}$ prosesində yaranan kvarklar böyük polyarla mədəciksinə malikdir. Məsələn, $e^- + e^+ \Rightarrow Z^0 \Rightarrow u + \bar{u}$ və $e^- + e^+ \Rightarrow Z^0 \Rightarrow d + \bar{d}$ proseslərində u- və d- kvarkın polyarla mədəciksiyyəti olaraq -0,67 və -0,97-dir. Lakin kvarklar sərbəst kild müəhd edilmədiyində onların polyarla mədəciklərini bilavasit ölçmək mümkün deyildir. Fəziyy qbul etməklər ki, sürətli kvark öz spinini bariona ötürür. Mhz bu sərbəhdən $e^- + e^+ \Rightarrow B + X$ proseslərində müxtəlif barionların uzununa polyarla mədəciklərinin ölçülməsi mühüm həmiyyətlə malikdir.

Müyyəni arlırqbul etməkl

$$D_q^B(x) = D_{q(+)}^{B(+)}(x) + D_{q(-)}^{B(+)}(x), \quad (11)$$

$$\Delta D_q^B(x) = D_{q(+)}^{B(+)}(x) - D_{q(-)}^{B(+)}(x),$$

hadronların SF için a) a) daki ifade leri alırız:

$$\begin{aligned}
 xW_1^{ik} &= -xW_2^{ik} = \frac{1}{2} N_c \sum_q q_1^{ik} [D_q^B(x) + D_{\bar{q}}^B(x)], \\
 xW_3^{ik} &= \frac{1}{2} N_c \sum_q q_2^{ik} [D_q^B(x) - D_{\bar{q}}^B(x)], \\
 xG_1^{ik} &= -xG_2^{ik} = -\frac{1}{2} N_c \sum_q q_1^{ik} [\Delta D_q^B(x) - \Delta D_{\bar{q}}^B(x)], \\
 xG_1^{ik} &= -xG_2^{ik} = -\frac{1}{2} N_c \sum_q q_1^{ik} [\Delta D_q^B(x) - \Delta D_{\bar{q}}^B(x)], \\
 xG_3^{ik} &= -\frac{1}{2} N_c \sum_q q_1^{ik} [\Delta D_q^B(x) + \Delta D_{\bar{q}}^B(x)],
 \end{aligned} \tag{12}$$

Z^0 -rezonans bölgesinde ($s = M_Z^2$) $e^- + e^+ \Rightarrow Z^0 \Rightarrow B + X$ prosesinin efektif kesiti a) a) daki şekilde alır (KPM-d) alınımı $W_2^{ZZ} = -W_1^{ZZ}$ v $G_2^{ZZ} = -G_1^{ZZ}$ münasibetleri r n z r alınımıdır):

$$\begin{aligned}
 \frac{d\sigma}{dx d\Omega} &= \frac{r^2}{16} s x [(g_1^{ZZ} - \frac{1}{2} g_2^{ZZ})(W_1^{ZZ} + h_B G_1^{ZZ})(1 + \cos^2 \theta) + \\
 &+ 2(g_2^{ZZ} - \frac{1}{2} g_1^{ZZ})(W_3^{ZZ} + h_B G_3^{ZZ}) \cos \theta].
 \end{aligned} \tag{13}$$

H min efektif kesiti sırasında a) a) daki integral karakteristikleri alabiliriz:

1) ir li-geri bucaq asimetriyası

$$A_{FB} = \frac{3}{4} \cdot \frac{g_L^2(e) - g_R^2(e)}{g_L^2(e) + g_R^2(e)} \cdot \frac{\sum_q [g_L^2(q) - g_R^2(q)] D_q^B(x)}{\sum_q [g_L^2(q) + g_R^2(q)] D_q^B(x)}; \tag{14}$$

2) sol-sa spin simmetriyası

$$A_{LR} = \frac{g_L^2(e) - g_R^2(e)}{g_L^2(e) + g_R^2(e)}; \tag{15}$$

3) barionun uzununa polarla ma d r c si

$$P_B = -\frac{\sum_q [g_L^2(q) - g_R^2(q)] \Delta D_q^B(x)}{\sum_q [g_L^2(q) + g_R^2(q)] \Delta D_q^B(x)}. \tag{16}$$

Göründüğü gibi, Z^0 -rezonansında sol-sa spin asimetriyası yalnız elektronun, barionun uzununa polarla ma d r c si yalnız kvarkların, ir li-geri bucaq asimetriyası ise h m elektronun, h m d kvarkların neytral z if c r yan parametrl rind n asılıdır. H min elektroz if asimetriyaları t crüb l rd ölçme kl polyariz olunmuş kvarkların polyarla mı barionlara fraqmentasiya funksiyaları hakkında informasiya ld etme k mümkündür.

**HIGHER -TWIST MECHANISM AND MESON PAIR
PRODUCTION IN PROTON-ANTIPROTON COLLISIONS**

A.I. Ahmadov

Institute for Physical Problems, Baku State University

We calculate the contribution of the higher-twist Feynman diagrams to the large- p_T meson pair production cross section in proton-antiproton collisions in case of the frozen coupling approach within perturbative QCD. The higher-twist cross section with the ones obtained in the framework of the frozen coupling approach and leading-twist cross section are compared and analyzed.

It is well known that Quantum Chromodynamics (QCD) is the fundamental theory of the strong interactions. Therefore in order to describe the structure and dynamical properties of hadrons at the amplitude level many researchers have been studying QCD. The hadronic distribution amplitude in terms of internal structure degrees of freedom plays a crucial role in QCD process predictions.

One of the basic problems in QCD is choosing the renormalization scale in running coupling constant $\alpha_s(Q^2)$. In principle, in perturbative QCD (pQCD) calculations, the argument of the running coupling constant in both the renormalization and factorization scale Q^2 should be taken as equal to the square of the momentum transfer of a hard gluon in a corresponding Feynman diagram [1]. In the perturbative QCD, the physical information of the inclusive gluon production is obtained efficiently; therefore, it can be directly compared to the experimental data.

It should be noted, that problem the existence of the higher-twist contribution is not yet settled. Also necessary to study the difference of the leading-twist results for the frozen and running coupling constant approaches and compare it with that of the higher-twist is important.

Take into account of this point the aim of this study is calculation and analysis of the inclusive meson pairs production in the proton-antiproton collisions using the frozen coupling constant approach. Using this approach the higher twist effects have been already calculated by many authors [2-15].

Although the frozen QCD coupling constant was introduced a long time ago, it is also actual in these days [16-25]. The origin of it comes from the divergent infrared behaviour of the well-known renormalization group expression for $\alpha_s(Q^2)$. For this reason it is used as a constant in infrared domain. Another reason for introducing the frozen coupling is the perturbative QCD coupling. Also the effects of running $\alpha_s(Q^2)$ should be taken into account in all calculations. However it makes some QCD calculations very difficult, if we want to estimate it approximately, it can be very convenient to use some effective coupling which minimizes the running of $\alpha_s(Q^2)$ in the perturbative region. For getting an agreement with experimental data, the values of the frozen coupling are usually fixed from purely phenomenological considerations. The frozen coupling is frequently used in combination with other phenomenological parameters to describe hadronic processes. We can come across fixed $\alpha_s(Q^2)$ very often in various calculations done in the framework of the leading logarithmic approximation where most important logarithmic contributions are totally resummed while $\alpha_s(Q^2)$ considered as fixed parameter and its argument is set off posteriori from physical considerations. The solution of the Schwinger-Dyson equations can be also another method for investigating the infrared behavior of the gluon and ghost

propagators and for the running coupling constant at low energies [26]. Although early studies of the Schwinger-Dyson equations for the gluon propagator is very singular in the infrared [27-29], other studies found infrared finite propagators, for example one is found in [30] the gluon acquires a dynamical mass m_g^2 , and the other is extensively discussed [31, 32] where the gluon propagator goes to zero where the momentum $Q^2 \rightarrow 0$. In both cases the freezing of coupling constant appears in the infrared. In the case where squared momentum of a hard gluon gets the form $Q^2 \rightarrow Q^2 + m_g^2$, for running coupling constant leads to $r_s(Q^2) \rightarrow r_s(Q^2 + m_g^2)$. Here m_g^2 is interpreted as an effective dynamical gluon mass or fictitious mass of gluon. By frozen coupling constant approach for squared of transfer momentum of the hard gluon in single meson production in photon-photon production $\gamma\gamma \rightarrow M\bar{X}$ are taken as $Q_1^2 = \hat{s}/2$ and $Q_2^2 = -\hat{u}/2$. Additionally, we can also come across other physical properties of frozen coupling constant in the confinement mechanism suggested in [33, 34] as 1+1 dimensional Quantum Electrodynamics.

The calculation and analysis of the higher-twist effects on the dependence of the pion distribution amplitude in meson pairs production at proton-antiproton collision within pQCD approach is the interesting research problems.

Take into account of this point the aim of this study is calculation and analysis of the pair production of the mesons in the proton-antiproton collisions using the frozen coupling constant approach.

Direct production of meson pairs involves two hard collisions subprocess

1. Pairs meson production in $gg \rightarrow f^+f^-$ and 2. $q\bar{q} \rightarrow f^+f^-$.

Then the parton-level cross section within frozen coupling constant method becomes

$$\begin{aligned} \dagger (gg \rightarrow f^+f^-) &= \frac{8f^3 r_s^4 f_f^4}{729\hat{s}^3} I_f^2 \left[\int_0^1 dx \int_0^1 dy \frac{W_f(x)W_f(y)}{xy(1-x)(1-y)} \frac{x(1-x) + y(1-y)}{xy + (1-x)(1-y)} \right] \\ \dagger (q\bar{q} \rightarrow f^+f^-) &= \frac{f r_s^4 f_f^4}{972\hat{s}} \frac{16^2 f^2 f_f^4}{1296\hat{s}^2} I_f^2 \left[\int_0^1 dx \int_0^1 dy \frac{W_f(x)W_f(y)}{xy(1-x)(1-y)} \times \right. \\ &\times \left. \left(7 - 16xy - \frac{2x}{xy + (1-x)(1-y)} (1 - 2y(x+y)) + \frac{4x^2}{xy + (1-x)(1-y)} \frac{4xy}{xy + (1-x)(1-y)} \right) \right] \end{aligned}$$

here $I_f = \int_0^1 \frac{W_f(x)}{x(1-x)} dx$

There are few forms of the pion distribution amplitude available in the literature. In the present numerical calculations, we use several choices, such as the asymptotic distribution amplitude derived in pQCD evolution, the distribution amplitudes predicted by the Chernyak-Zhitnitsky(CZ), the Bakulev-Mikhailov-Stefanis (BMS) and pion distribution amplitudes in which Gegenbauer coefficients C_2 and C_4 are extracted from BELLE experiment:

$$\Phi_{asy}(x) = \sqrt{3}f_f x(1-x)$$

$$\Phi_{CZ}(x, \sim_0^2) = \Phi_{asy}(x) \left[C_0^{3/2}(2x-1) + \frac{2}{3} C_2^{3/2}(2x-1) \right],$$

$$\Phi_{BMS}(x, \sim_0^2) = \Phi_{asy}(x) \left[C_0^{3/2}(2x-1) + 0.20 C_2^{3/2}(2x-1) - 0.14 C_4^{3/2}(2x-1) \right],$$

$$\Phi_{BELLE}(x, \sim_0^2) = \Phi_{asy}(x) \left[C_0^{3/2}(2x-1) + 0.12 C_2^{3/2}(2x-1) + 0.08 C_4^{3/2}(2x-1) \right].$$

In this study the pair meson production is calculated via higher twist mechanism within perturbative QCD. In the calculation of the cross sections the frozen coupling constant approach are employed. Concerning the study of the higher-twist contribution, it is primarily important to analyze its relative magnitude of contribution compared to the leading-twist contribution, since only leading-twist diagrams are commonly considered in usual studies of the hadron-hadron collision. Therefore they will be helpful for detailed investigation dynamical properties of nucleon. Also the higher-twist meson pair production cross section in the proton-antiproton collisions depends on the form of the pion distribution amplitudes and may be used for future study.

Further investigations are needed in order to clarify the role of higher-twist effects in QCD. In hadron-hadron collisions, pair of meson at high transverse momentum can serve as a short distance probe of the incident hadrons. Especially, the future experimental measurements will provide further tests of the dynamics of large- p_T hadron production beyond the leading twist.

REFERENCES

1. S.J. Brodsky, G. L. Lepage, and P.B. Mackenzie, Phys. Rev. D 28, 228 (1983).
2. F.S. Sadykhov and A.I. Akhmedov, Russ. Phys. J. 38, 513 (1995).
3. A.I. Ahmadov, I. Boztosun, R. Kh. Muradov, A. Soyly, and E.A. Dadashov, Int. J. Mod. Phys. E 15, 1209(2006).
4. A.I. Ahmadov, I. Boztosun, A. Soyly, and E.A. Dadashov, Int. J. Mod. Phys. E17, 1041(2008).
5. A.I. Ahmadov, C. Aydin, Sh.M. Nagiyev, A. Hakan Yilmaz, and E.A. Dadashov, Phys. Rev. D 80, 016003 (2009).
6. A.I. Ahmadov, C. Aydin, E. A. Dadashov, and Sh. M. Nagiyev, Phys.Rev. D81, 054016 (2010).
7. A.I. Ahmadov, R. M. Burjalyev, Int. J. Mod. Phys. E20, 1243 (2011).
8. A.I. Ahmadov, Sh. M. Nagiyev, and E. A. Dadashov, Int. J. Mod. Phys. E21, 1250014 (2012).
9. A.I. Ahmadov, C. Aydin, and F. Keskin, Phys. Rev. D85, 034009(2012).
10. A.I. Ahmadov, C. Aydin, and F. Keskin, Ann. Phys. 327, 1472(2012).
11. A.I. Ahmadov, C. Aydin, and O. Uzun, Phys. Rev. D87, 014006(2013).
12. A.I. Ahmadov, C. Aydin, and O. Uzun, Phys. Rev. D89, 014018(2014).
13. J.A. Bagger and J. F. Gunion, Phys. Rev. D29, 40(1984).
14. A. Bagger and J. F. Gunion, Phys. Rev. D25, 2287(1982).
15. V.N. Baier and A. Grozin, Phys. Lett.B 96, 181(1980).
16. S. Gupta, Phys. Rev. D 24, 1169(1981).
17. G. Curci, M. Greco, Y. Srivastava, Phys. Rev. Lett. 43, 834(1979).
18. G. Curci, M. Greco, Y. Srivastava, Nucl. Phys. B159, 451(1979).
19. M. Greco, Phys. Lett. B 100, 351(1981).

20. M. Greco, G. Penso, Y. Srivastava, Phys. Rev. D 21, 2520(1980).
21. Y.I. Dokshitzer, B. R. Webber, Phys. Lett. 404, 321(1997).
22. Y.I. Dokshitzer, G. Marchesini and B. R. Webber, Nucl. Phys. B 469, 93(1996).
23. B. Badelek, J. Kwiecinski and A. Stasto, Z. Phys.C 74, 297(1997).
24. M. Ciafaloni, D. Colferai, G. P. Salam, A. M. Stasto, Phys. Rev. D 66, 054014 (2002).
25. A. V. Kotikov, A. V. Lipatov, N. P. Zotov, JETP 101, 811
26. C. D. Roberts and A. G. Williams, Prog. Part. Nucl. Phys.
27. S. Mandelstam, Phys. Rev. D 20, 3223(1979).
28. N. Brown and M.R. Pennington, Phys. Rev. D 38, 2266(1988).
29. N. Brown and M.R. Pennington, Phys. Rev. D 39, 2723(1989).
30. J.-M. Cornwall, Phys. Rev. D 26, 1453(1982).
31. R. Alkofer and L. von Smekal, Phys. Rep. 353, 281(2001).
32. L. von Smekal, A. Hauck, and R. Alkofer, Ann. Phys. (N.Y.)267, 1(1998).
33. G. Parisi and R. Petronzio, Phys.lett.B 95, 51(1980).
34. J. Schwinger, Phys.Rev. 127, 324(1962).

NEW MODEL FOR THE GENERATION OF STRONG MAGNETIC FIELDS IN MAGNETARS

Maxim Dvornikov^{a,b}

^a*Pushkov Institute of Terrestrial Magnetism, Ionosphere and Radiowave Propagation of the
Russian Academy of Sciences (IZMIRAN), Russia*

^b*Physics Faculty, National Research Tomsk State University, Russia*

Magnetars are neutron stars having extremely strong magnetic fields $B > 10^{15} G$. Despite the existence of numerous models for the generation of such magnetic fields, the issue of the origin of magnetic fields in magnetars still remains open. We propose the new model for the generation of strong large-scale magnetic fields in magnetars based on the magnetic field instability in matter composed of electrons and nucleons interacting by the parity violating electroweak forces.

Basing on the exact solution of the Dirac equation for an ultrarelativistic electron interacting with background nucleons and an external magnetic field, we derive the induced anomalous electric current flowing along the magnetic field. Then we obtain the system of kinetic equations for the spectra of the magnetic helicity density and the magnetic energy density as well as the chiral imbalance. To avoid the excessive growth of the magnetic field and the back reaction of matter on the magnetic field we introduce the quenching of the Chern-Simons parameter. The flip rate of the helicity of an electron scattering off protons in the neutron star matter is calculated using the quantum field theory methods.

The system of the kinetic equations is solved numerically for different initial magnetic helicities and the scales of the magnetic field. We adopt the Kolmogorov spectrum of the magnetic energy density. On the basis of the numerical solution we obtain the time evolution of the magnetic helicity density, the chiral imbalance, and the magnetic field.

In frames of our model, we can predict the growth of a seed magnetic field $B_0 = 10^{12} G$, typical in a pulsar, up to $B > 10^{15} G$, i.e. the strength predicted in magnetars. Magnetic fields

generated are of large-scale comparable with the magnetar radius. The time of the magnetic field growth is $(10^3 - 10^5)yr$, which is comparable with the ages of young magnetars. Within our approach we also predict the generation of the maximal helicity from initially nonhelical fields. The obtained results are compared with the predictions of other models.

REFERENCES

1. M. Dvornikov, *Chiral imbalance evolution in dense matter and the generation of magnetic fields in magnetars*[arXiv:1510.06228].
2. M. Dvornikov and V.B. Semikoz, *Energy source for the magnetic field growth in magnetars driven by the electron-nucleon interaction*, Phys.Rev.D **92**, 083007 (2015) [arXiv:1507.03948].
3. M. Dvornikov and V.B. Semikoz, *Generation of the magnetic helicity in a neutron star driven by the electroweak electron-nucleon interaction*, JCAP**05** (2015) 032[arXiv:1503.04162].
4. M. Dvornikov and V.B. Semikoz, *Magnetic field instability in a neutron star driven by electroweak electron-nucleon interaction versus chiral magnetic effect*, Phys.Rev.D **91**, 061301 (2015)[arXiv:1410.6676].
5. M. Dvornikov, *Impossibility of the strong magnetic fields generation in an electron-positron plasma*, Phys. Rev. D **90**, 041702 (2014) [arXiv:1405.3059].
6. M. Dvornikov and V.B. Semikoz, *Instability of magnetic fields in electroweak plasma driven by neutrino asymmetries*, JCAP**05** (2014) 002 [arXiv:1311.5267].

MAQNİTLİ MÜHİTDİ MÜON (TAUON) NEYTRİNOLARI V ELEKTRON ANTINEYTRİNOLARININ MÜON (TAUON) V POZİTRONLARA ANNİHİLYASIYASININ POLYARLA MAHALI

R. E. Qasimova

*AMEA əməkdaş Astrofizika Respublikası Günəş fizikası şöbəsi, Bakı Dövlət Universiteti Nəzəri
fizika kafedrası, Qafqaz Universiteti Fizika kafedrası, Bakı, Azərbaycan; Naxçıvan Dövlət
Universiteti Ümumi və Nəzəri fizika kafedrası, Naxçıvan, Azərbaycan*

gasimovar@yahoo.co.uk

Bu işdə məqsəd maqnitli mühitdə müon (tauon) neytrinoları və elektron antineytrinoları maqnit sahəsinin intensivlik vektoru ilə üst-üstə düşən z-oxu üzrə bir-birinə kəsişmə istiqamətində hərəkət edərək

$$\epsilon_L + \epsilon_e \rightarrow L^- + e^+ \quad (1)$$

reaksiyası üzrə bəzi müon (tauon) neytrinolarının və elektron antineytrinolarının müonlara (tauonlara) və pozitronlara annihilyasiyası prosesləri [1] nəticəsində spinləri enin polyarlı müonların (tauonların) və pozitronların eyni zamanda dəfələrlə bilməsi mümkün olan nəzəriyyə Landau səviyyələrini müəyyən etməklə alınan nəticələrin kosmik və astrofizik təbii qanunları göstərməkdir. Maqnitli mühitdə müon (tauon) neytrinoları maqnit sahəsi istiqamətində, elektron antineytrinoları isə maqnit sahəsinin kəsişmə istiqamətində hərəkət etdiyi halda (1)

reaksiyası üzrə gedən proseslərin effektiv kəsimi do ulan müonların (tauonların) və pozitronların spinlərinin enin polyarla maları n z r alınmaqla a a ıdakı ifadə ilə verilir:

$$\dagger = \frac{G_F^2}{f} m_L^2 \frac{H}{H_{0L}} \sum_{n,n'=0}^{\infty} \sum_i \frac{E_i E_i'}{|E_i p_{zi} - E_i p_{zi}'|} (1 - f_{L^-}) (1 - f_{e^+}) t_5 I_{n-1,n'}^2(x). \quad (2)$$

Burada G_F - z if qarılıqlı təsirə Fermi sabiti, H - maqnit sahəsinin intensivliyinin qiyməti, $H_{0L} = m_L^2/e = (m_L/m_e)^2 (m_e^2/e)$ - maqnit sahəsinin $\hbar = c = 1$ olan vahidli r sistemində m_L kütləli yüklü leptona uyğun böhran qiyməti, m_e - elektronun (pozitronun) kütləsi, $E_i (E_i')$ və $p_{zi} (p_{zi}')$, uyğun olaraq, pozitronun (müonun və ya tauonun) enerjisi və impulsunun üçüncü komponenti, f_{L^-} və f_{e^+} , uyğun olaraq, müon (tauon) və pozitron qazlarının Fermi-Dirak paylanma funksiyasıdır. Bu ifadə (+---) signaturalı psevdoevklid metrikasından və $\hbar = c = k_B = 1$ olan vahidli r sistemində $(k_B$ - Bolsman sabitidir) istifadə edirik. (2) ifadəsindəki $I_{n,n'-1}(x)$ funksiyası

$$x = \frac{\check{S}^2 \sin^2 [\check{\alpha}' + \check{S}'^2 \sin^2 [\check{\alpha}' + 2\check{S}\check{S}' \sin [\check{\alpha}' \cos(r - r')]}{2eH} \quad (3)$$

argumentində asılı olan Lyaher funksiyasıdır. (3) ifadəsində $[\check{\alpha}'$ və $r(r')$, uyğun olaraq, müon neytrinosunun və ya tauon neytrinosunun (elektron antineytrinosunun) impulsunun polyar və azimutal bucağı, \check{S} - müon neytrinosunun və ya tauon neytrinosunun enerjisi, \check{S}' is elektron antineytrinosunun enerjisidir. t_5 spin məsələsindəki kimi təyin edilir:

$$t_5 = \frac{1}{4} (1 + \epsilon) (1 + \epsilon') (1 + s) (1 - s'). \quad (4)$$

Burada

$$\epsilon = \frac{p_z}{E}, \quad \epsilon' = \frac{p_z'}{E'}, \quad (5)$$

$$s = \frac{m_e}{\sqrt{E^2 - p_z^2}}, \quad s' = \frac{m_L}{\sqrt{E'^2 - p_z'^2}}, \quad (6)$$

$$E = \sqrt{m_e^2 + 2eHn + p_z^2}, \quad E' = \sqrt{m_L^2 + 2eHn' + p_z'^2}, \quad (7)$$

$\check{\alpha}'$ və $\check{\alpha}'$ - uyğun olaraq, pozitronun və müonun (tauonun) spinlərinin sahə istiqamətində və ya onun kəsi istiqamətində proyeksiyalarıdır. (2) ifadəsində daxil olan $I_{n-1,n'}(x=0)$ funksiyası $\Delta n = n - n'$ fərqinin yalnız $\Delta n = +1$ rətini ödəyən n və n' qiymətləri üçün sıfırdan fərqli olub vahid bərabərdir. $\Delta n = +1$ olduqda (1) proseslərin effektiv kəsimi a a ıdakı ifadə ilə verilir:

$$\dagger = \frac{G_F^2}{4f} m_L^2 \frac{H}{H_{0L}} \sum_{n=1}^{\infty} \sum_{n'=0} \frac{E_i E_i'}{|E_i p_{zi} - E_i p_{zi}'|} (1 - f_{L^-}) (1 - f_{e^+}) (1 + \epsilon) (1 + \epsilon') (1 + s) (1 - s'). \quad (8)$$

n və n' bəzən kvant ədədlərinin $\Delta n \neq +1$ qiymətləri üçün $I_{n-1,n'}(x=0)$ funksiyası sıfıra bərabər olduquna görə $\dagger = 0$ olur və $\epsilon_L + \tilde{\epsilon}_e \rightarrow L^- + e^+$ prosesləri qadağan olunub.

Deməli, müon (tauon) neytrinoları maqnit sahəsi istiqamətində, elektron antineytrinoları isə maqnit sahəsinin kəsişmə istiqamətində hərəkət etdiyi halda (1) prosesləri hesabına pozitronların və müonların (və ya tauonların) doğulması biləcəyi əlaqəli Landau səviyyələri arasında belədir: $n=1, n'=0$; $n=2, n'=1$; $n=3, n'=2$ və s. Başqa sözlə, müon (tauon) neytrinoları maqnit sahəsi istiqamətində, elektron antineytrinoları isə maqnit sahəsinin kəsişmə istiqamətində hərəkət etdikdə (1) prosesləri hesabına pozitronların və müonların (tauonların) doğulması biləcəyi əlaqəli Landau səviyyələri üçün $n = n' + 1$ münasibəti ödənilir. Burada $n=1, 2, 3, \dots$ və $n'=0, 1, 2, \dots$. Beləliklə, təhlillər göstərir ki, müon (tauon) neytrinoları maqnit sahəsi istiqamətində, elektron antineytrinoları isə maqnit sahəsinin kəsişmə istiqamətində hərəkət etdiyi halda (1) prosesləri hesabına pozitronların əsas Landau səviyyəsində doğulması mümkün deyil. Pozitronların doğulması biləcəyi əlaqəli səviyyə birinci Landau səviyyəsidir. Bu halda müonların (tauonların) doğulması biləcəyi əlaqəli səviyyə əsas Landau səviyyəsidir. əsas Landau səviyyəsində yaranan müonlar (tauonlar) üçün $n'=0, p'_z=0, \alpha'=-1$ olduquna görə onların enerjisi öz sükunət enerjisinə $E = m_\mu$ ($E = m_\tau$) bərabər olur və həmin müonlar (tauonlar) kinetik enerji və ümumiyyətlə, sükunət enerjisində nəvəyə bərabər enerjiyə malik olmadıqlarına görə yarımadıqları güclü maqnitli mühitdə qalır. Güclü maqnitli mühit dedikdə güclü maqnitli kosmik obyektlər bəzən deyilir. Birinci Landau səviyyəsində yaranan pozitronlar isə $E = \sqrt{m_e^2 + 2eH + (\tilde{S} - \tilde{S}')^2}$ enerjisinə malik olduqlarına görə mühiti tərk edə bilər. Nəticədə $\epsilon_L + \tilde{\epsilon}_e \rightarrow L^- + e^+$ prosesləri hesabına yaranan bu pozitronlar kosmosa sıçrayır və yüksək enerjili pozitronlar kimi kosmik üzlərin tərkibində olan elektronlarla müqayisədə üstün pay yaradır. Deməli, PAMELA və AMS-02 eksperimentlərinə müəahid olunan pozitron artığının [2-4] mümkün mənbələrindən biri yaranma mexanizmlərindən biri də güclü maqnitli kosmik obyektlərdə maqnit sahəsi istiqamətində hərəkət edən müon (tauon) neytrinoları ilə maqnit sahəsinin kəsişmə istiqamətində hərəkət edən elektron antineytrinolarının əsas Landau səviyyəsində doğulan müonlara (tauonlara) və birinci Landau səviyyəsində doğulan pozitronlara annihilyasiyası prosesləridir.

D B Y Y A T

1. , , , , **63** (2000) 2041
2. Adriani O. et al. PAMELA Collaboration. Nature, 2009, 458, 607
3. Aguilar M. et al. AMS Collaboration, Phys. Rev. Lett., 2013, 110, 141102
4. Accardo L. AMS Collaboration. Phys. Rev. Lett., 2014, 113, 121101

**MAQNİT MÜHTƏMƏL NEYTRON-ANTINEYTRON CÜTLƏRİNİN
POLYARLARLA MİKROELEKTRON VƏ POZİTRONLARA ANNIHİLYASI**

**R.E. Qasımova, V.A. Hüseynov, N.Y. Kəbirova,
H.B. Qasımova, E.M. Mahmudlu**

*AMEA əməkdaşlığına Astrofizika Respublikası Günəş fizikası şöbəsi, Bakı Dövlət Universiteti Nəzəri
fizika kafedrası, Qafqaz Universiteti Fizika kafedrası, Bakı, Azərbaycan;*

BDU Nəzəri fizika kafedrası, Qafqaz Universiteti Fizika kafedrası,

Naxçıvan Dövlət Universiteti Ümumi və Nəzəri fizika kafedrası,

Qafqaz Universiteti Fizika kafedrası

gasimovar@yahoo.co.uk, vqusseinov@yahoo.com

Bu işdə məqsəd xarici, sabit, bircins maqnit sahində neytrino və antineytrinolar Oxy müstəvisində qarışıq-şərtlərdə hərəkət etdikdə yüklü lepton və antileptonların enin polyarlarla malarımı nəzərləməklə $\epsilon_- + \bar{\epsilon}_- \rightarrow e^- + e^+$ ($\epsilon_+ + \bar{\epsilon}_+ \rightarrow e^- + e^+$) prosesinin effektiv kəsiyini hesablamak, effektiv kəsiyin sahə parametrindən asılılığını analitik və qrafik olaraq araşdırmaq, maqnit sahəsinin baxılan proseslərinin hərəkəti üçün həqiqi olma bəladı sahə intensivliyini müəyyən etməklə və alınmış nəticələrin mümkün astrofiziki təbiiqlərini göstərməkdir.

Neytrino və antineytrino Oxy müstəvisində ($\theta = f/2$; $\theta' = f/2$) qarışıq-şərtlərdə ($r' = r + f$) hərəkət etdikdə baxılan proseslərin effektiv kəsiyini müəyyən edən müxtəlif indeksli I_1 , I_2 , I_3 və I_4 Lyaher funksiyalarının arqumenti olan

$$x = \left[\tilde{S}^2 \sin^2 \theta + \tilde{S}'^2 \sin^2 \theta' + 2\tilde{S}\tilde{S}' \sin \theta \sin \theta' \cos(r - r') \right] / (2eH) \quad (1)$$

deyəni $x = (\tilde{S} - \tilde{S}')^2 / (2eH)$ kimi təyin edilir. Kifayət qədər güclü maqnit sahələrində neytrino və antineytrinonun enerjilərinin bir-birinə yaxın qiymətlərində $\left[(\tilde{S} - \tilde{S}')^2 / (2eH) \right] \ll 1$ olur və x

deyəni üçün $x \approx 0$ qəbul edilə bilər. Maqnit sahəsinin baxılan proseslərinin qrafik olaraq araşdırmaq məqsədilə konkret fiziki rəhbərlik baxaq. $E \gg T$, $E \ll T$, $E' \gg T$, $E' \ll T$ rəhbərlik daxilində neytrino və antineytrino sahəyə perpendikulyar istiqamətdə qarışıq-şərtlərdə daxil olduqda ($\theta = f/2$; $\theta' = f/2$; $r' = r + f$) pozitron birinci Landau səviyyəsində ($n=1$), elektron isə ikinci Landau səviyyəsində ($n'=2$) yaranarsa, bu halda prosesin effektiv kəsiyi aşağıdakı sadə ifadə ilə verilir:

$$\tau = \tau' \cdot \frac{(1 + \kappa)^{1/2} (1 + 2\kappa)^{1/2}}{(1 + \kappa)^{1/2} + (1 + 2\kappa)^{1/2}} t_4. \quad (2)$$

Burada

$$\tau' = \frac{G_F^2 \sqrt{2}}{16f} m_e^2, \quad \kappa = \frac{H}{H_0}, \quad (3)$$

$$t_4 = \frac{1}{8} \left[g_+ (1 + \epsilon \epsilon') - g_- (1 - \epsilon^2)^{1/2} (1 - \epsilon'^2)^{1/2} - 2g_\perp (\epsilon + \epsilon') \right] (1 - s)(1 + s'), \quad (4)$$

$$\epsilon = \frac{p_z}{E}, \quad \epsilon' = \frac{p'_z}{E'} \quad (5)$$

$$s = \frac{m_e}{\sqrt{E^2 - p_z^2}}, \quad s' = \frac{m_e}{\sqrt{E'^2 - p_z'^2}} \quad (6)$$

$$E = \sqrt{m_e^2 + 2eHn + p_z^2}, \quad E' = \sqrt{m_e^2 + 2eHn' + p_z'^2} \quad (7)$$

$$g_\pm = g_V^2 \pm g_A^2, \quad g_\perp = g_V g_A. \quad (8)$$

$\langle v \rangle$ - uyun olaraq, pozitronun v elektronun spinli rinin sah istiqam tinda v ya onun kisi istiqam tinda proyeksiyaları, $g_V = -0,5 + 2 \sin^2 \theta_w$, θ_w - Vaynberq bucağı, $\sin^2 \theta_w \sim 0,23$. (8) düsturundan alınan \dagger/\dagger' nisb tinda $\langle \rangle$ yininda n asılı olan h r hansı bir f funksiyasıdır: $\frac{\dagger}{\dagger'}(\langle \rangle) = f(\langle \rangle)$. Lakin maqnit sah sinin baxılan prosesl r t siri son haldaki elektron v pozitronların spin hallarından da asılıdır. Burada dörd hal mümkündür:

$$1) \langle \rangle = +1, \langle \rangle' = +1, \quad 2) \langle \rangle = -1, \langle \rangle' = -1, \quad 3) \langle \rangle = +1, \langle \rangle' = -1, \quad 4) \langle \rangle = -1, \langle \rangle' = +1. \quad (9)$$

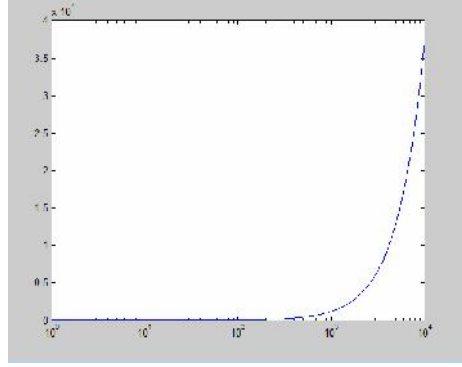
Biz burada diqq tinda c lb ed n 2-ci v 3-cü halları t diqq edib müqayis l r aparacaq. $\langle \rangle = -1, \langle \rangle' = -1$ olan halda \dagger/\dagger' nisb tinin $\langle \rangle$ yininda n asılılığı 1 kil 1-d, $\langle \rangle = +1, \langle \rangle' = -1$ olan halda \dagger/\dagger' nisb tinin $\langle \rangle$ yininda n asılılığı 1 kil 2-d verilmi qrafikl r t svir olunmu dur. $\langle \rangle$ yinin uyun g l n absis oxu loqarifmik miqyasda verilmi dir. Qrafikl rd n göründüyü kimi maqnit sah sinin t siri $\langle \rangle = 10^2$ qiym tinda, y ni $H \sim 10^{15} Q_s$ t r tibli sah l rd (m s l n, maqnitarlarda) özünü h miyy tli d r c d göst r m y ba layır. Eyni zamanda maqnit sah sinin baxılan prosesl r t siri son haldaki elektron v pozitronların spin hallarından da asılıdır.

$\langle \rangle = -1, \langle \rangle' = -1$ v $\langle \rangle = +1, \langle \rangle' = -1$ olan hallarda $\epsilon_- + \epsilon'_- \rightarrow e^- + e^+$ ($\epsilon_+ + \epsilon'_+ \rightarrow e^- + e^+$) prosesinin ba verm sinin effektiv k sikl rinin nisb tinda üçün a a idaki ifad alınır:

$$\frac{\dagger(\langle \rangle, \langle \rangle' = -1, \langle \rangle' = -1)}{\dagger(\langle \rangle, \langle \rangle' = +1, \langle \rangle' = -1)} = \frac{[2g_A^2 - 2g_V g_A (\epsilon + \epsilon')](1 + s)}{[2g_V^2 - 2g_V g_A (\epsilon + \epsilon')](1 - s)}. \quad (10)$$

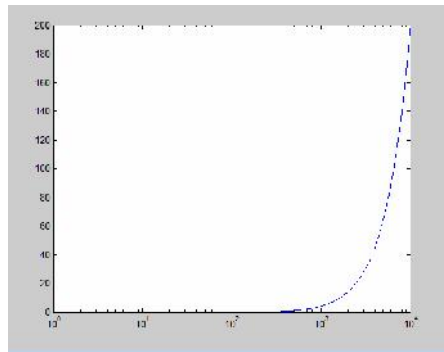
Fiziki k miyy tlin $n = 1, n' = 2, H = 10^2 H_0$ [1, 2] v $p_z = m_e$ qiym tli ri üçün $\epsilon \cong 0,07, \epsilon' \cong 0,05, s \cong 0,07, s' \cong 0,05$ qiym tlinin alındı mını n z r alsaq (10) ifad sind n istifad etm kl a a idaki d di qiym tli ndirm alınır:

$$\frac{\dagger(\langle \rangle, \langle \rangle' = -1, \langle \rangle' = -1)}{\dagger(\langle \rangle, \langle \rangle' = +1, \langle \rangle' = -1)} \cong 21. \quad (11)$$



Şəkil 1. $\mu = -1, \mu' = -1$ olan halda $\frac{1}{1+x^2}$ funksiyasının x dəyərinin asılılığı

Deməli, sahə effektləri öz təsirini həqiqi olaraq göstərmiş bəzilər $H = 10^2 H_0 \sim 10^{15} Qs$ tərtibli maqnit sahələrində [1, 2] pozitronlar birinci Landau səviyyəsində, elektronlar isə ikinci Landau səviyyəsində olduqda $\epsilon_- + \epsilon_- \rightarrow e^- + e^+$ ($\epsilon_+ + \epsilon_+ \rightarrow e^- + e^+$) prosesinin elektron və pozitronların spinlərinin sahənin istiqamətində yönəldiyi halda bəzilər ehtimalı pozitronların spinlərinin sahə istiqamətində, elektronların spinlərinin isə sahənin istiqamətində yönəldiyi haldakı ehtimalından təqribən 21 dəfə böyükdür. Təhlillər göstərir ki, spinli maqnit sahəsi istiqamətində yönəlmiş ($\mu = +1, \mu' = +1$) elektron və pozitronların yaranması spinli maqnit sahəsinin zəruri istiqamətində yönəlmiş elektron və pozitronların yaranması ilə müqayisədə dominantlıq təşkil edir. $E \gg T, E \ll T, E' \gg T, E' \ll T$ şərtlərində daxilində neytrino və antineytrino sahəyə perpendikulyar istiqamətdə qarışıq qarıya daxil olduqda maqnitarlarda gedən $\epsilon_- + \epsilon_- \rightarrow e^- + e^+$ ($\epsilon_+ + \epsilon_+ \rightarrow e^- + e^+$) prosesi hesabına birinci Landau səviyyəsində yaranan pozitronların və ikinci Landau səviyyəsində yaranan elektronların kəmiyyətinin spinli eyni zamanda ya maqnit sahəsi istiqamətində, ya da maqnit sahəsinin istiqamətində yönəlməsi olur.



Şəkil 2. $\mu = +1, \mu' = -1$ olan halda $\frac{1}{1+x^2}$ funksiyasının x dəyərinin asılılığı

D B YAYAT

1. Duncan R.C., Thompson C. The Astrophysical Journal Letters, 1992, v.392, pp.L9.
2. Kouveliotou C., Duncan R.C., Thompson C. Scientific American, 2003, v.288, No2, pp.24-31.

**HIGGS BOSON SEARCH AT LARGE HADRON COLLIDER
AND PREDICTION OF EXISTENCE OF NEW BOSONS**

V.A. Huseynov

Department of Theoretical Physics, Baku State University

Department of General and Theoretical Physics, Nakhchivan State University

University Campus

Department of Physics, Qafqaz University, Baku-Sumgayit Road

vgusseinov@yahoo.com

Recently a new neutral boson (NB) at a mass around 125 GeV [1, 2] with properties compatible with the Standard Model Higgs boson was discovered in the LHC ATLAS and CMS experiments. Determination of the spin and parity of the NB at a mass around 125 GeV is one of the most important questions of LHC physics. The different $J^P = 0^+, 0^-, 1^+, 1^-, 2^+$ models were discussed for identification of the NB at a mass around 125 GeV . Obviously, the discovered NB at a mass around 125 GeV is not an on-shell spin 1 particle. According to the Landau-Yang theorem an on-shell spin 1 particle can not directly decay into a pair of photons [3, 4]. In general, the existing experimental data exclude the $J^P = 0^-, 1^+, 1^-, 2^+$ models at confidence levels above 97.8% and provide evidence for the spin $J^P = 0^+$ nature of the indicated NB [5]. However, the $J^P = 2^+$ model has not been completely excluded yet. Thus, so far the spin of the discovered NB at a mass around 125 GeV is an urgent topic of LHC physics.

The main purpose of this work is to determine the condition in what the arbitrary NB having the mass in the range $0 < m < 2m_W$ (including the NB at a mass around 125 GeV) can decay into a pair of on-shell W^- and W^+ -bosons in a magnetic field (MF), to determine the spin of the indicated NBs, to study possible existence of new NBs having the mass in the range $0 < m < 2m_W$ and to estimate the MF strength required for realization of the new decay channel.

On the ground Landau level the W^- (W^+)-boson spin is oriented opposite to (along) the MF direction, i.e. $s_{-z} = -1$ ($s_{+z} = +1$), and the W^\mp -boson energy satisfies the inequality

$$E_{W^\mp} = \sqrt{m_W^2 - eB} < m_W \quad (1)$$

for $B \neq 0$ provided that $B \leq B_{0W}$.

One of the main decay modes of the NB at a mass around 125 GeV observed in the LHC experiments is the $H \rightarrow WW^*$. We have obtained the following relation for the energy of the decaying NB which we assume to be at rest

$$E = m = 2\sqrt{m_W^2 - eB} < 2m_W \quad (2)$$

We have determined that B should satisfy the condition

$$B \geq B_{\min}, \quad (3)$$

where

$$B_{\min} = 2f \frac{m_W \Gamma_W}{e} \quad (4)$$

is the minimal strength of the MF that can affect on a W^\mp -boson during its life time in a MF where Γ_W is the W -boson decay width in a MF. Thus, in current situation the MF strength changes in the range

$$2f \frac{\Gamma_W}{m_W} \frac{m_W^2}{e} \leq B < \frac{m_W^2}{e}. \quad (5)$$

instead of the range $0 < B < B_{0W}$. At the same time B_{\min} is the minimal strength of the MF that is required for realization of the decay of an arbitrary NB having the mass in the range $0 < m < 2m_W$ into the on-shell W^- - and W^+ -bosons on the ground Landau level. The minimal MF strength B_{\min} also determines the maximal mass of the arbitrary NB that can exist in the mass range $0 < m < 2m_W$ and decay into the on-shell W^- - and W^+ -bosons on the ground Landau level in a MF

$$0 < m \leq m_{\max}, \quad (6)$$

where

$$m_{\max} = 2m_W \sqrt{1 - 2f \frac{\Gamma_W}{m_W}} \quad (7)$$

and

$$m_{\max} < 2m_W. \quad (8)$$

Now let us estimate the maximal mass of the NB that may exist in the mass range $0 < m < 2m_W$ and can decay into the on-shell W^- - and W^+ -bosons on the ground Landau level in a MF. For this purpose we use the formula (7). For rough estimation we put $\Gamma_W^0 \cong 2.085 GeV$ [6] instead of Γ_W , where Γ_W^0 is the W^\mp -boson decay width in free case when a MF is absent. In this case we obtain $147 GeV$ for the NB mass. However, in a MF the W^\mp -boson mean lifetime differs from the mean lifetime in free case. Therefore, the W^\mp -boson decay width Γ_W in a MF is not equal to the free decay width Γ_W^0 and it may be greater or smaller than Γ_W^0 . Depending on the W^\mp -boson decay width (mean lifetime) in a MF the maximal mass of the NB existing in the mass range $0 < m < 2m_W$ and decaying into the on-shell W^- - and W^+ -bosons on the ground Landau level in a MF is around about $147 GeV$. The spin of this NB can be $J = 0, 1, 2$.

If we take into account the anomalous magnetic moment of W -bosons, we obtain the following formula for the mass of the new NB

$$m_{Y_{\max}} = 2m_W \left(1 - 2f \frac{\Gamma_W}{m_W} \right) \left[1 + \left(2f \frac{\Gamma_W}{m_W} \right)^2 \right]^{-1/2}. \quad (9)$$

More detail and additional calculations that takes into account the anomalous magnetic moment of W-bosons show that the mass of the expected possible new NB is in the range

$$133 \text{ GeV} < m < 147 \text{ GeV}. \quad (10)$$

The quantum state or particle with the spin $J = 2$ obtained here can be interpreted in two ways:

1) if the NB at a mass around 125 GeV is not the only NB (except the known neutral Z -boson) in the mass range $0 < m < 2m_W$, it means that in the indicated mass range there may exist the new NBs with the spins $J = 0$, $J = 1$ and $J = 2$ besides the 125 GeV Higgs boson; the predicted NBs may be either fundamental particles or bound states; the bound state consisting of W^-W^+ -pair may be a candidate for the quantum state or particle possessing the properties $J = 0$, $J = 1$ and $J = 2$. At the same time it should be noted that the mass $m_{W^-W^+}$ of the W^-W^+ -bound state lies in the range $0 < m < 2m_W$.

2) if the NB at a mass around 125 GeV is the only NB with the spin $J \neq 1$ in the mass range $0 < m < 2m_W$, it means that the NB at a mass around 125 GeV possesses both the spin $J = 0$ property and the spin $J = 2$ property. The LHC experimental data show that the spin $J = 2$ version still remains. Even the existing experimental data can not completely exclude the spin $J = 2$ version.

The existing experimental data also show that there are weak signals around 135 GeV that are in favour of the predicted new NB in the mass range below 160 GeV .

REFERENCES

1. ATLAS Collaboration. Phys. Lett. B 716, 1 (2012).
2. CMS Collaboration. Phys. Lett. B 716, 30 (2012).
3. L. D. Landau, Dokl. Akad. Nauk USSR 60, 207 (1948).
4. C. N. Yang, Phys. Rev. 77, 242 (1950).
5. ATLAS Collaboration. Phys. Lett. B 726, 120 (2013).
6. K. A. Olive et al., Particle Data Group, Chin. Phys. C 38, 090001 (2014).

**SEARCH FOR THE ASSOCIATED PRODUCTION OF THE
HIGGS BOSON WITH A TOP QUARK PAIR IN MULTILEPTON
FINAL STATES WITH THE ATLAS DETECTOR**

N.A. Huseynov, Y. Ilchenko*

JINR, Dubna, Russia, nguseynov@jinr.ru

**University of TEXAS, Austin, USA, ilchenko@physics.utexas.edu*

A search for the associated production of the Higgs boson with a top quark pair is performed in multilepton final states using 20.3fb^{-1} of proton–proton collision data recorded by the ATLAS experiment at $\sqrt{s} = 8\text{TeV}$ at the Large Hadron Collider. Five final states, targeting the decays $H \rightarrow WW^*$, $H \rightarrow ZZ^*$, and $H \rightarrow ZZ^* \rightarrow 4l$, are examined for the presence of the Standard Model (SM) Higgs boson: two same-charge light leptons (e or μ) without a hadronically decaying lepton; three light leptons; two same-charge light leptons with a hadronically decaying lepton; four light leptons; and one light lepton and two hadronically decaying leptons. No significant excess of events is observed above the background expectation. The best fit for the $t\bar{t}H$ production cross section, assuming a Higgs boson mass of 125 GeV, is $2.1_{-1.2}^{+1.4}$ times the SM expectation, and the observed (expected) upper limit at the 95% confidence level is 4.7 (2.4) times the SM rate. The p-value for compatibility with the background-only hypothesis is 1.8%; the expectation in the presence of a Standard Model signal is 0.9%.

The discovery of a new particle H with a mass of about 125 GeV in searches for the Standard Model (SM) Higgs boson at the LHC was reported by the ATLAS and CMS Collaborations in July 2012. The particle has been observed in the decays $H \rightarrow WW^* \rightarrow l\bar{l}$, $H \rightarrow ZZ^* \rightarrow 4l$, and $H \rightarrow ZZ^* \rightarrow l\bar{l}$ and evidence has been reported for $H \rightarrow ZZ^* \rightarrow 4l$, consistent with the rates expected for the SM Higgs boson. The observation of the process in which the Higgs boson is produced in association with a pair of top quarks ($t\bar{t}H$) would permit a direct measurement of the top quark–Higgs boson Yukawa coupling in a process that is tree-level at the lowest order, which is otherwise accessible primarily through loop effects. Having both the tree- and loop-level measurements would allow disambiguation of new physics effects that could affect the two differently, such as dimension-six operators contributing to the ggH vertex. This letter describes a search for the SM Higgs boson in the $t\bar{t}H$ production mode in multilepton final states. The five final states considered are: two same-charge-sign light leptons (e or μ) with no additional hadronically decaying lepton; three light leptons; two same-sign light leptons with one hadronically decaying lepton; four light leptons; and one light lepton with two hadronically decaying candidates. These channels are sensitive to the Higgs decays $H \rightarrow WW^*$, $H \rightarrow ZZ^*$, and $H \rightarrow ZZ^* \rightarrow 4l$ produced in association with a top quark pair decaying to one or two leptons. A similar search has been performed by the CMS Collaboration. The selections of this search are designed to avoid overlap with ATLAS searches for $t\bar{t}H$ in $H \rightarrow b\bar{b}$ and $H \rightarrow \tau\tau$ decays. The main backgrounds to the signal arise from $t\bar{t}$ production with additional jets and non-prompt leptons, associated production of a top quark pair and a vector boson W or Z (collectively denoted $t\bar{t}V$), and other processes where the electron

charge is incorrectly measured or where quark or gluon jets are incorrectly identified as candidates.

This analysis is a search for $t\bar{t}H$ production; as such, production of tHq and tHW is considered as a background and set background to Standard Model induces expectation. a shift of Including $\mu = -0.04$ this compared contribution to setting as a it to zero. A full extraction of limits on the top quark Yukawa coupling including the relevant modifications of single top plus Higgs boson production. The results are sensitive to the assumed cross sections for $H \rightarrow WW^*$, and $t\bar{t}Z$ production, and use theoretical predictions for these values as experimental measurements do not yet have sufficient precision. The best-fit μ value as a function of these cross sections is

$$\mu(t\bar{t}H) = 2.1 - 1.4 \left(\frac{(t\bar{t}W)}{232 \text{ fb}} - 1 \right) - 1.3 \left(\frac{(t\bar{t}Z)}{206 \text{ fb}} - 1 \right)$$

A search for $t\bar{t}H$ production in multilepton final states has been performed using 20.3 fb of proton–proton collision data at $t\bar{t}H$ recorded by the ATLAS experiment at the LHC. The best-fit value of the ratio μ of the observed production rate to that predicted by the Standard Model is $2.1^{+1.4}_{-1.2}$. This result is consistent with the Standard Model expectation. A 95% confidence level limit of $\mu < 4.7$ is set. The expected limit in the absence of $t\bar{t}H$ signal is $\mu < 2.4$. The observed (expected) p-value of the no-signal hypothesis corresponds to 1.8 (0.9).

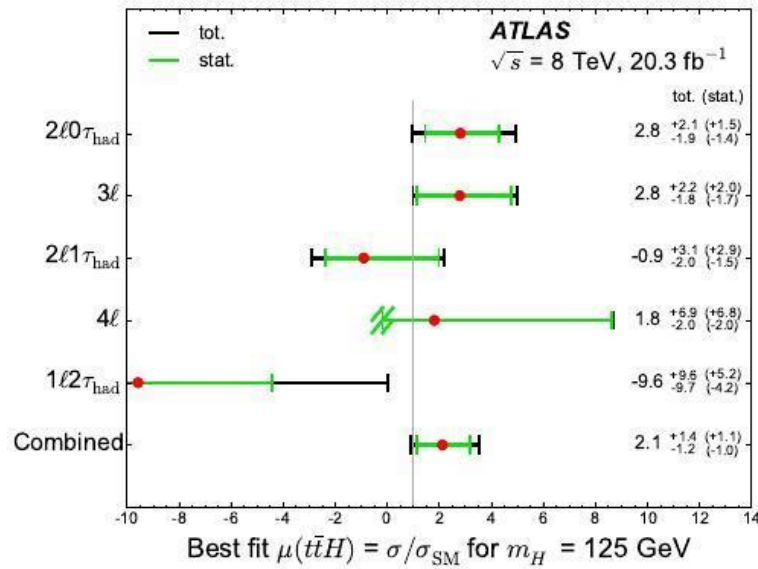


Figure 1. Best-fit values of the signal strength parameter $\mu = \sigma_{t\bar{t}H, \text{obs}} / \sigma_{t\bar{t}H, \text{SM}}$.

For the 4ℓ Z-depleted category, $\mu < -0.17$ results in a negative expected total yield and so the lower uncertainty is truncated at this point.

AKSIAL-VEKTOR MEZONUN NUKLONLARLA

QARŞILIQLI TƏSİRLƏR

. M. Məmmədov¹, N.C. Hüseynova^{1,2}

(1)BDU, Fizika Problemləri ET

(2) BDU Nazirliyi Fizika Kafedrası

nerminh236@gmail.com

AdS/KXD-nin sərbəst divar modelində a_1 aksial vektor mezon ilə nuklonların qarşılıqlı təsiri məsələn baxılmışdır. AdS fəzasının daxilində A_L və A_R kalibrli məhsuləri vasitəsilə aksial vektor sahə və kiral simmetriyanı pozmaq üçün psevdoskalyar sahə daxil edilmişdir. Bu məhsulər üçün AdS fəzasının daxilində Lagranjian yazılmış, hərəkət tənlikləri alınmış və bu tənliklərin həlli olan profil funksiyaları tapılmışdır. AdS/KSN uyğunlaşdırma şərtləri daxilində yazılmış qarşılıqlı təsirlər Lagranjianından istifadə edilərək a_1 mezon-nuklon qarşılıqlı təsirlər sabiti $g_{a_1 NN}$ üçün sərbəst divar modelində ölçü üzrə integral ifadələri alınmışdır.

Açar sözlər: Anti-de Sitter fəzası, aksial vektor, mezon, nuklon, profil funksiyası

I. GİRİŞ

Konformal sahə nəzəriyyəsi uyğunlaşdırma üçün 5 ölçülü Anti-de-Sitter fəzasının daxilində təyin olunmuş ixtiyari sahəyə, bu fəzanın ultraböyük ölçüdə operator qarşılığı qoyulur. Sərbəst təyin olunmuş kvant xromodinamikasındakı konfaynment xassisi daxilindəki AdS fəzası ilə 2 üsulla verilir ki, bunlar da AdS/KXD nəzəriyyəsinin sərbəst və yumşaq divar modelləri adlanır [1,2]:

1)Sərbəst divar modelində fəzanın üzərində kəskin (infraqırmızı) sərbəst divar qoyulmaqla, nəzəriyyə məhdud oblastda qurulur. Sərbəst divar modeli mezonlar üçün xəttilə asılı olaraq artan kütlə spektri verir.

2)Yumşaq divar modelində 5 ölçülü integralın qiymətini sonlu etmə üçün təsirin ifadəsinin eksponensial vuruqlu dilaton sahəsi daxil edilir. Yumşaq divar modeli mezonların kütləsinin kvadratı üçün xəttilə asılı olaraq artan spektr verir.

Tədqiqat olunan aksial-vektor mezon ilə nuklonların qarşılıqlı təsiri məsələn AdS/KXD-nin sərbəst divar modelində tədqiq edilmişdir. Qeyd edək ki, bu qarşılıqlı təsirlər bugünkü sərbəst divar modelində araşdırılmamışdır. Biz vətənlilikimizdə yumşaq divar modelində vakuumba a_1 -mezonun nuklonlarla [3] qarşılıqlı təsirlərini araşdırma və uyğun qarşılıqlı təsirlər sabitinin dəqiqliyini hesablamağı.

Məqsəd sərbəst divar modeli çərçivəsində a_1 -mezon və nuklonlar üçün AdS fəzasının daxilində Lagranjian yazılmış, hərəkət tənlikləri alınmış və bu tənliklərin həlli olan profil funksiyaları tapılmışdır.

Anti-de-Sitter Konformal Sahə Nəzəriyyəsi uyğunlaşdırma şərtləri daxilində yazılmış qarşılıqlı təsirlər Lagranjianlarından istifadə edilərək AdS fəzasının daxilində a_1 -mezon-nuklon qarşılıqlı təsirlər sabiti üçün ölçü üzrə integral ifadələri alınmışdır. Sonra isə əldə etdiyimiz ifadəni yumşaq divar modelində alınan qiymətlə müqayisə etmişik.

II. S RT DIVAR MODELİ

S r t divar modelində f zamanın üz rində k skin (infraqırmızı) s r h d rti qoyulmaqla, n z riyy m h d u d o b l a s t d a q u r u l u r v t s i r (1) d u s t u r u i l t y i n o l u n u r:

$$I = \int_0^{z_M} d^5x \sqrt{g} L, \quad (1)$$

burada inteqrallama 0-dan z_M - q d r a p a r ı l ı r, $g = |\det g_{MN}|$ ($M, N=1, 2, 3, 4, 5$) v AdS f zasının metrikası a a ı d a k ı k i l d i t y i n o l u n u r.

$$ds^2 = \frac{1}{z^2} (-dz^2 + \eta_{\mu\nu} dx^\mu dx^\nu) \quad \mu, \nu = 0, 1, 2, 3$$

$$g_{MN} dx^M dx^N = e^{2A(z)} (dz^2 + \eta_{\mu\nu} dx^\mu dx^\nu), \quad (2)$$

Burada $\eta_{\mu\nu}$ is Minkovski metrikasıdır.

$$\eta_{\mu\nu} = \text{diag}(1, -1, -1, -1) \quad (3)$$

III. ANTI-DE-SITTER F ZASININ S RT DIVAR MODELINDƏ AKSIAL VEKTOR MEZON

AdS f zasının daxilində 2 d d A_L^M v A_R^M kalibrli m s a h l r i v a r d ı r k i, b u n l a r d a $SU(2)_L \times SU(2)_R$ kiral simmetriya qrupuna tabe olaraq sol v s a kiral sah l r kimi çevrilir. ç f z a d a k a l i b r l i m s a h l r i n d n b a q a b i r s k a l y a r X s a h s i d v a r k i, b u s a h n i n A_L^M v A_R^M kalibrli m s a h l r i i l q a r ı l ı q l ı t s i r i n t i c s i n d kiral simmetriya pozulur. Skalyar X sah si $SU(2)_L \times SU(2)_R$ qrupunun bifundamental t s v i r i k i m i ç e v r i l i r. V e k t o r i s a h l r ü ç ü n A n t i D e S i t t e r K o n f o r m a l S a h N z r i y y s i p r i n s i p i n g ö r v e k t o r i s a h n i n K a l u z a - K l e y n m o d a l a r ı n ı n u l t r a b n ö v y i s r h d d k i q i y m t i v e k t o r m e z o n l a r ı n h a l l a r ı n a u y u n g l i r. Z r r c i k l r f i z i k a s ı n d a n y ü n g ü l z r r c i k ρ m e z o n o l d u u n d a n, K a l u z a - K l e y n m o d a s ı n ı n b i r i n c i h y c a n l a m a s v i y y s i n ρ m e z o n u y u n g l i r [3]. L a k i n a k s i a l v e k t o r ü ç ü n s r h d r t l r i n d n i s t i f a d o l u n u r v b e l l i k l a_1 m e z o n ü ç ü n h m k ü t l s p e k t r i n i n i f a d s i v h m d h y c a n l a m a s v i y y l r i ρ m e z o n u n k ü t l d ü s t u r u v s v i y y l r i i l ü s t - ü s t d ü ü r.

Bütün bu sah l r ü ç ü n y e k u n t s i r b e l o l u r:

$$I = \int d^5x \sqrt{g} \left\{ -|DX|^2 + 3|X|^2 - \frac{1}{4g_5^2} (F_L^2 + F_R^2) \right\} \quad (4)$$

Burada 5-ölçülü qar ı l ı q l ı t s i r s a b i t i r n g y ü k ü n d n a s ı l ı d ı r:

$$g_5^2 = \frac{12\pi^2}{N_c} = 2\pi$$

Bu iki kalibrli m s a h l r i n i t o p l a y a r a q y e k u n v e k t o r i s a h v a k s i a l - v e k t o r i s a h a l ı r ı q: $V = \frac{1}{\sqrt{2}} (A_L + A_R)$, $A = \frac{1}{\sqrt{2}} (A_L - A_R)$

Sad l i k ü ç ü n b i z $A_5 = 0$ kalibrovkasında i l y c y i k. T s i r i n (4) i f a d s i n d n t y i n o l u n a n v e k t o r i s a h ü ç ü n h r k t t n l i y i a a ı d a k ı k i l d i r:

$$\left[-\frac{m_n^2}{z} - \partial_z \left(\frac{1}{z} \right) \partial_z + \frac{2B_5^2 v^2}{z^3} \right] A_n(z) = 0 \quad (5)$$

$$A_n(z=0) = \partial_z A_n(z_M) = 0 \quad (6)$$

Sərhəddə rətləndirilmədən istifadə edilərək α_1 aksial vektor mezon üçün aşağıdakı dalğa funksiyası alınmışdır:

$$A_1(z) = \frac{z J_1(m_{\alpha_1} z)}{\sqrt{\int_0^{z_M} dz z [J_1(m_{\alpha_1} z)]^2}} \quad (7)$$

Burada $J_1(m_{\alpha_1} z)$ 1-ci tərtib Bessel funksiyasıdır.

IV. ANTI-DE-SITTER FƏZASININ SƏRHƏDİVƏR MODELİNDƏ NUKLONLAR

Əsas məqsədimiz sərhəddəki aksial vektor spinorlarını təsvir etmək üçün 5 ölçülü daxili fəzədə 1cüt spinor daxil etməkdir. Sərhəddəki $\mathcal{O}_L \vee \mathcal{O}_R$ nuklonlar $SU(2)_L \times SU(2)_R$ qrupunun təsiri altında müxtəlif cür çevrildiyindən 5 ölçülü fəzədə $\mathcal{O}_L \vee \mathcal{O}_R$ - uyğun olaraq 2 dörd 5 ölçülü vektor spinorlar daxil edilir. Bu nuklonlar üçün təsiri aşağıdakı kildirdir:

$$S = \int d^4x dz \sqrt{g} \left(\frac{i}{2} \bar{\Psi}_1 e_A^N \Gamma^A D_N \Psi_1 - \frac{i}{2} (D_N \Psi_1)^\dagger \Gamma^0 e_A^N \Gamma^A \Psi_1 - m_5 \bar{\Psi}_1 \Psi_1 \right) \quad (8)$$

burada $e_A^N = z \delta_A^N$ yrixtəli fəzadan düxtəli fəzaya keçid veylbeyni adlanır və $g^{MN} = e_A^M e_B^N \eta^{AB}$. $D_N = \partial_N - \frac{1}{8} \omega_N^{AB} [\Gamma^A, \Gamma^B] - i(A_L^a)_M t^a$ iskovariant törəmədir. Spinlaqınin sıfırdan fərqli komponentləri aşağıdakılardır:

$$\omega_\mu^{5A} = -\omega_\mu^{A5} = \frac{1}{z} \delta_\mu^A \quad (\mu = 0, 1, 2, 3)$$

$\{\Gamma^A, \Gamma^B\} = 2\eta^{AB}$ $\Gamma^A = (\gamma^\mu, -i\gamma^5)$ is 5-ölçülü qamma matrisləridir.

Təsririn (8) ifadəsində hər kəttəliyi aşağıdakı kildə tapılır:

$$[i e_A^N \Gamma^A \partial_N - \frac{1}{8} \omega_N^{AB} [\Gamma^A, \Gamma^B] e_A^N \Gamma^A - m_5] \Psi_1 = 0 \quad (9)$$

(12) ifadəsində profil funksiyalar üçün aşağıdakı tənliklər sistemi alınır

$$\begin{aligned} \left[\partial_z^2 - \frac{4}{z} \partial_z + \frac{6 - m_5 - m_5^2}{z^2} \right] f_{1R} &= -p^2 f_{1R}; \\ \left[\partial_z^2 - \frac{4}{z} \partial_z + \frac{6 + m_5 - m_5^2}{z^2} \right] f_{1L} &= -p^2 f_{1L}; \end{aligned} \quad (10)$$

Sərhəddə rətləndirilmədən istifadə edilərək nuklonların profil funksiyaları üçün aşağıdakı ifadələr alınmışdır:

$$\begin{aligned} f_{1L} &= C_1 z^{\frac{5}{2}} J_2(|p|z), \quad f_{1R} = C_2 z^{\frac{5}{2}} J_3(|p|z) \\ f_{2L} &= -C_2 z^{\frac{5}{2}} J_3(|p|z), \quad f_{2R} = C_1 z^{\frac{5}{2}} J_2(|p|z) \end{aligned} \quad (11)$$

Burada C_1 və C_2 normallaşdırma əmsəlləridir və normallaşdırma rətləndirilmədən onlar üçün aşağıdakı ifadələr alınır:

$$|C_{1,2}| = \frac{\sqrt{2}}{z_M J_2(m_n z_M)} \quad (12)$$

(11) ifadələrinin görünüşü kimi nuklonlar üçün profil funksiyalar bir-birilə əlaqədəki kəllələri təşkil edir:

$$f_{1L} = f_{2R}, \quad f_{1R} = -f_{2L}$$

V. AKSIAL-VEKTOR MEZONUN NUKLONLARLA QARŞIQLIQTIR SƏRƏBƏTİ

çəfzədə nuklonların aksial vektor sahə ilə qarşılıqlı təsiri İtəşirli ifadə olunur:

$$I = \int d^5x \sqrt{g} \mathcal{L}_{q/t} \quad (13)$$

Burada qarşılıqlı təsir Lagranjiani $\mathcal{L}_{q/t}$ 2 həddə ibarətdir:

$$\mathcal{L}_{q/t} = \mathcal{L}_1 + \mathcal{L}_2 \quad (14)$$

Burada \mathcal{L}_1 minimal qarşılıqlı təsir Lagranjiani cürü

$$\mathcal{L}_1 = \frac{1}{2} \{ \bar{\Psi}_1 \Gamma^\mu A_\mu \Psi_1 - \bar{\Psi}_2 \Gamma^\mu A_\mu \Psi_2 \}, \quad (15)$$

aksial vektor sahənin nuklon cürü ilə qarşılıqlı təsiri həddində ibarətdir.

$$\mathcal{L}_2 = \frac{i}{4} k_1 \{ \bar{\Psi}_1 [\Gamma^5, \Gamma^\mu] \partial_5 A_\mu \Psi_1 + \bar{\Psi}_2 [\Gamma^5, \Gamma^\mu] \partial_5 A_\mu \Psi_2 \} \quad (16)$$

\mathcal{L}_1 və \mathcal{L}_2 Lagranjianlarından $g_{a_1 NN}$ qarşılıqlı təsir sabiti üçün əlaqədəki integral ifadələri alınır:

$$g_{a_1 NN}^{(0)nm} = \int_0^{z_M} \frac{dz}{z^4} A_1(z) \left(f_{1R}^{(n)*}(z) f_{1R}^{(m)}(z) - f_{1L}^{(n)*}(z) f_{1L}^{(m)}(z) \right) \quad (17)$$

Analoji olaraq

$$g_{a_1 NN}^{(1)nm} = \int_0^{z_M} \frac{k_1 dz}{z^3} \partial_z A_1(z) \left(f_{1L}^{(n)*}(z) f_{1L}^{(m)}(z) + f_{1R}^{(n)*}(z) f_{1R}^{(m)}(z) \right) \quad (18)$$

Beləliklə, AdS/KXD-nin sırt divar modelində aksial vektor mezon nuklon qarşılıqlı təsir sabiti (17) və (18) təşirinin cürüklində ifadə olunur:

$$g_{a_1 NN} = g_{a_1 NN}^{(0)nm} + g_{a_1 NN}^{(1)nm} \quad (19)$$

Cüdvəl

Aksial vektor mezon nuklon qarşılıqlı təsir sabitinin ədədi qiyməti

n	m_N	$m_N^{h.w.}$	$g_{a_1 NN}^{(0)nm}$	$g_{a_1 NN}^{(1)nm}$	$g_{a_1 NN}^{h.w.}$	$g_{a_1 NN}^{s.w.}$	$g_{a_1 NN}^{exp.}$
0	0.94	1.089	-0.12	1.55	1.43	0.7704	4.7 ± 0.6
1	1.44	1.323	-0.105	1.28	1.175	0.4363	---
2	1.535	1.556	-0.08	1.026	0.946	0.295	---

D B YYAT

1. A.Karch, E. Katz, D.T.Son and M.A. Stephanov, Phys. Rev. D 74, 015005 (2006)
2. Z. Abidin and C.Carlson, Phys. Rev. D 79, 115003 (2009)
3. H.C. Ahn, D.K. Hong, C.Park and S. Siwach, Phys.Rev. D 80, 054001 (2009)

CONDENSATE DEPENDENCE OF PROFILE FUNCTION OF AXIAL VECTOR MESON

Sh.A. Mamedov¹, N.J. Huseynova^{1,2}, A. E. Gardashova²

(1) *Institute of Physical Problems of BSU*

(2) *Theoretical Physics Department of BSU*

nerminh236@gmail.com

The condensate dependence of axial vector meson-spinor interaction was considered in the hard-wall framework of AdS/QCD. Bulk-to boundary propagators for the bulk axial vector field was presented, which boundary values are corresponded to the a_1 meson respectively. The action was obtained from the bulk interaction Lagrangian, where was included condensate dependence of profile function of a_1 meson.

Key words: *Condensate, axial vector, meson, profile function*

I. INTRODUCTION

During the last few years applications of gauge/gravity duality [1, 2] to hadronic physics attracted a lot of attention and various holographic dual models of QCD were proposed in the literature. These models were able to incorporate such essential properties of QCD as confinement and chiral symmetry breaking and also to reproduce many of the static hadronic observables, with values rather close to the experimental ones. Within the framework of the AdS/QCD models, by modifying the theory in the 5-dimensional AdS bulk one may try to explain experimental results in different sectors of QCD.

There are two main models of AdS/QCD, which are called hard-wall and soft-wall models.

In the present paper, we will be interested in the hard-wall AdS/QCD model, where the confinement is modeled by sharp cutting of the AdS space along the extra fifth dimension at a wall located at some finite distance $z = z_0$. In the framework of this hard-wall model, it is possible to find form-factors and wave functions of mesons and baryons.

In general, the vector sector is less sensitive to the infrared (IR) effects, since this symmetry is not broken in QCD. However, the axial-vector sector appears to be very sensitive to the particular way the chiral symmetry is broken, or in other words, to the bulk content and the shape of the IR wall.

In this respect, one of the interesting objects to study in the holographic dual models of QCD is the axial vector meson. The properties of the axial vector meson were studied in various holographic approaches.

In this paper, working in the framework of the hard-wall model we describe a formalism to calculate the wave function of the a_1 meson. For this aim we consider condensate depends of profile function of a_1 meson.

II. HARD-WALL MODEL

In the hard-wall model the confinement is modeled by sharp cutting of the AdS space along the extra fifth dimension. Action for this model is [3]:

$$I = \int_0^{z_M} d^5x \sqrt{g} \mathcal{L}, \quad (1)$$

where $g = |\det g_{MN}|$ ($M, N=1, 2, 3, 4, 5$) and the metric of AdS/QCD is :

$$\begin{aligned} ds^2 &= \frac{1}{z^2} (-dz^2 + \eta_{\mu\nu} dx^\mu dx^\nu) \quad \mu, \nu = 0, 1, 2, 3 \\ g_{MN} dx^M dx^N &= e^{2A(z)} (dz^2 + \eta_{\mu\nu} dx^\mu dx^\nu), \end{aligned} \quad (2)$$

where $\eta_{\mu\nu}$ is a Minkovskii metric

$$\eta_{\mu\nu} = \text{diag}(1, -1, -1, -1) \quad (3)$$

III. AXIAL VECTOR MESON AND ITS PROFIL FUNCTION

In the bulk of AdS space there are gauge fields A_L^M and A_R^M , which transform as a left and right chiral fields under $SU(N_F)_L \times SU(N_F)_R$. Besides gauge fields there is scalar field X , which transforms under bifundamental representation of gauge group $SU(N_F)_L \times SU(N_F)_R$. Action for these fields has a form:

$$I = \int d^5x \sqrt{g} \left\{ -|DX|^2 + 3|X|^2 - \frac{1}{4g_5^2} (F_L^2 + F_R^2) \right\}. \quad (4)$$

Here 5-dimensional coupling constant is related with number of colors

$$g_5^2 = \frac{12\pi^2}{N_c} = 2\pi$$

We can get a vector and axial vector fields from these gauge fields by composing them as following:

$$V = \frac{1}{\sqrt{2}} (A_L + A_R), \quad A = \frac{1}{\sqrt{2}} (A_L - A_R)$$

In the holographic model of hadrons, QCD resonances correspond to Kaluza-Klein (KK) excitations in the sliced AdS background. In particular, vector mesons correspond to the KK modes of transverse vector gauge field in this model. Since the gauge symmetry in the vector sector of the Holographic model is not broken, similarly vector case, the axial-vector mesons are the modes of the transverse part of the axial-vector gauge field. Since the axial-vector gauge symmetry is broken in the 5D background, the longitudinal components have physical meaning and are related to the pion field as:

$$A_{M||}^\alpha(x, z) = \partial_M \psi^\alpha(x, z)$$

where $\psi^\alpha(x, z)$ is a pion field. We shall work in $A_5 = 0$ gauge.

Equation of motion for axial vector field will be obtained from the action (4) and has a form:

$$\partial_z^2 a_1^0 + \frac{1}{z} \partial_z a_1^0 + \left[\bar{\omega}_0^2 - g^2(m_q + \sigma z^2)^2 - \frac{1}{z^2} \right] a_1^0 = 0 \quad (5)$$

For finding mass spectrum in this case it is reasonable to apply the IR boundary condition to the asymptotic solution found at IR limit. For the IR asymptotic solution we shall take $z \rightarrow z_{IR}$ limit from (4) and set the $z = z_{IR}$ in the condensate term. Before doing this approximation let us compare numerically the last two terms in equations (4) when $z \rightarrow z_{IR}$. The approximate values are as follow:

$$z_{IR}^{-1} \approx 0.33 \text{ GeV}, \quad z_{IR} \approx 3(\text{GeV})^{-1}, \quad z_{IR}^4 \approx 81(\text{GeV})^{-4}$$

$$\sigma \approx (0.3)^3(\text{GeV})^3, \quad g^2 = 4\pi^2/N_c \approx 13.2$$

Then

$$g^2 \sigma^2 (z_{IR})^4 \approx 0.06(\text{GeV})^2, \quad 1/(z_{IR})^2 = 0.1(\text{GeV})^2 \quad (6)$$

Thus, the $1/z^2$ term contributes twice more than the $g^2 \sigma^2 z^4$ term and so, we may make an approximation in (4) by setting $z = z_{IR}$ only in the condensate term and keeping the term $1/z^2$ variable. At this limit the condensate term in the equations (4) becomes constant and the IR asymptotic solution of these equations is expressed in terms of Bessel function J_1 :

$$a_{1s}^a = cz J_1(\bar{m}_a^s z) \quad (7)$$

Obviously, the UV boundary condition was applied on this solution. The mass spectrum \bar{m}_a^s in (7) is expressed in terms of z_{IR} :

$$\bar{m}_0^s = \sqrt{(\bar{\omega}_0^s)^2 - g^2(m_q + \sigma(z_{IR})^2)^2} \approx \bar{\omega}_0^s - \frac{g^2(m_q + \sigma(z_{IR})^2)^2}{2\bar{\omega}_0^s}$$

after using from the boundary conditions (6), we get the profile function for the axial-vector meson a_1 as:

$$A_1(z) = \frac{z J_1(\bar{m}_0^s z)}{\sqrt{\int_0^{z_M} dz z [J_1(\bar{m}_0^s z)]^2}} \quad (8)$$

where $J_1(\bar{m}_0^s z)$ is a first kind Bessel function, $\bar{\omega}_0^s$ is a vacuum mass of axial vector meson.

REFERENCES

1. A.Karch, E. Katz, D.T.Son and M.A. Stephanov, Phys. Rev. D 74, 015005 (2006),
2. Z. Abidin and C.Carlson, Phys. Rev. D 79, 115003 (2009),
3. H.C. Ahn, D.K. Hong, C.Park and S. Siwach, Phys.Rev. D 80, 054001 (2009)

• • • , • • •

, AZ5618,

jascience@yahoo.com

[1],

($z \approx 1.95$).

70-

GalRedShifAn

SWIRE.

1.

60-

[1],

($z \approx 1.95$).

73-

[2]

($z \approx 0.061$ $z \approx 1.95$).

z

– zobs $0.061n$, n -

[3]

2000-

[4]

[5]

2dFQSO.

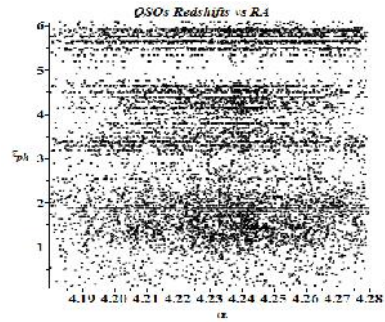
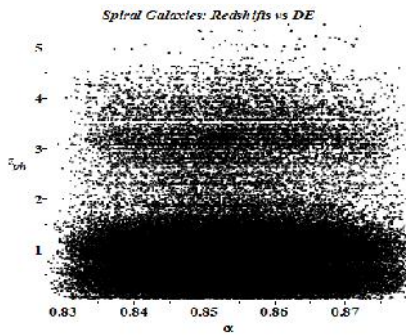
70- [6-8] ,
 72.5 km/c.
 - 72.5 km/c. (, .)
 ,
 (37.5 km/c), [9] 72.5 km/c
 ,
 (,)
 “ ” z.
 ,
 [10].
 2000- , (, SDSS, SWIRE
).
 ,
 [11], (SWIRE Photometric Redshift Catalogue [12],
 ,
 SWIRE.
2.
SWIRE,
 ,
SWIRE,
 - **GalRedShifAn (Galaxy Redshift Analyzer),** ()
), () z ();
 ..
SWIRE
 :
 1) $r \in (239.495, 245.689)$, $u \in (52.877, 57.12)$;
 2) $r \in (247.10, 251.16)$, $u \in (39.64, 42.56)$;
 3) $r \in (157.665, 165.097)$, $u \in (57.04, 59.75)$;
 4) $r \in (33.44, 37.31)$, $u \in (-6.52, -3.70)$.

3.

z ,
 z ,

3.1.

. 1,

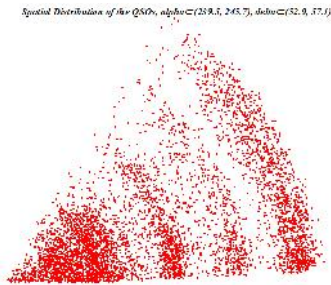
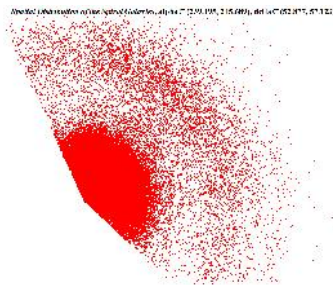


. 1:

(a) (b)

3.2.

. 2

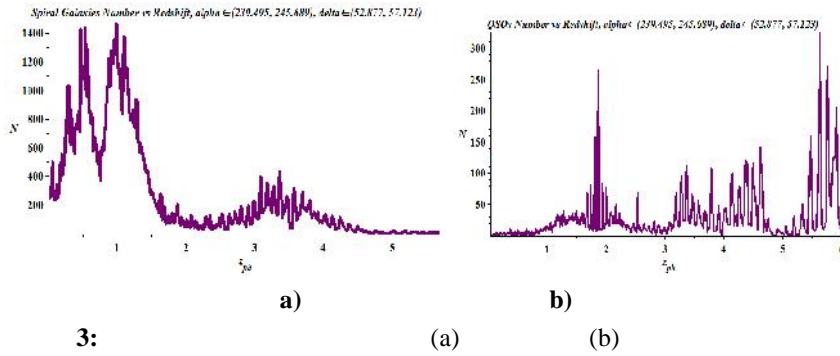


2:

(a) (b)

3.3.

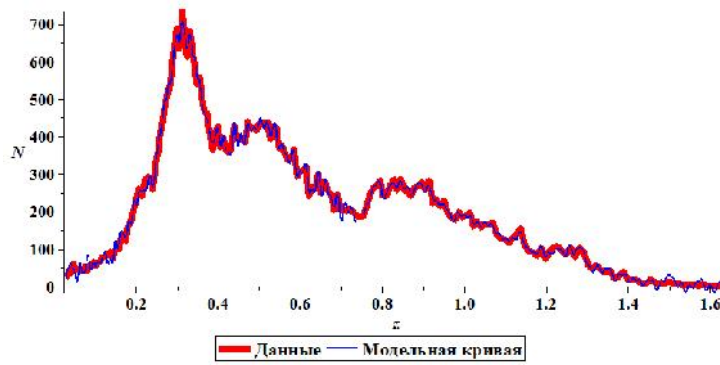
. 3



3.4.

()

(. 4)



1. Burbidge G.R., Burbidge E.M., 1967, ApJ, 148, L107.
2. Burbidge G.R., 1968, ApJ, 154, L41.
3. Karlsson K.G., 1971, A&A, 13, 333.
4. Burbidge G.R., Napier W.M., 2001, Astron. J., 121, 21.
5. Napier W.M., Burbidge G.R., 2003, MNRAS, 342, 601.
6. Tifft W.G., 1976, ApJ, 206, 38.
7. Tifft W.G., 1977, ApJ, 211, 31.
8. Tifft W.G., 1977, ApJ, 211, 377.
9. Napier W.M., Guthrie B.N.G., 1997, J. Astrophys. Astr., 18, 455.
10. Bell M.B., 2007, ApJ, 667, L129.

11. Shustarev P.N. et al., 2014, Astron. Circular, 1606.
12. Rowan-Robinson M., Babbedge T., Oliver S. et al., 2008, MNRAS, 386, 697.
13. Broadhurst T.J. et al., 1990, Letters to Nature, 343, 726.

. . . , . . . *

*

arazov_h@yahoo.com

: 1)

[1]; 2)

[1; 2; 6].

, . . . $(4,6 \pm 0,2)10^9$.

()

) : 1)

(

. 2)

$$0,46 \leq r \leq 27,6 \quad (0^s,001 \leq \Delta t \leq 1^m).$$

[2; 3],

$$\frac{dR}{dt} = -(0,273 \pm 0,031) \quad / \quad . \quad (1)$$

$$-0,031 \leq v(\Delta \frac{dR}{dt}) \leq +0,031 \quad / \quad . \quad (2)$$

(α)

(α)

(α),

:

$$\begin{aligned} r_{\text{max}}(0-) &\leq 4 \cdot 10^{-6}, \\ r_{\text{min}}(0-) &\leq 1,1 \cdot 10^{-6}, \\ r_{\text{max}}(0-) &\leq 6 \cdot 10^{-6}, \end{aligned} \quad (3)$$

0-

, C-

[4; 5].

$$\begin{aligned} -0,186 &\leq g_{\text{max}}(0-) \leq 0,230 \quad .., \\ -0,180 &\leq g_{\text{min}}(0-) \leq 0,220 \quad .., \\ -5 &\leq g(0) \leq 5 \quad .., \end{aligned} \quad (4)$$

$$g_{\text{max}} = g(90^0) -$$

$$, g_{\text{min}} = g(90^0) -$$

$$, g = g(0^0) -$$

$$\sin^p \varphi (p = 0, 1, 2, 3, 4)$$

r, g

$$\sin \varphi [4].$$

1.

1.

**BDU-nun Fizika Problemləri İnstitutunun yaradılmasının 10 illiyin həsr olunmuş
Beynəlxalq konfrans**

$\sin^p \varphi$ ($p = 0, 1, 2, 3, 4$) r, g
 $\sin\{\varphi -$

		0	1	2	3	4
r	m	6 378 165	-21.34	-21474.02	+40.57	+88.99
r_u		6 378 165	-24	-21475	+41	+88
r_n		6 378 165	0	-21494	0	+108
$r_A - r_n$		0	-24	+30	+41	-34
$r_u - r_n$		0	-24	+19	+41	-20
$r - r_n$		0	-24	+20	+41	-19
g		978.03061	-0.00748	+5.22747	+0.01246	-0.04153
$g_A - g_n$		-0.002	-0.007	+0.017	+0.012	-0.019
$g_u - g_n$		-0.001	-0.007	+0.013	+0.012	-0.013
$g - g_n$		+0.001	-0.002	+0.002	+0.012	+0.001

1. ,
« », 1991, . 447.
2. , , « », 2006, . 193.
3. Barkin Y.V. Proc. Intern. Conf. "Earth Rotation, Reference Systems in Geodynamics and Solar System", Warsaw, Poland, p. 159-164.
4. 57, 1980,
1, . 190-194.
5. Arazov G.T. On some applications of the problem of many fixed centers to Geophysics. Celestial Mechanics, 25 (1981), p. 345-352.
6. « », , 1976, . 512.

HD187982 ULDUZU SPEKTRL RİNDİ H_α V H_β X TL RİNDİNİN TƏDQQ

. . Baloğlu Ə.Ə., .M. Xəlilov, .R. Həsənova, Y.M. Məhərrəmov

AMEA N.Tusi adına Əmaxı Astrofizika Rəsədxanası

baloglanov-eli@rambler.ru

HD187982 ifratın əng ulduzunun 2013-2015-ci illərdə Əmaxı Astrofizika Rəsədxanasının 2 metrlik teleskopunda alınmış spektrli tədqiq olunmuşdur. H_α və H_β xtlərində sürət, ekvivalent en və dərəcənin zamana görə dəyişmələri öyrənilməmişdir ki, bu dəyişmələr müəyyən korrelyasiya vardır.

HD187982 (A1Iab; $m_v = 5^m.58$; $T_{\text{eff}} = (9300 \pm 250)\text{K}$; $[\sin i = (15 \pm 6) \text{ km/s}]$ P Cyg tipli ifratın əng ulduzdur. Bu ulduz Vul OB4 assosiasiyasına aiddir və $\log g = 1.60 \pm 0.15$, $M_*/M_{\odot} = 15$, $R_*/R_{\odot} = 78$ -dir [1-3].

HD187982 ifratın əng ulduzu tədqiqatçılar tərəfindən nisbətən az öyrənilmişdir. Əndiyə ki aparılan tədqiqatlardan məlum olmuşdur ki, bu ulduzun atmosferində yaranan H_α xətti ümumi udulma formasındadır. H_α xəttinin daxilində olmaqla profilin qırmızı qanadında zif üalanma komponenti yaranır və itir [4-6]. Lakin bu hadisənin bəzə vermə səbəhlərini tam izahını tapmamızdır. Bundan əlavə, HD187982 ulduzu atmosferinin ölçüsü və orada gedən fiziki və kimyəvi proseslərə tam öyrənilmişdir.

Cədvəl 11.

HD187982 ulduzu spektrlinin H_α və H_β xtlərində sürət və spektral parametrlər.

Tarix	JD 2450000+	HD187982								
		H _α (abs)			H _β (em)			H _γ		
		V _r (km/s)	W Å	R	V _r (km/s)	W Å	τ_v	V _r (km/s)	W Å	R
01.09.2013	6537.21	-29	0.89	0.28	79	0.02	1.04	-33	2.46	0.53
06.09.2013	6542.20	-23	0.77	0.24	70	0.03	1.04	-33	2.26	0.52
02.10.2013	6568.21	-18	1.29	0.31	-	-	-	-18	2.40	0.57
03.10.2013	6569.23	-17	1.33	0.32	-	-	-	-19	2.42	0.55
21.06.2014	6830.36	-11	1.06	0.33	-	-	-	-16	2.35	0.58
04.07.2014	6843.34	-5	1.15	0.37	-	-	-	-9	2.53	0.61
11.07.2014	6850.29	-6	1.10	0.37	-	-	-	-13	2.41	0.60
18.07.2014	6857.38	-5	1.33	0.38	-	-	-	-8	2.57	0.62
24.07.2014	6863.30	-12	1.36	0.41	-	-	-	-14	2.41	0.63
09.08.2014	6879.29	-13	1.38	0.41	-	-	-	-12	2.80	0.61
27.05.2015	7170.36	-24	1.30	0.36	-	-	-	-6	2.31	0.59
30.05.2015	7173.35	-30	1.29	0.36	-	-	-	-14	2.28	0.58
09.06.2015	7183.47	-17	1.23	0.37	-	-	-	-5	2.20	0.59
19.06.2015	7193.45	-19	1.15	0.38	-	-	-	-15	2.42	0.62
21.06.2015	7195.43	-16	1.22	0.36	-	-	-	-14	2.34	0.58
28.06.2015	7202.36	-25	1.29	0.36	-	-	-	-23	2.45	0.60
30.06.2015	7204.31	-27	1.36	0.37	-	-	-	-25	2.31	0.57
07.07.2015	7211.34	-16	1.48	0.39	-	-	-	-18	2.13	0.60
11.08.2015	7246.29	-19	1.59	0.44	-	-	-	-33	1.98	0.62
30.08.2015	7265.40	-14	1.39	0.44	-	-	-	-30	2.23	0.61
04.09.2015	7270.39	-14	1.70	0.43	-	-	-	-30	2.23	0.61

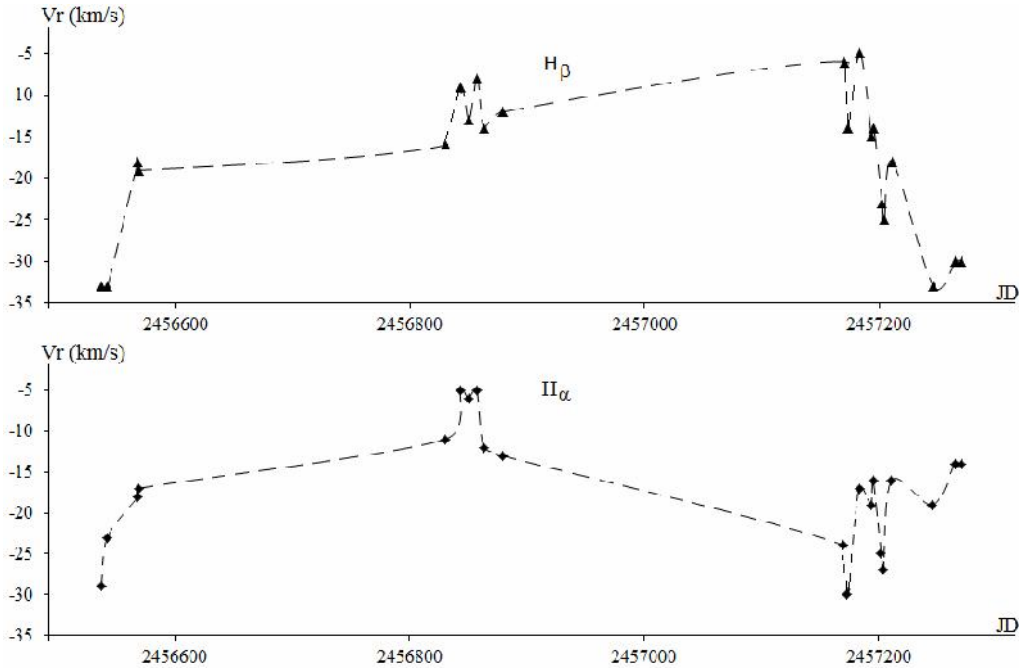
Yuxarıda qeyd etdiyimiz kimi bu ulduzun spektrli rində müəhd olunan H_α xəttinin qırmızı qanadında zif üalanma komponentinin yaranması və itməsi, həmin halların təkrarlanması onun atmosferinin öyrənilməsinə maraqlıdır.

**BDU-nun Fizika Problemleri İnstitutunun yaradılmasının 10 illiyin həsr olunmuş
Beynəlxalq konfrans**

Hesab edirik ki, yeni müahid materialları qeyd olunan ulduzun növbəti tədqiqatlarında baza rolunu oynayacaq və alınmış nəticələrinin atmosfer xüsusiyyətlərinin öyrənilməsinə yardımçı olacaqdır.

2013 - 2015-ci illərdə AMEA N.Tusi adına əməliyyatçı Astrofizika Rəsdxanasının 2 metrlik teleskopunun kasseqren fokusunda qura dırılmış müasir CCD spektrometri ilə HD187982 ulduzunun spektral müahidələri aparılmış və 21 günlük yüksək ayırdetməli spektrlər alınmışdır [7]. Ayırdetmə $R=15000$, spektral diapazon $\lambda\lambda 4700\div 6700\text{\AA}$, $S/N=150\div 200$ trafında olmuşdur. Alınmış spektrlər DECH-20 və DECH-20T paket proqramları vasitəsilə işlənmişdir [8]. Ölçmələrin xətası ümumiyyətlə ± 2 km/san, ekvivalent en üçün isə 5-7%-dən çox deyil.

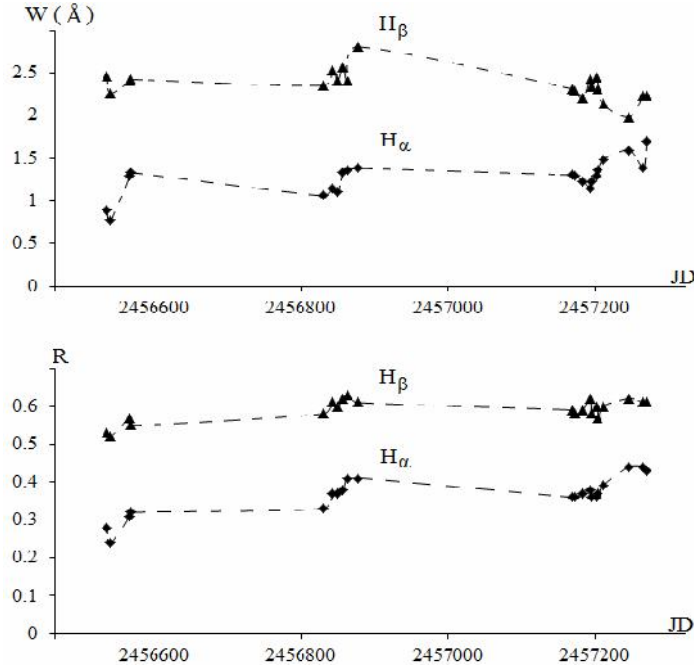
Bu işdə 2013-2015-ci illərdə alınmış yeni müahidə materialları əsasında HD187982 ifratı nəhəng ulduzu spektrlərində H_{α} və H_{β} xətlərində ümumiyyətlə, ekvivalent en və xətlərin dərinlikləri ölçülmüş və bu parametrlərin zamandan asılı dəyişmələri baxılmışdır.



Şəkil 1. H_{α} və H_{β} xətlərində ümumiyyətlə sürətinin zamana görə dəyişməsi

Cədvəl 1-də HD187982 ulduzu spektrlərində müahidə olunan H_{α} və H_{β} xətlərində parametrlərin ölçülməsi qiymətləri verilmişdir. Şəkil 1 və 2-də isə ölçülməsi həmin parametrlərin zamana görə dəyişmələri nəzərdən keçirilmişdir. Bu dəyişmələrin analizi göstərir ki, tədqiq olunan xətlərdə həmin ümumiyyətlə, həmin də spektral parametrlər arasında müəyyən korrelyasiya vardır. Lakin müahidə materiallarının sayı həlqə kifayət etmədiyinə görə korrelyasiya məsələni hesablaşmaq məqsədundan deyildir.

Bundan əlavə, Cədvəl 1-də nəvə [9]-dən görünür ki, HD187982 ulduzunun bizim tərəfimizdən alınmış spektrlərində H_{α} xəttinin qırmızı qanadında zəif üalanma xətti yaranmış və itmişdir. HD187982 ulduzu spektrlərində H_{α} xəttinin profillərindəki belə dəyişikliklərin ulduzun atmosferinin yuxarı qatlarında güclü maddə atılmalarının və örtüyün həyvanlaşmasının nəticəsi ola bilər. Lakin ulduz kül yinin yaranması və dəyişməsi həmin ifratı nəhəng ulduzlarda bəzən pulsasiya hadisəsilə bağlıdır. Bunu aqar etməklə məqsədundan bu ulduzun müntəzəm spektral müahidələrinin aparılması nəzərdə tutulur.



kil 2. H_{α} və H_{β} xətlərində ekvivalent en və xətlərinliyinənin zamana görə dəyişməsi

D B İYAT

1. E.Verdugo, A.Talavera and A.I.Gomez de Castro, Understanding A-type supergiants. II. Atmospheric parameters and rotational velocities of Galactic A-type supergiants // **Astronomy & Astrophysics**, 1999, 346, pp. 819-830.
2. Christopher J. Evans and Ian D. Howarth, Characteristics and classification of A – type supergiants in the small Magellanic cloud // **Mon. Not. R. Astronomical Society**, 2003, 345, pp. 1223-1235.
3. N.Przybilla, M.Firnstein, M.F.Nieva, G.Meynet and A.Maeder, Mixing of CNO – cycled matter in massive stars // **Astronomy and Astrophysics**, 2010, 517, pp. 1-6.
4. E.Verdugo, A.Talavera and A.I.Gomez de Castro, Understanding A-type supergiants. I. Ultraviolet and visible spectral atlas of A-type supergiants // **Astronomy & Astrophysics**, 1999, 137, pp. 351-362.
5. Helmut A.Abt and Nidia I. Morrell, The relation between rotational velocities and spectral peculiarities among A – type stars // **Astrophysical Journal, Supplement Series**, 1995, 99, pp. 135-172.
6. R.L.Snell and P.A.Vanden Bout, High – resolution profiles of the 5780 \AA interstellar diffuse band // **Astrophysical Journal**, 1981, 244, pp. 844-847.
7. . . . , . . . , . . . , . . . – , *AR Sirkulyarı*, 109 (2005) 21 – 29.
8. . . . , . . . – *DECH20*, . . . , 92 (1992).
9. . . .Balo lanov, Y.M.M h r r mov, HD21389 və HD187982 ulduzları atmosferinin tədqiqi, AMEA X b r l r i, 2014, 5, s. 130-136.

—
• •
• •

shirin.guseyn@gmail.com

2 1979-82 . 50 1989-90 . -12
-22
f=1-2 f=2-4 S-
25 ± 2
t_x 5-70
« »
1-3 2 t_x 25
1÷3
() « » « »
() (10⁻³ ÷ 10⁻⁴)

... (), ()

S-
50-
F_{7.5}/F₁₅, S-

... t_x

: 5-15 20-65
S- 2-4
2

1-3
3.1 ÷ 3.6
5- 10
()

1979-82 1989-90
-22 ()
-12 ()
=3

2 f=2-4 S- f=1-
S-

8⁰⁰ 18⁰⁰ 1975 1978
f=1-2 f=2-4 ()
2 S-

I_i(t). 7-8 I_i(t) -
~250-300

t_x - 5 70

«Solar – Geophysical Data»

1-3 2

[1, 2].

() ()
[3, 5].

**BDU-nun Fizika Problemləri İnstitutunun yaradılmasının 10 illiyin əhəmiyyətli hadisəsi olaraq
Beynəlxalq konfrans**

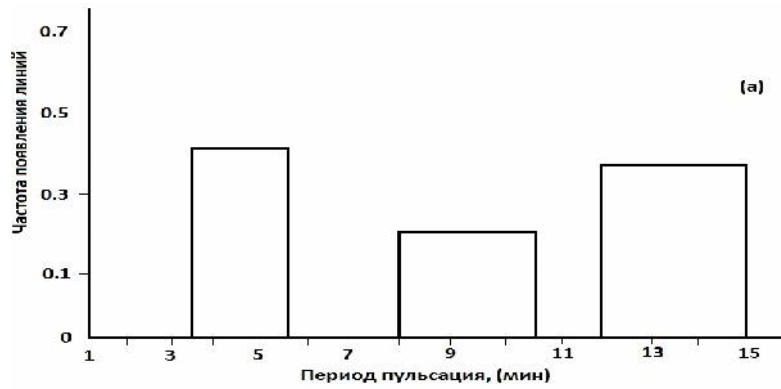
... .1

15 . (.1) t_x 25-70 . (.1) . t_x 5- .1 ,

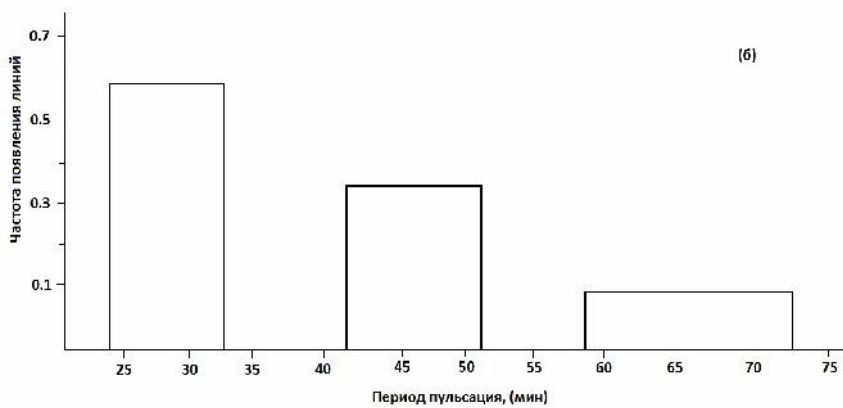
10 .

$\frac{\sum}{2}$ (10) . .1

t_x 25-70 . t_x 30 .



.1 () - t_x 5-15 .
 $1.25 \div (1.6 - 1.9)$ (3.6 - 3.9)
 4-5 .



.1 () - t_x 25-70 .
 $1.25 \div (1.6 - 1.9)$ (3.6 - 3.9)
 25-30 .

... t_x 25

8

[6].

$t_x = 25-70$

$5-70$

()

$t_x = 5-15$

$t_x = 25$ [7-9].

2.) S-
1989 . 16/VI-1989 . 15/VI-1989 . 2-4 (12/VI-
>2 n . 2, (1.5)
) (f=3.4÷4.8)

1. S-
« » , f = 1-2 , f = 2-4
2. S- 70-120 100-200
 $t_x = 25$ $F_{7.5}/F_{15} -$
1-3

3. 50 2 44 (~ 90%)
(~ 20 ÷ 50%) 1-3

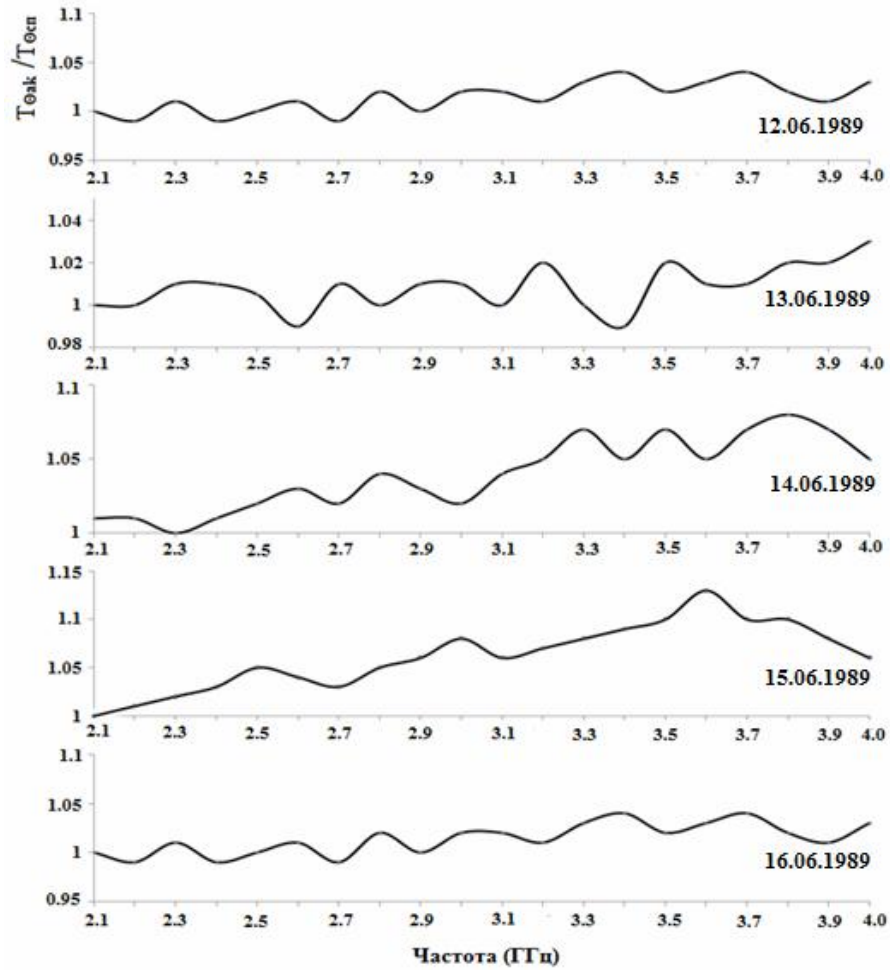
4. 2 f 2 b 1-2
(30- 50%).

5. , 2
~ 1.5 – 2

$t_x = 25$

2 1-3

**BDU-nun Fizika Problemləri İnstitutunun yaradılmasının 10 illiyin əhəmiyyətli işləri
Beynəlxalq konfrans**



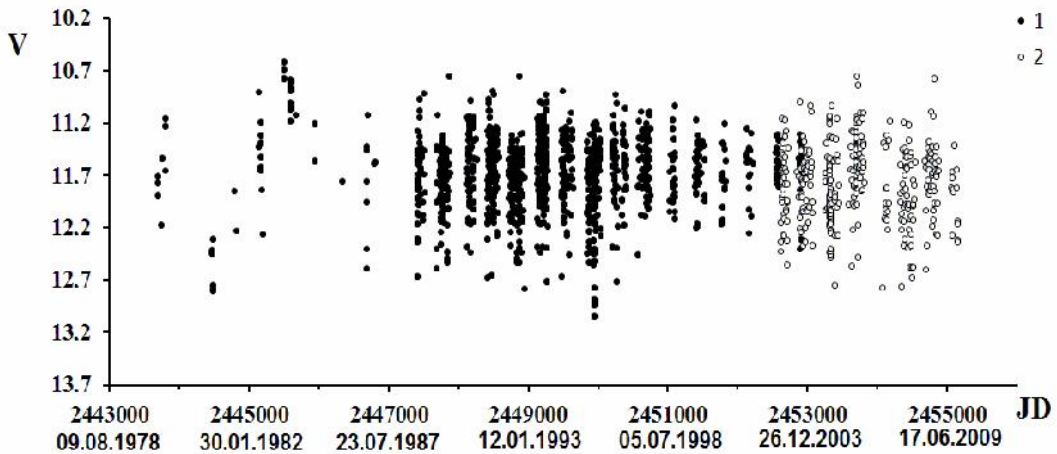
.2. (1) S-
2-4 ,
12.VI.1989 . 15.VI.1989 .

1. (1987) 150.
2. , 1242 (1982), 3-5.
3. , ,
. 5, (1984), 164-170.
4. , (1993), 155.
5. XXII, 5 (2002), 127-131.
6. - . XII -
(2008), 349.
7. 95 ,
VIII - , 24-25 2014 . 367-371.
8. « » , 1979-82 . 1989-90 .
9. Solar – Geophysical Data, 1979-82, 1989-90.

adigozalzade@rambler.ru

UBVRI

1200 V-
 1978-2003 . V, I 2002-2009 .
 ASAS (www.astrouw.edu.pl/asas).
 U-B B-V,
 ASAS (V ±0.05^m), (V ±0.01^m),
 .1, 1978-1983 .
 1.8^m (, 1995).
 JD 2447500-2450000
 2^m, JD2451000-2453000 – 1^m,



.1. V- DR Tau 1978-2010 .
 (1), (2) – ASAS.

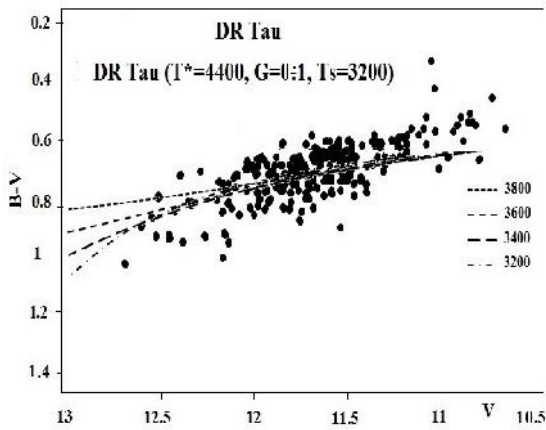
U-B B-V.

0-1, . . .

$$m = -2.5 \lg[1 + G(B_s/B^* - 1)]$$

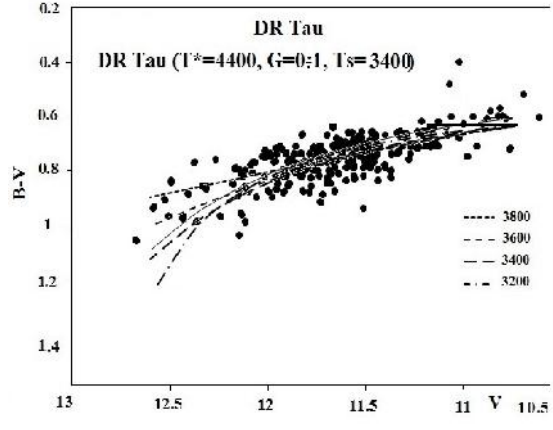
**BDU-nun Fizika Problemleri İnstitutunun yaradılmasının 10 illiyin həsr olunmuş
Beynəlxalq konfrans**

$m -$, B_s B^* ,
 T_s T^* , $G-$,
 $G = S_s/S^*$.
 $5V$ 4400 ,
 100 2500 4000 .
 3400
 0 , $.4$ $V-$ $B-$
 V 3200 3400 . ,
 $V \sim 10.5^m - 13.5^m$
 $B-V$
 $0-1$, ,
 V 0.5 1 ,
 3400 0.5 .



.4.

$B-V$ $V-$



5

3400 ()

V , $U-B$.

$0-1$

$V-$

$V \sim 10.5^m - 13.5^m$

$B-$

1000

**BDU-nun Fizika Problemləri İnstitutunun yaradılmasının 10 illiyin həsr olunmuş
Beynəlxalq konfrans**

$$(B-V)_0 = 1.15^{140^m}, \quad R=3.1, \\ Av=0.93^m \pm 0.3^m.$$

$$Mv = m + 5 - 5lgr - Av = 5^m \cdot 0.4 \\ BC = -0.66, \quad M_1 = Mv + BC = 4.43^m$$

$$L = 3.83 \cdot 10^{26}, \quad M = 4.74^m \\ L = L \cdot 10^{0.4(M - \dots)}, \\ L = 5 \cdot 10^{26}$$

$$L = 4 R^2 T^4 = 5.67 \cdot 10^{-8} \cdot K^{-4},$$

$$R = 1.4 \cdot 10^9 \text{ m} = 1.9 R, \\ R = 1.46 R, \dots, 1.2 R, 2.7 R,$$

1. 30

$$V = 1^m - 1.5^m.$$

2.
15
3.

1000

sabirshao@rambler.ru

(D)
 D

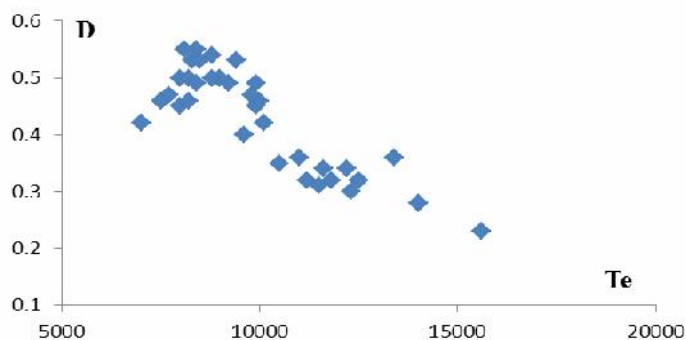
(Mn, Si, Sr, Cr, Eu) [1].

-FO ().

**BDU-nun Fizika Problemləri İnstitutunun yaradılmasının 10 illiyin həsr olunmuş
Beynəlxalq konfrans**

() () - ,
 () .
 2- . . .
 1969 .
 (4 /) : 1)
 (3700-4800Å) 2) D (4600- 6600Å)
 C- .
 , () (N) ,
 [2]. (B-
 V) (U-B) (D) D (B-
 $D=0.52+0.55 Q$, $Q=(U-B)- 0.72 (B-V)$.
 .1.
 8 .1 D
 [3]. 30% D ,
 , D .
 D .
 D
 D
 [2]. () 600-1500 ,
 , 1 Q ,
 D .1.
 9 000-10000 D ,
 D, < 9000 .
 D >10000 ,
 D (~³,
 - (-8000)
 , ,
 (D=D /D),
 () .
 D,
 (D<1,0). ,
 (Si) .

**BDU-nun Fizika Problemləri İnstitutunun yaradılmasının 10 illiyin əhəmiyyətli sərəf olunduğu
Beynəlxalq konfrans**



Зависимость D от Tc

1

HD	mv	SP.	(-V)	(U-)	T	Te	D (CAO)	Q	D
358	2.06	B 9.6	-0.11	-0.46	Hg, Mn	11100	0.23	-0.36	0.32
107 83	6.56	A 2.	-0.055	-0.160	Sr, Cr,Si, Eu	10000	0.39	-0.12	0.45
11503	4.83	B 9	-0.03	-0.12	Si, Sr, Cr, Eu	9600	0.46	-0.10	0.46
15089	4.59	A 3.8	+0.072	+0.18	Sr, Cr, Eu	8600	0.46	+0.13	0.59
18296	5.11	B 8.8	-0.025	-0.24	Si, Sr, Cr, Eu	10570	0.39	-0.22	0.40
19832	5:65	B 7.3	-0.09	-0.39	Si 4200	12510	0.28	-0.33	0.34
25823	5.27	6.8	-0.16	-0.49	Si, Sr 4200	12900	0.26	-0.37	0.32
34452	5.39	B4	-0.17	-0.55	Si 4200	15650	0.20	-0.43	0.28
40312	2.64	9.1	-0.08	-0.18	Si	9950	0.44	-0.12	0.45
65339	6.00	A2	+0.13	+0.05	Sr, Cr, Eu	8460	0.44	-0.04	0.50
68351	5.59	B9	-0.080	-0.120	Si, Cr, Sr	10400	0.46	-0.06	0.49
71866	6.75	A5	+0.095	+0.020	Si, Cr, Eu			-0.05	0.49
74521	5.65	A1	-0.095	-0.245	Si, Sr	10600	0.35	-0.18	0.42
78316	5.23	B9	-0.105	-0.445	Hg, Mn	12350	0.30	-0.36	0.32
108662	5.25	A0	-0.040	-0.115	Sr, Cr, Eu	10000	0.44	-0.08	0.47
108945	5.49	A2	+0.055	+0.10	Sr, Eu			+0.06	0.55
112185	1.68	A1	-0.025	+0.015	Cr, Eu	8900	0.53	+0.04	0.54
112413	2.90	A0	-0.115	-0.440	Si, Hg, Cr, Eu	11900	0.36	-0.35	0.32
118022	4.93	A2	+0.030	+0.010	Sr, Cr	9450	0.45	-0.01	0.46
124224	4.90	A0	-0.13	-0.41	Si 4200	12460	0.31	-0.32	0.34
133029	6.16	B9	-0.135	-0.43	Si, Cr	11000	0.36	-0.33	0.35
137909	3.72	F2	+0.27	+0.11	Sr, Cr, Eu	7880	0.40	-0.08	0.47
140160	5.26	A0	+0.04	+0.05	Sr			+0.02	0.53
140728	5.48	B9	-0.070	-0.30	Si, Cr			+0.25	0.66
148112	4.5	A2	-0.000	-0.040	Cr, Eu	9400	0.48	-0.04	0.50
153882	6.29	B9	+0.035	+0.040	Cr, Sr			+0.01	0.53
173650	6.39	B9	+0.03	-0.011	Si, Cr			-0.03	0.50
176232	5.90	A7	+0.250	+0.105	Sr, Cr, Eu	7750	0.44	-0.08	0.47
179761	5.15	B8	-0.070	-0.400	Si	11900	0.33z	-0.35	0.32
184905	6.62	AO	-0.110	-0.230	Si, Sr, Cr, Eu	10100	0.33	-0.15	0.44
189849	4.6	A4	+0.180	+0.160	Am	8100	0.45	+0.03	0.54

**BDU-nun Fizika Problemləri İnstitutunun yaradılmasının 10 illiyin həsr olunmuş
Beynəlxalq konfrans**

192678	7.12	A4	-0.015	-0.015	Cr	9000	0.48	+0.05	0.55
196502	5.2	A2	+0.080	+0.106	Sr, Cr, Eu	8900	0.51	+0.05	0.55
201601	5.0	A9	+0.09	+0.26	Sr, Cr, Eu	7600	0.40	+0.19	0.62
204411	5.4	A4	0.07	0.16	Si, Cr, Hg	8800	0.49	+0.11	0.58
215038	8.18	A0	-0.045	-0.047				-0.02	0.51
215441	8.84	A0	+0.025	-0.515	Si 4200	14900	0.18	-0.53	0.23
220825	4.94	A2	-0.03	-0.01	Sr, Cr, Eu	9600	0.43	+0.01	0.53

1. Nachr. 1976 1297. . 217-227.
2. 2010. 2. .173-178.
3. 1987. .25. .8- 23.

. , , ,

sajida.gafar@gmail.com

« »
« »

1.

2.

$$E_0(r) = \exp(ikr) \quad , \quad k ,$$

$$\mathbb{E}_k(r) = \exp(ikr) + \int G(r, r') U \mathbb{E}_k(r') dr', \quad (1)$$

U - , ,

$$G(r, r') = -\frac{\exp(ik|r-r'|)}{2f\hbar^2 |r-r'|}. \quad (2)$$

$$U \quad , \quad \langle k' | U | k \rangle$$

$$\mathbf{k}' - \mathbf{k} \quad , \quad \mathbf{q} = \mathbf{k}' - \mathbf{k},$$

\mathbf{k} .

[1]:

$$U_R = (2f\hbar^2 / \sim) \langle U \rangle \text{Re} a, \quad (3)$$

, U -

$\langle \dots \rangle$

(3),

$$U_I = (2f\hbar^2 / \sim) \langle U \rangle \text{Im} a, \quad (4)$$

$$(3) \quad r \rightarrow \infty, \quad (1)$$

$$F(k, k') = -\frac{\sim}{2f} \int \exp(-ik'r) U \mathbb{E}_k(r) dr, \quad (5)$$

k'

$r' d\Omega$,

$$\frac{d^2 \dagger}{d\Omega dE} = \frac{v}{v_0} \cdot \frac{1}{2f\hbar} \int d\dagger e^{-i\tilde{S}\dagger} \sum_{i,j} b_i^* b_j e^{iq(d_i - d_j)}, \quad (6)$$

$$\dagger = t - t_0, \quad \tilde{S} = \tilde{S}_0 - \tilde{S}', \quad v, \quad v_0, \quad q = k_0 - k, \quad (6)$$

$$\mathbf{j}(\mathbf{r}) = \frac{i\hbar}{2\sim} [\mathbb{E}(\mathbf{r}) \nabla_r \mathbb{E}^*(\mathbf{r}) - \mathbb{E}^*(\mathbf{r}) \nabla_r \mathbb{E}(\mathbf{r})], \quad (7)$$

$$\nabla \cdot [\mathbf{E}_{k'}^*(r') \nabla \mathbf{E}_k(r) - \mathbf{E}_k(r) \nabla \mathbf{E}_{k'}^*(r')] + 2iuU_L \mathbf{E}_{k'}^*(r') \mathbf{E}_k(r) = 0, \quad (8)$$

$$\nabla \cdot \mathbf{j} = -\frac{\hbar}{m} (2f \hbar^2 / \sim) \langle u y \rangle \text{Im } a \mathbf{E}_{k'}^*(r') \mathbf{E}_k(r), \quad (9)$$

... , $uy \neq 0$, \mathbf{j} , uy « »

$$\mathbf{j}(k) = \int |F(k, \mathbf{r})|^2 d\Omega, \quad (10)$$

$$\mathbf{j}(k) = N_1 \int |F(k, \mathbf{r})|^2 d\Omega + \frac{N_2}{k^2} \int dk' |F(k') F(k - k')|^2 d\Omega + \dots, \quad (11)$$

$$N_n = \frac{1}{\Gamma(n!)} \int \exp(-\Gamma_1 u y_0 r) (-\Gamma_1 u y_0 r)^n dr. \quad \Gamma_1 -$$

$$\Gamma_1 = 4f (\text{Re } a)^2 \frac{V}{v_0} \left\langle \left(\frac{u y_0}{y} \right)^2 \right\rangle \quad (12)$$

$v_0 -$, $y -$.

[2]:

$$\mathbf{j} = N \mathbf{j} = N V (\text{Re } a)^2 \langle (u y_0)^2 \rangle. \quad (13)$$

$$N = N_1$$

$$|\mathbf{E}|^2 \approx N \frac{\langle u y_0 \rangle^2}{d^2} \quad (14)$$

$$|E|^2 \approx N^2 \frac{\langle uy_0 \rangle^2}{d^2} \quad (15)$$

3.

1. ... // ..., 1996, 7, 4, . 989.
2. ... // ...
2002. 11, .11-18.

• • • , • • • , • • •

†, † *Sc, Ti, V, Ca, Mn, Cr* ^{7,3}

σ.

[1]:

$$\frac{\partial^2 \hat{t}_{ab}(E_b, \hat{t})}{\partial E_b \partial \Omega_b} = c \left\{ 1 + \frac{1}{12} \frac{\langle \ell_a^2(E_a) \rangle \langle \ell_b^2(E_b) \rangle}{\hat{t}^4} P_2(\mu) \right\} \quad (1)$$

– , $\langle \ell_a^2(E_a) \rangle$, $\langle \ell_b^2(E_b) \rangle$ – ; 2 – ;

**BDU-nun Fizika Problemleri İnstitutunun yaradılmasının 10 illiyin həsr olunmuş
Beynəlxalq konfrans**

$$\langle \ell^2(E) \rangle = \sum_0^{\infty} (2\ell+1) T_{\ell}(E) \ell(\ell+1) / \sum_0^{\infty} (2\ell+1) T_{\ell}(F) \quad (2)$$

T_{ℓ} -

(1)

Sc, Ti, V, Ca, Mn, Cr [2].

$$\dagger(\nu) = \frac{1}{4f} \sum_{\ell=0}^{N_0} B_{\ell} P_{\ell}(\nu)$$

[3].

σ^2

	<i>Sc</i>	<i>Ti</i>	<i>V</i>	<i>Cr</i>	<i>Mn</i>	<i>Co</i>
\dagger	5,3±1,2	6,2±1,2	7,3±1,6	7,4±1,4	9,2±3,1	9,6±2,3
$/_0$	0,7±0,1	0,6±0,1	0,7±0,2	0,6±0,3	0,7±0,2	0,7±0,3

$(n,p), (n,\Gamma), (n,n')$.

[4],

$$\dagger^2 = \frac{I_0 \Gamma}{\hbar^2} \quad (3)$$

$$I_0 = \frac{2}{5} mAR^2 \quad (4)$$

)
)
)

$$[5] \quad \sigma.$$

~(5÷10)

[4]

I

(I)

[5]:

$$I_0/I = 1 + gf^2/2 \quad (5)$$

I_0 I – , g – , $gf^2/2$ –

$gf^2/2$,

[4]

[6].

1. T.Ericson and V.Strutinski. Nucl. Phys, 1985, 8, 284.
2. . . . -457, 1998.
3. . . . , 2003, .1, .73.
4. . . . , 2005, .1, .227.
5. « . . . » . 2011, .8, .1, .39
6. . . . - « . . . » ., 1995.

. . . , . . . , . . . , . . .

elmira@physics.ab.az

[1]

() N_k N_q (),

$$\Delta r_k = \frac{A}{N_k}$$

$$\Delta r_q = \frac{A}{N_q}$$

$$N_k \gg N_q,$$

),

n_k

n_q

$$(N_k - n_k)$$

$$(N_q - n_q)$$

:

$$r_k = (N_k - n_k)\Delta r_k = (N_k - n_k)\frac{A}{N_k}$$

$$r_q = (N_q - n_q)\Delta r_q = (N_q - n_q)\frac{A}{N_q}$$

, . . . $k = q$.

**BDU-nun Fizika Problemləri İnstitutunun yaradılmasının 10 illiyin həsr olunmuş
Beynəlxalq konfrans**

, « + » .
κ = q
, N_k N_q ,
$$n_q = \frac{N_q}{N_k} n_k.$$

– – () [2].

[3].

: «...»

».

: «

».

« + ».

?

« + + ».

κ = q

()

« » [4].

«

»

–

–

–

«

».

,

... (...) [4].

... (...)

... κ = q.

« ... »

... κ = q.

[5], :

$$\epsilon = R\left(\frac{1}{2^2} - \frac{1}{n^2}\right), \quad (n=3,4,5, 6)$$

$$R = \frac{1}{n}$$

$$\epsilon = R\left(\frac{1}{2^2} - \frac{4\Delta r^2}{f^2}\right)$$

1. ... « ... », 1999, 400 .
2. Einstein A., Podolsky B., Rosen N., Phys. Rev., 47, (1935), 777
3. Bohr N., Phys. Rev., 48, (1935), 696
4. M. ., , 43, 6, (2000), 631
5. ... « ... », 1984, 93 .

• • • • • • • • • • *

aahmad07@rambler.ru

()

, ()

[1].

$$\frac{1}{r} \frac{\partial}{\partial r} \left(r \frac{\partial p(r,t)}{\partial r} \right) + \frac{u}{kb} q_h(t) \delta(r-r_c) = \frac{1}{t} \frac{\partial p(r,t)}{\partial t}, \quad r_c < r < r_k, t > 0 \quad (1)$$

$$p(r,0) = p_m = \text{const}, \quad r_c < r < r_k \quad (2)$$

$$\begin{cases} \left. \frac{\partial p(r,t)}{\partial r} \right|_{r=r_c} = q_h(t), \\ p(r_k,t) = p_k(t), \quad t > 0 \end{cases} \quad (3)$$

(1)-(3)

$$D = \{(r,t); r \in (r_c, r_k), t > 0\},$$

u, t, p_m, r_c, r_k -

$\delta(r-r_c)$ -

$q_h(t)$ $p_k(t)$

$p(r,t)$ -

:

$$\begin{cases} -\frac{\partial p(x,t)}{\partial x} = \frac{\partial(\dots w(x,t))}{\partial t} + \frac{1}{8u} \dots w^2(x,t) + \dots g \sin \Gamma + \frac{\partial}{\partial x} [(1+s) \dots w^2(x,t)], \\ \frac{1}{c^2} \frac{\partial p(x,t)}{\partial t} = -\frac{\partial(\dots w(x,t))}{\partial x}, \end{cases} \quad 0 < x < l, \quad t > 0, \quad (4)$$

$$p(x,0) = 0, \quad w(x,0) = 0, \quad x \in [0,l], \quad (5)$$

$$\begin{cases} p(0,t) = p_c(t) \equiv p_{2c}(t), \\ p(l,t) = p_y(t), \end{cases} \quad t \geq 0, \quad (6)$$

(4)-(6)

$$D = \{(x,t); x \in (0,l), t > 0\},$$

$$\begin{aligned} & \dots, u, s, c, l, \Gamma, r_c - \dots, \dots, g, p_y(t) - \dots p(x,t) \dots w(x,t) \\ & \dots, p_{rc}(t) - \dots \\ & \dots \\ & \dots, p(r,t) - \dots [1], \dots \end{aligned} \quad (1)-(3)$$

$$|p(r,t)| \leq C e^{\dagger \sigma t}, \quad (7)$$

$$\tilde{p}''(r,s) + \frac{1}{r} \tilde{p}'(r,s) - \frac{s}{t} \tilde{p}(r,s) = -\frac{p_m}{t} - \frac{n}{kb} \tilde{q}_h(s) u(r-r_c), \quad (8)$$

$$\begin{cases} \tilde{p}'(r,s)|_{r=r_c} = q_h'(s), \\ \tilde{p}(r_k, s) = \tilde{p}_k(s), \end{cases} \quad (9)$$

$$s \in C - \dots, \quad \text{Re } s > \dagger_0,$$

$$\tilde{p}(r,s) = \int_0^\infty e^{-st} p(r,t) dt \quad (10)$$

$$(1)-(3) \quad (8)-(9)$$

$$s \dots (8)$$

$$Z = \Gamma r \quad (11)$$

$$\tilde{p}(r,s) = \tilde{p}\left(\frac{Z}{\Gamma}, s\right) \equiv y(z,s), \quad (12)$$

$$\tilde{p}'(r,s) = y'(z,s) \cdot \Gamma, \quad \tilde{p}''(r,s) = y''(z,s) \cdot \Gamma^2.$$

(8),

$$r^2 y''(r, s) + \frac{1}{r} y'(r, s) - \frac{s}{t} y(r, s) = -\frac{p_m}{t} - \frac{n}{kb} \tilde{q}_h(s) u\left(\frac{z}{r} - r_c\right) \quad (13)$$

$$r^2 = -\frac{s}{t}, \quad \dots \quad r = i\sqrt{\frac{s}{t}}, \quad (14)$$

$$z^2 y''(r, s) + zy'(r, s) + (z^2 - O^2)y(r, s) = z^2 \left[\frac{p_m}{s} - \frac{t_n}{kbs} \tilde{q}_h(s) u\left(\frac{z}{r} - r_c\right) \right], \quad (15)$$

$$z \in (r r_s, r r_k)$$

$$\begin{cases} y'(r, s) = \frac{1}{r} \tilde{p}'(r, s) \Big|_{r=r_s} = \frac{1}{r} \tilde{q}_h(s), \\ y(r r_k, s) = \tilde{p}_k(s) \end{cases} \quad (16)$$

$$J_0(z) \quad Y_0(z) \quad (15)$$

$$(16),$$

$$y(z, s) = C_1 J_0(z) + C_2 Y_0(z) +$$

$$+ \frac{p_m}{s} \int_{r r_c}^z \frac{J_0(\xi) Y_0(z) - Y_0(\xi) J_0(z)}{t(\xi)} d\xi + \frac{t_n r}{2kbs} \tilde{q}_h(s) \cdot \frac{J_0(r r_c) Y_0(z) - Y_0(r r_c) J_0(z)}{t(r r_c)}, \quad (17)$$

$$z \in (r r_c, r r_k)$$

$$t(z) = \begin{vmatrix} J_0(z) & Y_0(z) \\ J_0'(z) & Y_0'(z) \end{vmatrix} \neq 0 \quad (18)$$

$$(17)$$

$$\int_{r r_c}^z u\left(\frac{v}{r} - r_c\right) d\xi = \frac{1}{r} \cdot \frac{1}{2} = \frac{r}{2}. \quad (19)$$

$$c_1 \quad c_2 \quad (18) \quad (16).$$

$$(17).$$

$$y'(z, s) = C_1 J_0'(z) + C_2 Y_0'(z) +$$

$$+ \frac{p_m}{s} \int_{r r_c}^z \frac{J_0(\xi) Y_0'(z) - Y_0(\xi) J_0'(z)}{t(\xi)} d\xi + \frac{t_n r}{2kbs} \tilde{q}_h(s) \cdot \frac{J_0(r r_c) Y_0'(z) - Y_0(r r_c) J_0'(z)}{t(r r_c)},$$

$$y(z, s) = C_1 J_0(r r_k) + C_2 Y_0(r r_k) +$$

$$+ \frac{p_m}{s} \int_{r_c}^{r_k} \frac{J_0(\xi)Y_0(r r_k) - Y_0(\xi)J_0(r r_k)}{t(\xi)} d\xi + \frac{t_n r}{2kbs} \tilde{q}_h(s) \cdot \frac{J_0(r r_c)Y_0(r r_k) - Y_0(r r_c)J_0(r r_k)}{t(r r_c)} = \tilde{P}_k(s),$$

$$C_1 J'_0(z)|_{z=r r_k} + C_2 Y'_0(z)|_{z=r r_k} +$$

$$+ \frac{t_n r}{2kbs} \tilde{q}_h(s) \frac{J_0(r r_c)Y'_0(r r_k) - Y_0(r r_c)J'_0(r r_k)}{t(r r_c)} = \frac{1}{r} \tilde{q}_h(s)$$

$$\begin{cases} C_1 J_0(r r_k) + C_2 Y_0(r r_k) = A(s) \\ C_1 J'_0(z)|_{z=r r_k} + C_2 Y'_0(z)|_{z=r r_k} = B(s) \end{cases} \quad (20)$$

$$A(s) = \tilde{P}_k(s) - \frac{p_m}{s} \int_{r_c}^{r_k} \frac{J_0(\xi)Y_0(r r_k) - Y_0(\xi)J_0(r r_k)}{t(\xi)} d\xi -$$

$$- \frac{t_n r}{2kbs} \tilde{q}_h(s) \frac{J_0(r r_c)Y_0(r r_k) - Y_0(r r_c)J_0(r r_k)}{t(r r_c)}, \quad (21)$$

$$B(s) = \frac{1}{r} \tilde{q}_h(s) - \frac{t_n r}{2kbs} \tilde{q}_h(s) \frac{J_0(r r_c)Y'_0(r r_k) - Y_0(r r_c)J'_0(r r_k)}{t(r r_c)},$$

$$\Delta = \begin{vmatrix} J_0(r r_k) & Y_0(r r_k) \\ J'_0(z)|_{z=r r_k} & Y'_0(z)|_{z=r r_k} \end{vmatrix} \neq 0. \quad (22)$$

(20) :

$$C_1 = \frac{1}{B} \begin{vmatrix} A(s) & Y_0(r r_k) \\ B(s) & Y'_0(z)|_{z=r r_k} \end{vmatrix},$$

$$C_2 = \frac{1}{B} \begin{vmatrix} J_0(r r_k) & A(s) \\ J'_0(z)|_{z=r r_k} & B(s) \end{vmatrix}.$$

, (15), (16), (17) :

$$y(z, s) = \frac{J_0(z)}{\Delta} \begin{vmatrix} A(s) & Y_0(r r_k) \\ B(s) & Y'_0(z)|_{z=r r_k} \end{vmatrix} + \frac{Y_0(z)}{\Delta} \begin{vmatrix} J_0(r r_k) & A(s) \\ J'_0(z)|_{z=r r_k} & B(s) \end{vmatrix} + \quad (23)$$

$$+ \frac{p_m}{s} \int_{r_c}^z \frac{J_0(\xi)Y_0(z) - Y_0(\xi)J_0(z)}{t(\xi)} d\xi + \frac{t_n r}{2kbs} \tilde{q}_h(s) \frac{J_0(r r_c)Y_0(z) - Y_0(r r_c)J_0(z)}{t(r r_c)}.$$

(23) (12) :

$$\tilde{p}(r, s) = \frac{J_0(r r_k)}{\Delta} \begin{vmatrix} A(s) & Y_0(r r_k) \\ B(s) & Y_0'(z)|_{z=r r_k} \end{vmatrix} + \frac{Y_0(r r)}{\Delta} \begin{vmatrix} J_0(r r_k) & A(s) \\ J_0'(z)|_{z=r r_k} & B(s) \end{vmatrix} + \frac{p_m}{s} \int_{r_c}^{r r} \frac{J_0(\xi) Y_0(r r) - Y_0(\xi) J_0(r r)}{t(\xi)} d\xi + \frac{t_r r}{2kbs} \tilde{q}_h(s) \cdot \frac{J_0(r r_c) Y_0(r r) - Y_0(r r_c) J_0(r r)}{t(r r_c)}. \quad (24)$$

, $p(r, t)$

$$p(r, t) = \frac{1}{2fi} \int_{\dagger -j\infty}^{\dagger +j\infty} e^{st} \tilde{p}(r, s) ds \quad (25)$$

$\tilde{p}(r, s)$ (24).

(1)-(3)

1. $p(r, t) -$, u, k, b, t, r_c, r_k P_m

(1)-(3)

(25).

1.

, 1951.

babanl-vahid@rambler.ru

$$m \frac{\partial p}{\partial t} = -div \vec{v} + d \quad (1)$$

$$\bar{m} = -\frac{k}{\bar{z}} \text{grad } \dots, \quad (2)$$

m - , ... - , \bar{m} - , k - , p - , d - .

$$\frac{\partial C}{\partial t} = D \frac{\partial^2 C}{\partial x^2}, \quad 0 < x < l \quad (3)$$

l - , D - , c - , x - .
(3)

$$C(0, x) = C_1 \quad (4)$$

:

$$\frac{\partial C(x, t)}{\partial x} = 0 \quad x = 0, \quad (5)$$

$$\frac{\partial C(x, t)}{\partial t} = -\frac{c(x, t) - c_0(p)}{T} \quad x = l, \quad (6)$$

$C_0 = C_0(p)$, ... , T - ,

:

$$q = -D \frac{\partial c(l, t)}{\partial x}. \quad (7)$$

q d

$$d = s(1 - m)q, \quad (8)$$

s - . , (1)-(8)

$$C(x, t) = U(x) + W(x, t). \quad (9)$$

(9) (3) $U(x)$

$W(x, t)$:

$$\frac{d^2U(x)}{dx^2} = 0, \quad (10)$$

$$\frac{\partial W(x,t)}{\partial t} = D \frac{\partial^2 W(x,t)}{\partial x^2}. \quad (11)$$

(10)

$$U(0) = U_0 \quad U(l) = U_1 \quad (12)$$

$$U(x) = \frac{u_1 - u_0}{l} x + U_0 \quad (13)$$

(11)

$$W(x, t) = 0 \quad t = 0, \quad (14)$$

$$\frac{\partial W(x,t)}{\partial t} = \frac{\partial C(x,t)}{\partial t} = -\frac{C(x,t) - C_0(p)}{T}, \quad x = l, \quad (15)$$

$$\frac{\partial W(x,t)}{\partial x} = \frac{\partial C(x,t)}{\partial x} = 0, \quad x = 0. \quad (16)$$

(11), (14)-(16)

$$W(x, t) = X(x) \cdot T(t) \quad (17)$$

(17) (11)

$X(x) \quad T(t)$

$$\frac{dT(t)}{dt} + \lambda^2 D T(t) = 0 \quad (18)$$

$$\frac{d^2 X}{dx^2} + \lambda^2 X(x) = 0 \quad (19)$$

(18)

$$T(t) = K e^{-D\lambda^2 t}, \quad (20)$$

λ -

, K -

(19)

$$X(x) = B_1 \cos \lambda x + B_2 \sin \lambda x.$$

$$X(x) = B_2 \sin \lambda x, \quad \lambda = \frac{\pi i}{l}, \quad i = 1, 2, \dots \quad (21)$$

(11)

$$W(x,t) = Be^{-Dx^2t} \sin \frac{x}{l}, \quad (22)$$

$$B = B_2 K, \quad (9)$$

$$C(x,t) = \frac{U_1 - U_0}{l} x + U_0 + Be^{-Dx^2t} \sin \frac{x}{l} \quad (23)$$

$$q = -D \left(\frac{U_1 - U_0}{l} + B \right) e^{-Dx^2t} \cos \frac{x}{l} \quad (7) \quad (23) \quad (7)$$

$$\left. \frac{\partial C(x,t)}{\partial x} \right|_{x=l} = \frac{U_1 - U_0}{l} + B e^{-Dx^2t} \cos \frac{x}{l}$$

$$q = -D \left(\frac{U_1 - U_0}{l} + B \right) e^{-Dx^2t} \cos \frac{x}{l} \quad (24)$$

$$d = -DS(1-m) \left(\frac{U_1 - U_0}{l} + B \right) e^{-Dx^2t} \cos \frac{x}{l} \quad (8) \quad (24)$$

$$d = -DS(1-m) \left(\frac{U_1 - U_0}{l} + B \right) e^{-Dx^2t} \cos \frac{x}{l} \quad (25)$$

(25) (1)-(2)

1. 1970, 1, 39-45
2. Simon R., Grane D.J. Generalized correlation for predicting solubility, swelling and viscosity behaviour of CO₂ crude oil system. J.Pet. Tech. 1965, v. 17, No 1, p.102-106
3. Rasmussen M.L., Civion F. Improved measurement of gas diffusivity for miscible gas flooding under non-equilibrium vs equilibrium conditions. SPE/DOE Improved oil recovery Symposium. Tulsa Oklahoma USA April 13-17 2002, p. 127

neikoos@yahoo.com, samed59@bk.ru

$$\begin{cases}
 u_{tt}(t, x) - u_{xx}(t, x) - \Gamma u_{ttxx}(t, x) = \\
 = F(t, x, u(t, x), u_t(t, x), u_x(t, x), u_{tx}(t, x), u_{xx}(t, x), u_{txx}(t, x)) \\
 \quad \quad \quad \quad \quad \quad \quad \quad \quad \quad \quad \quad (0 \leq t \leq T, 0 \leq x \leq f), & (1) \\
 u(0, x) = \varphi(x) \quad (0 \leq x \leq f), \quad u_t(0, x) = \psi(x) \quad (0 \leq x \leq f), & (2) \\
 u(t, 0) = u(t, f) = 0 \quad (0 \leq t \leq T), & (3)
 \end{cases}$$

$0 < T < +\infty$; $\Gamma > 0$; F, φ, ψ - , $u(t, x)$ -

$u(t, x)$, :
 a) $u(t, x), u_x(t, x), u_t(t, x), u_{tx}(t, x), u_{tt}(t, x), u_{ttx}(t, x) \in C([0, T] \times [0, f])$;

$u_{xx}(t, x), u_{txx}(t, x), u_{ttxx}(t, x) \in C([0, T]; L_2(0, f))$;
) (1) $(0, T) \times (0, f)$;
) (2) (3)

(1)-(3).

1. $F(t, x, u_1, \dots, u_6) \in C([0, T] \times [0, f] \times (-\infty, \infty)^6)$.

$$2. F(t, x, u, u_t, u_x, u_{tx}, u_{xx}, u_{xxx}) = f(x, u) + \Phi(t, x, u, u_t, u_x, u_{tx}, u_{xx}, u_{xxx}) + f_1(t, x, u, u_t, u_x, u_{tx})_x + f_2(t, u_t)_x + f_3(x, u_x)_x, \quad (4)$$

$$\begin{aligned} &) f(x, u) \in C([0, f] \times (-\infty, \infty)) \quad [0, f] \times (-\infty, \infty) \\ & \int_0^u f(x, <) d< \equiv g(x, u) \leq C \cdot (1 + u^2 - g_0(u)), \quad 0 \leq g_0(u) \in C(-\infty, \infty); \end{aligned} \quad (5)$$

$$\begin{aligned} &) \Phi(t, x, u_1, \dots, u_6) \in C([0, T] \times [0, f] \times (-\infty, \infty)^6) \quad [0, T] \times [0, f] \times (-\infty, \infty)^6 \\ & \Phi(t, x, u_1, \dots, u_6) \cdot u_2 \leq C \cdot (1 + u_1^2 + u_2^2 + u_3^2 + u_4^2 + g_0(u_1)); \end{aligned} \quad (6)$$

$$\begin{aligned} &) f_1(t, x, u_1, \dots, u_4), f_{1,x}(t, x, u_1, \dots, u_4), f_{1,u_i}(t, x, u_1, \dots, u_4) \\ & (i = \overline{1, 4}) \in C([0, T] \times [0, f] \times (-\infty, \infty)^4) \quad [0, T] \times [0, f] \times (-\infty, \infty)^4 \\ & - f_1(t, x, u_1, \dots, u_4) \cdot u_4 \leq C \cdot (1 + u_1^2 + u_2^2 + u_3^2 + u_4^2 + g_0(u_1)); \end{aligned} \quad (7)$$

$$\begin{aligned} &) f_2(t, V), f_{2,V}(t, V) \in C([0, T] \times (-\infty, \infty)); \\ &) f_3(x, V) \in C^{(1)}([0, f] \times (-\infty, \infty)) \quad [0, f] \times (-\infty, \infty) \\ & - \int_0^V f_3(x, <) d< \leq C \cdot (1 + V^2), \end{aligned} \quad (8)$$

$C > 0 -$

$$u(t, x) \quad (1)-(3)$$

$$\int_0^f u_t^2(t, x) dx + \int_0^f u_x^2(t, x) dx + \int_0^f u_{tx}^2(t, x) dx \leq C_0 \quad \forall t \in [0, T]. \quad (9)$$

$$\forall t \in [0, T] \quad x \in [0, f]$$

$$|u(t, x)| = \left| \int_0^x u_{<}(t, <) d< \right| \leq \int_0^f |u_{<}(t, <)| d< \leq \sqrt{f} \cdot \left\{ \int_0^f u_x^2(t, x) dx \right\}^{\frac{1}{2}},$$

$$|u_t(t, x)| = \left| \int_0^x u_{t<}(t, <) d< \right| \leq \int_0^f |u_{t<}(t, <)| d< \leq \sqrt{f} \cdot \left\{ \int_0^f u_{tx}^2(t, x) dx \right\}^{\frac{1}{2}},$$

(9)

$$\|u(t, x)\|_{C(\overline{Q_T})} \leq R_0, \quad \|u_t(t, x)\|_{C(\overline{Q_T})} \leq R_0,$$

$$Q_T \equiv (0, T) \times (0, f).$$

(4),

$$\Phi(t, x, u, u_t, u_x, u_{tx}, u_{xx}, u_{txx}) \quad (10)$$

$$f(x, u), f_1(t, x, u, u_t, u_x, u_{tx}), f_2(t, u_t), f_3(x, u_x), \quad (11)$$

$$(4) \quad (10) \quad (11), \quad \dots \quad (11) \quad (10), \quad \dots$$

$$(6) \quad \dots \quad \left(\dots \right) \quad \dots$$

$$|\Phi(t, x, u_1, \dots, u_6)| \leq C \cdot (1 + |u_1| + |u_2| + |u_3| + |u_4|),$$

$$(6), \quad \Phi(t, x, u_1, \dots, u_6) \cdot$$

$$(6) \quad \Phi(t, x, u_1, \dots, u_6), \quad \dots, \quad |u_1| + \dots + |u_6| \rightarrow +\infty; \quad \dots,$$

$$\Phi(t, x, u_1, \dots, u_6)$$

$$\Phi(t, x, u_1, \dots, u_6) = u_2 \cdot \tilde{\Phi}(t, x, u_1, \dots, u_6),$$

$$\tilde{\Phi}(t, x, u_1, \dots, u_6) - \dots, \quad \dots$$

$$\tilde{\Phi}(t, x, u_1, \dots, u_6) \in C([0, T] \times [0, f] \times (-\infty, \infty)^6),$$

$$\tilde{\Phi}(t, x, u_1, \dots, u_6) \leq C.$$

$$(6) \quad \dots, \quad \dots,$$

$$\Phi(t, x, u_1, \dots, u_6) \quad u_2 \quad \dots, \quad \dots, \quad \Phi(t, x, u_1, \dots, u_6) \quad u_2 = 1$$

$$u_2 = -1)$$

$$|\Phi(t, x, u_1, \dots, u_6)| \leq \tilde{C} \cdot (1 + u_1^2 + u_3^2 + u_4^2 + g_0(u_1)), \quad (12)$$

$$\dots, \quad \Phi(t, x, u_1, \dots, u_6) \quad |u_1| + \dots + |u_6| \rightarrow +\infty \quad (12),$$

$$\dots, \quad \dots, \quad \dots, \quad \Phi(t, x, u_1, \dots, u_6) \quad u_2, \quad u_2 = 1 + |u_1| + |u_3| + |u_4| + \sqrt{g_0(u_1)} \quad u_2 = -(1 + |u_1| + |u_3| + |u_4| + \sqrt{g_0(u_1)}),$$

$$(6)$$

$$\begin{aligned} & |\Phi(t, x, u_1, \dots, u_6)| \cdot (1 + |u_1| + |u_3| + |u_4| + \sqrt{g_0(u_1)}) \leq \\ & \leq \tilde{C} \cdot (1 + u_1^2 + u_3^2 + u_4^2 + g_0(u_1)), \end{aligned}$$

$$|\Phi(t, x, u_1, \dots, u_6)| \leq \tilde{C} \cdot (1 + |u_1| + |u_3| + |u_4| + \sqrt{g_0(u_1)});$$

(12),

$$\Phi(t, x, u_1, \dots, u_6) \quad |u_1| + \dots + |u_6| \rightarrow +\infty.$$

$$f(x, u) = \Phi(t, x, u, u_t, u_x, u_{tx}, u_{xx}, u_{txx})$$

$$f(x, u) = -u^{99}, \quad \Phi(t, x, u, u_t, u_x, u_{tx}, u_{xx}, u_{txx}) = u^{50} \sin u_t,$$

$$f_1 = f_2 = f_3 \equiv 0,$$

$$F(t, x, u, u_t, u_x, u_{tx}, u_{xx}, u_{txx}) = -u^{99} + u^{50} \cdot \sin u_t;$$

$$g_0(u) = u^{100}$$

$$\Phi(t, x, u, u_t, u_x, u_{tx}, u_{xx}, u_{txx}) \cdot u_t \leq C \cdot (1 + u^2 + u_t^2 + u_x^2 + u_{tx}^2 + g_0(u)),$$

(6),

$$\begin{aligned} \Phi(t, x, u, u_t, u_x, u_{tx}, u_{xx}, u_{txx}) \cdot u_t &= u^{50} \sin u_t \cdot u_t \leq u^{50} \cdot |u_t| \leq \\ &\leq \frac{1}{2} (u^{100} + u_t^2) \leq \frac{1}{2} (1 + u^2 + u_t^2 + u_x^2 + u_{tx}^2 + u^{100}); \end{aligned}$$

$$f(x, u) = \Phi(t, x, u, u_t, u_x, u_{tx}, u_{xx}, u_{txx}), \quad (6)$$

$$g_0(u) \equiv 0,$$

(6),

$$(-u^{99} + u^{50} \cdot \sin u_t) \cdot u_t \leq C \cdot (1 + u^2 + u_t^2 + u_x^2 + u_{tx}^2),$$

$$(-u^{99} + u^{50} \cdot \sin u_t) \cdot u_t \leq C \cdot (1 + u^2 + u_t^2), \quad (13)$$

$$u_t = \frac{f}{2}, \quad u \rightarrow -\infty \quad (13)$$

$$g_0(u), \quad (5),$$

$$g_0(u) \equiv 0,$$

$$(\quad) \quad (5)$$

$$(6) \quad (7),$$

AB ERON YARIMADASINDA RADIOEKOLOJİ TƏDQ QATLAR

Q.Q. Məmmədov¹, C.H. Nəzirov²

Bakı Dövlət Universiteti, Fizika Problemləri İnstitutu¹

AMEA Radiasiya Problemləri İnstitutu²

Bakı trafı razilrl ilk dəfə 1963-1964 illərdə tanı oldum və bu tanıqlıq mənə çox böyük təsəvvür yaratdı. Traf mühit və razilrlərkibində neft və qaz olan tullantılarla daha çox çirklənmişdi. Bu tullantılar içərisində zərərli Radioaktiv tullantılar xüsusi yer tuturdu. Beləki, Radioaktiv nüklidlərin trafik mühit və canlı orqanizmlərə vurduğu ziyanlı təsirlər artıq çoxdan məlumdur. 1900-2000-ci illərdə Ab eron yarımadasının razilrlində Xəzər dənizində Radioekoloji vəziyyət eyni idi. Bu barədə dəbiyyatda vəlaqdar təkilatlarda heç bir məlumat yox idi. Hərçəndki, keçmiş 80-illərin sonlarında SSRİ müxtəsislərlərin və onların rəhbərliyi altında Azərbaycan torpaqlarında Aerokosmik üsullarla radioekoloji məsələlərlə bəllitə cürbəl r aparılmışdı. Lakin, "məxvilikp rəsi" altında bu məsələlərlə barədə həliyə heç bir məlumat verilməmişdi.

1) Ölkəmiz ikinci dəfə müstəqillik qazandıqdan sonra Respublika Prezidenti cənab İhamiyyəvin fərmanları əsasında, Respublikanın laqdar təkilatlarının rəhbərliyi altında Radioekologiya sahəsində ciddi elmi tədqiqat işləri aparılmağa, Ab eron yarımadasının torpaqlarının neftdən və radioaktiv tullantılardan təmizlənməsi işlərinə başlandı.

Radioekoloji tədqiqatlar aparmaq üçün tərkimində nə quruluşu yığıldı və etalon nümunələrinə Radioekoloji parametrləri ölçüldü. Bu məqsədləslahiyətli orqanlar tərkimində gürünü yoxlanmasını təmin etmək üçün Xəzər dənizi suyunun Lənkəran çökəkliyi və Volqa çayının Xəzər töküldüyü yerdən götürülmüş nümunələrinin; həmçinin Kalium xlor (KCl) kristallarının Radioekoloji parametrləri təyin olundu. Tədqiqatların təsəvvüründə müyyənləndirildi ki, Lənkəran çökəkliyi sularında KCl-un konsentrasiyası daha yüksəkdir.

2) Beynəlxalq Qrant Lahiyyəsinin işlənməsi: Bakı trafı Ab eron torpaqlarında radioekoloji tədqiqatların aparılması (icra müddəti 3 il-2009-2012 illər; dəyəri-40/000 AB -dolları). icraçıların sayı 16 nəfər.

Qrant-proektində Bakı hərəndən bəllayan 10 marşrut üzrə çöl raitində EDG-nin (ekvivalent doza gücünün) co rafi koordinatlardan vəölü nöqtələrinin sayından asılılıq müyyənləndirilmiş və EDG-cü böyük olan lokal razilrlə laboratoriyada raitində spektrometrik tədqiqatlar aparmaq üçün torpaq nümunələri götürülmüşdür.

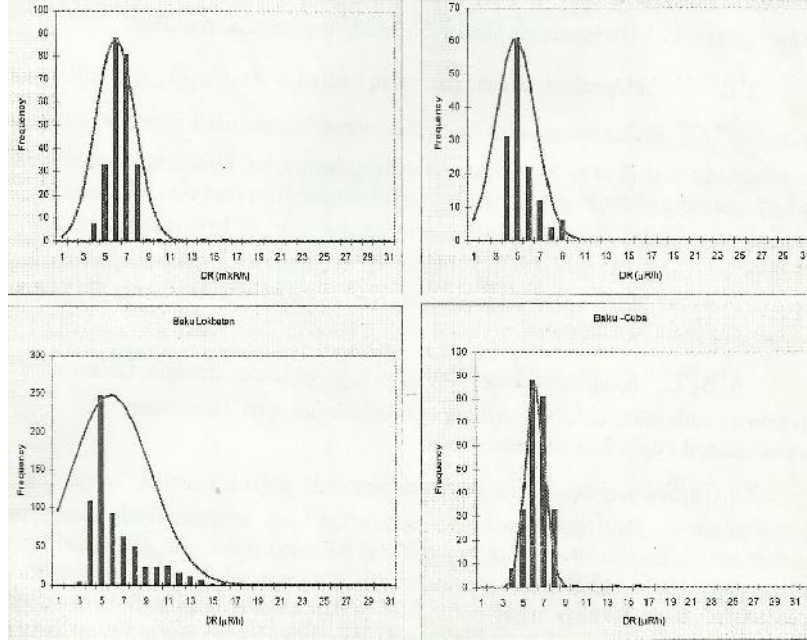
k.1-d Bakı- amaxı, Bakı-Qurd qapısı, Bakı-Lökbatan, Bakı-Quba marşrutu üzrə Radioekoloji tədqiqatların təsəvvürü olaraq EDG-nin nöqtələrinin sayından (a) və co rafi koordinatlardan asılılıqları (b) verilməmişdir [1-3].

Ekspərimental təsəvvürdə göstərdi ki, DGE-nin ölçü nöqtələrinin sayından asılılıq Gauss paylanmasına uyğun gəlir:

$$N(x) = Ae^{-(x_i - \bar{x})^2 / 2\sigma^2}$$

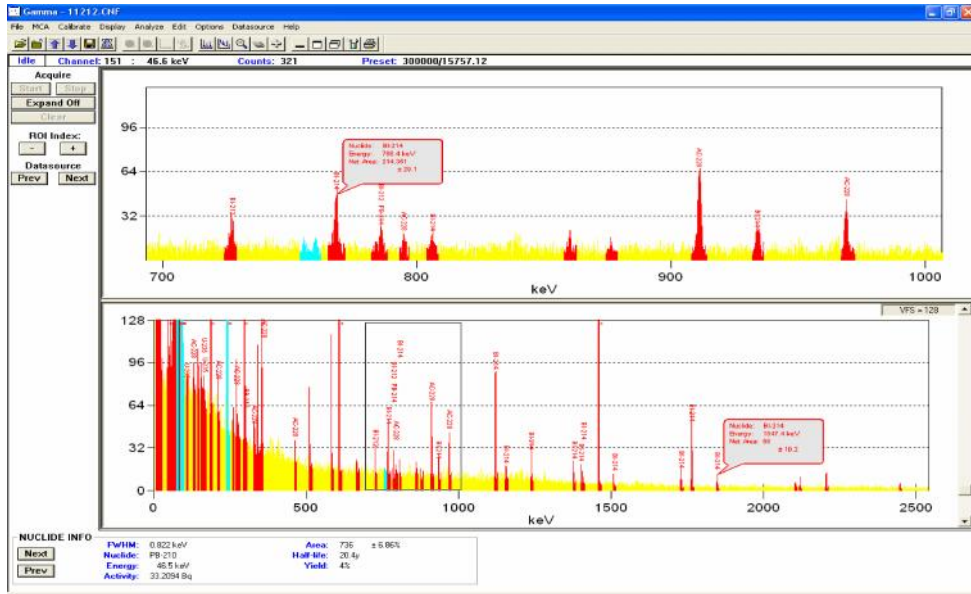
Beləki, A-EDG-nin ölçülməsində nə çox təkrarlanan nöqtələrin maksimal sayı, x_i i nöqtədə EDG-nin qiyməti, \bar{x} - EDG-nin orta qiyməti, σ^2 isə ortakvadratıq qiymətdən kənara çıxmıdır.

BDU-nun Fizika Problemləri İnstitutunun yaradılmasının 10 illiyin əhəmiyyətli tədbiri olaraq Beynəlxalq konfrans



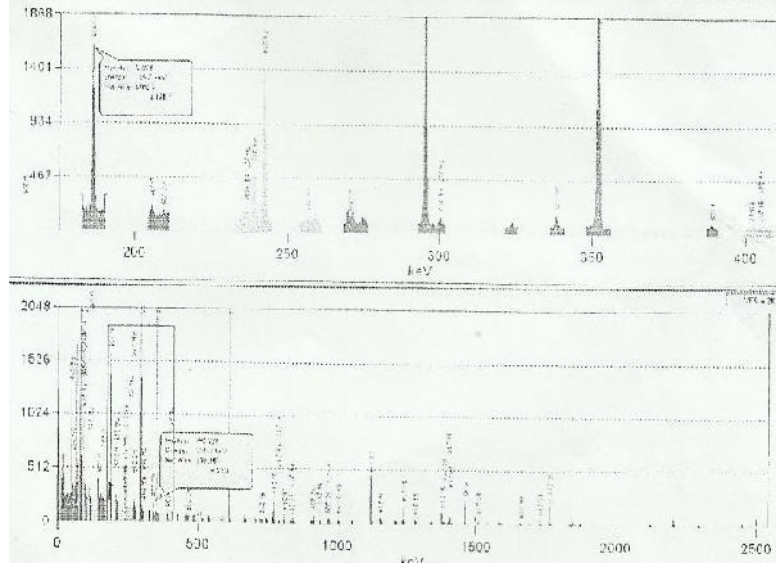
kil-1

Tədqiqatların təsdiqi göstərir ki, Bakı-Suraxanı, Bakı-Ramana marşrutlarında EDG-nin qiyməti daha yüksəkdir və bunu keçmiş Suraxanı və Ramana yod zavodlarının raziləndirilməmiş torpaq nümunələrinin HP GaGe dedektorlu gamma Spektrometri vasitəsilə ölçülmüş enerji spektri çox aydın göstərir (k.2).



kil 2

Qeyd etmək lazımdır ki, tədqiq olunan raziləndirilməmiş torpaqlarında mövcud olan Radionüklidlərin tərkibi, onların dərəcəli paylanması, enerji spektrləri və digər əhəmiyyətli parametrləri yüksək elmi səviyyədə tədqiq olunmuşdur. kil 3-də çoxlu sayda tədqiq sahələrində olan bertonit suxurlarının enerji spektri də verilmişdir.



kil 3

N T C L R

1) Bakı trafı razil rd t rkibind Radionüklidl r olan neft-qaz tullantıları il çirkl nmi torpaqlarda Radioekoloji t dqiqlatlar aparılmı ,Radionüklidl rin konsentasiyasının yüks k olan lokal razil rin (yerl rin) co rafi koordinatları v EDG-nin nöqt l r sayından asılılı ları t yin edilmidir.

2) EDG-nin nötl r sayının tezlyind n asılılı ı çox çirklil olan razil rd eksponensial, az çirklil torpaqlarda is kiçik meyl buca z if olan x tti xarakter da ıyır.

3) Radioekoloji t dqiql olunan razi torpaqlarında mövcud olan Radionüklidl rin t rkibi,konsentrasiyaları,aktivlikl ri,enerji spektirl ri kimi bir sıra h miy tli parametrl ri t yin edilmidir.

4) Alınan n tic l r 3-Beyn l xalq Simpoziumlarda (2-d f AB -d , 1-d f Fransada) m ruz edilmı , Beyn l xalq v Respublika m tbuat nda çap olunmuşdur.

D B Y Y A T

1. G.G. Mamedov, M.A. Ramazanov, J.A. Naghiyev, A.A.Mehdiyeva, M.M. Bakirova, T.T. Vandergraaf, *Investigation into Natural and Anthropogenic Radionuclide Contamination on the Absheron Peninsula Azerbaijan - 10208*, WM2010 Conference, USA, Phoenix, Arizona, March 7-11, 2010, 10 p.
2. T.T. Vandergraaf, G.G. Mamedov, M.A. Ramazanov, J.A. Naghiyev, A.A. Mehdiyeva, N.A. Huseynov, *Determination of the radionuclide contamination on the Absheron peninsula in Azerbaijan*, Proceedings of the 14th International Conference on Environmental Remediation and Radioactive Waste Management ICEM2011, France, Reims, September 25-29, 2011, 9 p.
3. T.T. Vandergraaf, G.G. Mamedov, M.A. Ramazanov, J.A. Naghiyev, A.A. Mehdiyeva, V.H.Badalov, *Distribution of Radioactive Materials in the Absheron Peninsula, Azerbaijan -13567*, WM2013 Conference, USA, Phoenix Arizona, February 24-28, 2013, 13 p.

METEOROLOJ PEYK SİSTEMLƏRİ

V. . Sarıyev

Mingəçevir Dövlət Universiteti

V.Sariyev-1970@mail.ru

Peyk rəqiblərinin orbitləri onlarda cihaz və avadanlıqların imkan və təminatından asılı olaraq seçilir.

Orbitlərin Yerdən olan məsafələri və fırlanma müstəvisinin Yerdən zərər və ziyanlılığı bir-birindən fərqlənir. Orbitlərin növlərindən görə, çox istifadə olunan geostasionar və polyar növlü olurlar.

Peyk rabitəsi 1945-ci ildə Amerikalı A.Klark tərəfindən təklif edilmişdir. Onun bu təklifi əsasında 1957-ci ildə keçmiş SSRİ tərəfindən süni peyk kosmosa buraxılmışdır, bununla kosmik əlaqə bəslənmişdir.

Rabit peyki ilk dəfə 1 fevral 1958-ci il ABŞ, 26 aprel 1962-ci il Böyük Britaniya, 29 sentyabr 1962-ci il Kanada, 26 noyabr 1965-ci il Fransa, 29 noyabr 1967-ci il Avstraliya tərəfindən kosmosa buraxılmışdır.

1965-ci ildə keçmiş SSRİ tərəfindən kosmosa "Molniya-1" rabitə peyki buraxılmışdır.

Yüksək buraxıcılığa malik olması, çox uzaq məsafələrdə informasiya verilişinin təmin olunması və etibarlı rabitənin təmin olunması peyk rabitəsinin üstün cəhətlərindən biridir. Peykin Yerdən hündürlüyü 36000 km-ə çatır. Peyk rabitəsinin danışıq, verilənlər və televiziya signalının verilməsi üçün istifadə edilir. Onların verilməsi üçün müxtəlif veriliş sürətlərindən istifadə olunur.

Məsələn, terminallar arasında veriliş sürətinin qiyməti 2400 bit/san, riyazi proqramların sürəti 50 kbit/san, verilənlərin ötürülmə sürəti 1 Mbit/san-dır. Peyk rabitəsinin əhəmiyyətinin qiyməti 10^{-10} -ə bərabərdir. Digər rabitə kanallarına nisbətən peyk rabitə kanallarının effektivliyi və qüvvətliliyi (800 km-dən sonra) çox böyük olur. Ona görə də peyk rabitəsi kanalına olan tələbat getdikcə artır.

Peyk rabitəsinin kanallarının ayrılması tezliyə, zamana, mühit və koda görə aparılır. Yerüstü stansiyalardan peyk informasiyanın ötürülməsi və onun qəbulu kanallarının ayrılması üsullarına əsaslanır.

Peyk rabitəsinin müxtəlif diametrləli antenalar istifadə olunur ki, onların maksimal diametri 30 m, minimal diametri 1.5 m olur. Peykdə istifadə olunan retranslyatorun sayı 12 ÷ 48 arasında dəyişir. Retranslyatorun hər birinin zolaq tezliyi 36 MHz olur. Retranslyatorlar hər mədə yüksək tezlikli olurlar, onların tezlik zolağı 14/12 HHs, bəzən tezlik zolağı 6/4 HHs təşkil edir.

Yerüstü A stansiyası "Yer-peyk" kanalı vasitəsilə müəyyən tezlikli signal verir. Öz növbəsində peyk həmin signalı qəbul edərək "Peyk-Yer" kanalı vasitəsilə digər yerüstü B stansiyasına ötürür. Bu kanal üzərində verilən signalı qəbul edə bilən stansiya ala bilər. Signalın qəbulu və verilişi transponderlərlə aparılır.

Bu növ rabitədə bir neçə min telefon kanalı yaratmaq, onlarla transponderlərlə yerlərdəki məlumatların ötürülməsi mümkündür. Onların hər birinin veriliş sürəti 48 Mbit/san, ümumi buraxıcılıq 0.5 min. bit/san təşkil edir. Beləliklə, informasiya verilişində məlumat kommutasiyası üsulu ilə aparıla bilər. Bu üstün cəhətlərə yanaşı peyk rabitəsinin çatımayan cəhətləri də var: hava şəraitinin pisləməsi ilə əlaqədar təhriflərin yaranması, informasiyanın gecikmə vaxtının böyük olması müasir

**BDU-nun Fizika Problemləri İnstitutunun yaradılmasının 10 illiyin həsr olunmuş
Beynəlxalq konfrans**

dövrdə Yer üzündən bəvərən iqlim dəyişmələrinin tədqiqində aerokosmik üsulların (məsafədəndə zondlamanın) [1]nin təcili rəzəktuallığı ilə böyük həmiyyət kəsb edir.

“Yerin məsafədəndə zondlaması” dedikdə, Yerini müxtəlif təbii obyektlərinin kəstərdirdiyi və ya üalandırdığı sahələr haqqında, pilotsuz və ya məsafədəndə idarə olunan hava gəmilərinin (təyyarə və aerostatların) və ya kosmik platformalarda (kosmik aparatlar, raketlər, kosmik gəmi, peyk və stansiyalarda) qura dırılmış cihazlar vasitəsilə alınan informasiyanın emalı nəzərdə tutulur.

Aerokosmik zondlama üçün nəzərdə tutulmuş kosmik cihazlar uçuş hündürlüklərinə görə, alçaq, orta hündürlüklü və geostasionar cihazlar bölünür.

Geoinformatikada [2]Yerin obyektli rəsəsnə 3 tip xarakteristikalara malik olur

1. Məkan xarakteristikası- obyektin vəvələdəndə qəbul olunmuş koordinat sisteminə görə vəziyyəti təyin olunur. Bu xarakteristikanın qarşısında qoyulan əsas tələb obyektin yerlədiyi məkanı, o cümlədən Yer səthinin digər obyektlərinə zərər vəziyyətinin dəqiq təyin olunmasıdır.

2. Zaman xarakteristikası –zamandan asılı olaraq, Yerini səthində olan obyektin xüsusiyyətinin, proses və hadisələrin dəyişməsinə xarakterizə edir, bu xarakteristikanın qarşısına qoyulan əsas tələb aktuallıqdır.

3. Tematik xarakteristika –obyektin zaman və məkan istisna olmaqla xüsusiyyətini təsvir edir, əsas tələbi isə praktik məsələlərin həllindəndə dolğunluq və kifayətlidir.

Peyklərin orbitləri onlarda cihaz və avadanlıqların imkan və təyinatından asılı olaraq seçilir. Orbitlər Yerdən olan məsafələri və fırlanma müstəvisinin Yerin zərər vəziyyətləri ilə bir-birindən fərqlənir. Orbitlərin növlərinə görə, ən çox istifadə olunan geostasionar və polyar növlü olurlar. Geostasionar orbitlərin əsas üstünlüyü alınan informasiyanın zaman görə, yüksək ayırdetmə və sabit görüş bucağına malik olmasıdır. Bu orbitdə uçan peyk Yerdən o qədər hündürdə yerləşir ki, o yüksək fəza ayırdetməsinə və keyfiyyətlili müəahidələr eyni zamanda zaman təvər bilmir. Həmin orbitdə 5-6 peyk uçduqda Yerin ekvator oblastına müəahid olduğca faydalı olmaqla Yerini qütblərini görmürlər. Adətən geostasionar orbitdə meteoroloji və rabitə peykləri uçurlar. Aerokosmik üsullar (Məsafədəndə zondlama) üçün nəzərdə tutulan peyklərin kəstəriyyəti hazırda qütb orbitləri üzər uçurlar. Bu o deməkdir ki, peyk imal istiqamətində uçanda Yerini o biri tərəfi üzərindən, cənub istiqamətində uçduqda isə o biri tərəfi üzərindən keçir. Bu cür peyk orbitinin bir çoxu Gün görə sinxronlaşdırılır, yəni peyk seçilmiş rəzi üzərindən eyni vaxtda keçir. Bu hallar bir neçə illər aparılan tədqiqat üçün eyni iqlənmə rəitini təmin edir. Orbitin imal do ru gədən hissəsinə qalxan orbit, digər hissəsinə isə düşən orbit deyilir. Polyar orbitlər geostasionar orbitlərin zərər Yeriyə yaxın olur. Polyar orbital da ıyıcılara yerləşdirilən cihazlar məkan görə ayırdetməni daha yaxşı təmin etməklə, aerokosmik üsullar zamanı yüksək keyfiyyətlili nəticələndətməyi imkan verir. Aşağıda adları çəkilən cihazların hamısı qütb orbitində uçan peyklərdə yerləşdirilir:

MSS cihazı (LANDSAT peyki), AVHRR cihazı (NOAA peykləri), SMMR və SSM mikrodalalı radiometrlər, SAR cihazı (ERS-2 peyki), METEOSAT, METEOR.

Beynəlxalq hava limanlarında istifadə olunan Yerini süni meteoroloji peyklərin isə:

PS SAT, SAD S, NTEL SAT-V, SAD S Reception, PC WNSAT. Orbital peyklərdəndə o cümlədən, nisbətən az yüksəklikdə uçan cihazlar (təyyarə, vertalyot və s.) vasitəsilə qeyd alınmış bu dəyişmələrin təbii obyektlərinin fiziki xassələrinin dəyişmə göstəricisi ola bilər.

DƏYƏT

1. « » 1985
2. « » 2005

INFORMATIVENESS OF X-RAY IMAGES OF HUMAN BODY

S. R. M JOV C

University of Montenegro, Faculty of Natural Sciences and

Mathematics, Podgorica, Montenegro

slavom@rc.pmf.ac.me

The Physical theories allow us to make predictions: given a complete description of a physical system, we can predict outcome of some measurements. This problem of predicting the result of measurements is called the forward problem. The inverse problem consists of using the actual result of some measurements to conclude the values of parameters that characterize the system. While forward problem has (in deterministic physics) a unique solution, the inverse problem does not. Because of it, in the inverse problem, one needs to make explicit or implicit any available *a priori* information on the model parameters. One also needs to be careful in the representation of the data uncertainties.

Transmission X-ray radiography, which has been used for over 100 years, is based on the partial absorption of X-rays in material, which depends on thickness (x) and the material-dependent absorption length (μ) through D'Alembert's Law,

$$I(x) = I(0)\exp(-x/\mu) \quad (1)$$

which describes the exponential decrease of beam intensity with thickness [1]. An image in medicine represents the spatial distribution of the patient tissue components within the field of view. Visualization of important details requires separation of the "structures of interest" against the "background" (e.g. in mammography (a special kind of breast radiography), micro-calcifications in the breast glandular tissue) [2]. The quality of the various components of the imaging chain (focal spot, imaging geometry, image receptor, video camera and amplifier, image processing software, image display) has also influence on the image signal, obtained at the viewing station.

Extracting useful information from such image is an inverse problem with a typical property, the so-called ill posedness. The ill-posed problem means that little non-avoidable errors in the measured values can lead to significant changes in the solution [3]. This problem has been understood and methods for overcoming difficulties due to this property have been developed [4]. Computer-supported techniques play an important role in the feature extractions from an image [5, 6].

In this paper, the Wiener filter is applied to images in mammography to get rid off of imperfectness of imaging devices [7, 8]. Matlab software was used for the image processing. Typical results are depicted below.

The blurred, noisy image is depicted in Fig. 1. This is the raw image of the bar-pattern, estimated to be convolved with Gaussian as a model of imperfectness of the image devices (standard deviation 2), and added white noise (zero mean and standard deviation approx. 10% of mean signal). The bar-pattern was used, instead of a real breast, due to better visualization of the results. Namely, restoration process should increase spatial resolution and this case can be seen easily.

Restored images are depicted in Fig2. a), using methodology with scalar estimate of the noise/signal power ratio (NSR). In other words, only the total amounts of power in the noise and

in the image is provided and their frequency dependence is not supplied 1, and b) using methodology 2, with frequency dependant estimate of the noise/power ratio.

It is found that in the both restored images, the spatial resolution is improved, although the best result is depicted in 2b) where a frequency dependant estimate of the noise/signal power ratio is done via respective autocorrelation functions.

“Cleaning” the image from the imperfectness of the imaging system (x-ray mammography unit), should be the main preprocessing task before any further enhancement and processing. Carefully estimate of the quality of the imaging devices, i.e., knowing the apparatus function, together with estimation the sort and magnitude of noise in the image would improve spatial resolution significantly. Artefacts created by Wiener filter, as a most objective, would be negligible.

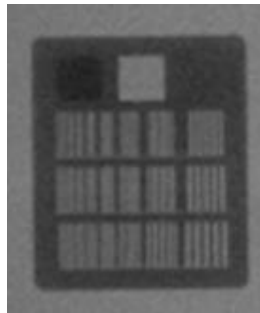
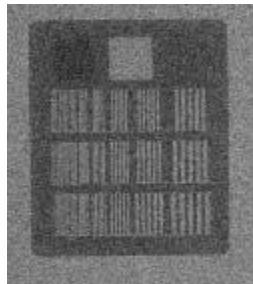
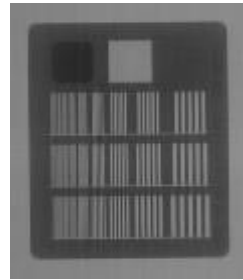


Figure 1. The blurred and noisy image of the bar pattern



a)



b)

Figure 2. The restored images by using methodology 1 a) and methodology 2 b) Further investigation is needed, for the cases where the apparatus function and noise is overestimated or underestimated. That could be closer to the realistic cases.

REFERENCES

1. Ed by Gordon Fraser, “The New Physics for the twenty-first century,” Cambridge University Press 2006.
2. H. Aichinger, J. Dierker, S. J. Barfuß and M. Säbel, Radiation Exposure and Image Quality in X-Ray Diagnostic Radiology, Springer-Verlag Heilderberg 2004.
3. A. N. Tikhonov and A. V. Goncharski , Ill posed Problems, (Moscow, University Press, 1987).
4. M. Bertero and P. Boccacci, Introduction to Inverse Problems in Imaging, IOP Publishing 2008
5. C. Solomon and T. Breckon, Fundamentals of Digital Image Processing, (Wiley-Blackwell 2011), pp.141-165.

6. M. Nixon, A. Aguado, “Feature Extraction & Image Processing”, Elsevier Ltd. 2008.
7. A. M. Gurevich, Fizicheskie osnovi Radiacionogo kontrolya i diagnostiki, (energoatomizdat, Moskva 1989). (in Russian)
8. A. Jannetta, J. C. Jackson, C. J. Kotre, I. P. Birch, K. J. Robson, R. Padgett Phys. Med. Biol. **49**, 21 (2015).

**STATE-OF-THE-ART OF NEUTRON ACTIVATION ANALYSIS AT THE REACTOR
IBR 2 OF JOINT INSTITUTE FOR NUCLEAR RESEARCH IN DUBNA, RUSSIA**

Marina Frontasyeva

*Department of Neutron Activation Analysis and Applied Research, Division of Nuclear Physics,
Frank Laboratory of Neutron Physics, Joint Institute for Nuclear Research,
str. Joliot-Curie, 6, Dubna, 141980, Moscow Region, Russian Federation*

marina@nf.jinr.ru

The history of the development of neutron activation analysis in the Laboratory of Neutron Physics at Joint Institute for Nuclear Research is briefly outlined. Created under initiative of Academician I.M. Frank in the 1960s a small group now turned into a large international team involved in projects in the framework of programs coordinated and supported by IAEA, the European Union, the Russian Fund for Basic Research, as well as grants of Plenipotentiaries of JINR Member States. Modernization of the pneumatic system, recently equipped with three automatic sample changers, and created NAA database to automate the measurement and processing of gamma spectra of induced radionuclides are described. Experience in the life sciences and materials science is summarized. Examples are given of projects related to the monitoring of atmospheric deposition of heavy metals and radionuclides carried out in the framework of the United Nations Program on Long-Range Transboundary Air Pollution in Europe (UNECE ICP Vegetation), a project to assess the state of the environment in Egypt, based on the analysis of soil and the sediment basin of the river Nile, as well as project on monitoring trace elements in aquatic ecosystem in the Western Cape, South Africa («Mussel Watch Program»), etc. In combination with microscopy, the synthesis of nanoparticles of various metals via biotechnology is studied. Our investigations on applying NAA to solve the problem of industrial wastewater treatment were twice awarded Gold Medals by the European Union, in 2013 and 2015. New areas of research – study of natural medicinal plants and search for cosmic dust in natural plantlets (Arctic and Antarctic mosses, Siberian peat bog cores, etc.) - reflect the public and scientific interest in these topics. Future extensions of the department’s research will be connected with the development of radioecological studies using precision gamma-spectrometry and the creation of a low-background laboratory for carrying out measurements of natural and anthropogenic radioactivity.

Keywords: automation of neutron activation analysis, monitoring of atmospheric deposition of heavy metals and radionuclides, monitoring aquatic ecosystem, bionanotechnology, medicinal plants, cosmic dust, microscopy, radioecology.

• •

,

.

50

,

,

,

,

,

.

,

,

,

,

,

,

.

,

• •

-

-

-

.

,

.

,

.

,

,

,

.

.

,

,

.

,

.

50

,

(

,

,

,

.).

,

,

,

,

,

-

,

,

,

,

,

,

.

,

-

.

-

.

,

87

,

**BDU-nun Fizika Problemləri İnstitutunun yaradılmasının 10 illiyin həsr olunmuş
Beynəlxalq konfrans**

70

Cl, S₄, HCO₃, Na, K, Ca, Mg,

(. 1)

1

			Cl	SO ₄	HCO ₃	Na+K	Ca	Mg
-	1/80	1205	87	12	-	93	-	-
-	12		82,6	16,2	0,99	79,4	14,5	6,05
-	7	1245	57,1	1,3	41,6	93,1	3,4	3,5
-	10	2461	92,7	6,0	1,3	86,5	4,7	8,8
	111	1140	85,8	13,1	0,9	88,9	6,0	5,1
	14	1164	54,1	42,4	3,0	62,7	6,7	3,6
	5		60,5	20,2	18,5	91,1	6,4	2,5
-	9	1852	70,6	24,7	4,7	93,0	3,9	3,1
	20	1926	99,5	0,1	0,4	82,4	14,6	3,0
	112	2877	99,7	-	0,3	85,5	12,6	1,9
	113	1594	79,0	18,8	2,2	76,4	18,8	4,8
	116 ³	1853	95,7	2,14	1,76	91,3	8,35	0,35
	115	1615	77,2	18,6	4,20	85,0	8,7	6,3
(.)	15	3350	36,1	38,0	2,6	91,0	6,2	2,6
	1	2497	99,0	0,3	1,0	87,0	10,7	2,7
	45		54,6	7,8	3,7	96,0	2,4	1,9
	54		43,3	1,0	5,7	96,1	0,6	3,0
	9	1067	-	16	80	85	96	29

[1]

6

: 1.

; 2.

; 3.

; 4.

; 5.

; 6.

[2]

**BDU-nun Fizika Problemləri İnstitutunun yaradılmasının 10 illiyin həsr olunmuş
Beynəlxalq konfrans**

(CO₂, HS, CH₄, N₂).
(CO₂, HS, CH₄, N₂, Rn) .

112,20 - , 0,3 (. 5, 7, 9, 10, 12, 14, 3) 106,56 / (.)).

3 :

1. - 10 / ;
2. - 10 35 / ;
3. - 35 / .

/ . 5, 7, 9, 10, 12, 14, 3/65, 113, 55, 14. 10

1/80, 33, 34, 30, 43, 35, 54, 58, 115, 111, 110, 36, 115. 10-35 / .

35 / 112, 115, 20. 6, 116, 10, 7, 111, 43, 34, 1, 2, 4, 10.

[3] .

:

1. (4°);
2. (4 20°).
1. (- 20 37°);
- 2.. (- 37 42°);
3. (- 42°);

1. . . , 1992, .193.

2. . . , .

: 1979, .109-111 . - ;

3. . . , - " " , 1970, .200

4. . . - . , 2007, 145 .

AZƏRBAYCAN QITÇAD YATININ DAYANIQLI

EKOLOGİAF MODEL

T. Həsənov, M. Babayev

Bakı Dövlət Universiteti

tapdiqhasan@mail.ru, m.babayev@mail.ru

Azərbaycan Respublikası müstəqillik əldə etdiyi ilk gündən başlayaraq trafik mühitinin mühafizəsi problemlərin diqqətini artırması və onların həlli istiqamətində məqsədyönlü mərhələli həllə proqramı həyata keçirməyə başlamışdır. İstənilən hazırlanmış ümumi həllə strategiyası qısa zaman müddətində keçmiş təfərrüatın daılması ilə bütün MDB dövlətləri üçün xarakterik olan ekoloji böhranın stabil məhsul imkan verməsinə onun gedişində həyata keçirilən dövlət təminatı və iqtisadiyyata ləğv edici təsirlər faktorunu aradan qaldırmaqdır.

XXI əsrin başlanğıcında bütün inkişaf etmiş dünya dövlətlərində olduğu kimi, təbii resurs potensialı ilə seçilən Azərbaycan Respublikasında da resurs sərfəsinin, həmçinin trafik mühit təsirlərinin minimum göstəriciləri ilə xarakterizə olunan iqtisadiyyatın dayanıqlı ekoloji af modelinin qurulması həyata keçirilməli olan vəzifədir. İlk növbədə qarşıda duran vəzifənin yerini yetirilməsinin zəruri aspektlərinin təhlilini keçməkdən vəvə, tədqiqat olunan məsələnin əsas mahiyyətinin açıqlanması üzərində dayanmaq və onun tarixi xronologiyası haqqında qısa məlumat verilməsi zəruridir. Bu kontekstdə hazırda keçirilən tədqiqatçılar tərəfindən tez-tez təkrarlanan məlum təsis: “XX əsrin böyük itkisi-ekologiya və bəzi təbii resursların öz gələcək varlığını real təhlükə qarşısında qoymasındır” – diqqətə layiqdir. Bütün bəzi təbii resurs üçüncü minilliyin başlanğıcında real təhlükə qarşı mübarizə tədbiri kimi ekoloji cəhətdən dayanıqlı sosial-iqtisadi inkişaf yolunu əsas istiqamət kimi qəbul etməklə zəruriyyəti ilə üzlişmişdir. Nəticələrin aradan qaldırılması ilə yanaşı, artıq daha çox səbəblər üzərində düşünməklə zəruriyyəti meydana gəlmişdir. Təbii iqtisadiyyat deyil, iqtisadiyyat təbii tərkib hissəsidir tendensiyası özünün qabarıqlığı ilə bəzi təbii resurs faktları qəbul etməyi və ona meyilliliyin zəruri vektoru istiqamətində hərəkət etməyi məcbur etmişdir.

Azərbaycan Respublikasında, “Ekoloji Cəhətdən Dayanıqlı Sosial-İqtisadi İnkişaf Dairəsi” Milli Proqramın həyata keçirilməsinə, faktlara istinad edərək 2003-cü ildən başlayaraq məhsul qeyd etməklə olar. Bu Proqramda ekoloji cəhətdən dayanıqlı sosial-iqtisadi inkişafı təmin etməklə məqsədi ilə birinci mərhələdə 2003-2010-cu illəri hədəf edən 7 illik dövr ərzində həyata keçirilməsi planlaşdırılan 93 tədbir daxil edilmişdir ki, bunlar da ümumilikdə 5 əsas sahə: trafik mühitinin mühafizəsi və təbii ehtiyatlardan səmərəli istifadə (34 tədbir), qlobal ekoloji problemlər (14 tədbir), sənaye kompleksi (26 tədbir), kənd təsərrüfatı və turizm (9 tədbir), elm-təhsil – mədəniyyət (10 tədbir) üzrə qruplaşdırılmışdır. Artıq “Ekoloji Cəhətdən Dayanıqlı Sosial-İqtisadi İnkişaf Dairəsi” Milli Proqramda birinci mərhələ üçün nəzərdə tutulmuş tədbirlərin yerini yetirilməsinin hesabata əsasən çatmaq üzərindədir. Ümumilikdə, Respublikada “Azərbaycan Respublikası Regionlarının 2009-2013-cü illərdə Sosial-İqtisadi İnkişaf Dövlət Proqramı”nda həyata keçirilməsi planlaşdırılan tədbirlərin zərər alınmamaqla, təkcə 2 əsas Proqramla (“Azərbaycan Respublikasında Ekoloji Cəhətdən Dayanıqlı Sosial-İqtisadi İnkişaf Dairəsi” Milli Proqram, “Azərbaycan Respublikasında Ekoloji Vəziyyətin Yaxşılaşdırılmasına Dair 2006-2010-cu illər üçün Kompleks Tədbirlər Planı”) 2003-2010-cu illər ərzində dayanıqlı inkişafın əsas inkişaf vektorunu təmin edəcək bazanın yaradılması üçün nəzərdə tutulmuş 158 ekoloji tədbirin başa çatdırılması yekunlaşdırılma mərhələsindədir.

**BDU-nun Fizika Problemləri İnstitutunun yaradılmasının 10 illiyin həsr olunmuş
Beynəlxalq konfransı**

Keçən müddətdə Azərbaycanda Azərbaycan Respublikasının təbii mühitində nəzərdə tutulmuş proqram tədbirlərinin həyata keçirilməsi fonunda bəzi əsas keyfiyyət dəyişikliklərinə nəzər salsaq görürük ki, təbii mühitin saxlanması ilə bağlı istiqamətdə bir sıra həyati məsələlər irəliləyərli artıq hiss olunmaqdadır. Bunu mövcud statistik hesabatlar və müvafiq nazirliklərin məlumatları da sübut edir. Belə ki, 1990-cı illərdə ekoloji baxımdan gərginliyi ilə seçilən 50 ərazilin ümumi sahəsi respublika ərazisinin 25%-ni təşkil edirdisə və bu ərazilərdə ümumi halının 40%-i ya ayırdısa, eyni zamanda 64 heyvan, 37 bitki növü nəslə kəsilməkdə olan kateqoriyaya aid edilirdisə, hazırda ərazinin zərərli bioloji müxtəlifliyinin qorunub mühafizə olunmasına imkan verən xüsusi mühafizə olunan təbii ərazilərinin ümumi sahəsi 2003-cü ildəki 478 min ha-dan 2009-cu ildə 890 min ha çatmış və ya 1,9 dəfə artaraq respublika ərazisinin 10,3%-ni təşkil edir. Bu müddətdə respublika ərazisində Milli Parkların ümumi sayı 8, Dövlət Təbii Qoruqları 11, Dövlət Təbii Yasaqlarının sayı isə 24-çatdırılmışdır. Hazırda təkcə Milli Parkların ümumi sahəsi respublika ərazisinin 3,6 %-ni özündə birləşdirir, hansı ki, 1990-cı illərdə respublika ərazisində Milli Park statusuna malik ərazi yox idi. Qeyd olunmalıdır ki, bu istiqamətdə yeni layihələrin həyata keçirilməsi planlaşdırılır və yaxın 2015-2020-ci illərdə xüsusi mühafizə olunan təbii ərazilərinin ümumi sahəsi respublika ərazisinin 15,0 %-də çoxunu özünə zərərli təbii sahələri daxil edərək birləşdirəcəkdir.

Keyfiyyət dəyişiklikləri adam bənaadünə nəvə nəsillər üçün tələp qoyması ilə seçilən torpaq və su ehtiyatlarının mühafizəsi sahəsində müəhd olunur. Proqramların icrasına bəlanmazdan vəv respublika ərazisinin ümumilikdə 40,0%-i müxtəlif dərəcəli eroziyaya, 1,2 mln ha sahəsi oranla məyus, xəzərsahili əkvatoriyanın 26,6% çirklənmiş, 24 min ha sahə texnogen pozulmuş, 657 min ha sahədə meliorativ tədbirlərin aparılmasına ehtiyac yaranmış, adambaənaadünəkin sahəsi 1970-ci ildəki 0,23 ha-dan 2009-cu ildə 0,15 ha düşmüş, təkcə 2006-2010-cu illərdə 3,0 min ha neft çirklənmiş, lay suları altında qalmış sahələrin landaft-arkitektura planına uyğun rekultivasiyasının başatdırılacağı, 86 km xəzərsahili əkvatoriyanın çirkəbaxınlarının zərərli təsirinə azad edilməsi, həmçinin ərazilərdə nəsəkdə Xəzər dənizinin daxil olan 6,1 min kub metr dən çox mürtəbəli çirkəbaxıntı sularının qarışının alınması, xəzəryanı dövlətli rəiçəsində ilk dəfə olaraq Xəzər dənizinin ekoloji mühitinin mühafizəsi sisteminin yaradılması, Kür çayı zolağı boyunca yerləndə daima standartlara cavab verməyən sülardan istifadə məburiyyətində qalan 224 min nəfər halının Ümumdünya Səhiyyə Təkilatının standartlarına cavab verən içməli su təchizatı və yaxın dövrdə onların sayının 394 min nəfər çatdırılacağı, eyni zamanda mərkəzləndirilmiş su təchizatı bəksinin respublikanın 30 rayonunun 218 kəndə yayılmış məntəqəsinə özündə birləşdirilmiş ekoloji durum sahəsində tarixi nəliyyət kimi qiymətləndirilmişdir.

Dövlətin güclü ekoloji qanunvericilik, proqram və maliyyə dəstəyində bəxmayaraq hazırkı dövrdə qədrəyənli inkişaf sahəsində həyata keçirilən bütünlüklü, 2013-cü ildə ÜDM 85%-də çoxunun, məsul halında isə 70%-ni özündə birləşdirən (Azərbaycanda hazırda sənaye istehsalının 91%, kənd təsərrüfatı istehsalının 99,8%, tikintinin 67%, nəqliyyat xidmətinin 78%-i özəl bölmənin payına düşür) özəl bölmənin texnogen iqtisadiyyatının təsiri altında və onun bazası sahəsində həyata keçirilməsində azad olubilməkdir.

Aparılan təhlillər göstərir ki, Azərbaycanda ÜDM məhsulunu 1000\$ üçün Rusiyaya nisbətən 6,5, Qazaxstana 1,6, Böyük Britaniya 57,2, Fransaya 15,9, Almaniyaya 20,4, Yaponiyaya 12,4, ABŞ 7,4, Kanadaya nisbətən isə 7,0 dəfə çox su götürülür, nəticə etibarilə su mənbələrinə atılan çirkləndirici suyun miqdarı da qanunauyğun olaraq artır və respublika bərpə olunan su ehtiyatının 35%-də çoxunun istehsalat məburiyyəti ilə üzlişir.

traf mühit zərər vuran nəticələrin aradan qaldırılması ilə yanaşı, artıq daha çox səbəblər üzərində düşünməklə yeni ekoinkişaf piramida modelinin qurulması zəruriyyəti yaranmışdır. Bu

**BDU-nun Fizika Problemləri İnstitutunun yaradılmasının 10 illiyin həsr olunmuş
Beynəlxalq konfrans**

tipli ekoinki af piramidası üçün Respublika Prezidentinin bilavasitə rəhbərliyi ilə baza imkanları: fəal dövlət dəstəyi, dövlət maliyyə yardımı, hüquqi tənzimləməni təmin edən ekoloji qanunvericilik aktları və traf mühitə zərər vuran çox sirlilik nəticələrindən aradan qaldırılması ilə əlaqədar son illərdə həyata keçirilən işlər; -artıq formalaşdırılmışdır. Azərbaycan Respublikası Prezidentinin bilavasitə rəhbərliyi ilə həyata keçirilən işlər həlalişəlamalıma lverisiz traf mühitə təsirinin aradan qaldırılmasına və ekoinki afın yeni modelinin qurulmasının böyük zaman perspektivini hesablanmış fəaliyyət kimi qiymətləndirilməlidir. Bu fəaliyyət isə traf mühitin mühafizəsi sahəsində bütün səyləri birləşdirərək tətbiq etməklə yanaşı, ekoinki afın zərərli tədvinə do anhləddici inki af yolu oldu unu birdə fəlik bə lica fəaliyyət məqsədi kimi qəbul etməyi tələb edir.

D B Y Y A T

1. Quliyev T. Təbii tədvin istifadəsinin və traf mühitin mühafizəsinin iqtisadiyyatı. Bakı, "Elm", 2008, 450 səhifə.
2. Sadıqov A., Xəlilov . Ekologiya və traf mühitin mühafizəsi. Bakı, 2009
3. Azərbaycanın statistik göstəriciləri. Bakı. DSK. 2009-2013.
4. Həsənov T.G. İqtisadi cərafi rayonlaşdırma. Bakı: "Bakı Universiteti" nəşriyyatı, 2012, 245 s

AZƏRBAYCANIN ALTERNATİV ENERJİ POTENSİYALINDAN

STƏFADİMKANLARININ QIYMƏTLƏNDİRİLMƏSİ

A.M. Məhərrəmov, R. . fəaqətov

amilmaharramov@gmail.com, rustemshafagatov@gmail.com

Açar sözlər: *alternativ enerji, energetika, bərpəolunan enerji*

Dinamik inkişafda olan dünya birliyi ölkələrinin qarşısında duran mühim məsələlərdən biri kimi halinin vəsənayenin artan enerji təminatının ödənilməsi üçün Azərbaycan Respublikasının cərafi mövqeyi, təbii rəitinin xüsusiyyətləri və mövcud sosial-iqtisadi resursları ölkəmizin alternativ və bərpəolunan enerji mənbələrinin mənimləsinə geniş rəit yaradır. Mümkün potensial imkanların düzgün qiymətləndirilməsi və onlardan səmərəli istifadə yollarının axtarılıb tapılması və bu zaman çoxvariantlı həllərdən optimalının seçilməsi, habelə real həyatda maksimal effektivlik təbii davamlı inkişafın vacib şəhisi olan bu sfera üzər uzunmüddətli nəticələr əldə etməyi imkan verə bilər. Xüsusilə, müxtəlif alternativ enerji mənbələrinin hibrid halında birgə istifadəsi imkanlarının araşdırılması bölgələrdə mürəkkəb ləçatanlı olan rəzilərin davamlı olaraq enerji ilə təmin edilməsi üçün mühim həmiyyət kəsb edir [3, s. 18]. Digər tərəfdən adətən avtonom rejimdə çalışan bə l quruların müxtəlif iqlim rəitini uyğunlaşdırılması texniki baxımdan kə sintisiz enerji əldə edilməsi deməkdir. Bundan əlavə, optimal birgə istismarı təsaslandırılmış olan alternativ enerji mənbələri üzər ixtisaslaşdırılmış enerji parklarının yaradılması ölkə üzər ümumi enerji istehsalında bərpəolunan enerji resurslarından əldə edilmiş enerji miqdarını kəmiyyət artırmaqla yanaşı alternativ enerji mənbələrində alınan enerji üzər qiymətlərin dəyərinin enməsinə səbə olə bilər. Bu isə alternativ enerjinin sənaye formasında istehsalına böyük zərər yaradır və potensial investorların bu sahəyə cəlb edilməsi üçün iqtisadi mühitin formalaşdırılması mexanizminin tərkib hissəsi kimi çıxış edə bilər. Ölkəmizdə alternativ və bərpəolunan enerji mənbələri üzər quruluş

Avadanlıqların idxalının gömrük rüsumundan azad edilməsi olması da yaxın beş illikdə sahibkarlıq fəaliyyəti subyektlərinin kapital yatırımlarının artırılmasının proqnozlaşdırılmasına imkan verir. Bütün bunlar dövlətin bu sferaya olan diqqətinin göstəricisidir və bu cür stimullaşdırıcı tədbirlərin davam etdirilməsi zaman baxımından çox həqiqətdir. Lakin, vahid enerji paylaşımı və satışı sisteminin malik olan ölkəmizdə alternativ enerji istehsalı hələ də çox aşağı səviyyədedir və ümumi bəlkə ötürülməklə alternativ enerji istehsalına sahibkarlar həvəssiz yanaşır, kənd hallarda biznes məhsulu olaraq avtonom sistemlər üstünlük verirlər. Buna görə də bərpə olunan enerji resurslarının mənimləməsi vacib dövlət siyasəti kimi qarşıya qoyulmuşdur. Azərbaycan hökumətinin bu sahədə investisiya mühitinin yaxşılaşdırılması üçün islahatları davam etdirərək dövlətin psixoloji faktorları da nəzərə alınmaqla alternativ enerji vasitələrinin vətəndaşların arasında texnologiyaların insanların gündəlik həyatına daxil olub adını alması üçün aparılmaqda olan dövlət siyasətini təkmilləşdirərək qarşıda duran nəzərdə tutulmuş vəzifələrdən biri olaraq ortaya çıxır. Bu sahədə imkanlar və resurslar boldur, texnoloji yeniliklərin təbiiyi üçün innovativ sahələr genişdir və görüləli olan işlər çox, keçilməli olan yol böyükdür. Mövcud alternativ və bərpə olunan enerji resurslarının düzgün qiymətləndirilməsi bu işdə uurlu bələdiyyə ola bilər.

Külək enerjisi digər alternativ enerji mənbələri olan günəş, hidroenergetika, geotermal və biokütlə enerjisindən özünün mayadığı yərin, ekoloji təmizliyin və tükənməzliyin görünən sərfəlidir. Hesablamalar göstərir ki, Azərbaycan Respublikası özünün coğrafi vəziyyətinə, təbii resurslarının və iqtisadi infrastrukturuna görə 800 MVt-a yaxın illik külək enerji ehtiyatına malikdir. Bu ehtiyatı dəqiqliklə hesablamalara görə 2,4 milyard kVt/saat elektrik enerjisi deməkdir. Bu iş, öz növbəsində, ildə 1 milyon tona yaxın qazın yanacaqna, nə qədər isə ildə küllü miqdarda tullantıların, o cümlədən azonda qalıcı olan karbon dioksidin atmosferə atılmasının qarşısının alınması deməkdir [1, s. 4]. Xəzrin Azərbaycan sektorunun sahilyanı bölgələrinin külək potensialını bura əlavə etsək külək enerjisinin ölkəmizə nə qədər böyük fayda verəcəyini təsvir etmək çətin deyil.

Azərbaycanın təbii iqlim rəiti günəş enerjisindən istifadə etməklə elektrik və istilik enerjisinin istehsalını artırmağa geniş imkanlar açır. Belə ki, günəşli saatların miqdarı illərin AB-də və Orta Asiya ölkələrində 2500-3000 saat, Rusiyada 500-2000 saat, Azərbaycanda isə 2400—3200 saatdır. Bir illərin 1m² yer sahəsində günəş enerjisinin miqdarı AB-də 1500-2000 kVts, Rusiyada 800-1600 kVts, Fransada 1200-1400 kVts, Çində 1800-2000 kVts və Azərbaycanda 1500-2000 kVts təşkil edir [1, s. 4]. Sənayenin mövcud quruluşu da bu sahədə çox əlverişli mövqedə yerləşdirilmişdir. Belə ki, günəş batareyaları üçün foto-elementlər istehsal edən Sumqayıt Texnologiyalar Parkı coğrafi mövqeyinə görə Qaradağ, İltis, Xızı kimi böyük günəş enerjisi potensialına malik rəzilərə yaxın yerləşmişdir. Paytaxt Bakını enerji ilə təmin edən yüksək gərginlikli səs magistrallı elektrik xətləri də bu rəziyə yaxındır və qoşulma üçün bütün imkanlar vardır.

Azərbaycan Respublikasının rəzisi termal sularla zəngindir. Bunlar Böyük və Kiçik Qafqaz dağları, Abşeron yarımadası, Talışdağ yamac zonası, Kür çökəkliyi və Xəzriyanı-Quba rəzisi kimi geniş sahələri əhatə edir [1, s. 6]. Göstərilən rəzilərdə olan termal suları istifadəyə cəlb etməklə məhdud və digər sahələrdə istilik enerjisinin olan ehtiyacın bir hissəsini ödəmək mümkündür. Hazırda Gəncənin imal qərbində həyata keçirilən eksperimental layihənin tərkib hissəsi olaraq xüsusi qurular vasitəsilə termal mənbədən alınan enerjinin potensialının artırılması imkanları sınaqdan keçirilir. Aşağıdakı cədvəldə Azərbaycan Respublikası üzrə termal suların proqnozlaşdırılan ehtiyatları verilməmişdir.

**BDU-nun Fizika Problemləri İnstitutunun yaradılmasının 10 illiyin həsr olunmuş
Beynəlxalq konfrans**

Hidrogeoloji bölgələr	Suyun Hərərəti (⁰ C)	Proqnozlaşdırılan ehtiyatlar m ³ /sutka
Böyük Qafqazın dağ-yamac zonaları	<u>35,50</u>	2000
Qusar dağətəyi ovalıqları	<u>30-67</u> <u>39-97</u>	21654
Abşeron yarımadası	<u>20-90</u>	20000
Kiçik Qafqazın dağ-yamac zonaları (mineral bulaqlar)	<u>30-74</u>	4171
Naxçıvan MR	<u>40-53</u>	3000
Talış dağ-yamac zonası	<u>31-43</u>	14405
Lənkəran ovalığı	<u>44-64</u> <u>42-50</u>	7908
Kür çökəkliyi	<u>22-71</u> <u>2695</u>	172466
Respublika üzrə cəmi:		245604

Mənbə: Alternativ enerji mənbələrindən istifadə olunması üzrə milli program, s.12

Azərbaycan Respublikasının ümumi enerji sistemində su elektrik stansiyalarının istehsal gücünün xüsusi çəkisi hazırda təxminən 18 faiz təşkil edir. Ölkədə indiyədək istifadə edilmiş hidroenergetika ehtiyatlarının mənbəsinə görə üçün geniş imkanlar vardır. Bu istiqamətdə aparılmış tədqiqatların nəticəsində Azərbaycan Respublikasındakı çayların tam hidroenerji potensialının 40 mlrd. kVt.s, texniki cəhətdən ləvəli potensialın isə 16 mlrd. kVt.s olduğu müəyyən edilmişdir ki, bunun da 5 mlrd kVt.s kiçik su elektrik stansiyalarının payına düşür. Su elektrik stansiyalarının tikintisi -sel sularının tənzimlənməsi, ekoloji cəhətdən təmiz elektrik enerjisi istehsalı və yeni suvarma sistemlərinin yaradılması kimi dövlət həyata keçirilən əsas işlərin həllində mühüm rol oynayır. Ölkədə həmçinin vahid enerji sisteminin elektrik xətlərindən və yarımstansiyalarından uzaqda yerləşən obyektlərin, ya aylıq məntəqələrin elektrik enerjisi ilə təchizində mikro SES-lərdən istifadə olunması elektrik enerjisi problemləri ilə yanaşı, digər sosial məsələlərdə həllə imkan yarada bilər.

Ölkəmizdə biokütlə enerjisinin istehsalı da böyük perspektivlər vəd edir. Aparılmış tədqiqatlar göstərir ki, Azərbaycanda iqtisadiyyatın bütün sahələrində istehsal tullantılarının tərkibinin çox hissəsini biokütlə maddələri təşkil edir. Həmin biokütlə maddələrindən elektrik enerjisinin istehsalında istifadə olunan bioqaz, biomayə və bərk biokütlənin alınması mümkündür. Belə ki, Azərbaycan Respublikasında hər il tullantıların zərərli tədarükü poliqonlarına 2,0 milyon tondan çox bərk mətbəx istehsalat tullantıları atılır. 2012-ci ildə istifadəyə verilmiş Bakı bərk mətbəx tullantılarının yandırılması zavodunun illik emal gücü 500 min ton mətbəx tullantısı və 10 min ton tibbi tullantı təşkil edir. Zavod iki xəttləndə elektrik enerjisi istehsal edən turbində ibarətdir. Tullantıların yandırılması prosesi nəticəsində alternativ enerji kimi istifadə edilən elektrik enerjisinin miqdarı ildə 235,5 milyon kilovatt/saatdır. Zavodun fəaliyyəti nəticəsində illik 60 milyon kub metrədən artıq təbii qaz həcmində enerji qənaət edilir.

İstənilən elektrik enerjisi 100 min evin enerji ilə təminatına imkan yaradır. Ləhəttə ki, mətbəx tullantılarının bu cür emalının bütün ölkədə razılaşdırılması, xüsusilə, Gəncə, Sumqayıt və Mingəçevir kimi həyətində təbii elektrik və istilik istehsalı üçün deyil, həm də ekoloji təmizliyin təmin edilməsi üçün də böyük faydalar verə bilər.

D B Y Y A T

1. Azərbaycan Respublikasında alternativ və bərpa olunan enerji mənbələrində istifadə olunması üzrə Dövlət Proqramı
2. Alternativ enerji mənbələrində istifadə olunması üzrə milli proqram
3. AMEA Xəbərləri. Elm və innovasiya jurnalı 2010 N3

**A Z R B A Y C A N D A E K O L O J V Z Y Y T V E K O L O J S Y A S T N
R E A L L A D I R I L M A S I N I N S A S S T Q A M T L R**

Nilufər Muradova

Bakı Dövlət Universiteti, iqtisadiyyat və idarəetmə kafedrası

Hər bir tarixi dövr özünün müəyyən xüsusiyyətləri ilə fərqlənir. Müasir dövrümüzü də elmin, informasiya texnologiyalarının, texnikanın inkişafı baxımından fərqləndirə bilərik. Bir zamanlar elmsahələrinin bir birindən ayrılması müəahidə olunursa da, sənəvvəllərdən artıq elmsahələrinin bir birinə inteqrasiyası prosesi özünü göstərir. Bu prosesin son mərhələsi qloballaşmaya gətirib çıxardır, dolayısıyla qlobal problemlərin birliktəhlə olunmasını zərurətdir.

Qloballaşma zərurətəndən bir çox faktorlar mövcuddur. Bunlara informasiya texnologiyalarının inkişafı, istehsal olunmuş məhsulların realizəetmə üçün bazarların axtarışı, ekoloji problemlərə vəsə aiddir.

Son illərdə qlobal ekoloji böhranın bilavasitə insanlara təsir etməyə başlaması ilə əlaqədar olaraq təbii iqtisadiyyatının dərk olunması, təbii insan fəaliyyətinin və ya əyinin qarılıqlı münasibətlərinin dərk olunması, müasir dövrün əvacib problemlərindən biridir. Bəllənən nöqtəsi bir ölkə olmasına baxmayaraq, təfəllək lərdə tez bir zamanda yayılması, bu böhranın bə verməsinə heç bir günahı olmayan insanlara dəzər verməsi, problemin qlobalından, eyni zamanda problemin həllinin dəancaq birgəşylə tapıla bilməyindən xəbərdərdir.

Ümumiyyətlə insanın bütün həyat fəaliyyətinin mənafeyi, istəkləri, xəstəlikləri ilə sıx bəlləndir. Məhz bu səbəbdən, insanın təbii əlaqələrinə sıx nəzarət həyata keçirilməli, onun mənafeyi ugruna təalən edilməsinə icaz verilməlidir. Sadələdiqlərimiz yalnız eko-insan münasibətlərinə dövlətin nəzarətini mümkün ola bilər. Bu münasibətlərdən nəzarətin qoyulması sosial və mədəni vəzifələr hesab olunmalıdır. Hele Engels qeyd edirdi ki, “Təbii üzrindən ki qələblərimizlə çox dəəyünləməliyik. Hər bir qələblə üçün təbii bizdə intiqam alır. Bu qələblərdən hər biri, doğrudur, bizim gözəldiyimiz nəticələr verir. Lakin ikinci və üçüncü növbədə çox zaman birinci nəticələrinin həmiyyətinə puç çıxaran ləpəbəqə gözənləmə nəticələr verir [1, s.339].

Sənəyin inkişafı və texniki tərəqqi insan və təfəllək mühit münasibətlərinə yeni, bəllə demək mümkünsəziyanlı nə gətirib. Atmosferin kütləvi kəldə çirkləndirilməsinin təməllisənəyin inkişafı ilə qoyuldu. Nəticədə atmosfer külləmiqdarda zərərli qazlar, o cümlədən kükürd, karbon, azot 4 oksid və ozon dəıdııcı karbon 2 oksiddən ibarət zərərli birləmələr buraxıldı. Zamanla atmosfer buraxılan zərərli qazlar ekologiyanın pisləməsinə və yer kürəsinin həyatın təhlükə altına gətirib çıxarmasına səbəb oldu. Dünya üzrə hər il sənəyə məssələnəti rəfindən atmosfer təxminən 1 250 milyon ton karbon 2 oksid buraxılır. Karbon 2 oksidin

BDU-nun Fizika Problemləri İnstitutunun yaradılmasının 10 illiyin həsr olunmuş Beynəlxalq konfrans

atmosferdə istilik effektinin yaranmasına və prosesin davamı olaraq yer planetində temperaturun yüksəlməsi baş verir. Temperaturun artması prosesini irimiqyaslı dağınların baş verməsinə baş verir ki, bunun nəticəsində dünya halisində böyük bir hissə ziyan təşkil edir. Alimlərin ilkin hesablamalarına görə, global istiləmə davam edəcəyini təsdiqləyir, yer kürəsinin yarısı su altında qalacaq [2, s.3].

Ekoloji təhlükəyə baş verən bir neçə amillər mövcuddur ki, onlara aşağıdakılardır.

1. Atmosfer istilik effekti yaradan zərərli qazların buraxılması.
2. Traf mühitinin neft və neft məhsulları ilə çirkləndirilməsi.
3. Kimyəvi və radioaktiv tullantıların okeanlara və dənizlərə axdırılması(DAMP NG)
4. Ozon qatının dağılması.
5. Meşələrin sürətli qırılması, səhrala mə problemi, torpaq sürümələrinin artması.
6. Turizmlərinin yığılması [3, s.13].

Yuxarıda sadaladığımız bütün problemləri onu göstərir ki, ekoloji problemlərlə mübarizə vacibdir. Elə bu səbəbdən də, keçən əsrin 70-ci illərindən etibarən bu haqqda yazılmağa və müzakirə edilməyə başlandı. Traf mühitinin problemlərinə həsr olunmuş ilk beynəlxalq konfrans 1972-ci ildə Stokholmda keçirildi.

Ekoloji problemlərin dərinləşməsi, problemin həllinə kəskin ehtiyac yaranması ucbatından, bir müddət sonra BMT-nin Rio-de-Janeyro konfransı keçirildi.

Kopenhagen hərrindən keçirilən son iqlim toplantısında da havaya buraxılan zərərli qazların azaldılması müzakirə edilib. Bu sahədə bəzi sənayesi inkişaf etmiş və atmosfer daha çox zərərli qazlar buraxan ölkələrin daha çox öhdəlik götürmələri müzakirə olunub. Havaya daha çox zərərli qazlar buraxan AB, Çin, Avropa birliyi, Yaponiya 2020-ci il qədər zərərli qazların azaldılması üzrə öhdəlik götürüblər. Çünki AB-də dünya halisinin yalnız 4%-i yığılmasına baxmayaraq, dünya üzrə havaya buraxılan bütün zərərli qazların 25%-i AB-in payına düşür. Eyni misalı Almaniya da aid edə bilər. Almaniya federativ Respublikasının halisi dünya halisinin yalnız 1%-ni təşkil etməsinə baxmayaraq, dünya üzrə havaya buraxılan zərərli qazların 4%-i bu ölkəyə aiddir [4, s.24].

Dünyada görülən bütün tədbirlə yanaşı, Azərbaycan Respublikasında da ekoloji problemlər və onların həllə məsələləri diqqət mərkəzindədir. Bu da təbii bir haldır. Keçən əsrin əvvəlindən başlayaraq, Azərbaycan yarımadasında neft çıxarılması ilə əlaqədar olaraq ekoloji tarazlıq pozulmuş və yüzlərlə hektar torpaq çirklənmiş və mürəkkəb qalmışdır. Ümumiyyətlə, Azərbaycan Respublikası Sovetlər Birliyinin tərkibində ayrılaraq müstəqilliyini bərpa etdikdən sonra beynəlxalq təsərrüfatlaşdırılmasının qırılması ucbatından böyük iqtisadi və siyasi çətinliklərlə rəhbərlik edir. Hər SSRİ-nin tərkibində olan böyük potensialı olan Azərbaycan, müstəqillik bərpa olunduqdan sonrakı 5 il (1991-1996) ərzində ciddi böhran yaşamışdır. 1996-cı ildən etibarən hər il 10 faizlik artım müəhd olunmuşdur. Son 20 ildə istehsal olunmuş 283,6 milyard manatlıq sənaye məhsulunun 61,7%-i mədəniyyət, 29,3%-i emal sənayesi, 7,5%-i elektrik enerjisi, qaz, buxar istehsalı, qalan hissə isə sənaye tullantılarının təmizlənməsi və emalı məqsətlərinin payına düşmüşdür. Respublikanın müxtəlif regionlarında yerləşən bu istehsal sahələrinin hər biri trafik mühitini özünəməxsus tullantılar ataraq ölkənin ekoloji durumunu xeyli pisləşdirir [5, s.3].

Sumqayıtda 1949-cü ildə inşa edilən kimya zavodları, 90-cı illərin əvvəlində qədrli atmosferə 120 min ton zərərli maddə buraxırdı ki, bu da Sumqayıt və trafını razılaşdırmaq üçün mövcud ekoloji durumun pisləşməsinə gətirib çıxartmışdı. Sovet dövründə inşa edilən kimya zavodlarına müəyyən yenidənqurma işləri aparılmasına baxmayaraq, burada hər il atmosferə yəndə 96,5 min ton zərərli qaz buraxılmaqdadır. Atmosfer havasına atılan tullantıların həcmi və xüsusi çəkisi görülməli. Bakı, Sumqayıt, Gəncə və Mingçevir həlləri öndə gedir. Bu

BDU-nun Fizika Problemləri İnstitutunun yaradılmasının 10 illiyin həsr olunmuş Beynəlxalq konfrans

hər ilrin hava hövzəsinə çirkləndirən əsas sənaye müəssisələri, neftayırma, neft-kimya, kimya, energetika, metallurjiya, tikinti materialları sənayesi sahələri və avtomobil nəqliyyatı hesab olunurlar. Belə sənaye sahələri təkcə atmosferi çirkləndirməklə qalmır, həmçinin, bütövlükdə

hər ilrin təraf mühitinin çirkləndirilməsinin bəzi hesab olunurlar. Respublikanın atmosfer havasına atılan tullantıların 79.0% Bakı şəhərinin, 4.7%-i Mingəçevir, 4.6%-i Lənkəranın, 3.5%-i Sumqayıtın, 1.5%-i Gəncənin payına düşür. Bununla bərabər, Azərbaycanın yarımadasında neft çıxarılan rəzil rəft məhsullarının illik çöküb qalması nəticəsində radiasiya fonu da yüksəkdir. Təkcə Azərbaycan yarımadasında 3200 hektardan çox rəzil rəft çirklənmişdir. Bununla bərabər Azərbaycanın təraf rəzil rəft təraf mühitinin məntəqə tullantıları ilə çirklənmiş sinin qarısını almaq üçün və mövcud vəziyyəti yüngülləndirmək üçün Azərbaycan Respublikasının Prezidenti İlham Əliyev 6 avqust 2008-ci ildə "Bakı şəhərində məntəqə tullantıları ilə bəzi idarəetmənin təkmilləşdirilməsi haqqında" Sərəncam imzaladı. Bu sərəncama istinadən "Təmiz həər" Şəhərdə Cəmiyyəti yaradıldı. Balaxanı poliqonunda bəzi məntəqə tullantıları zavodunun inasına bəlləndi və 2012-ci ildə istifadəyə verildi.

Aparılan araşdırmalar onu göstərir ki, təraf mühitin mühafizəsi sahəsində Azərbaycan Respublikası düzgün siyasət yeritməklə MDB ölkələri içərisində seçilir. Ekoloji təhlükəsizliyin təmin edilməsi sahəsində, bir çox islahatlar aparılmış və yüksək nəticələr əldə edilmişdir.

vvəla onu qeyd etməliyik ki, indiki dayanıqlı ekoloji təhlükəsizliyin əldə edilməsi üçün həlmi müstəqiliyin ilk illərində nəzərlənən bəzi layərlərlə görülməyə bəllənmişdir. 2003-cü ildə nəzərlənən bəzi layərlər isə proqramlar qəbul edilmişdir. Bu proqramların sırasına "Ekoloji cəhətdə dayanıqlı sosial-iqtisadi inkişaf dairəsi", "Məhsulün bəzi rəpa edilməsi və bəzi rəpa edilməsinə dair" milli proqramlar, "Azərbaycan yarımadasında təbii dəyişikliklərinin sənərlə istifadəsi və inkişafı" regional proqramları hazırlanmışdır və sabiq prezident Heydər Əliyevin sərəncamı ilə 18 fevral 2003-cü ildə təsdiq edilmişdir. Azərbaycan Respublikasında Ekologiyaya dair Milli proqramda ölkə rəzində ekoloji təhlükəsizliyin təmin edilməsində, təbii ehtiyatların sənərlə istifadəsində, ekoloji tarazlıqın qorunmasının zəruriliyində nəzərlənən və gələcək nəsillər ekoloji təmiz bir ölkənin ötürülməsi problemləri ilə nəzərlənmişdir.

Ümumiyyətlə, respublikamızda ekoloji problemlərin aradan qaldırılması üçün son 10 ildə dövlət siyasəti ciddi tədbirlər həyata keçirilib. Ekologiyaya və Təbii Sərvətlər Nazirliyi tərəfindən ekoloji tarazlıqın bəzi rəpasına və təraf mühitin çirklənmiş sinin qarısının alınmasına dair "Ekoloji cəhətdə davamlı sosial-iqtisadi inkişaf dairəsi" Milli proqram hazırlanmış və icrası həyata keçirilir. Bundan əlavə, dövlət bəzi çıxışı tərəfindən 2010-cu il Azərbaycan Respublikasında "Ekologiyaya ili" elan edilmişdir. Prezident 2010-cu ilin sosial-iqtisadi inkişafının yekunlarına və 2011-ci ildə qarşıda duran vəzifələr həsr olunmuş iclasda demişdir "Mən çox adam ki "Ekologiyaya ili" çərçivəsində həmişə dövlət tərəfindən böyük işlər görüldü, həmişə özəl sektor bu işlərə qoşuldu.⁶(s.241) nə sevindirici hal isə ondan ibarətdir ki, ölkə halisində bu təbii qoşular ekoloji vəziyyətin yaxşılaşdırılmasına öz dəyərlə töhfələrini vermişdir.

Altı milyondan artıq əməkdaş var. Bu proses qarşıdakı illərdə davam etdiriləcəkdir. Ekoloji vəziyyətin yaxşılaşdırılması ölkəmizin uurlu inkişafı üçün, halinin səlamətliyi üçün çox böyük həmişəmiyyət dəyərdir. Prezident onu da əlavə edib ki, ekoloji tədbirlər ancaq əməkdaşlıqla bitməyib. Çaylar tərafında yerləşən kəndlər xüsusi təmizləyici qurular yerləşdirilməsi nəticəsində 300 min Azərbaycan vətəndaşı Dünya Səhiyyə Təşkilatının standartlarına uyğun içməli su ilə təmin edilmişdir.

Məlumdur ki, respublikamız məhdud su ehtiyatlarına malikdir. Konkret olaraq, Cənubi Qafqaz regionu üzrə ümumi su ehtiyatının 62%-i Gürcüstanın, 28%-i Ermənistanın və yalnız 10%-i Azərbaycanın payına düşür. Lakin bununla bəzi, alimlərin apardıqlı hesablamalar göstərir ki, respublikanın potensial su ehtiyatları sənayenin, kənd təsərrüfatının və halinin suya olan

**BDU-nun Fizika Problemləri İnstitutunun yaradılmasının 10 illiyin həsr olunmuş
Beynəlxalq konfrans**

11-13 kub km arasında dənizdir. Hər il respublikamızın su hövzələrində 12 kub km, yeraltı sularından isə 1.2 kub km. su götürülür. Götürülən suyun 60-70%-i kənd təsərrüfatının, 20-25%-i sənayenin, qalan hissəsi isə təsərrüfat və içməli su təminatının ödənilməsinə sərf edilir. Ölkəmizdə su obyektlərinə atılan tullantı suların ümumi həcmi 160-170 mln. kub metr arasında tərtib edilmişdir ki, bu göstəricilər su obyektlərinin ekoloji sağlamlığı haqqında bizi bir az daha dərin fikirləməyə vadar edir.

Azərbaycanın rəzisinin (86,6 min km) 49.3%-i (4.2 mln ha) kənd təsərrüfatı torpaqlarının payına düşür. Sovetlər dövründə adambaşına düşən kənd təsərrüfatına yararlı torpaq sahələrinin həcmi görə (0.7ha) Azərbaycan 15 müttəfiq respublika arasında 14-cü yeri tuturdu. Bu gün erməni işğalında olan Azərbaycanın rəziləri də nəzərə alsaq, vəziyyətin dərd acınacaqlı oldu. Hər birimiz aydın olar. Müasir dövrdə adambaşına düşən təqribən bir hektarlıq (0.92ha) yalnız 0.6 hektarı kənd təsərrüfatı üçün yararlıdır. Ölkəmizdə mövcud olan bütün torpaq resursunun 51.6 faizini otlaqlar, 30.2%-ni kənd təsərrüfatı sahələri tutur. 30.2%-lik torpaqların yalnız 12.8%-i uzun zamandır kənd təsərrüfatı üçün yararlıdır. Suvarılan bəzi bitkilər kənd təsərrüfatı üçün tez-tez suvarılacağına görə torpaqların aşınmasına səbəb olur. Həddindən artıq gübrələmə kənd təsərrüfatında duzun miqdarının artmasına, kimyəvi çirklənməyə səbəb olur. Torpağın kimyəvi çirklənməsi isə yeraltı su ehtiyatları, içməli su ehtiyatlarını, çayları çirkləndirir. Son dövrlər qədr aparılan araşdırmalar göstərir ki, “içməli suyun keyfiyyətinin xeyli aşağı olması arın rayonlarında sağlamlıq üçün xeyli təhlükəlidir”(s.3)

Uzun illər ərzində ölkədə aqar sənaye kompleksinin ekstensiv inkişafı, kənd təsərrüfatının aşınması, ilbəl artırılan dövlət planlarının və öhdəliklərin yerinə yetirilməsi nəmin torpaqların amansız istismarı onlarda eroziya, kimyəvi çirklənmə, kənd təsərrüfatı üçün yararlı torpaqların kənd təsərrüfatı üçün yararlı torpaq dəqredasiyasına (torpağın bioloji və iqtisadi məhsuldarlığının itməsi) səbəb olmuşdur. Ümumiyyətlə Azərbaycanın 1.5 milyon hektar ərazisi torpaq sahəsi var ki onunda 900 min hektarı suvarıla bilər.

Torpaqların yararsız hala gəlməsinə digər bir səbəb isə, sənayenin iki sahəsidir. Bu sənaye sahələrindən biri neft sənayesi, ikinci isə daşma sənayesidir. Faydalı qazıntıların açıq üsulla istismarı traf mühitin bütün elementlərinə təsir edir. Respublika iqtisadiyyatının əsas sənaye sahəsi olan neft hasilatı və neft ayırma zavodlarının ölkə ekologiyasına vurduğu zərər, daşma sənayesi sahələrində ziyan vurur. Sənaye sahələrinin traf mühitə vurduğu ziyan zərərli qazlar, kənd təsərrüfatı fondlarının aşınmasından tutmuş kənd təsərrüfatı məhsullarının istehlakçısı olan insanların sağlamlığına qədər, demək olar ki bütün ekoloji sahələrə özünü biruz verir.

Təbii sərvətlər baxımından dünyanın seçilmiş ölkələrindən olan Azərbaycanın SSRİ dağılıdıqdan sonra istismarına son qoyulmuş və müstəqilliyin ilk illərində ölkənin təbii sərvətləri iqtisadiyyatın qurulmasında əsas rolunu oynamışdır. SSRİ dövründə Azərbaycan iqtisadiyyatının sürətli inkişaf etdirilməsi fonunda ekoloji problemlər ümumiyyətlə diqqətə yetirilməmiş və nəticədə milyon hektarla torpaq sahələri, meşələr, göllər, çaylar yararsız hala düşmüşdür. Təkcə o faktı qeyd etmək kifayətdir ki, Bakı şəhərinin “Qara dəniz” adlanan sənaye sahəsinə təbii hissə tikilən “gül külü” nəzərə alınmamış və bəzi zavodlardan havaya buraxılan bütün zərərli qazlar şəhərin havasını yararsız hala salmışdır. Müstəqillik dövründə etibarlı dövlət ekoloji problemlər xüsusi diqqətə ayırma əhəmiyyəti vardır ki, bunun da nəticəsi çox qısa zamanda hissə olunmuşdur. Havanın, torpağın, su ehtiyatlarının həyata Xəzər dənizinin keçməsi nəzərə alınmışdır. Bununla yanaşı dövlətin ekoloji strategiyası iqtisadiyyatın inkişafı ilə bərabər aparılır ki, bu da Azərbaycan dövlətinin uğurlu siyasətinin nəticəsidir.

D B İYAT

1. Engels F. "Təbii dialektika" B. "Azərbaycan" 1966, 339s
2. Babayev.A. "Azərbaycan torpaqlarının ekoloji problemləri." "Ekoloji kənd təsərrüfatı"
Gənclər. 2011. s(3)
3. Ekoloji problemlər və milli sənədiyə dəyərlərin aradan qaldırılması. "Zaman" qəzeti. 11
mart 2014
4. Climate change 2014 Synthesis report summary for Policymakers. (s.24) www.ipcc.ch
5. bədov.K. "Ekoloji problemlər uurla həyata keçirilir" Respublika qəzeti. 8mart.2012
6. Prezident İlham Əliyevin sədrliyi ilə Nazirlər Kabinetinin 2010-cu ilin sosial-iqtisadi
inkişafının yekunlarına və 2011-ci ildə qarşıda duran vəzifələr haqqında sərəhşər olunmuş iclası
keçirilmişdir. s.241 www.preslib.az
7. Azərbaycan torpaqlarının ekoloji problemləri. "Ekoloji kənd təsərrüfatı" jurnalı. S.3. 07
sentyabr 2011

• •

, « »

haji_@mail.ru

,

,

.

-

.

,

-

,

.

.

,

.

,

,

,

,

)

,

,

,

.

?

,

.

,

-

.

,

.

« »

(nanocology).

**DYNAMICS OF BALANCED COMPARATORS BASED ON
SMALL JOSEPHSON JUNCTIONS WITH COULOMB BLOCKADE**

I.N. Askerzade^{a,b}, R.T. Tagiyeva Askerbeyli^c

*^aComp. Eng. Dep. and Center of Excellence of Superconductivity Research,
Ankara University, Turkey*

^bInstitute of Physics Azerbaijan NAS 33, H.Cavid 33, Baku, AZ1143, Azerbaijan

^cKarabuk University, Karabuk, Turkey

Due to development of fabrication of submicron size Josephson junctions last years his properties attract attention of researchers. Interests to such circuits with small Josephson junctions related with manifestations of quantum effects in this systems. As shown in [1-3], in small Josephson junctions arises Coulomb blockade of Cooper pairs, which leads Bloch oscillations of voltage in junctions. Dynamics of tunneling Cooper pairs in small size Josephson junctions was investigated in [4]. Properties of single junction interferometer with small Josephson junctions was analyzed in study [5].

It is well know that small Josephson junctions characterized by the ratio $| \eta | = \frac{E_J}{E_C}$, where

$E_J = \frac{\hbar I_c}{2e}$ Josephson energy, I_c critical current, $E_C = \frac{(2e)^2}{2C}$ Coulomb energy, C capacity of junction [1-3]. The case of $| \eta | \gg 1$ correspond to the classical Josephson effect and in this case can be neglected by the effects of correlation in Cooper pair tunneling. In opposite case due to

small capacity, Coulomb energy $E_c = \frac{(2e)^2}{2C}$ becomes considerable, which leads to Coulomb blockade under tunneling of Cooper pair [1-3]. It means that $\beta \ll 1$ and the equation for evolution of quasi-charge q ($-e < q < e$) in lower band approximation (i. e. in absence of Zener tunneling to high bands) can be written as [1-3]

$$\frac{dq}{dt} = I(t) - \frac{dE_0(q)/dq}{R}, \quad (1)$$

where $E_0(q)$ is the dispersion relation for lower band, R normal resistance of junction.

Such approach is equivalent to nonlinear alternating differential Bloch capacity $C_B(q)$, which determined by the expression

$$C_B(q) = \left(\frac{d^2 E_0(q)}{dq^2} \right)^{-1}. \quad (2)$$

Recently in paper [6] it was shown, that the equation for dynamic of quasicharge q in small junctions should include inductive term related with Bloch inductance. Inclusion of Bloch inductance causes changing of dynamics of quasi-charge along lower band and this mathematically is equivalent to introducing term related with second derivative of quasi-charge q .

Dynamical properties of balanced comparators on small Josephson junctions firstly was investigated in [7]. However in calculation [7] of transient characteristic of balanced comparator based on small Josephson junction was used Equation (1) neglecting effects of Bloch inductance. Influence of the Bloch inductance on the time resolution of balanced comparator based on small Josephson junctions was not considered yet. In this study we develop linear theory for the estimation time resolution of balanced comparator based on small Josephson junctions taking into account Bloch inductance.

For the analysis of the dynamics of balanced comparator based on small Josephson junctions taking into account Bloch inductance we will use system of differential equations

$$L_B(q_1) \frac{d^2 q_1}{dt^2} + R \frac{dq_1}{dt} + V(q_1) = V_e, \quad (3)$$

$$L_B(q_2) \frac{d^2 q_2}{dt^2} + R \frac{dq_2}{dt} + V(q_2) = V_e + V_s, \quad (4)$$

where V_e voltage in comparator circuit related with strob-pulse, V_s signal voltage. It is useful to note, that Eqs. (3), (4) without first terms, i. e. neglecting Bloch inductance was used in calculation [7] of transient characteristic of balanced comparator. Periodical function $V(q)$ in Eqs. (3), (4), replace term $\sin w$ in Eqs. of usual Josephson effect [8]. Expression of $V(q)$ presented below ($-e < q < e$) and was used in [1-3]

$$V(q) = \frac{e}{C} \frac{\frac{q}{e} - \left(\frac{q}{e}\right)^3}{\sqrt{\left(\left(\frac{q}{e}\right)^2 - 1\right)^2 + \frac{1}{4}}} \quad (5)$$

Bloch inductance $L_B(q)$ in Eqs. (3) and (4) is positive periodic function of quasi-charge q . General expression for $L_B(q)$ presented in [6]. In our calculations we will use asymptotical expressions for Bloch inductance $L_B(q)$.

As for any comparator, the value of the time resolution can be determined using the transient response $H(\tau)$ [7], which represents the output signal of the comparator V_{out} when the signal in the form of a small current step $V_s = V(\tau)$ is applied to the input of the comparator. In this case, the time resolution is usually defined as the step response time $H(\tau)$ from the level of 0.10 to 0.90 of its maximum value, where τ denotes the delay time (lead time) of the strobe pulse relative to the step.

The dynamic behavior of balanced comparator is determined by two control variables V_e and V_s . For small quasicharge increment $\Delta q = q_1 - q_2$ in respect to pulse V_s we have the following system of Eqs.

$$L_B(q_+) \frac{d^2 \Delta q}{dt^2} + R \frac{d \Delta q}{dt} + \frac{dV}{dq}(q_+) \Delta q = V_s, \quad (6)$$

$$L_B(q_1) \frac{d^2 q_1}{dt^2} + R \frac{dq_1}{dt} + V(q_1) = V_e, \quad (7)$$

where $q_+ = (q_1 + q_2)/2$. Asymptotic solution of (7), under linear growing external voltage $V_e = \tau t$ has the following form

$$V = \frac{q}{C} = \begin{cases} \tau t, & \text{at } t \ll 1/\tau \\ \left[-\frac{1}{2}(\tau t - 1) + \left(\frac{1}{4}(\tau t - 1)^2 - \frac{1}{27} \right)^{1/2} \right]^{1/3} + \\ \left[-\frac{1}{2}(\tau t - 1) - \left(\frac{1}{4}(\tau t - 1)^2 - \frac{1}{27} \right)^{1/2} \right]^{1/3}, & \text{at } 1/\tau < t < t_0, \\ \frac{6 |l_B e|}{(t_D - t)^2}, & \text{at } t_0 < t < t_D \end{cases} \quad (8)$$

where $t_0 = \frac{1}{\tau} + \frac{2}{3^{3/2} \tau}$, $l_B = \frac{2f L_B I_C}{\Phi_0}$, Φ_0 is magnetic flux quantum. In Equation (8) near $q \approx e$ Bloch inductance $L_B(q)$ can be approximated by expression [6]

$$L_B(q) \approx \frac{\Phi_0}{2fI_c} \left(1 + \frac{1}{\sqrt{2|q|}}\right) \quad (9)$$

Transient characteristic $H(\dagger)$ of balanced comparator on small Josephson junctions taking into account Bloch inductance L_B presented in Fig. 2. In calculations we use asymptotical solution for the dynamics of quasicharge Eq. (8). In contrast to results obtained in [7], transient characteristic $H(\dagger)$ of balanced comparator on small Josephson junctions $H(\dagger)$ has an oscillating character in the case of $\beta < 0$. This behavior is associated with a complete set of reactive elements in the equivalent circuit of the Josephson tunnel junction. Using calculated transient characteristic $H(\dagger)$ and above presented definition of time-resolution, for $u\dagger$ we found

$$u\dagger \approx 1.15 \left(1 + \frac{1}{\sqrt{2|q|}}\right) \frac{\Phi_0}{2fI_c R} \quad (11)$$

For typical values of resistance $R = 5.2 \text{ k}\Omega$ and critical currents $I_c = 0.1 \text{ nA}$ of small Josephson junctions, at which arises Coulomb blockade, time resolution can be estimated at the level 0.12ps. In calculations parameter $|q| = \frac{E_J}{E_C}$ considered to be equal 0.333. As followed from expression (11), time resolution $u\dagger$ becomes worse with increasing of parameter $|q|$. Physically it related with growing of delay time of tunneling of Cooper pair in small Josephson junctions from one electrode to another one.

Thus, in this paper, the time resolution of Josephson balanced comparators with a Coulomb blockade was investigated. Bloch oscillations in small Josephson junctions taken into account inclusion corresponding inductance in equivalent scheme. It was shown that the time resolution becomes worse with reduction size of Josephson junction. Estimation show that it is possible to reach a time resolution at the level of tenths of picoseconds.

REFERENCES

1. Likharev K.K., Zorin A.B., *Journal of Low Temperature Physics*. 1985. V.59. P.347-382.
2. Averin D.V., Zorin A.B., Likharev K.K., *JETP*. 1985. V.88, P.692-704.
3. L.S.Kuzmin, D.B.Haviland, *Physical Review Letters*.1991. V. 67. P.2890-2893.
4. Askerzade, I.N., *Technical Physics*. 2003. V. 48. P. 1496-1498.
5. Askerzade, I.N., *Technical Physics*. 2010. V. 55. P. 896-899.
6. Zorin A.B., *Physical Review Letters*. 2006. V. 96, P.167001.
7. Askerzade, I.N., R.Samet, *Technical Physics Letters*. 2008. V. 34, P. 737-739.
8. Likharev, K.K., *Introduction into dynamics of Josephson's junctions*, M: Nauka, 1985.

C

. . . , . . . , . . .

mmm@bsu.az

[1,2].

$$U = \frac{U_0}{\cos^2(z/a)}, \quad (1)$$

U_0 -

a -

$$v_{n,k_x,k_y} = \frac{\hbar^2 k_{\perp}^2}{2m} + v_n, \quad (2)$$

$$k_{\perp}^2 = k_x^2 + k_y^2, \quad m -$$

v_n

[3]:

$$v_n = v_0 \left(1 + 2n + \sqrt{1 + \frac{U_0}{v_0}} \right)^2, \quad (3)$$

$$v_0 = \hbar^2 f^2 / 8ma^2 -$$

$$n = 0 \quad U_0 = 0, \quad n = 0, 1, 2, \dots -$$

[4]:

$$\dagger = e^2 n_{el} \left\langle \frac{\dagger}{m} \right\rangle, \quad (4)$$

e -

n_{el} -

$$n_{el} = \frac{m}{f a \hbar^2} \sum_n \int_{v_n}^{\infty} \Theta(v - v_n) (v - v_n) \left(-\frac{\partial f_0}{\partial v} \right) dv, \quad (5)$$

\dagger -

$\langle \dots \rangle$

$$\langle \dots \rangle = \frac{m}{f a n_{el} \hbar^2} \sum_n \int_{v_n}^{\infty} \Theta(v - v_n) (v - v_n) (\dots) \left(-\frac{\partial f_0}{\partial v} \right) dv. \quad (6)$$

(5) (6)

[5]:

$$g(v) = \frac{m}{f \hbar^2 a} \sum_n \Theta(v - v_n). \quad (7)$$

$$\Theta(v - v_n) =$$

$$\frac{\dagger}{\dagger_0} = (1 + \bar{n})(\tilde{v}_F^* - U_0^*) - \frac{4}{3} v_0^* \left(\bar{n}^3 + 3\bar{n}^2 + 2\bar{n} + \frac{3}{2} \right) - \sqrt{v_0^*(v_0^* + U_0^*)} (\bar{n}^2 + \bar{n} + 2), \quad (8)$$

$$\dagger_0 = e^2 \dagger_0 n_0 / m, \quad n_0 = m k_0 T / f a \hbar^2, \quad v^* = v / k_0 T, \quad v_n^* = v_n / k_0 T, \quad \tilde{v}_F^* = \tilde{v}_F / k_0 T, \quad \tilde{v}_F - [5]:$$

$$\tilde{v}_F = \frac{n_{y\bar{z}} f \hbar^2 a}{m(\bar{n} + 1)} + U_0 + 2\sqrt{v_0^2 + v_0 U_0} (\bar{n} + 1) + \frac{4v_0 \left(\bar{n}^3 + 3\bar{n}^2 + 2\bar{n} + \frac{3}{2} \right)}{3(\bar{n} + 1)}, \quad (9)$$

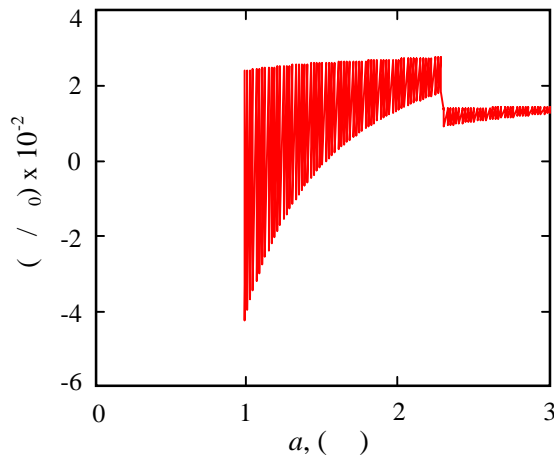
$$\bar{n} = n = \sqrt{2m\tilde{v}_F a / f \hbar} - 0.5 - \sqrt{1 + U_0 / v_0} / 2,$$

$$\tilde{v}_F = v_n. \quad (8)$$

(1).

$m = 0,067 m_0,$

$$v_0 = 60 \text{ meV}, \quad a = 10 \text{ nm}, \quad n_{el} = 10^{25} \text{ m}^{-3}.$$



1.

E F-2013-9(15)-46/04/1

1. Meyerovich A.E., Ponomarev I.V. Quantum size effect in conductivity of multilayer metal films. // Physical Review. B 67. 165411. 2003.
2. Palasantzas G., Zhao Y.P., Wang G.C., Lu T.M., Barnas J. and De Hosson J. Th. M. Electrical conductivity and thin film growth dynamics. // Phys. Rev. B64, 2001. 079903.
3. // .170. 2010. c.1297-1324.
4. Askerov B.M., Electron transport phenomena in semiconductors. World Scientific, Singapore. 1994, p.389.
5. Figarova S.R., Hasiyeva G.N., Figarov V.R. Thermodynamic properties of electron gas in complex-shaped quantum well. // Physica E 69. 2015. pp. 24–26.

**K ÖLÇÜLÜ ELEKTRON SİSTEMİNİN TERMOELEKTRİK
HƏR KƏT QÜVVƏSİNİN GÜCLÜ ELEKTRİK SAHİSİNİN TƏSİR**

. . Babayev, X.B. Sultanova

AMEA-nın H.M.Abdullayev adına Fizika İnstitutu

mirbabababayev@yahoo.com , xatire280@gmail.com

Güclü elektrik sahəsinə ikiölçülü elektron sisteminin (2ES) termoelektrik hər kət qüvvəsi tədqiq edilmişdir. Göstərilmişdir ki, termoehtəq-nin elektron hissəsinin qiyməti elektrik sahəsinə xeyli artır, fonon hissəsi isə elektrik sahəsinə nisbətən az deyil. Nəticədə elektron temperaturunu birbaşa ölçən 2ES termocütünün ölçmə intervalını genişləndirməyə imkan verir. Elektrik sahəsinin intensivliyinin müxtəlif qiymətlərdə termoehtəq-nin qəfəsinə temperaturundan asılılıq qrafikləri qurulmuşdur.

Güclü elektrik sahəsinə elektronların qızması termoelektrik və termomagnit effektlərin qiymətlərini, eləcə də bu effektlərin elektronların konsentrasiyasından, qəfəsin temperaturundan və s. asılılıqlarını xeyli dəyişdirir. Bu, bir tərəfdən əlaqəli sistemlərdə termoelektrik və termomagnit effektlərin qiymətini elektrik sahəsi vasitəsilə idarə etməyə, digər tərəfdən isə bu sistemləri xarakterizə edən kəmiyyətləri ölçən cihazların yaradılmasına imkan verir.

Termoelektrik hərəkət qüvvəsinin elektron temperaturundan asılılığından istifadə edilərək, aşağı temperaturlarda elektron temperaturunu birbaşa ölçən 2ES termocütü yaradılmışdır [1]. Termoelektrik iki hissədən -elektron və fonon hissədən ibarət olur [2]. Bu cihazın işi termoelektrik-nin elektron hissəsinin elektron temperaturundan asılılığına əsaslanır və cihaz qəfəs temperaturunun 2K- qədər qiymətlərində yaxın ticarət verir. Daha yuxarı temperaturlarda termoelektrik-nin fonon hissəsi həlmiyyətli rol oynadı üçün, müəlliflər hesab edirlər ki, elektron temperaturunun təyini bu cihazdan istifadə edilənin düzgünlüyü təbii doğurur. [1] işində ticarət analizində qızdırıcı elektronların termoelektrik hərəkət qüvvəsinin elektron hissəsinin fenomenoloji düsturundan istifadə edilməsi, fonon hissənin elektrik sahəsində asılı olub-olmaması məsələsi araşdırılmışdır.

Biz burada 2ES sistemlərində yaranan termoelektrik-yüksək güclü elektrik sahəsinin təsirini öyrənmək üçün Bolsmanın kinetik tənlik metodundan istifadə etməklə termoelektrik-nin həlmiyyət elektron, həlmiyyət fonon hissəsinə hesablanmışdır. Elektrik sahəsinin intensivliyi və temperatur qradienti elektron qazıtəbəqəsi üzrə götürülür. 2ES-də təbəqə boyunca kvantlanma bəzəyərək üçün bu təbəqə üzrə elektrik cərəyanını hesablayanda Bolsmanın kinetik tənlik metodu yaxınlaşdırılır [2]. Elektronların akustik fononların deformasiya və pizeoelektrik potensialından, aqar ionlardan istifadə mexanizmləri, eləcə də spici potensialların ekranlanması nəzərlənilmişdir.

Məhdudlayıcı potensial olaraq parabolik potensial götürülmüşdür:

$$v = \left(\frac{1}{2} + N \right) \hbar \tilde{S}_0 + \frac{\hbar^2 k^2}{2m} \quad (1)$$

Burada m - keçirici elektronların effektiv kütləsi, \tilde{S}_0 - parabolik potensialın parametri, N - ossilyasiya kvant dördü, $\vec{k}(k_y, k_z)$ - elektronların dalğa vektorudur.

Elektronların spici kvazielastikliyini ödəyir və öz aralarında toqqumalarının tezliyi onların fononlardan spici tezliyindən böyükdür, paylanma funksiyasının izotrop hissəsi, qəfəs T temperaturundan fərqli T_e temperaturu ilə xarakterizə olunan Fermi –Dirak paylanması kimi göstərilə bilər. Elektronların effektiv temperaturu T_e balans tənzimində (stasionar halda elektron sisteminin elektrik sahəsində aldığı enerjinin bu sistemin fononlar sisteminə verdiyi enerji bərabərliyində) tapılır [3]

Biz fononların elektrik sahəsində qızdırıcı hala baxırıq, onda uzundalılı fononların $N(\vec{q}, \vec{r})$ paylanma funksiyasının izotrop hissəsi T temperaturlu Bolsman paylanması ilə ifadə edilir, anizotrop hissəsi fononlar üçün kinetik tənlikdə tapılır. Elektron qazıtəbəqəsi boyunca

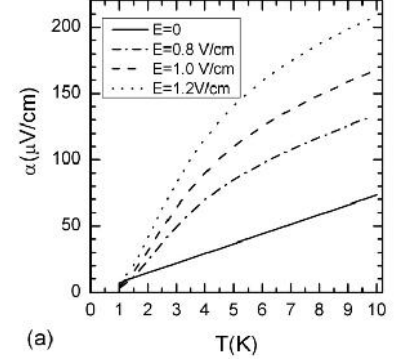
$$\nabla_y T \text{ temperatur qradienti yaradılanda məlumdən termoelektrik üçün alırıq [2]} \quad r = \frac{s_{yy}(T_e)}{t_{yy}(T_e)} \quad (2)$$

$s_{yy}(T_e)$ məsələn (v deməli r) iki hissədən -elektron və fonon hissədən ibarətdir: $s_{yy}(T_e) = s_{yy}^e(T_e) + s_{yy}^{ph}(T_e)$. Qızdırıcı elektrik sahəsinin intensivliyi kvantlanmanın olmadığı zəoxu istiqamətində yaradılmışdır. Güclü cərəyanı elektron qazı üçün termoelektrik-nin elektron hissəsi aşağıdakı kəldür:

$$r_e = -\frac{k_0 f^2}{e} \frac{1}{3 y_0} \left[1 - \frac{y_0}{\epsilon(y_0)} \frac{\partial \epsilon(y_0)}{\partial y_0} \right] \frac{T_e}{T} \frac{\partial T_e}{\partial T} \quad (3)$$

Burada $y_0 = \hbar^2 k_F^2 / 2mk_0 T$ -elektronların gətirilmiş kimyvi potensialı, k_F elektronların Fermi səviyyəsinin uyunda olduğu, $\epsilon(y_0)$ is elektronların s pilm tezliyidir.

Termoelektrik-nin fonon hissəsinin hesablamaları göstərir ki, güclü cırla mı elektron sistemində elektronların qızması termoelektrik-nin fonon hissəsinə dəyişdirir. Bu hissə üçün alınan ifadənin müəyyənlikliyini, elektrik sahəsindən asılı olmadığını [4] i indiki ntic il üst-üstü düyünü n z r alaraq onun ifadəsini burada vermirik. Termoelektrik-nin elektron hissəsi, (3) ifadəsindən görüldüyü kimi, elektronların qızmasına çox həssasdır. Termoelektrik üçün d di hesablamalar elektronların sıxlığı $n = 1.78 \times 10^{15} m^{-2}$, məhdudlayıcı potensialın parametri $\Phi_0 = 7 \times 10^{13} san^{-1}$ olan ikiölçülü $GaAs / Al_x Ga_{1-x} As$ kvant çuxurunda aparılmışdır. kild elektrik sahəsi intensivliyinin sabit qiymətində ($E = 0.8; 1; 1.2 V/m$) v elektrik sahəsinin olmadığı halda termoelektrik-nin elektron hissəsinin q f s temperaturundan asılılıq qrafikləri verilmişdir.



kild n görüldüyü kimi, elektrik sahəsi olmayan halda termoelektrik-nin elektron hissəsi q f s temperaturu ilə düz mütənasıbdır. Elektrik sahəsində elektronların qızması ntic sında termoelektrik-nin elektron hissəsi sahə olmayan halla müqayisədə xeyli artır, $2K < T < 10K$ temperatur intervalında bu artım 2-4 intervalındadır.

Burada alınmış ntic l r [1] i indit svir olunan, elektron temperaturunu birbaşa ölçən 2ES termocütünün ölçmə intervalını genişləndirməyə imkan verir. Termoelektrik-nin fonon hissəsi elektrik sahəsindən asılı olmadığından elektrik sahəsində termoelektrik-nin dəyişməsi yalnız elektron hissənin dəyişməsinə ntic sında bəvərir: $\Delta r(T_e) = r(T_e) - r(0) = r_e(T_e) - r_e(0)$. Ona görə də müvafiq dəyişiklik etməklə (hər bir temperatura uyğun fonon hissəni çıxmaqla) həmin termocüt daha yuxarı temperaturlarda da elektron temperaturunu ölçməklə üçün tətbiq oluna bilər.

D B Y Y A T

1. W.E. Chickering, J.P. Eisenstein, J.L. Reno. Phys.Rev.Letters, 103, 046807 (2009).
2. M. A. , , , (1985), 318 .
3. , , (1970), 338 .
4. F.M. Hashimzade, M.M. Babayev, B.H. Mehdiyev, Kh.A. Hasanov. J. of Physics: Conference Series, 245, 012015 (2010).

SPEKTRİN Q DİAPAZONUNDA $AgGa_{0.6}In_{0.4}Se_2$ QARIQI

BƏRİLİM DƏNDUMUN NƏSBƏT RƏKBƏNİN TEZLİK

ÇEVİRLİMİN NƏFFƏKTİVLİYİNİN TƏSİR

R.C. Qasimova, G. Şərifova¹, N.V. Kərimova², L.S. Hacıyeva

Bakı Dövlət Universiteti, ¹Fizika Problemləri İnstitutu, ²Azərbaycan Tibb Universiteti

safarovagulnara@rambler.ru

Əldə mövcud təcrübələrə əsasən $AgGa_{0.6}In_{0.4}Se_2$ növlü qarışıq kristallarda məsələn müxtəlif parametrlərin çevirilmə effektivliyinin təsirinin tədqiqinin nəticələri göstərilmişdir. Tərkibindəki indiumun miqdarı ilə fərqlənən üç növ $AgGa_xIn_{1-x}Se_2$ kristalları üçün bucaq dispersiya məsəlləri hesablanmışdır.

Bir sıra üstünlüklərin görüldüyü tədqiqat obyektini kimi qarışıq kristal növündən $AgGa_{0.6}In_{0.4}Se_2$ seçilmişdir. [1]-də aparılmış tədqiqatlar göstərməmişdir ki, indiumun tərkibini (x) seçməklə yaxın və orta infraqırmızı diapazonda ikinci harmonikanın generasiyası zamanı 90° -li qeyri-kritik faza sinxronizmi rətinə həyata keçirmək olar. Bu zaman CO_2 lazer üalanmasının $\lambda = 9,64 \text{ mkm}$ dalğa uzunluğunda x parametrlərinin qiyməti 0,6-yə bərabərdir. Məlumdur ki, $AgGa_{0.6}In_{0.4}Se_2$ kristalı üçün qeyri-xətti kvadratik həssaslığın ölçülməsi qiyməti $d_{36} = 41 \text{ pm/V}$ bərabərdir. Spekrin Q diapazonunda təbii qəbul üçün CO_2 lazerləri aparıcı rol oynayır, onlar spektrin bu oblastında güclü optik koherent üalanma mənbəyidir.

Seçilmiş növ kristalın qeyri-xətti optik xassələrini tədqiq etmək üçün, həyata keçirilən dalğanın həyata keçirildiyən dalğa uzunluğuna nisbətən zərər almağa imkan verən sabit intensivlik yaxınlaşmasından [2] istifadə etmək məqsədundur. Bu yaxınlaşma verilmiş qarışıq növ kristallarda [4] CO_2 lazerin üalanmasının tezliyinin ikiqat artması prosesinin faza effektlərinin təsirinin zərərli keçirilməsinə imkan verdi [3].

Bu idə mövcud eksperiment əsasında $AgGa_{0.6}In_{0.4}Se_2$ kristalında x parametrlərinin çevirilmə effektivliyinin təsirinin tədqiqat nəticələri göstərilmişdir. İstifadə olunan analitik üsul həm çevirici kristalın, həm də üalanma mənbəyinin optimal parametrlərini konkret təcrübədə qeyri-kritik faza sinxronizmi rətləri üçün optimal parametrləri hesablamağa imkan verir. Belə ki, məsələn verilmiş itkilərdə kristalın uzunluğu və doldurma dalğasının intensivliyi, bu çevirilmənin gözlənilən effektivliyini qiymətləndirməyə imkan verir.

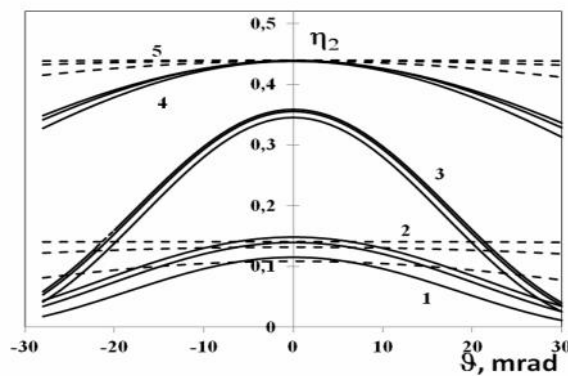
Birinci növ $oo \rightarrow e$ skalyar sinxronizm əsasında mənfəətli $AgGa_{0.6}In_{0.4}Se_2$ kristalında S tezliyində CO_2 lazer üalanmasının tezliyinin ikiqat artması prosesini (2S tezliyində) təhlil edilmişdir.

Doldurma dalğasının üç uzunluğunda: 9.64 mkm, 9.55 mkm və 9.31 mkm CO_2 lazer üalanmasının ikinci harmonikasının generasiyası halında mənfəətli qarışıq $AgGa_{0.6}In_{0.4}Se_2$ kristalında sinxronizmin bucaq enini təyin edilmişdir. Sinxronizm istiqamətində nəzərdə tutulmuş bucağın Δ_n hesablanması [5, 6]-a uyğun olaraq kristalda indiumun miqdarını kəsmədirən üç qiymət üçün (0; 0.3; 0.4) aparılmışdır. Bu zaman [5-6]-da verilmiş Selmeyyer məsəllərindən istifadə olunur [7, 8].

Q diapazonunda $AgGa_{0.6}In_{0.4}Se_2$ kristalında CO_2 lazer üalanmasının tezlik çevirilməsinin effektivliyinin artırılması yollarını tədqiq etmək üçün sabit intensivlik yaxınlaşmasında alınmış çevirilmə effektivliyi üçün analitik ifadəni əldə hesablayaq. Bu zaman məsələn parametrlərini verilmiş kristal üçün mövcud təcrübələrin rətinə uyğun seçilir [7-9].

Məlumdur ki, $\text{AgGa}_{0.6}\text{In}_{0.4}\text{Se}_2$ qarışıq strukturlarında kristalın xassələri indium təsiridir [1]. Kəld indiumun kristalda ümumi lif konsentrasiyası halında tezlik çevrilməsi prosesinin sabit intensivlik yaxınlığında təhlilinin nəticələri göstərilmişdir. CO_2 lazerinin doldurma dalmasının uzunluqlarının üç variantının zərfin keçirilmişdir: 9.31 mkm, 9.55 mkm və 9.64 mkm. Üçüncü qrupun 1 və 4 qrupu $\text{AgGa}_{0.7}\text{In}_{0.3}\text{Se}_2$ kristalının ($x=0.7$) uzun olaraq 1.05 sm və 0.65 sm- bərabər olan uzunluqlarında doldurma dalmasının üalanmasının üç dalğa uzunluğu halında çevrilmə effektivliyinin $\eta_2(\theta)$ asılılığını aydınlaşdırır. Üçüncü qrupun 2 və 5 qrupu isə $\text{AgGa}_{0.6}\text{In}_{0.4}\text{Se}_2$ kristalının ($x=0.6$) uzun olaraq 1.05 sm və 0.65 sm- bərabər olan uzunluqlarında doldurma dalmasının üalanmasının üç dalğa uzunluğu halında $\eta_2(\theta)$ asılılıqlarına uyundurlar. Üçüncü qrupun 3 qrupu isə AgGaSe_2 kristalının ($x=1$) 0.8 sm bərabər uzunluqda doldurma dalmasının üalanmasının üç dalğa uzunluğunda $\eta_2(\theta)$ asılılıqlarına uyundurlar. Hər bir qrupda yuxarıdakı yeri 9.64 mkm üalanma dalğası uzunluğuna, ortadakı 9.55 mkm, aşağıdakı isə 9.31 mkm üalanma dalğası uzunluğuna uyundur.

3, 4 və 5 qrupu yarıllarının müqayisəsindən görünür ki, qarışıq kristalın tərkibində indiumun konsentrasiyası 1-dən 0.6-ya qədər artdıqda $\eta_2(\theta)$ asılılığı horizontal formaya yaxınlaşır. Bu o deməkdir ki, kristalın faza sinxronizminin ödənilməsi üçün qarışıq qeyri-kritik rejimin keçilir. Belə ki, məsələn, AgGaSe_2 kristalında çevrilmə effektivliyinin 0.036% dəyişməsi -0.6 mrad $+0.6$ mrad qiymətli bucaq intervalında baş verir. Kristalda Ga-un bir hissəsinin indiumla $x=0.7$ -yə qədər və zədələnmiş ($\text{AgGa}_{0.7}\text{In}_{0.3}\text{Se}_2$) effektivliyin analoji dəyişməsinə gətirib çıxarır, lakin 1.67 dəfə böyük bucaq intervalında (-1 mrad-dan $+1$ mrad-ədək). Kristala sonradan $x=0.6$ -yə qədər indium əlavə olunması ($\text{AgGa}_{0.6}\text{In}_{0.4}\text{Se}_2$) AgGaSe_2 kristalı ilə müqayisədə bucaq intervalını 33 dəfə artırır (-20 mrad $+20$ mrad). Buradan $\text{AgGa}_{0.6}\text{In}_{0.4}\text{Se}_2$ kristallarında faza sinxronizminin ödənilməsinin qeyri-kritikliyi, $\text{AgGa}_{0.7}\text{In}_{0.3}\text{Se}_2$ və eləcə də AgGaSe_2 kristallarına nisbətən daha böyük bucaq diapazonunda ödənilir. Bu məsəl [1]-də təcrübə tədqiqatı olunmuşdur, lakin təcrübə $\text{AgGa}_x\text{In}_{1-x}\text{Se}_2$ kristalının 1.05 sm uzunluğunda bizim halda 1 ($x=0.7$) və 2 ($x=0.6$) yarıllar qrupuna uyundur. 1 və 4; 2 və 5 qrup yarıllarının müqayisəsi göstərir ki, çevirici –kristalın optimal uzunluğunun istifadəsi çevrilmə effektivliyini üç dəfə, $\eta_2(\theta) = 0.15$ -dən 0.45-dək artırmağa imkan verə bilər.



- k. $\text{AgGa}_x\text{In}_{1-x}\text{Se}_2$ kristalında ikinci harmonikaya η_2 çevrilmə effektivliyinin doldurma dalğasının $I_{10} = 0.6$ MW/cm^2 intensivliyində $x=0.7$ - $\text{AgGa}_{0.7}\text{In}_{0.3}\text{Se}_2$ (1 və 4 yarılları), $x=0.6$ - $\text{AgGa}_{0.6}\text{In}_{0.4}\text{Se}_2$ (2 və 5 qırıq-qırıq yarılları), $x=1$ - AgGaSe_2 (3 yarılları) üçün sabit intensivlik yaxınlığında hesablanmış fazalar fərqlərindən asılılığı. Yuxarı yarılları 9.64 mkm, orta - 9.55 mkm, aşağıdakı isə - 9.31 mkm dalğa uzunluğuna uyundur. Kristalın uzunluğu $l = 1.05$ sm [4], (1 və 2 yarılları), 0.8 sm [1] (3 yarılları) 0.65 sm (4 və 5 yarılları). AgGaSe_2 kristalı üçün itkilər $\delta_1 = 0.09$ $^{-1}$, $\delta_2 = 0.15$ $^{-1}$ [1] və $\text{AgGa}_x\text{In}_{1-x}\text{Se}_2$ kristalında $\delta_1 = 0.06$ $^{-1}$, $\delta_2 = 0.08$ $^{-1}$ [1].

Beləlikl, faza effektlərini nəzərə almaqla qarışıq kristallarda tezlik çevrilməsinin nəzəri tədqiqatı çevrilmə effektivliyini artırmaq yollarını axtarmaq mümkün görünür. Yeni çevirici kristalda uzunluqun verilmiş qiymətləndirilməsinə əsaslanan intensivliyinin optimal qiymətini, eləcə də üalanan lazerin seçilmiş doldurma dalmasının intensivliyində çevirici-kristalın koherent uzunluğunu hesablamaq olur. Analitik üsul həmişə lazer üalanasının müxtəlif dalğa uzunluqlarında gözlənilən çevrilmə effektivliyini qiymətləndirmək mümkün görünür. Qarışıq tip kristallar üçün indiumun müxtəlif konsentrasiyalarında sinxronizmin bucaq eni ölçülmüdür. Faza sinxronizmi rətinin ödənməsindən qeyri-kritik rejimin rəit yaradan rətlər meydana çıxarılmıdır.

**Bu i qism n Azərbaycan Respublikasının Prezidenti yanında Elmin inkişafı
Fondunun maliyyə yardımı ilə yerinə yetirilmişdir- Qrant № F-2013-9(15)-46/04/1**

D B İYAT

1. Yu. M. Andreev, I. S. Baturin, P. P. Geiko, and A. I. Gusamov, Frequency doubling of CO₂-laser radiation in new nonlinear crystal AgGa_xIn_{1-x}Se₂, *Quantum Electronics* **29** (1999) 66-70.
2. Z. H. Tagiev, and A. S. Chirkin, Fixed intensity approximation in the theory of nonlinear waves, *Zh. Eksp. Teor. Fiz.* **73** (1977) 1271-1282; Z. H. Tagiev, R. J. Kasumova, R. A. Salmanova, and N. V. Kerimova, Constant-intensity approximation in a nonlinear wave theory, *J. Opt. B: Quantum Semiclas. Opt.* **3** (2001) 84-87.
3. R. J. Kasumova, Conversion efficiency in AgGa(Se_{1-x}S_x)₂ crystals, *International J. Of Science and Research*, **3** (2014) 410-413.
4. R. J. Kasumova, Second harmonic of laser radiation for IR-range in mixed AgGa_{0.6}In_{0.4}Se₂ crystals, *An Indian J: Material Science*, **10** (2014) 306-311.
5. V. G. Dmitriev, and L. V. Tarasov, *Prikladnaya Nelineynaya Optika [Applied Nonlinear Optics]* (Radio i Svyaz, Moscow, 1982).
6. R. J. Kasumova, G.A. Safarova, N.V. Kerimova, Ternary wide-bandgap chalcogenides LiGaS₂ and BaGaS₇ for the mid-IR, *International J. of Engineering and Computer Science*, **3** (2014) 7823-7828.
7. Yu. M. Andreev, I. S. Baturin, P. P. Geiko, and A. I. Gusamov, Frequency doubling of CO₂-laser radiation in new nonlinear crystal AgGa_xIn_{1-x}Se₂, *Quantum Electronics* **29** (1999) 66-70.
8. G. C. Bhar, S. Das, U. Chatterjee, and K. L. Vodopyanov, Temperature-tunable second-harmonic generation in zinc germanium diphosphide, *Appl. Phys. Lett.* **54** (1989) 313-314.
9. P. P. Geiko, A. I. Gusamov, and Yu. M. Andreev, Optical properties and phase-matched conditions in nonlinear AgGa_xIn_{1-x}Se₂ crystals, *Atmospheric and Oceanic Optics* **2** (1999) 606-610.

irada.gadirova@mail.ru

[1]:

$$V(z) = \begin{cases} V_0 th^2(rz) & |z| \leq \frac{a}{2} \\ V_0 & |z| \geq \frac{a}{2} \end{cases}, \quad (1)$$

$$V_0 = \frac{\hbar^2 r^2}{2m} (\nu + 1), \quad \nu > 0, \quad a > 0$$

$$\mathbb{E}_{nk_{\perp}}^i(\vec{r}) = S^{-1/2} u_i(\vec{r}) \exp(i\vec{k}_{\perp} \vec{r}_{\perp}) \{n_i(z)\} \quad (2)$$

$i = c, \quad \vec{r}_{\perp} = (x, y), \quad z = r \cos \theta$

$(i = \nu), \quad n_i = 0, 1, 2, \dots$

$S, u_i(\vec{r})$

$k_{\perp}^2 = k_x^2 + k_y^2$

$\{n_i(z)\}$

(1)

$$\{n_i(z)\} = \left(\frac{\Gamma(\nu - n) \Gamma(2\nu - n + 1)}{\Gamma(n + 1)} \right)^{\frac{1}{2}} P_{\nu}^{n_i}(th(rz)), \quad (3)$$

$P_{\nu}^{n_i}(th(rz))$

$n = 0, 1, 2, 3, \dots$

}

(1)

$$V_n = \frac{\hbar^2 r^2}{2m} (\nu + 1) - (\nu - n)^2 \quad (4)$$

$$E_n(k_{\perp}) = V_n + \frac{\hbar^2 k_{\perp}^2}{2m_c} = \frac{\hbar^2 r^2}{2m_c} (\nu + 1) - (\nu - n)^2 + \frac{\hbar^2 k_{\perp}^2}{2m_c} \quad (5)$$

$$E_l = -E_g - V_l - \frac{\hbar^2 k_{\perp}^2}{2m_v} = -E_g - \frac{\hbar^2 r^2}{2m_v} [\{l\} + 1 - \{l\}^2] - \frac{\hbar^2 k_{\perp}^2}{2m_v} \quad (6)$$

E_g -

[2]:

$$W = \frac{2f}{\hbar} \sum_{cv} |H_{cv}(\vec{k})|^2 u(E_c - E_v - \hbar\tilde{S}), \quad (7)$$

$H_{cv}(\vec{k})$ -

$$\hat{H} = \frac{e}{mc} \vec{A} \hat{p}$$

(2)

\vec{A} -

$$|A| = \frac{\sqrt{2fN\hbar\tilde{S}}}{\tilde{S}/v}, \quad v -$$

$v = \frac{c}{n}$, $\hat{p} = -i\hbar\nabla$, N -

$H_{cv}(\vec{k})$:

$$H_{cv}(\vec{k}) = \frac{eA_0}{mc} (\vec{e} \cdot \vec{P}_{cv}) u_{k_{\perp}k_{\perp}^1} I_{nl}, \quad (8)$$

\vec{e} -

\vec{p}_{cv} -

$u_{k_{\perp}k_{\perp}^1}$

$$I_{nl} = \int \{n\}^*(z) \hat{p}_z \{l\}(z) dz \quad (9)$$

$$(9) \quad (8) \quad , \quad I_{nl} = -u_{nl},$$

:

$$W = \frac{2e^2 A_0^2}{\hbar^3 (a+b)m^2 c^2} (\vec{e} \cdot \vec{P}_{cv})^2 \sum_n \Theta(\hbar\tilde{S} - E_g - \frac{\hbar^2 r^2}{2m} [\{l\} + 1 - \{l\}^2 - \{n\}^2]) \quad (10)$$

$\frac{1}{m} = \frac{1}{m_c} + \frac{1}{m_v}$, b -

$\Theta(x)$ -

$$r = \frac{W\sqrt{V}}{Nc}, \quad (11)$$

v -

$$(10) \quad (11),$$

:

**BDU-nun Fizika Problemleri İnstitutunun yaradılmasının 10 illiyin həsr olunmuş
Beynəlxalq konfrans**

$$S = \frac{4f \sim e^2 (\vec{P}_{cv})^2}{\hbar(a+b)m^2 c \sqrt{V} \hbar \tilde{S}} \sum_n \Theta(\hbar \tilde{S} - E_g - \frac{\hbar^2 r^2}{2m}) [(\dots) + 1 - (\dots - n)^2] \quad (12)$$

(7), (8) (9) ,

$n = l$.

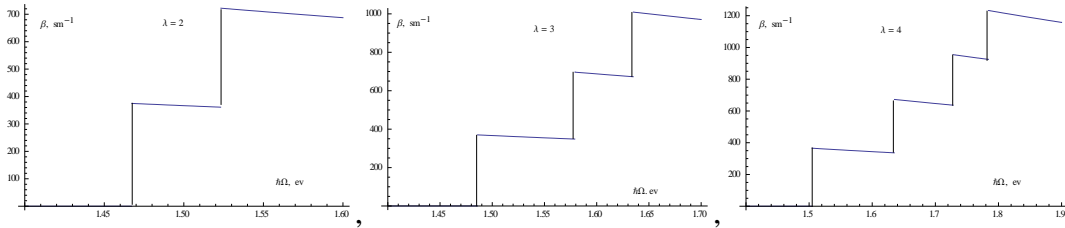
1. 2
 $GaAs / Al_x Ga_{1-x} As$

} r .

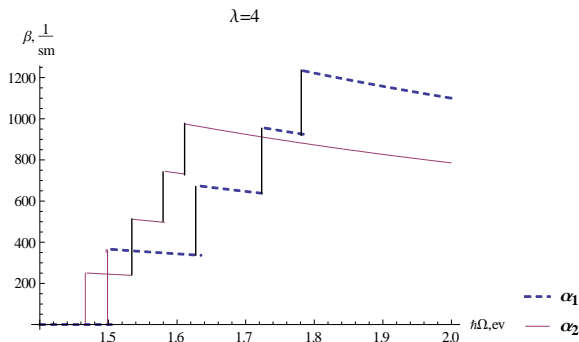
: $E_g = 1.43 \text{ eV}$, $a = 500 \text{ \AA}$,

$m_c = 0.06m_0$, $m_v = 0.4m_0$, $v = 8.2$, $\vec{P}_{cv} = 1.2 \cdot 10^{-38}$, $b = 5a$.

$S(\tilde{S})$,



1



2

1. 1 1974 343 .

2. : « » , 1982, 392 .

mhsh28@mail.ru

(Hot Electron Bolometer –mixers), *(transition edge sensors, TES –)*, SIS (Superconducting Nanowire Single-Photon Detector SNSPD)

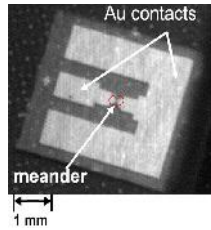
dR/dT ,

τ_{ph-sub} , τ_{e-ph} , τ_{e-e}

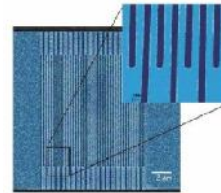
$10^{-12}c$, τ_{e-ph} : Nb $\sim 10^{-9}c$, NbN $\sim 10^{-11}c$, YBaCuO \sim

Bi₂Sr₂CaCu₂O (~90) – MgO (.1) (NbN, N

1



1.



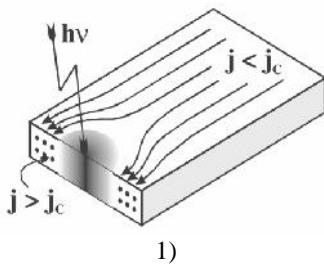
SNSPD

[1].

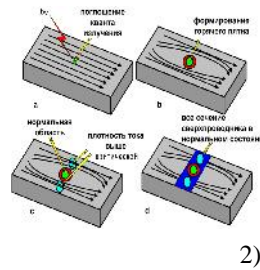
SNSPD

$\tau_{e-ph} (\sim 10^{-12} - 10^{-11} \text{ s})$ — NbN).

τ_{ph-sub} .



2.



(1)

(2 -)

[2].

(2), (2, 2)).

(2).

SNSPD

$10^9 \div 10^{10}$

0,85 ÷ 1,5

QE = 30 %

(QE)

(QE)

Hamamatsu,
0,1%

200

$\lambda = 1,3$
 $9 \cdot 10^6$

(~150)
SPD

BDU-nun Fizika Problemleri İnstitutunun yaradılmasının 10 illiyin həsr olunmuş Beynəlxalq konfrans

(t),

(), NbTiN

=1550

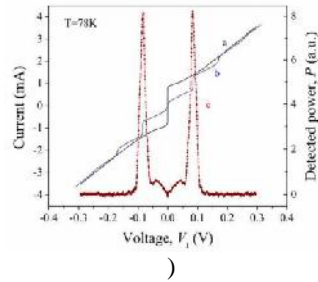
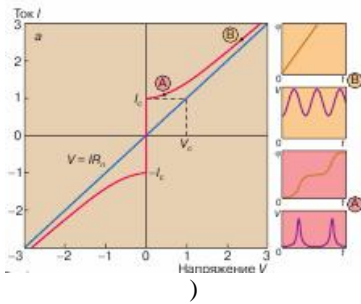
$t \approx 60$

SIS.

φ

$$j = j_{co} \sin \varphi \left(\frac{U}{2eU} \right) \quad (1)$$

ϵ_0 :
 $\hbar \epsilon_0 = 2eU$ $\omega = 4\pi e / \hbar$ $V_c = V_c / 0 = 2 (0) / e$ $0, 0 -$
 $1 / 0 = 4,836 \times 10^{14} /$



3.

(
 $U > V_c$, (
 c
 78,28 (.

$\hbar \epsilon = 77,08$ (b);
 78,28 (.

$$U = n \frac{\hbar \epsilon_0}{2e} \epsilon$$

$$\epsilon = \epsilon_0 / n, \quad n = \dots \quad (3)$$

$$U = n (h/2e) \epsilon$$

1.

(2012).

, Phys. Rev. B, 85, 024509

2.

2 2012.

. 2 3

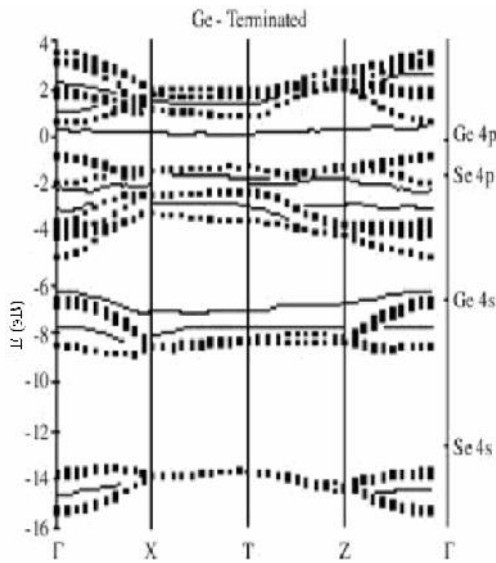
Ge Se,
-14.5 eV -7.5 eV.

Ge, Se

E_V - 13 eV,

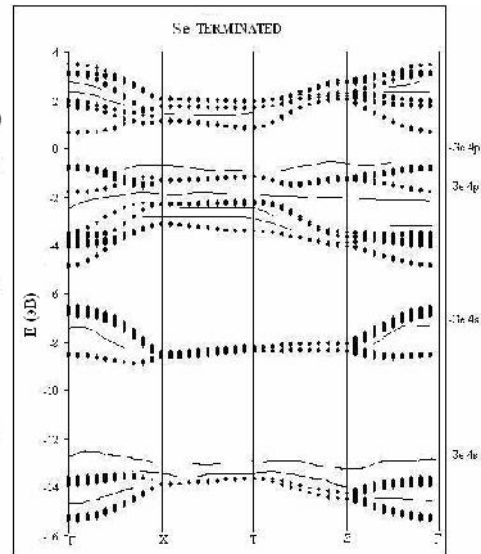
s- Ge. Se,

E_V- 7 eV,



. 1.

(010)



Ge Se.

E_V -13 eV

(. 2, 3)

E_V -7 eV

s-

Se,

Ge,

s- p_x-

E_V - 14 eV

E_V - 7 eV

. 1,

Ge,

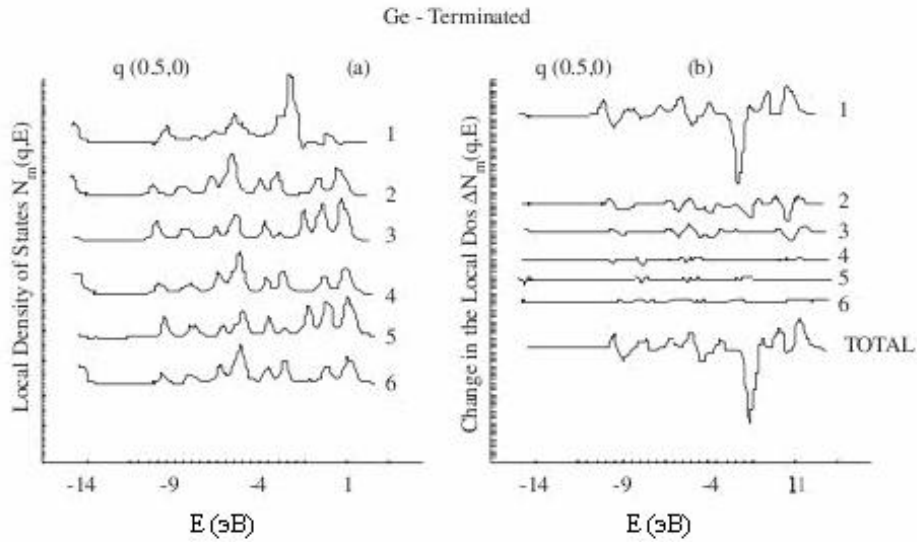
Se,

$\Delta N(E) \quad q(0.5,0,0)$

[3,4],

Se

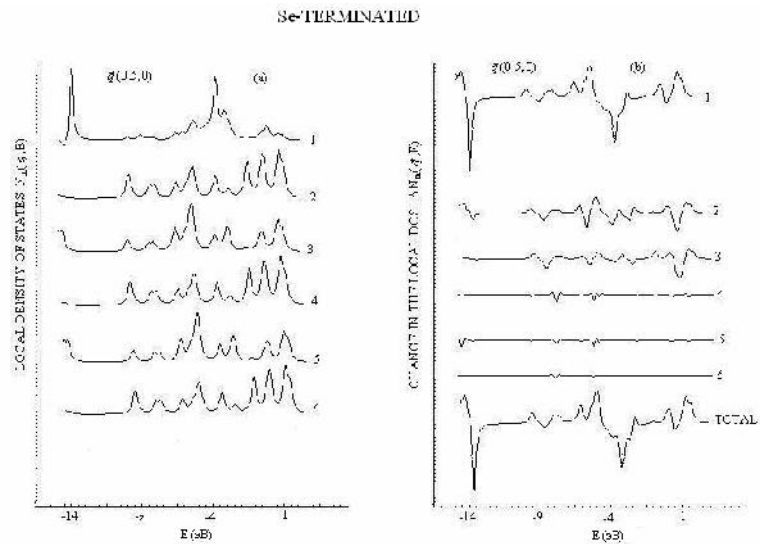
$\Delta N(E)$
Ge,



. 2. a-

Ge. b-

(010),



. 3. a-

Se. b-

(010),

$\Delta N(E)$, Se

$s-, p-$

Ge, Se

$f_{sq}^m(E_s) = \sum_{\Gamma} \|A_{s,q}^{m,\Gamma}(E_s)\|.$

(2 3)

$p_z -$ $s-$ “ ”

1. Jahangirli Z.A., Zarbaliyev M.Z., Electronic Structure of surfaces in GeSe layered semiconductor// Turk. J. Phys., 2007, 31, p.77-84
2. Kemeny P., Azoulay J., Cardona M. et al. Photoelectron spectra of GeS, GeSe, SnS, and SnSe and their relation to structural trends and phase transitions within the average-valence-<5> compounds // IL Nuovo Cimento, 1977, v.39B, N2, p.709-714
3. Bernholc J., Nunzio O. Lipari, Pantelides S.T. Phys. Rev. B, 1980, v.8, p.3545.
4. Kruger P., Pollmann J. Phys. Rev. B, 1988, v.15, p.10578.
5. . . . , 1985, .59, 5, .1167
6. . . . , 1984.

Qrin funksiyası metodu ilə laylı GeSe kristalında s-th elektron strukturunun özözünü tənzimləməni hesablanması.
Z.A. Cahangirli, H.S. Orucov, T.O. Bayramova

Lokallaşmış orbitalar vasitəsilə Qrin funksiyası metodu ilə özözünü tənzimləməni GeSe kristalında lokal defektlərin-vakansiyaların elektron strukturları hesablanmışdır. Qadağan zolağında elektron sıxlığının genezisi, orbital tərkibi, valent zonasında rezonans və antirezonanslar, həmçinin defektin yaranması ilə elektron sıxlığının dəyişməsi analiz olunmuşdur.

Self-consistent calculation of the electronic structure of the surface of the layered crystals of GeSe by Green function method.
Z.A. Jahangirli, G.S. Orudjev, T. Bayramova

ABSTRACT

Electronic structure of the local defects-vacancies in GeSe has been calculated by the self-consistent Green's-function method on the bases of localized orbitals. The origin, orbital content of the electronic states in the band gap, resonances and antiresonances in the valence band, and change in the charge density made by defect are discussed.

KR STALLARDA ELEKTRONLARIN KANALLAMA ÜNALANMASI

M.R. Rəcəbov, . . Tağıyeva

Bakı Dövlət Universiteti

shahnaz.ilqarzadeh.92@mail.ru

Nəzəri olaraq yeni fiziki effekt -relyativistik kanallama zərrəciklərinin γ -kvantların üalanmasına baxılır. Bu üalanma hadisəsi kvant elektrodinamikası və klassik mexanika metodları ilə tədqiq edilmişdir. Hər iki yanaşma deməkdir ki, eyni nəticələri verir. Kvant baxımından üalanma atom müstəviləri və zəncirləri potensialında formalaşan müxtəlif siviylər arasında keçidlər əsaslanır. Zərrəciklərin enerjisi $\sim 0.1-10\text{GeV}$ olduqda, üalanma daha intensiv kild 0.1-bir neçə on MeV diapazonda baş verir.

Yüksək sürətli elektronların kanallaması zamanı klassik mexanikanın qanunları tətbiq oluna bilər. Çünki bu zaman yaranan siviylərin sayı kifayət qədər böyük olur. Lindxardın verdiyi atom müstəvi potensialından istifadə olunur:

$$U(y) = 2\pi Z_1 Z_2 e^2 N d_p \left[(y^2 + c^2 a^2)^{1/2} - y \right] \quad (1)$$

Burada, y sərbəst olan məsafə, d_p -kanalın enidir, N -atomların sıxlığı, $Z_1 e$, $Z_2 e$ -müvafiq olaraq zərrəciklərin və hədəf atomunun yüküdür. $C=3$, a -Tomas-Fermi atom modelində ekranlaşma sabitidir. Elektronlar üçün (1) potensialı cəzəli xarakterlidir. Elektronlar potensial çuxurunda sürətli atom müstəvisində hərəkət edir onunla ki, sonra cazibəni təsəvvür edən yenidən geri qayıdılar və beləliklə hərəkət dekanallama baş verməyə davam edir. Elektron səthin yaxınlığında ossilyasiya edir və onun trayektoriyası ilk yanaşmada sinusoidi xatırladır.

Sadəcə qiymətləndirmələri üçün (1) potensialını $y=0$ nöqtəsinin yaxınlığında sıraya ayıraraq və ayrılığın ikinci həddi ilə kifayətlənək, y ni, hesab edək ki, elektron parabola kəllə çuxurda hərəkət edir. Bu cür yaxınlaşma ləğv etdikdə, tam tədqiq deyil və burada yalnız hesablamaların sadəliyi üçün istifadə olunur.

Z oxunu elektronun uzununa sürəti boyunca y ni atom səthi boyunca yönəldək. Parabola kəllə potensiallı sahədə hərəkət tənliyinə aiddir kild olacaq

$$\frac{d}{dt} \frac{mv_y}{(1 - \frac{v_y^2 + v_z^2}{c^2})^{3/2}} = -2V_0 y \quad (2)$$

Burada, $V_0 = \frac{2\pi Z_1 Z_2 e^2 N d_p}{ca}$; $v_y = \frac{dy}{dt}$, $v_z = \frac{dz}{dt}$ sürətləri y və z istiqamətində rənd proyeksiyalarıdır. Kanallama zamanı $v_y \ll v_z$

(2) tənliyinin həlli bu cür olacaq:

$$y(t) = y_m \sin \bar{\omega} t \quad (3)$$

$$\bar{\omega}^2 = \frac{2V_0}{m} \left[1 - \frac{v_z^2}{c^2} \right]^{1/2} \quad (4)$$

y_m -bəllənmiş amplituddur.

**BDU-nun Fizika Problemleri İnstitutunun yaradılmasının 10 illiyin həsr olunmuş
Beynəlxalq konfrans**

Z r r c i y i n müstəvi potensialının t siri altında trayektoriyasının yılməsi n tic sind
üalanma yaranmalıdır. R - radiuslu çevrə boyunca hər k t ed n relyativistik z r r c i y i n ($v_2 \approx c$)
üalanma gücü:

$$I = \frac{2}{3} \frac{e^2 c}{R^2} \left(\frac{E}{mc^2} \right) \quad (5)$$

klind olur. Burada R^2 – yrilik radiusunun kvadaratı, E-z r r c i y i n enerjisidir. Z r r c i k t cill
h r k t ed n zaman yrilik radiusu

$$R = \frac{v^2}{v_1} \approx \frac{c^2}{v_1} \quad (6)$$

b r a b r d i r. v'_1 -enin sürətin d y i m s i d i r. Bizim halda $v'_1 = -\bar{\omega}^2 y_m^2 \sin \bar{\omega} t$, y n i, $R^2 = 2 c^4 / \bar{\omega}^4 y_m^2$

Bu s b b d n orta güc a a ı d a k ı k i m i o l a c a q :

$$I = \frac{2 e^2 \bar{\omega}^2 y_m^4}{3 c^3} \quad (7)$$

Bu m s l n i kvant mexanikası qanunları il d h ll etm k o l a r. Bizim halda elektron
uzununa relyativist, enin is qeyri-relyativist h r k t e d i r. Bu zaman uzununa h r k t i Dirak
t n l i y i l , enin h r k t i Sredinger t n l i y i l t s v i r e t m k o l a r.

$$-\frac{\hbar^2}{2m} \frac{d^2 \psi}{dy^2} + U(y) \psi = E \psi \quad (8)$$

$$E = (c \vec{\alpha} \vec{p} + \rho_3 m c^2) \psi \quad (9)$$

Burada, $\alpha = (\alpha_1 \alpha_2 \alpha_3)$ v ρ_3 Dirak matrisl ridir.

$$\alpha_i = \begin{pmatrix} 0 & \sigma_i \\ \sigma_i & 0 \end{pmatrix} \quad \rho_3 = \begin{pmatrix} I & 0 \\ 0 & -I \end{pmatrix} \quad (10)$$

$$(E - U(y)) \psi = (c \alpha p + \rho_3 m c^2) \psi \quad (11)$$

(11) t n l i y i n d $\psi = \begin{pmatrix} \psi_a \\ \psi_b \end{pmatrix}$ v Dirak matrisl rini yerin qoyaraq alarıq:

$$(E - U(y)) \begin{pmatrix} 1 & 0 \\ 0 & 1 \end{pmatrix} \begin{pmatrix} \psi_a \\ \psi_b \end{pmatrix} = \left\{ c \begin{pmatrix} 0 & \vec{\sigma} \\ \vec{\sigma} & 0 \end{pmatrix} \vec{p} + \begin{pmatrix} I & 0 \\ 0 & -I \end{pmatrix} m c^2 \right\} \begin{pmatrix} \psi_a \\ \psi_b \end{pmatrix} \quad (12)$$

$$\begin{pmatrix} E - U(y) & 0 \\ 0 & E - U(y) \end{pmatrix} \begin{pmatrix} \psi_a \\ \psi_b \end{pmatrix} = \begin{pmatrix} 0 & c(\vec{\sigma} \vec{p}) \\ c(\vec{\sigma} \vec{p}) & 0 \end{pmatrix} \begin{pmatrix} \psi_a \\ \psi_b \end{pmatrix} + \begin{pmatrix} m c^2 & 0 \\ 0 & -m c^2 \end{pmatrix} \begin{pmatrix} \psi_a \\ \psi_b \end{pmatrix} \quad (13)$$

Matrisl rin vurulması qaydasına sas n yaza bil rik:

$$\begin{pmatrix} E - U(y) & \psi_a \\ E - U(y) & \psi_b \end{pmatrix} = \begin{pmatrix} m c^2 \psi_a + c(\vec{\sigma} \vec{p}) \psi_b \\ c(\vec{\sigma} \vec{p}) \psi_a - m c^2 \psi_b \end{pmatrix} \quad (14)$$

$$\begin{cases} (E - U(y)) \psi_a = m c^2 \psi_a + c(\vec{\sigma} \vec{p}) \psi_b \\ (E - U(y)) \psi_b = c(\vec{\sigma} \vec{p}) \psi_a - m c^2 \psi_b \\ c(\vec{\sigma} \vec{p}) \psi_b = (E - U(y) - m c^2) \psi_a \end{cases}$$

$p = -i\hbar \vec{\nabla}$ olduğunu nəzərə alaraq:

$$\begin{aligned} -i\hbar c(\vec{\sigma} \vec{\nabla})\psi_b &= \left((E - U(y)) - mc^2 \right) \psi_a \\ (\vec{\sigma} \vec{\nabla})\psi_b &= \frac{(E - U(y) - mc^2)}{-i\hbar c} \psi_a \\ (\vec{\sigma} \vec{\nabla})\psi_b - i \frac{E - U(y) - mc^2}{\hbar c} \psi_a &= 0 \end{aligned} \quad (15)$$

Analoji qaydada (12) tənlikli sistemlərinin ikinci tənliyindən $(\vec{\sigma} \vec{\nabla})\psi_a$ nı tapmaq mümkündür:

$$\begin{aligned} (E - U(y))\psi_b &= c(\vec{\sigma} \vec{p})\psi_a - mc^2\psi_b \\ c(\vec{\sigma} \vec{p})\psi_a &= (E - U(y) + mc^2)\psi_b \\ -i\hbar c(\vec{\sigma} \vec{\nabla})\psi_a &= (E - U(y) + mc^2)\psi_b \\ (\vec{\sigma} \vec{\nabla})\psi_a &= \frac{E - U(y) + mc^2}{-i\hbar c} \psi_b \\ (\vec{\sigma} \vec{\nabla})\psi_a &= i \frac{E - U(y) + mc^2}{\hbar c} \psi_b \\ (\vec{\sigma} \vec{\nabla})\psi_a - i \frac{E - U(y) + mc^2}{\hbar c} \psi_b &= 0 \end{aligned} \quad (16)$$

Sonda aşağıdakı tənlikləri alırıq:

$$(\vec{\sigma} \vec{\nabla})\psi_b - i \frac{E - U(y) - mc^2}{\hbar c} \psi_a = 0 \quad (17)$$

$$(\vec{\sigma} \vec{\nabla})\psi_a - i \frac{E - U(y) + mc^2}{\hbar c} \psi_b = 0 \quad (18)$$

$\sigma = (\sigma_x, \sigma_y, \sigma_z)$ Pauli matrisləridir.

(17) və (18) hər iki tənlikdən istifadə edilərək yazmaq mümkündür:

$$(\vec{\sigma} \vec{\nabla}) \frac{\hbar c}{i(E - U(y) + mc^2)} (\vec{\sigma} \vec{\nabla})\psi_a - i \frac{E - U(y) - mc^2}{\hbar c} \psi_a = 0 \quad (19)$$

gərəkli olaraq, $E \gg U(y)$

$$\begin{aligned} &= \begin{pmatrix} \psi_a \\ \psi_b \end{pmatrix} \\ &= e^{i(k_x x + k_z z)} \psi(y) \end{aligned}$$

Onda (20) hər iki tənliyin hər iki üçün redüktə edilmişliyini özündən əks etdirir:

$$\frac{d^2 \psi_a}{dy^2} + \frac{E^2 - m^2 c^4 - \hbar^2 c^2 (k_x^2 + k_z^2) - 2EU(y)}{\hbar^2 c^2} \psi_a = 0 \quad (20)$$

Enin hərəkət üçün $U(y)$ potensialı dövrü d_p olan dövrü funksiyadır. $Y=V_0y^2$ potensialı sahədə dipol yaxınlığında üalanma intensivliyi üçün alırıq:

$$I = \frac{e^{2\alpha_0} \hbar^2 n}{m\chi c^2} \frac{1}{3(1-S_z^2)^2} \left[1 + \frac{1}{S_z^2} - \frac{2}{S_z^2}(1-S_z^2) + \frac{1-S_z^2}{2S_z^3} \ln \frac{1+S_z}{1-S_z} \right], \quad S_z = \frac{v_z}{c}$$

D B İYAT

1. M. Nəcəfov Müasir klassik elektrodinamika Bakı, 2012
2. S.Q. Abdullayev Kvant elektrodinamikası Bakı, 2014
3. , .99, .2, .297-316
4. , .72, 1977, .1489-1502

OQTOEDRİK SİMMETRİYALİ QANT SAHƏSİNDƏ Fe^{++} ONUNUN ENERJİSİ VİYYİL RİNN HESABLANMASI

D.B. Bayramova

BDU, Fizika Problemləri ET

dilbar.bayramova@mail.ru

Dəmir ionlarının iştirakı ilə meydana çıxan kompleks birləşmələri canlı orqanizmlərin həyat fəaliyyətini təmin edən bir çox proseslərdə əsas rol oynadıqından uzun illərdir təbiətünasların diqqət mərkəzindədir. Fe^{++} ionunun xarici elektron təbəqəsində yerləşən elektronların $[Ar] 3d^5 4s^1$ konfigurasiyasına uyğun maksimal spin momentinə malik olma imkanı meydana çıxdığından $[Fe^{++} X]_n$ quruluşlu komplekslərin yüksək spinli olmaları nöqtəyindən rəndən xüsusi maraqlı hesab edilir. Maqnit nanozirçiklərin, nanokompozitlərinlə edilməsi üçün lverilə olan bu tip birləşmələrin nəzəri modellərinin qurularaq, elektron fəza quruluşunun tədqiqi, quruluş-xəssəslərinin müəyyənləşdirilməsi məqsədinə xidmət edir.

Təqdim edilən məruzədə Fe^{++} ionunun müxtəlif model liqantlarla kompleks birləşmələrinin fəza modellərinin qurularaq stabil məxəsusiyətlərinin analizi, oktoedrik simmetriyaya malik liqand sahəsində $[Ar] 3d^5 4s^1$ elektron konfigurasiyasında $S=3$ yüksək spinli hala uyğun mərkəzi ionun enerji səviyyələrinin hesablanması nəticələri rəhlənir. Hesablamalar zamanı $3d$ və $4s$ orbitalların ekranlaşma sabitləri Sleyter-Qener qaydalarına əsasən müəyyənləşdirilmişdir. Kompleksin həndəsi quruluşunu modelləşdirən $6 H_2O$ molekullundan ibarət oktoedrik liqant sahəsi qurulmuşdur.

Cədvəl 11.

$Fe^{++} (H_2O)_6$ kompleksinin fəza quruluşu

A	X	Y	Z
Fe	-0.802762	-0.37097	-0.26191
0	-0.299246	-0.18910	1.95453
0	-0.312379	1.86209	0.01125

**BDU-nun Fizika Problemləri İnstitutunun yaradılmasının 10 illiyin əhəmiyyətli sərəfəsinə
Beynəlxalq konfrans**

0	-0.354051	-0.04362	0.40260
0	-0.361410	0.02794	-2.58802
0	-0.347994	-2.60082	0.34578
H	-0.311419	-0.10253	-0.03075
H	0.228094	-0.12291	-0.58022
H	0.227505	0.94894	0.56969
H	0.233739	-2.86481	-0.643439
H	0.232837	-2.79762	0.59155
H	0.236952	-1.15414	2.26996
H	0.233366	0.20914	2.37237
H	0.238661	-0.30805	-0.96612
H	0.237599	-0.87313	0.56601

Cədvəl 12.

$Fe^{++} (H_2O)_6$ kompleksində Fe^{++} ionunun enerji səviyyələri (eV)

Səviyyə	Enerji
4S	-35.96
3P _x	-18.20
3P _y	-18.11
3P _z	-15.43
3d _{zz}	-12.67
3d _{xz}	-7.61
3d _{yz}	8.59
3d _{xz}	12.76
3d _{xy}	12.77

Cədvəl 13.

$Fe^{++} (H_2O)_6$ kompleksinin Fe^{++} kompleksinin energetik parametrləri (KKal/mol)

E _{tot}	-82755.10
E _{bin}	-2493.30
E _{izo}	-80261.81
E _{II}	-252349.65
E _{CC}	169594.54
H	-1411.420

DƏRİS

1. K. 1969
2. Cotton F. Watton R.A. Multiple Bonds Between Metal Atoms. New York: Wiley Intersci, 1982
3. N. İyev N.S. Kvant kimyası və yarıempirik metodlar. Bakı 2002. 68 s.

SOME PROPERTIES OF “HYDRINO” STATES

T.A. Abdulrahimbayli^{1,a)} and M.Kh. Eyyubzade^{2,b)}

^{1)Unknown;}^{2)Theoretical Physics Department, Faculty of Physics, BSU}

^{a)} turkan5@live.com ; ^{b)} meyyubzade17@gmail.com

1. So called “Hydrino” state. In 1986 Randell Mills MD developed a theory that hydrogen atoms could shrink, and release lots of energy in the process [1]. He called the resultant entity a "Hydrino" (little Hydrogen), and started a company called Black-light Power, Inc. to commercialize his process. According to Dr. Mills, when a hydrogen atom collides with certain other atoms or ions, it can sometimes transfer a quantity of energy to the other atom, and shrink at the same time, becoming a Hydrino in the process. The atom that it collided with is called the "catalyst", because it helps the Hydrino shrink. Once a Hydrino has formed, it can shrink even further through collisions with other catalyst atoms. Each collision potentially resulting in another shrinkage.

Each successive level of shrinkage releases even more energy than the previous level. In other words, the smaller the Hydrino gets, the more energy it releases each time it shrinks another level.

To get an idea of the amounts of energy involved, I now need to introduce the concept of the "electron volt" (*eV*). An *eV* is the amount of energy that a single electron gains when it passes through a voltage drop of one volt.

Since a volt isn't much (a "dry cell" is about 1.5 volts), and the electric charge on an electron is utterly minuscule, an *eV* is a very tiny amount of energy. Nevertheless, it is a very representative measure of the energy involved in chemical reactions. e.g. when Hydrogen and Oxygen combine to form a water molecule, about 2.5 *eV* of energy is released per water molecule formed.

Mills says that with this new understanding he's produced clean and limitless energy and an entirely new class of materials and plasma that will reshape every industry in the coming decade. Mills also claims breakthroughs in artificial intelligence, cosmology, medicine, and perhaps even a form of gravitational jujitsu. According to the prevailing orthodox establishment dogma of quantum mechanics, hydrinos can't exist, since a free-floating hydrogen atom is in a "ground state," with the electron as close as it can get to the nucleus. But we must ask: now that hydrino theory has been incontrovertibly proven, what comes next? My purpose here is to announce that hydrino theory, according to Klein – Gordon equation.

Our first goal is to find singular behavior of the Laplacian in spherical coordinates. Let's pay attention to the Schrödinger equation, which in the Cartesian coordinates has a form (in units $\hbar=c=1$)[3], [4]

$$\left[-\frac{1}{2m} \Delta + V(r) \right] \psi(r) = E \psi(r) \quad (1)$$

where

$$\Delta \equiv \nabla \cdot \nabla = \frac{\partial^2}{\partial x^2} + \frac{\partial^2}{\partial y^2} + \frac{\partial^2}{\partial z^2} \quad (2)$$

Is a Laplacian.

In spherical coordinates can be represented as follows:

$$\psi(r) = R(r)Y_1^m(\theta, \varphi) = \frac{u(r)}{r}Y_1^m(\theta, \varphi). \quad (3)$$

We can also rewrite Laplacian with these coordinates and after some substitutions (Eq.(3)) into Eq.(1) we get:

$$-\frac{1}{2m} \left[\frac{d^2}{dr^2} + \frac{2}{r} \frac{d}{dr} \right] R(r) + \frac{l(l+1)}{2mr^2} R(r) + V(r)R(r) = ER(r), \quad (4)$$

$$\left[-\frac{1}{2m} \frac{d^2}{dr^2} + \frac{l(l+1)}{2mr^2} + V(r) \right] u(r) = Eu(r). \quad (5)$$

It is clear that we know all of these from quantum mechanics, electrodynamics and etc. Let's consider the Laplace equation in vacuum:

$$\nabla^2 \varphi(r) = 0 \quad (6)$$

Which in Cartesian coordinates have the form

$$\nabla^2 \varphi(r) = \left(\frac{\partial^2}{\partial x^2} + \frac{\partial^2}{\partial y^2} + \frac{\partial^2}{\partial z^2} \right) \varphi(x, y, z) = 0 \quad (7)$$

$$\left(\frac{d^2}{dr^2} + \frac{2}{r} \frac{d}{dr} \right) \varphi(r) = 0 \quad (8)$$

We note that though $\vec{r}=0$ is an ordinary point in the full Schrödinger equation, it is singular point in the radial equation and thus, knowledge of the behavior at $\vec{r}=0$ is required. We consider the radial wave function $u(r)$ which is a solution of radial equation (4). Let us consider the derivation of equation (5) in more detail. The following equation:

$$\begin{aligned} \left(\frac{d^2}{dr^2} + \frac{2}{r} \frac{d}{dr} \right) \frac{u(r)}{r} &= \frac{1}{r} \left(\frac{d^2}{dr^2} + \frac{2}{r} \frac{d}{dr} \right) u(r) + u(r) \left(\frac{d^2}{dr^2} + \frac{2}{r} \frac{d}{dr} \right) \left(\frac{1}{r} \right) + 2 \frac{du}{dr} \frac{d}{dr} \left(\frac{1}{r} \right) - \\ &- \left[\frac{l(l+1)}{r^2} - \frac{2m}{\hbar^2} (E - U(r)) \right] \frac{u}{r} = 0, \end{aligned} \quad (9)$$

Allows us to write the radial equation explicitly to show the action of the radial part of the Laplacian. The first derivatives of $u(r)$ cancel, and we left with:

$$\frac{1}{r} \left(\frac{d^2 u}{dr^2} \right) + u \left(\frac{d^2}{dr^2} + \frac{2}{r} \frac{d}{dr} \right) \left(\frac{1}{r} \right) - \frac{l(l+1)}{r^2} \frac{u}{r} + 2m[E - U(r)] \frac{u}{r} = 0. \quad (10)$$

As we do the derivatives in the second term naively, we obtain zero, when $r \neq 0$. If we take into account that:

$$\frac{d^2}{dr^2} + \frac{2}{r} \frac{d}{dr} = \frac{1}{r^2} \frac{d}{dr} \left(r^2 \frac{d}{dr} \right) \equiv \nabla_r^2 \quad (11)$$

we conclude that :

$$\nabla_r^2 \left(\frac{1}{r} \right) = \nabla^2 \left(\frac{1}{r} \right) = -4\pi \delta^{(3)}(\vec{r}), \quad (12)$$

and, thus, equation (D2) becomes:

$$\frac{1}{r} \left[\frac{d^2 u(r)}{dr^2} + \frac{l(l+1)}{r^2} u(r) \right] + 4\pi \delta^{(3)}(\vec{r}) u(r) - 2m[E - U(r)] \frac{u(r)}{r} = 0 \quad (13)$$

Let's consider the following derivative (for more detail see works by A.A. Khelashvili [4], also [5]):

$$\left(\frac{d^2}{dr^2} + \frac{2}{r} \frac{d}{dr} \right) \left(\frac{1}{r} \right). \quad (14)$$

A naïve calculation would yield zero. But the separate terms in this expression are highly singular, and therefore we must regularize them. We choose the following regularization near the origin:

$$\frac{1}{r} \rightarrow \lim_{a \rightarrow 0} \frac{1}{\sqrt{r^2 + a^2}} \quad (15)$$

Equations (14) and (15) lead to:

$$\frac{d}{dr} \frac{1}{r} \rightarrow \lim_{a \rightarrow 0} \frac{d}{dr} \left(\frac{1}{\sqrt{r^2 + a^2}} \right) = -r(r^2 + a^2)^{-3/2},$$

and

$$\begin{aligned} \frac{d^2}{dr^2} \left(\frac{1}{r} \right) &= -r(r^2 + a^2)^{-3/2} + \frac{3}{2} r \cdot 2r(r^2 + a^2)^{-5/2} = -(r^2 + a^2)^{-3/2} + 3r^2(r^2 + a^2)^{-5/2} \\ &= (r^2 + a^2)^{-5/2} (3r^2 - (r^2 + a^2)) = (r^2 + a^2)^{-5/2} (2r^2 - a^2). \end{aligned}$$

After following:

$$\begin{aligned} \left(\frac{d^2}{dr^2} + \frac{2}{r} \frac{d}{dr} \right) \left(\frac{1}{r} \right) &\Rightarrow (r^2 + a^2)^{-5/2} (2r^2 - a^2) - \frac{2}{r} (r^2 + a^2)^{-3/2} = \\ &= (r^2 + a^2)^{-5/2} (2r^2 - a^2 - 2(r^2 + a^2)) = -\frac{3a^2}{(r^2 + a^2)^{5/2}} \end{aligned} \quad (16)$$

The right-hand side of equation (16) behaves well everywhere for $a \neq 0$, but as $a \rightarrow 0$ it becomes infinite at $r = 0$ and vanishes for $r \neq 0$. To make the connection to a delta function, we integrate the right-hand side of equation by $d^3 \vec{r} = r^2 dr d\Omega$, which gives:

$$-4\pi \int \frac{3a^2}{(r^2 + a^2)^{5/2}} r^2 dr. \quad (17)$$

We divide the volume of integration into two parts: A sphere of radius R with center at the origin and region outside the sphere. Because $a \ll R$ and approaches zero, the integral from the exterior of the sphere vanishes as a^2 as $a \rightarrow 0$. We thus need to consider only the contribution from inside the sphere. We can neglect r in the denominator because the integrand varies very slowly with r . After this the integral will be equal to:

$$\frac{3a^2}{(a^2)^{5/2}} \frac{a^3}{3} = \frac{a^5}{a^5} = 1 \quad (18)$$

Thus, we have all the properties of the three-dimensional delta function, and we confirm equation (8). It includes an extra three-dimensional delta-function term, which is evident from

equation (8). Its presence in the radial equation has no physical meaning and thus it must be eliminated. Note that if $r \neq 0$, this extra term vanishes due to the nature of the delta function. If $r \neq 0$ and we multiply the equation (8) by r , we obtain the ordinary radial equation (5).

Therefore, we have to investigate this term separately and find a way to discard it. Therefore we conclude that the radial equation (5) for $u(r)$ is compatible with the full Schrodinger equation if and only if the condition $u(0) = 0$ is satisfied.

2. Theoretical describing of Hydrino and Klein – Gordon equation. We note that the problems of additional levels were discussed by other authors as well [6-7]. In particular, in [40] the Klein-Gordon equation as considered with $V = -\frac{\alpha}{r}$ Coulomb potential [4]

$$E = \frac{\vec{p}^2}{2m} + V(r),$$

$$\vec{p} - \vec{P} = -i\hbar\vec{\nabla}, \quad \vec{E} \rightarrow \vec{E} = i\hbar\frac{\partial}{\partial t},$$

$$i\hbar\frac{\partial\psi}{\partial t} = \left[-\frac{\hbar^2}{2m}\vec{\Delta}^2 + V(r) \right] \psi.$$

For find an equation, which fulfilled the demand of relativity theory, so, is invariant than Lorentz transformations, let's use relation between energy, impulse, and mass which obtain from relativity theory:

$$E = \sqrt{c^2\vec{p}^2 + m^2c^4}.$$

If we do substitution with our upper formula we get:

$$i\hbar\frac{\partial\psi}{\partial t} = \sqrt{-c^2\hbar^2\vec{\nabla}^2 + m^2c^4}\psi$$

But we don't know what is quadrate root of operator yet, that is why we must quadrate both side of this formula. This operation came us to an equation which exactly determined by math:

$$(c^2\hbar^2\vec{\nabla} - \hbar^2\frac{\partial^2}{\partial t^2} - m^2c^4)\psi(\vec{r},t) = 0.$$

This is a Klein- Gordon equation for free particle. Let's write Klein- Gordon equation as clear relativity – invariant form, and include four dimensional vector- operator:

$$x_\mu = (ct, -r), \quad \partial^\mu = \left(\frac{1}{c}\frac{\partial}{\partial t}, -r\right),$$

$$\vec{P}^\mu = i\hbar\partial^\mu = \left(i\frac{\hbar}{c}\frac{\partial}{\partial t}, -i\hbar\vec{\nabla}\right).$$

Then:

$$(\hat{P}_\mu\vec{P}^\mu - m^2c^2)\psi(x) = 0$$

Or:

$$\left(\partial_\mu\partial^\mu + \frac{m^2c^2}{\hbar^2}\right)\psi(x) = 0.$$

The invariance of Klein-Gordon equation than Lorentz transformation is shown from upper formulas. Let's calculate probability cell density and probability density, for explain physical meaning of wave function. Let's use continuous equation:

$$\text{div} \vec{j} + \frac{\partial \rho}{\partial t} = 0.$$

If we multiply Klein-Gordon equation to $\psi^*(x)$, and equation for $\psi^*(x)$ to $\psi(x)$, and minus result from first equation we get:

$$\begin{aligned} \psi^* \nabla^2 \psi - \psi^* \frac{1}{c^2} \frac{\partial^2 \psi}{\partial t^2} - \frac{m^2 c^2}{\hbar^2} \psi^* \psi &= 0, \\ \psi \nabla^2 \psi^* - \psi \frac{1}{c^2} \frac{\partial^2 \psi^*}{\partial t^2} - \frac{m^2 c^2}{\hbar^2} \psi \psi^* &= 0, \\ \psi^* \nabla^2 \psi - \psi \nabla^2 \psi^* - \frac{1}{c^2} \left(\psi^* \frac{\partial^2 \psi}{\partial t^2} - \psi \frac{\partial^2 \psi^*}{\partial t^2} \right) &= 0 \end{aligned}$$

Let's doing such substitution:

$$\psi^* \nabla^2 \psi - \psi \nabla^2 \psi^* - \nabla \cdot (\psi^* \nabla \psi - \psi \nabla \psi^*), \quad (19)$$

$$\psi^* \frac{\partial^2 \psi}{\partial t^2} - \psi \frac{\partial^2 \psi^*}{\partial t^2} = \frac{\partial}{\partial t} \left(\psi^* \frac{\partial \psi}{\partial t} - \psi \frac{\partial \psi^*}{\partial t} \right). \quad (19a)$$

Equation which shown upper are checking.

$$R'' + \frac{2}{r} R' + \left[E^2 - m^2 - \frac{l(l+1)}{r^2} + \frac{2E\alpha}{r} + \frac{\alpha^2}{r^2} \right] R = 0 \quad (19b)$$

The author underlines, that there must be levels below the standard levels (called, "hydrino" eigenstates), but he/she did not perform the SAE procedure.

Let consider this problem in more detail. First of all note that the equation (19) coincides

$$\rho = 2\sqrt{m^2 - E^2}; \quad \lambda = \frac{E\alpha}{\sqrt{m^2 - E^2}}; \quad P = \sqrt{(l + 1/2)^2 - \alpha^2} > 0 \quad (20)$$

We must require $m^2 > E^2$ for bound states. Therefore one can use all the previous relations from valence electron model taking into account the definitions (20). In particular the SAE parameter now is

$$\tau = \frac{C_1}{C_2} \frac{1}{(2\sqrt{m^2 - E^2})^P} \quad (21)$$

and for eigenstates we have the following equation

$$\frac{\Gamma(1/2 - \lambda - P)}{\Gamma(1/2 - \lambda + P)} = -\tau \left((2\sqrt{m^2 - E^2})^P \right) \frac{\Gamma(1 - 2P)}{\Gamma(1 + 2P)} \quad (22)$$

This is a new form, that follows by SAE procedure in the Klein-Gordon equation. For the edge points we derive the standard and additional levels in analogy with (22)

$$E_{st} = \frac{m}{\sqrt{1 + \frac{\alpha^2}{(1/2 + n_r + P)^2}}}; \quad n_r = 0, 1, 2, \dots \quad (23)$$

$$E_{add} = \frac{m}{\sqrt{1 + \frac{\alpha^2}{(1/2 + n_r - P)^2}}}; \quad n_r = 0, 1, 2, \dots \quad (24)$$

Exactly these (24) levels are called as “hydrino” levels in [6-7]. It is evident that the hydrino levels are analogical to E_{add} states, but these two cases differ from each others. Particularly, it is possible to pass the limit $V_0 \rightarrow 0$ and obtain Hydrogen problem. Usually this limiting procedure is used in traditional textbooks to choose between two signs, while coupling constants for both terms in potential terms are mutually proportional (α and α^2), and vanishing of one of them causes vanishing of another, so we turn to the free particle problem instead of Coulomb one. Moreover, as we mentioned above, in those papers [4-5] the SAE procedure was not used. They considered only two signs in front of square root in equation analogous and only (23) and (24) levels are considered, which correspond only to cases $P=0$ and $P=\pm 1/2$. Contrary to that case we performed SAE procedure, derived the Eq.(22) and take attention to the hydrino (when $P=\pm 1/2$) problem.

The difference between standard and hydrino states manifests clearly in the nonrelativistic limit when

$\alpha \ll 1$, which must be performed by definite caution. The hydrino existence condition for such states follows from earlier constraints and the restriction $0 < P < 1/2$. It has a form

$$l(l+1) < \alpha^2 \quad (25)$$

and it is evident that for states with $l > 0$ in transition to the nonrelativistic $\alpha \ll 1$ limit the additional (hydrino) states disappear. Therefore we must consider only $l=0$ states.

For the ground states ($n_r = l = 0$) we have

$$E_{st}^{(0)} = \frac{m}{\sqrt{2}} \sqrt{1 + \sqrt{1 - 4\alpha^2}} \quad (26)$$

$$E_{hyd} \equiv E_{add}^{(0)} = \frac{m}{\sqrt{2}} \sqrt{1 - \sqrt{1 - 4\alpha^2}} \quad (27)$$

Expansion in powers of α gives

$$E_{st}^{(0)} = m \left(1 - \frac{\alpha^2}{2} - \frac{\alpha^4}{8} \right) \quad (28)$$

$$E_{HYD}^{(0)} = m(\alpha + \alpha^3/2) \quad (29)$$

It follows that the hydrino is very tightly bound system and sensitive to the sign of α .

If we expand $l = 0; n_r \neq 0$ states till to order of α^2 , we derive

$$E_{st}^{(0)} = m \left(1 - \frac{\alpha^2}{2(n_r + 1)^2} \right) \quad (30)$$

$$E_{HYD}^{(0)} = \left(1 - \frac{\alpha^2}{2(n_r)^2} \right) \quad (31)$$

Comparison of these two expressions shows that there appears some kind of degeneracy between the levels with $n_r + 1$ nodes of hydrino and energies for n_r nodes of standard states. This degeneracy disappears in the next order. The fact that the additional (hydrino [1-2]) states of the $(n_r + 1)$ th 1S_0 state is nearly degenerate with the usual n th 1S_0 state may facilitate a tunneling transition. Our description by the unified function analogous of , as a result of SAE procedure, gives a possibility of interpolation between them [4].

3. Conclusion. The solution of equations (19)- (19b) are our future elaboration.

REFERENCES

1. R. Mills, G. Zhao, W. Good, M. Nansteel, International Journal of Energy Research, Vol. 36 (2012) 778-788. DOI: 10.1002/er.1834.
2. J. Naudts Preprint arXiv: physics/0507193v2 [physics.gen-ph], 8 p.
3. J.D. Jackson, *Classical Electrodynamics*, 3rd ed. 'John Wiley & Sons, New York , 199, p.641
4. A.A. Khelashvili Journal Physics of Elementary Particles and Atomic Nuclei Letters, 2015,v.12,No1, p.11
5. S.A. Gadjeiev, R.G. Jafarov *Introduction to operator formulation of Quantum Mechanics*, "Baki Universiteti"(in Print), 2016, 210 p.

ON HIGGS BOSON MASS IN NON-PERTURBATIVE THEORY

L. . gamalieva

Dept. of matter structure BSU

ag.leyla@hotmail.com

Key words: *Higgs boson, non-perturbative approach*

Higgs mechanism is one of the crucial points of Standard Model and simultaneously one of the most mysterious its properties. Considerable efforts on the experimental search for Higgs particles have not still lead to success [1]. Theoretical investigation of the scalar sector of the Standard Model is also far from completeness. In attempting to go beyond the framework of the quasiclassical approximation and the perturbation theory, one encounters a number of difficulties and the principal problem of them is the well-known triviality of quadric scalar self-interaction: the renormalized coupling constant of ϕ^4 -interaction tends to zero at the cutoff removing. The triviality of ϕ^4 -interaction leads to the fact, that the mass of Higgs particle is not a fully independent parameter but it is connected with other parameters of the model such as intermediate boson masses, t-quark mass, etc. In the frameworks of different approaches (see, for example, [2], [3] and refs. therein) this fact leads to different estimates of the Higgs boson mass, and the absence of experimental data does not favor over any approach.

1. The variance of mean field expansion construction. A generating functional for Schwinger functions ($2n$ -point (n -particle)) in the form of $w(x)$ scalar field theory in Euclidean space ($x \in E_d$) with the action in the symmetric phase ($m_0^2 > 0, \mu > 0$) in this method has the following form [2, 3]

$$G(y) = N^{-1} \int D(w, w^*) \exp \left\{ -S - \int dx dy w^*(x) y(x, y) w(y) \right\}$$

Here $y(x, y)$ bilocal source fields and the normalization constant N is determined from $G(0) = 1$.

According to the translational invariance of the integration the master equation for the generating functional of Schwinger functions has following explicit form [2],

$$\int D(w, w^*) \frac{\delta}{\delta w^*(x)} w^*(y) \exp \left\{ -S - \int dx dy w^*(x) y(x, y) w(y) \right\} = 0$$

And generating functional $G^{(0)} = \exp \{ \text{Tr} \Delta_0 * y \} = \exp \left\{ \int dx_1 dy_1 \Delta(x_1, y_1) y(y_1, x_1) \right\}$ of the main approximation generates linear iterative scheme [2]:

$$G = G^{(0)} + G^{(1)} + \dots + G^{(n)} + \dots,$$

where (in this iterative scheme) absent small parameter.

The unique connected function is a free scalar particle propagator, which is the first derivative of the generating functional source $\Delta(x-y) = \langle w(x) w(y) \rangle = - \left. \frac{\delta G}{\delta y(y, x)} \right|_{y=0}$ and has the form:

$\Delta = [m_0^2 + 4\mu \Delta(0)]^{-1}$. the value $\Delta(0)$ determined from the gap equation, which is a consistent solution of equations [2]

$$\mu \frac{\delta^2 G}{\delta y(x, x) \delta y(y, x)} - (m_0^2 - \partial^2) \frac{\delta G}{\delta y(y, x)} - \mu(x-y)G = \int dy_1 y(x, y_1) \frac{\delta G}{\delta y(y, y_1)}.$$

First iteration step generating functional of the it is determined from $G^{(n)} = P^{(n)} \cdot G^{(0)}$ $P^{(n)}$ – $2n$ -order polynomial of sources y , where $*$ is operator in a functional sense:

$$P^{(1)} = \frac{1}{2} \text{tr} \int \Delta_2(x_1 y_1, x_2 y_2) y(y_1, x_1) y(y_2, x_2) dx_1 dx_2 dy_1 dy_2 + \int \Delta^{(NLO)}(x_1, y_1) y(y_1, x_1) dx_1 dy_1.$$

In the first step, what is next step of the leading order, arise the equation for the two-particle functions Δ_2 and next-to-leading order (NLO) propagator $\Delta^{(NLO)}$ of a scalar particle. Amputation of external lines gives us to four-point function

$$\Delta_2 = G_2(x, y, x', y') = \left. \frac{\delta^2 G}{\delta y^2} \right|_{y=0} :$$

$$G_2 \left(\begin{matrix} x & y \\ x' & y' \end{matrix} \right) = \Delta(x-y) \Delta(x'-y) - \int dx_1 dx_2 \Delta(x-x_1) \Delta(x'-x_2) f(x_1-x_2) \Delta(x_1-y) \Delta(x_2-y'),$$

and

$$f(p) = \frac{1}{1 + L_0(p)},$$

where

$$L_0(p) = \int_{\Lambda} \frac{d^4 q}{(2\pi)^4} \Delta(p+q) \Delta(q)$$

one-loop integral.

2. Higgs model. Our goal is the investigation this approximation in NNLO in the framework of the Abelian Higgs model with Lagrangian

$$L = (\partial_\mu - ieA_\mu) \psi^* (\partial_\mu + ieA_\mu) \psi - m^2 \psi^* \psi - \frac{1}{2} (\psi^* \psi)^2 - \frac{1}{4} (\partial_\mu A_\nu - \partial_\nu A_\mu)^2 - \frac{1}{2r} (\partial_\mu A_\mu)^2$$

It is act that, a location of propagator poles defines masses of particles. A distinctive feature of the generalized Higgs mechanism in comparison with the usual one is the possibility to model the triviality of w_4^4 -theory, i.e., we can tend λ to zero but the masses of Higgs and gauge bosons will retain non-zero values. At $\lambda \rightarrow 0$ the admissible values of the parameter m^2 lie in the region $-\infty < m^2 < 6^{-2}$ [2]. Also, the investigation of Landau pole is our elaboration.

REFERENCES

1. Chatrchyan S. Et al. (CMS Collaboration) Phys. Lett. B, 2012, v.B, 710, p. 284
2. V.E. Rochev. On Higgs mechanism in nonperturbative region. Preprint arXiv: hep-ph/9812315, 13pp.
3. S.A. Gadjiev, R.G.Jafarov and S.N. Mammadova Russian Physics Journal, 2013, No 5, p. 37

THE INVESTIGATION OF ASYMPTOTICAL BEHAVIOR OF THE AMPLITUDE FOR LARGE MOMENTA IN THE SO-CALLED "TWO-PARTICLE APPROXIMATION" AND NON-PHYSICAL LANDAU POLE PROBLEM

P. Aghakishiyeva^{1,a)}, S. Rahimzade^{1,b)} and M.M. Mutallimov^{2,c)}

¹⁾*Baku State University, Faculty of Physics*

²⁾*Baku State University, Institute for Applied Mathematics*

^{a)}p_aghakishiyeva@outlook.com, ^{b)}sara.rehimzade@gmail.com

^{c)}mutallim@mail.ru

1. Introduction. As well known, Quantum Field Theory (QFT) –the theory of relativistic particle physics is the advanced version of the relativistic Quantum Mechanics. QFT describes the properties and interactions of fundamental particles of matter, for example, electrons, photons, quarks and gluons, which are composed of other material objects. For example, a hydrogen atom is a bound state of an electron and proton interacting with an electromagnetic field (photons), and the proton, in turn, consists of quarks, interacting via gluons. The main characteristics include particle rest mass m , energy E and momentum p , which are interconnected

by the known relation: $E^2 - p^2 c^2 = m^2 c^4$, which is satisfied in any inertial reference frame. Here c - light speed in the vacuum. In the rest system of the particle ($p=0$) this ratio turns to the Einstein's famous formula: $E = mc^2$. If the relative momenta of the particles and their interaction energies are small compared to the rest mass, the motion of particles is described by quantum mechanics: each particle is mapped to the wave function Ψ , which is the solution of the Schrödinger equation. Increasing the interaction energies, the usual quantum-mechanical description of particles becomes inapplicable, since there is a new physical phenomenon: creation and annihilation of particles. For example, during the scattering of high-energy photon (γ - quant) at the nuclei electrons and their antiparticles - positrons are produced. In turn, the electron and positron can annihilate, i.e. turn into photons. With further increase of the interaction energy more and more particles can be borne. The number of a new particles known today exceeds the hundreds. To describe the systems with a variable number of high-energy particles each class of fundamental particles is connected with quantized field, which consists the creation and annihilation operators of particles. Quantized field of the electron Ψ is no longer the usual generalized function in quantum mechanics, and much more complex object - as operator's (operators-like generalized function). Such a quantized field describes, in general, all the particles of the class, i.e, electronic field describes all the electrons in the universe, the photon (electromagnetic field) - all photons, etc. The particles are divided into two categories - real particles existing in the initial and final stages of the physical process physical and virtual, particles, which play a role only in the process of interaction between the particles. For real particles the usual relativistic relation between energy and momentum is valid. In high-energy physics so-called natural system of units is commonly used in which of light speed c and Planck's constant \hbar equal to one: $c = \hbar = 1$. In this system of units using conventional 4-vector notation of relativistic mechanics $p = (p_0, \vec{p})$, $p_0 = E$, the ratio between the momentum and energy of real particles takes the simple form: $p^2 = p_0^2 - \vec{p}^2 = m^2$. As physicists say, the real particles are on the mass shell *mass shell*. For virtual particles, this relation is not satisfied: $p^2 \neq m^2$ i. e., *virtual particles are off the mass shell*. As in all physical experiments measured only the parameters of the initial and final states, the concept of virtual particles, of course, in no way does not violate the law of conservation of energy-momentum.

It is well known, that in QFT the basic mathematical objects of calculations are vacuum expectation values of products of fields $\langle 0 | T \Psi(x_1) \bar{\Psi}(x_2) \dots \bar{\Psi}(x_n) | 0 \rangle$. Here $|0\rangle$ - the vacuum state, i.e. state without real particles - 4-vector $x = (x_0, \vec{x})$ coordinates in the usual 4-dimensional space-time. Sign T indicates the chronological ordering of the field operators, i.e field operators are arranged in ascending order of time coordinates. Introduction of chronological ordering is necessary in order to take into account the *principle of causality*, i.e the correct sequence of events describing the particles interactions.

Knowing the vacuum expectation values, we can calculate all the physical characteristics of both the fundamental particles and composed of these objects, i.e., - *masses of the particles* and *bound states, scattering cross sections, lifetimes* of unstable particles, etc. Briefly theorists call the vacuum expectation values of products of fields *Green's functions*.

The simplest physically meaningful Green's function is the two-point Green's function, or propagator (particles propagation function): $D(x-y) = \langle 0 | T \Psi(x) \bar{\Psi}(y) | 0 \rangle$. Propagator depends only

on a 4-dimensional variable $x-y$. This fact is a reflection of the translational invariance of the theory, i.e. independence of the physical phenomena of the coordinate system.

Simple propagators of the free fields in momentum space is:

$$D_c(p) = \int dx e^{i(px)} D_c(x) \cong \frac{1}{m^2 - p^2}. \text{ Note that in this formula } p \text{ - is not a real particle momentum}$$

but the momentum variable Fourier conjugate to coordinate. As can be seen from this expression, the propagator has a pole singularity in the momentum variable. This fact is very general and is also valid for interacting fields. In other words, in QFT the pole of the Green's function implies the existence of a real particle with mass m . Massless particles (e.g. photons) correspond to the pole at the point $p^2 = 0$, and, accordingly, the propagator of a free photon has

$$\text{the form: } D_c(p) \cong \frac{1}{-p^2}. \text{ The calculation of the Green's functions in the theory of interacting}$$

fields is a very difficult problem. For more than half a century, the exact physically meaningful solution of interacting quantum fields was not found. Therefore, the various approximate methods are of particular importance, among which the most important is the perturbation theory. Green's function of free fields are taken as the main approach. Interaction is considered as a small perturbation, which is physically quite reasonable for important case of quantum electrodynamics (QED) of interaction of electrons with photons, as the strength of interaction in this theory and is

$$\text{determined by the } r = \frac{e^2}{4f} = \frac{1}{137} \text{ - a small and expansion parameter in the perturbation theory in}$$

QED.

By the mid-fifties of the last century, successful theoretical description of most of the well-known electrodynamic phenomena was given, including splitting of the electron levels in the hydrogen atom, the anomalous magnetic moment of the electron, etc. These successes have led theorists to investigate the limits of applicability of QED. In 1954-1955, Landau and his colleagues: Landau pole [1], published the results of their calculations, the asymptotic behavior of the Green functions of QED, i.e. behavior for large values of the momentum variable p^2 . These results were very strange, and further interpretation led them to a very sad for the QFT. It was found that when $|p^2| \gg m^2$ asymptotic behavior of the photon propagator is described by the

$$\text{following formula: } D(p) \cong \frac{1}{-p^2} \left[1 - \frac{r}{3f} \ln \left(\frac{-p^2}{m^2} \right) \right]^{-1}, \text{ i.e., apart from the normal pole at } p^2 = 0$$

the photon propagator has "ghost pole" at $p^2 = -m^2 e^{\frac{3f}{r}}$. In accordance with the foregoing principles of QFT, such a pole corresponds to a particle with a 'negative squared mass' (!) Such particles have never been observed experimentally, and their very existence contradicts the basic principles of particle physics. Landau pole cannot undo all the successes of QED, is very far from the energies attainable in experimental setups. Indeed, the value of 'Landau mass' according to the above formula is $M_L = 10^{28} m$, while the energy of the particles that can be achieved in the most modern plants do not exceed 10^7 . Therefore, the effect of such a remote pole is negligible. But it exists, and it can not be ignored, especially since studies later confirmed the existence of such poles and in other models of QFT. There arose a *dual* and a *strange situation*. On the one

hand, calculations based on perturbation theory described well the experimental data and the predictions of QED were always confirmed experimentally. On the other hand, QED was internally inconsistent, as contained in the statement of magnitude, the existence of which is contrary to the basic principles of the theory. This inner contradiction was inherent and other models of QFT, including models, claiming at the time to describe strong interactions.

Landau himself assessed the situation very pessimistic and made a very definitive conclusion: "Operators containing unobservable information should disappear from the theory; and because the Hamiltonian can be built only from the operators, we need to come to the conclusion that the Hamiltonian method for strong interactions outlived its usefulness and should be buried, of course, with all the respect it deserves". In fact, Landau completely abandons the concept of quantized fields in the describing of the interaction of high-energy particles. Instead, he proposed the creation of a new theory, which uses only the scattering amplitude and their analytic continuation. But the heroic efforts of many theorists to create this kind of theory, taken in the following years, unfortunately, yielded modest results. It turned out that the information contained in the field operators and compiled out of Lagrangians and Hamiltonians, replace virtually nothing. Remained the other way - to try to solve the problem within the framework of the QFT. But Vladimir Fainberg from Lebedev Physical Institute (Moscow), listened to the personal word of Landau, "such non-physical poles must be reduced counter non-physical pole, in the summation of infinite number of Feynman diagrams. Is reasonable: appropriate to look for a new nonperturbative approach!, i.e., a new method for summing Feynman diagrams, necessary!

A widespread opinion is formulated as a triviality of the quantum field models that is not asymptotically free in the sense of the improved coupling constant perturbative expansion. There is a rigorous theorem that the four-dimensional scalar field theory with ϕ^4 interaction on the lattice does not have an interacting continuum theory as its limit for zero lattice spacing, i.e. the theory is trivial. However, this argument is not fully conclusive due to an uncertainty of the continuous limit in this model. In our day the situation with triviality of ϕ^4 theory is vague as before, and recent papers in this topic maintain incompatible statements. So that in the models without asymptotic freedom the asymptotic short-distance region of strong coupling (exactly, concerning to weak coupling) is the difficultly at investigation, therefore a standard non-perturbative methods are too tethered to the weak-coupling region and not in full enough meaning to describes a short-distances for these models. Promising method for solving of problems for large momenta (or, short distances) demonstrated in works by Rochev [2]. It is new approximation in this directing and based on iteration scheme of solution of the Schwinger-Dyson equation (SDEs) with the fermion bilocal source. The present version of this method based on a system of SDEs for the single-particle and two-particle Greens functions. For standard QFT procedure, which is the beyond our knowledge, we will to investigate the following nonlinear second order Volterra-type integral equation for amplitude (for detail mathematical foundation, see [2]):

$$\frac{1}{y(t)} = \frac{1}{g} + l(t) + \int_0^t \bar{K}(t, \dagger) y(\dagger) d\dagger \quad (1)$$

2. Numerical realization. For getting of the standard nonlinear second order Volterra-type integral equation in the form of Urysohn [3] make the following change,

$$\frac{1}{y(t)} = u(t). \quad (2)$$

Then we get

$$u(t) = \int_0^t K(t, \tau, u(\tau)) d\tau + f(t) \quad (3)$$

on the segment $0 \leq t \leq T$, where $K(t, \tau, u(\tau)) = \frac{\bar{K}(t, \tau)}{u(\tau)}$ and $f(t) = \frac{1}{g} + l(t)$. (3)

$u(0) = f(0)$. From (3) it is seen that $u(0) = f(0)$. Then for every $n > 1$ integer define a constant integration step $h = \frac{T}{n-1}$ and consider a discrete set $t_i = h(i-1)$, where $i = 1, 2, \dots, n$. It's obvious that $t_1 = 0, t_n = T$. At the points of $t = t_i$, the equation (3) takes the form

$$u(t_i) = \int_0^{t_i} K(t_i, \tau, u(\tau)) d\tau + f(t_i). \quad (4)$$

To obtain an explicit formula for the solution of the recurrence to find $u_i = u(t_i)$, the integral in the expression (4) using a quadrature formula of rectangles [4] on the segments $[t_j, t_{j+1}]$ with the selection of the value of the function at the left end $t = t_j$. Then we have

$$\int_0^{t_i} K(t_i, \tau, u(\tau)) d\tau \approx \sum_{j=2}^i A_{ij} K(t_i, \tau_j, u_{j-1}) \quad (5)$$

Label $f_i = f(t_i)$ and using (5) as in [3] we obtain the relation of recursion formulas

$$\begin{aligned} u_1 &= f_1, \\ u_i &= \sum_{j=2}^i A_{ij} K(t_i, \tau_j, u_{j-1}) + f_i, \quad i = 2, 3, \dots, n \end{aligned} \quad (6)$$

Further, from (6) we obtain the solution of equation (1)

$$y_i = \frac{1}{u_i}, \quad i = 1, 2, \dots, n$$

Example. Let some constant g , and the function $\bar{K}(t, \tau)$ and $l(t)$ are set as follows

$$\begin{aligned} \bar{K}(t, \tau) &= \frac{\tau}{t} - 1 + \frac{1}{t} \log \frac{1+t}{1+\tau} + \tau \log \frac{t(1+\tau)}{\tau(1+t)}, \\ l(t) &= \left(\frac{g}{2} - 1\right) \log(1+t) + (1-g) \left(1 - \frac{1}{t} \log(1+t)\right). \end{aligned}$$

By setting different values g, T and n we obtain approximate solutions whose graphs are shown below.

3. Conclusion. By decreasing the values of g , Landau "point" m_L slowly increases (see Fig.1) and in terms of lower than $g=0.99$, the situation doubles (!) (see Fig.2) for Landau pole,

diqqətli oluna bilmir. Belə ki, S. Flugge $l=0$ halında Vud-Sakson potensialı sahəində radial redinger tənliyini analitik həll edərək dalğa funksiyası üçün diqqətli ifadə almış, lakin enerjinin məxsusi qiymətini rəqəmsal üsullarla müəyyən etmişdir [1]. Vud-Sakson potensialı [2] -in mühüm yaxınlaşdırma potensialı olub, nüvə hissəciklər fizikasında, atom fizikasında, materiallar və kimya fizikasında müxtəlif problemlər tədqiq edilmişdir.

diqqətli Vud-Sakson potensialı sahəində ixtiyari l halı üçün mərkəz qaçma potensialına təkmilləşdirilmiş yaxınlaşdırma sxeminin köməyi ilə D - ölçülü radial redinger tənliyini analitik həll edilmiş, enerjinin məxsusi qiymətini vətənlərə uyğun məxsusi funksiyaları müəyyən olunmuşdur. Hesablamalar ixtiyari l halında effektiv $V_{eff}(r)$ potensialın $r = r_{min}$ minimum nöqtəsi ətrafında müəyyən olunan C_0, C_1, C_2 approksimasiya parametrləri əsasında $V_l(r)$ mərkəz qaçma potensialına Pekeris yaxınlaşdırma tədqiq etməklə Polinom metodunun [1,3] köməyi ilə aparılmışdır.

Sferik simmetrik $V(r)$ potensial sahəində D -ölçülü radial redinger tənliyi aşağıdakı kimidir [4]:

$$\frac{d^2 R_{nl}(r)}{dr^2} + \frac{2}{r} \frac{dR_{nl}(r)}{dr} + \frac{2}{\hbar^2} \left[E_{nl} - V(r) - \frac{\hbar^2 l(l+D-2)}{2r^2} \right] R_{nl}(r) = 0, \quad (0 \leq r < \infty) \quad (1)$$

burada l - orbital kvant ədədi, \sim - sistemin gətirilmiş kütləsidir.

Yeni $u_{nl}(r) = r^{\frac{D-1}{2}} R_{nl}(r)$ funksiyası üçün (1) tənliyi

$$\frac{d^2 u_{nl}(r)}{dr^2} + \frac{2}{\hbar^2} [E_{nl} - V_{eff}(r)] u_{nl}(r) = 0, \quad (2)$$

burada $V_{eff}(r) = V(r) + \frac{\hbar^2 \tilde{l}(\tilde{l}+1)}{2r^2}$ - effektiv potensialı və $\tilde{l} = l + \frac{D-3}{2}$ -dir.

Sferik simmetrik standart Vud-Sakson potensialı [2]

$$V(r) = - \frac{V_0}{1 + e^{-\frac{r-R_0}{a}}} \quad (a \ll R_0) \quad (3)$$

klidədir, burada V_0 - potensial çuxurun dərinliyi, R_0 - potensialın eni və nüvənin radiusu, a - parametri sərbəst bəqəsinin qalınlığı və ν , ionlaşdırma enerjisinin təcrübə qiyməti ilə müəyyən olunur. $a=0$ olduqda nüvə sərbəst potensialın sıçraması ilə o sadə potensial çuxura çevrilir.

Vud-Sakson potensialı sahəində $\tilde{l} \neq 0$ qiymətində (3) tənliyini analitik həll etməklə mümkün deyil, buna səbəb olan effektiv $V_{eff}(r)$ potensialın orbital mərkəz qaçma $V_l(r) = \frac{\hbar^2 \tilde{l}(\tilde{l}+1)}{2r^2}$

potensialıdır. Yeni adsız $x = \frac{r-R_0}{R_0}$ dəyişini daxil edib, $r = R_0(1+x)$ və orbital mərkəz qaçma

$V_l(r)$ potensialını effektiv $V_{eff}(r)$ potensialının ekstremum nöqtəsi, yəni

$$\frac{r V_0 e^{rx}}{(1 + e^{rx})^2} = \frac{\hbar^2 \tilde{l}(\tilde{l} + 1)}{2 - R_0^2} \cdot \frac{2}{(1 + x)^3} \quad (4)$$

transendent tənliyini ödəyən $x = x_{\min}$ ($r = r_{\min}$) minimum nöqtəsi tərafında Teylor sırasına ayıraraq:

$$V_l(r) = \frac{\hbar^2 \tilde{l}(\tilde{l} + 1)}{2 - r^2} = \frac{\hbar^2 \tilde{l}(\tilde{l} + 1)}{2 - R_0^2} \cdot \frac{\tilde{u}}{(1 + x)^2} = \tilde{u} \left[\frac{1}{(1 + x_l)^2} - \frac{2}{(1 + x_l)^3} \cdot (x - x_l) + \right. \\ \left. + \frac{3}{(1 + x_l)^3} \cdot (x - x_l)^2 + o((x - x_l)^3) \right] \quad (5)$$

(4) tənliyinin həlli l orbital kvant ədədindən asılı olduğu üçün $x_{\min} = x_l$ olur. Pekeris təqribatına görə $V_l(r)$ potensialı aşağıdakı kimi götürülür [5-7]:

$$\tilde{V}_l(r) = \tilde{u} \left(C_0 + \frac{C_1}{1 + e^{rx}} + \frac{C_2}{(1 + e^{rx})^2} \right), \quad (6)$$

burada $r = R_0/a$ və $\tilde{u} = \frac{\hbar^2 \tilde{l}(\tilde{l} + 1)}{2 - R_0^2}$ -dir. $\tilde{V}_l(r)$ orbital mərkəz qaçma potensialını effektiv $V_{eff}(r)$ potensialının $x = x_{\min} = x_l$ ($r = r_{\min} = r_l$) minimum nöqtəsi tərafında Teylor sırasına ayıraraq, onun (5) ifadəsində x -in uyğun dəyərlərinin müqayisəsindən C_0, C_1, C_2 sabitləri üçün alırıq:

$$\begin{cases} C_0 = \frac{1}{(1 + x_l)^2} + \frac{(1 + e^{rx_l})^2}{r e^{rx_l} (1 + x_l)^3} \left[\frac{e^{-rx_l} - 3}{1 + e^{rx_l}} + \frac{3e^{-rx_l}}{r(1 + x_l)} \right] \\ C_1 = \frac{2(1 + e^{rx_l})^2}{r e^{rx_l} (1 + x_l)^3} \left[2 - e^{-rx_l} - \frac{3(1 + e^{-rx_l})}{r(1 + x_l)} \right] \\ C_2 = \frac{(1 + e^{rx_l})^3}{r e^{rx_l} (1 + x_l)^3} \left[e^{-rx_l} - 1 + \frac{3(1 + e^{-rx_l})}{r(1 + x_l)} \right] \end{cases} \quad (7)$$

Beləliklə, yeni effektiv potensial üçün alırıq:

$$\tilde{V}_{eff}(r) = V_{WS}(r) + \tilde{V}_l(r) = K_0 - \frac{K_1}{1 + e^{\frac{r-R_0}{a}}} + \frac{K_2}{\left(1 + e^{\frac{r-R_0}{a}}\right)^2}, \quad (8)$$

burada $K_0 = \tilde{u}C_0$, $K_1 = V_0 - \tilde{u}C_1$, $K_2 = \tilde{u}C_2$ -dir. Pekeris təqribatına əsasən (2) tənliyində $V_{eff}(r)$ yerinə $\tilde{V}_{eff}(r)$ yazsaq, alırıq:

$$\frac{d^2 u_{nl}(r)}{dr^2} + \frac{2\mu}{\hbar^2} \left[E_{nl} - K_0 + \frac{K_1}{1 + e^{-\frac{r-R_0}{a}}} - \frac{K_2}{\left(1 + e^{-\frac{r-R_0}{a}}\right)^2} \right] u_{nl}(r) = 0. \quad (9)$$

(9) tənliyində yeni $z = \left(1 + e^{-\frac{r-R_0}{a}}\right)^{-1}$ dəyişinin keçib, ölçüsüz $v^2 = -\frac{2\mu a^2(E - K_0)}{\hbar^2} > 0$, $s^2 = \frac{2\mu a^2 K_1}{\hbar^2} > 0$, $x^2 = \frac{2\mu a^2 K_2}{\hbar^2} > 0$ parametrləri arasında (9) tənliyi aşağıdakı kəldürlə:

$$u''(z) + \frac{1-2z}{z(1-z)} u'(z) + \frac{-v^2 + s^2 z - x^2 z^2}{(z(1-z))^2} u(z) = 0, \quad (0 \leq z \leq 1). \quad (10)$$

(10) tənliyin həlli $z \rightarrow 0$ və $z \rightarrow 1$ limitində sıfıra yaxınlaşır, yəni $u(z) \rightarrow 0$. Asimptotik dalğa funksiyası $z^g(1-z)^y$ olduğundan radial $u_{n,l}(z)$ dalğa funksiyasını aşağıdakı kəldəxtərayaq:

$$u_{n,l}(z) = z^g(1-z)^y f_{n,l}(z). \quad (11)$$

Bu həlli (10) tənliyində yerinə yazsaq, alırıq:

$$z(1-z)f''(z) + (1+2g-2(1+g+y)z)f'(z) + \frac{g^2 - v^2 - (2g^2 + g + 2gy + y - s^2)z + (g^2 + g + 2gy + y^2 + y - x^2)z^2}{z(1-z)} f(z) = 0. \quad (12)$$

g və y $g^2 - v^2 = 0$ və $g^2 + g + 2gy + y^2 + y - x^2 = 2g^2 + g + 2gy + y - s^2$ götürsək, onda dalğa funksiyasının sonlu olması üçün g və y parametrləri üçün tapırıq:

$$g = v > 0, \quad y = \sqrt{v^2 - s^2 + x^2} > 0. \quad (13)$$

(13) münasib tənliyi (12) tənliyində nəzərə alsaq, nəticədə aşağıdakı hiperhəndəsətlik

$$z(1-z)f''(z) + (2v+1-(2v+2y+2)z)f'(z) - [(v+y)^2 + v+y-x^2]f(z) = 0. \quad (14)$$

alınır. Bu tənliyin həlli hiperhəndəsətlik funksiyadır [37], yəni

$$f(z) = {}_2F_1(a, b, c, z), \quad (15)$$

burada $a = v + y + \frac{1 \mp \sqrt{1+4x^2}}{2}$, $b = v + y + \frac{1 \pm \sqrt{1+4x^2}}{2}$, $c = 2v + 1$. Beləliklə, (10) tənliyin həlli

$$u_{n,l}(z) = z^v(1-z)^y {}_2F_1(a, b, c, z) \quad (16)$$

olar. Aşağıdakı münasibətləri istifadə edərək [37],

$${}_2F_1(a, b, c; z) = \frac{\Gamma(c)\Gamma(c-a-b)}{\Gamma(c-a)\Gamma(c-b)} {}_2F_1(a, b, a+b-c+1; 1-z) + \frac{\Gamma(c)\Gamma(a+b-c)}{\Gamma(a)\Gamma(b)} (1-z)^{c-a-b} {}_2F_1(c-a, c-b, c-a-b+1; 1-z)$$

$z=1$ nöqtəsi ətrafında tənliyin həllini araşdırsaq, alırıq: $e^{\frac{2yR_0}{a}} \frac{\Gamma(c)\Gamma(a+b-c)}{\Gamma(a)\Gamma(b)} = 0$. $c = 2\nu + 1 > 0$,

$a + b - c = 2\gamma > 0$ şərti ilə $\Gamma(c) \neq 0$, $\Gamma(a+b-c) \neq 0$ olduqundan $\frac{1}{X(a)} = 0$ və ya $\frac{1}{X(b)} = 0$.

Buradan $\Gamma(a) = \infty$ və ya $\Gamma(b) = \infty$ olar. Nəticədə, tapırıq: $a = -n_r$ və ya $b = -n_r$. Beləliklə,

$$\nu + \sqrt{\nu^2 - S^2 + X^2} + \frac{1 \mp \sqrt{1 + 4X^2}}{2} = -n_r \quad (17)$$

olur, burada n_r radial kvant ədədidir ($n_r = 0, 1, 2, \dots$). (17) münasibətindən alırıq:

$$\nu + \sqrt{\nu^2 - S^2 + X^2} = n', \quad (18)$$

burada

$$n' = \frac{\sqrt{1 + 4X^2} - 1}{2} - n_r. \quad (19)$$

Beləliklə, (18) münasibətindən ν üçün tapırıq:

$$\nu = \frac{1}{2} \left(n' + \frac{S^2 - X^2}{n'} \right). \quad (20)$$

laqli halların $-V_0 < E < 0$ və dalğa funksiyasının sonlu olması şərtlərindən $\nu > 0$ və $\nu^2 - S^2 + X^2 > 0$ alınır. Buradan $n' > 0$ və $S^2 - X^2 > -n'^2$ olur. Beləliklə, (4) və (19) münasibətlərindən aşağıdakı bərabərsizlikləri alırıq:

$$0 \leq n_r < \frac{1}{2} \left(\sqrt{1 + \frac{8 - a^2 K_2}{\hbar^2}} - 1 \right), \quad (21)$$

$$V_0 R_0^3 \geq \frac{4\hbar^2 \tilde{l} (\tilde{l} + 1) a}{\sim}. \quad (22)$$

ν, S, X və n' -nin ifadələrini (20)-də yerinə yazsaq, $E_{n,l}$ enerjinin məxsusi qiyməti üçün aşağıdakı münasibətləri alırıq:

$$E_{n,l} = K_0 - \frac{K_1 - K_2}{2} - \frac{\hbar^2}{32\tilde{a}^2} \left(\sqrt{1 + \frac{8\tilde{a}^2 K_2}{\hbar^2}} - 2n_r - 1 \right)^2 - \frac{\frac{2\tilde{a}^2}{\hbar^2} (K_1 - K_2)^2}{\left(\sqrt{1 + \frac{8\tilde{a}^2 K_2}{\hbar^2}} - 2n_r - 1 \right)^2}. \quad (23)$$

g r (21), v (22) v $-V_0 < E < 0$ b rab rsiizlikli ri öd nirl rs , laq li hallar mövcud olur. Dem li, (23) enerji spektri m hduddur, y ni enerjinin m xsusi qiym tli ri sonlu saya malikdir. (21) b rab rsiizliyin sas n $D=3$ olduqda $l=0$ halı üçün sistemin laq li halları yoxdur. Çünki, bu halda (21) b rab rsiizliyi öd nmir, y ni $n_r < 0$ olur. Bu o dem kdir ki, impuls momentinin sıfır qiym tind standart Vud - Sakson potensialı üçün redinger t nliyinin laq li halları olmur. $D > 3$ olduqda, $l=0$ halında sistemin laq li halları vardır. (23) v $K_0 = \tilde{u}C_0$, $K_1 = V_0 - \tilde{u}C_1$, $K_2 = \tilde{u}C_2$ ifad l rind n görünür ki, enerjinin m xsusi qiym ti potensialın V_0 d rinliyind n, potensialın R_0 enind n, s thin a qalınlı ndan v D parametrind n asılıdır. Enerjinin h r hansı m xsusi qiym ti $-V_0$ - dan kiçik olmamalıdır, y ni $-V_0 < E < 0$. l orbital kvant d dinin verilmi qiym tind (22) b rab rsiizliyin sas n potensial çuxurun d rinliyi V_0 azaldıqda a parametri azalır, amma R_0 parametri artır v ksin .

$$\text{Bel likl , } a = v + y + \frac{1 - \sqrt{1 + 4x^2}}{2} = -n_r, \quad b = v + y + \frac{1 + \sqrt{1 + 4x^2}}{2} = 2v + 2y + 1 + n_r, \quad c = 2v + 1$$

sas n $u_{nl}(z)$ - radial dal a funksiyası üçün taparıq:

$$u_{n,l}(z) = C_{n,l} z^v (1-z)^{\sqrt{v^2 - s^2 + x^2}} {}_2F_1(-n_r, 2v + 2y + 1 + n_r, 2v + 1, z), \quad (24)$$

burada $C_{n,l}$ normalla ma sabitidir v ortoqonallıq

$$\int_0^{\infty} |R_{nl}(r)|^2 r^{D-1} dr = \int_0^{\infty} |u_{nl}(r)|^2 r^{D-1} dr = a \int_0^{\infty} \frac{|u_{nl}(z)|^2}{z(1-z)} dz = 1 \quad (25)$$

rtind n t yin olunur.

D BIYYAT

1. S. Flügge, Practical Quantum Mechanics, vol. 1 (Springer, Berlin, 1994).
2. C.L. Pekeris, Phys. Rev. **45** (1934) 98.
3. W. Greiner, Quantum Mechanics (Springer, Berlin, 2001).
4. J. Avery, Hyperspherical Harmonics. Applications to Quantum Theory (Kluwer, Dordrecht, 1989).
5. V.H. Badalov, H.I. Ahmadov and S.V. Badalov, News of Baku University, **2** (2008) 157.
6. V.H. Badalov, H.I. Ahmadov and A.I. Ahmadov, Int.J.Mod.Phys. E **18** (2009) 631.
7. V.H. Badalov, H.I. Ahmadov and S.V. Badalov, Int.J.Mod.Phys. E **19** (2010) 1463.

**SINGULAR BEHAVIOUR OF THE LAPLACE
OPERATOR IN SPHERICAL COORDINATES**

Anzor A. Khelashvili^{1,2}

¹*Institute of High Energy Physics, Iv. Javakishvili Tbilisi State University, Tbilisi, Georgia*

²*St. Andrea the First-called Georgian University of Patriarchy of Georgia, Tbilisi, Georgia*

anzor.khelashvili@hotmail.com

Singular behaviour of the Laplace operator in spherical coordinates is investigated. It is shown that in course of transition to the reduced radial wave function in the Schrodinger equation there appears additional term containing the Dirac delta function, which was unnoted during the full history of Physics and mathematics. The possibility of avoiding this contribution from the reduced radial equation is discussed. It is demonstrated that for this aim the necessary and sufficient condition is a requirement of the fast enough falling of the wave function at the origin. The result does not depend on character of potential – is it regular or singular

INTRODUCTION

This talk is prepared in collaboration with *Teimuraz Nadareishvili*, fellow of High Energy Physics Institute of Tbilisi State University.

The aim of this talk is to survey the singular behaviour of the Laplacian in spherical coordinates. Laplacian is encountered almost in all disciplines of Theoretical physics as well as in mathematical physics. In this article our attention is paid mostly to the Schrodinger equation.

In spherical coordinates after separation of angular variables following two forms of radial equations are used in practice

$$-\frac{1}{2m} \left[\frac{d^2}{dr^2} + \frac{2}{r} \frac{d}{dr} \right] R(r) + \frac{l(l+1)}{2mr^2} R(r) + V(r) R(r) = ER(r) \quad (1)$$

or

$$\left[-\frac{1}{2m} \frac{d^2}{dr^2} + \frac{l(l+1)}{2mr^2} + V(r) \right] u(r) = Eu(r) \quad u(r) = rR(r) \quad (2)$$

All of this is well known from the classical textbooks on quantum mechanics, electrodynamics and etc. We display them here for further practical purposes. It will be shown below that the status of the Eq.(2) is problematic.

From both mathematical and physical points of view it is very important that the solutions of radial equations were compatible with the full Schrodinger equation. This is verbally mentioned in books, not only earlier [1,2], but also in the modern ones [3]. For example, P.Dirac [1] wrote: “Our equations ... strictly speaking, are not correct, but the error is restricted by only one point $r = 0$. It is necessary perform a special investigation of solutions of wave equations, that are derived by using the polar coordinates, to be convince are they valid in the point $r = 0$ (p.161)”.

We are sure that mathematicians knew about this problem (singularity of the Laplacian) for a long time, but character of singularity never been specified. It was always underlined in mathematics that $r > 0$ strictly, but $r = 0$ is not somehow prominent point for the 3-dimensional equation. Therefore refinement of the behaviour of the radial wave function at that point has a basic meaning by our opinion.

The first papers [4-7] on this problem appeared recently almost in parallel.

To complete the picture we first discuss briefly the essence of this problem and then some of its applications will be considered.

In the teaching books and scientific articles two methods were applied in the transition from Eq. (1) to Eq. (2):

1. Substitution

$$R(r) = \frac{u(r)}{r} \quad (3)$$

into the Eq. (1) and

2. Replacement of the differential expression in the parenthesis of Eq. (1) as [8-10]^{*)}

$$\left[\frac{d^2}{dr^2} + \frac{2}{r} \frac{d}{dr} \right] \rightarrow \frac{1}{r} \frac{d^2}{dr^2} (r \cdot) \quad (4)$$

We demonstrate below that in both cases the mistakes were made.

^{*)}In the fundamental book of J.D.Jackson [10] this relation is even exhibited on the cover-page in the list of the most fundamental forms!

Because all the principle information is concentrated in the Laplacian, we begin by consideration the classical Laplace equation in the vacuum (electrostatic equation)

1. THE LAPLACE EQUATION

Let us consider the Laplace equation in vacuum

$$\nabla^2 w(\mathbf{r}) = 0 \quad (5)$$

This equation may be solved simply by separation of variables. The solution has the form [10]

$$\{ (x, y, z) = e^{\pm irx} e^{\pm isy} e^{\pm \sqrt{r^2 + s^2} z} \quad (6)$$

Clearly the solution is regular everywhere and at the origin is constant

$$\{ (0) = const \quad (7)$$

There are another forms of solution of Eq.(5) depending on alternate ways of separation, but all of them gives the constant values at the origin.

Now, let us find the spherically symmetric solution. The corresponding equation is written as [8]

$$\left(\frac{d^2}{dr^2} + \frac{2}{r} \frac{d}{dr} \right) \{ (r) = 0 \quad (8)$$

The operator in parenthesis of Eq. (8) often is rewritten ([8], Ch.20, [9] etc.) according to (4) and, subsequently, equation (8) takes the form

$$\frac{1}{r} \frac{d^2}{dr^2} (r \{) = 0, \quad (9)$$

the solution of which is

$$u(r) \equiv r\zeta = ar + b \quad (10)$$

But, determining from here the function

$$\zeta = a + \frac{b}{r} \quad (11)$$

does not obey to Eq. (8), because

$$\left(\frac{d^2}{dr^2} + \frac{2}{r} \frac{d}{dr} \right) \left(\frac{1}{r} \right) = -4f u^{(3)}(\mathbf{r}) \quad (12)$$

i.e. the function (11) is the solution everywhere except the origin of coordinates. It does not satisfy to the boundary value (7) as well.

What happens? *It seems that we made an illegal action somewhere (see, Feynmann [8]).*

It is possible to consider this problem by another way also, namely, following to the substitution (3), take

$$\zeta(r) = \frac{u(r)}{r} \quad (13)$$

in order to remove the first derivative term from the Eq. (8). Then we obtain

$$\frac{1}{r} \left(\frac{d^2}{dr^2} + \frac{2}{r} \frac{d}{dr} \right) u(r) + u(r) \left(\frac{d^2}{dr^2} + \frac{2}{r} \frac{d}{dr} \right) \left(\frac{1}{r} \right) + 2 \frac{du}{dr} \frac{d}{dr} \left(\frac{1}{r} \right) = 0 \quad (14)$$

The last term cancels the first derivative term in the first parenthesis and there remains

$$\frac{1}{r} \frac{d^2 u}{dr^2} + u \left(\frac{d^2}{dr^2} + \frac{2}{r} \frac{d}{dr} \right) \left(\frac{1}{r} \right) = 0 \cdot \quad (15)$$

But, according to Eq. (18), it follows

$$\frac{1}{r} \frac{d^2 u}{dr^2} - 4f u^{(3)}(\mathbf{r}) u(r) = 0 \quad (16)$$

The appearance of the delta function is unexpected. Comparing this one with Eq. (13) we conclude that the representation of the Laplace operator in the form (4) is not valid *everywhere*. The correct form is [5, 7]

$$\frac{d^2}{dr^2} + \frac{2}{r} \frac{d}{dr} = \frac{1}{r} \frac{d^2}{dr^2} (r \cdot) - 4f u^{(3)}(\mathbf{r}) r \cdot \quad (17)$$

This expression defines the form of the Laplacian precisely everywhere including the origin of coordinates.

It is evident, that after substitutions

$$\left(\frac{d^2}{dr^2} + \frac{2}{r} \frac{d}{dr} \right) \zeta \Rightarrow \frac{1}{r} \frac{d^2}{dr^2} (r\zeta) \quad \text{and} \quad u = r\zeta \quad (18)$$

the solution $\zeta = u/r$, obtained from the equation (9), never satisfies to the initial equation (8) *everywhere*.

By unknown for us reasons this simple fact stayed unnoted and in all papers as well as in all books the expression (7) was used. As we made clear up above, in this case the obtained solution (11) looks like if there is a point source at the origin. However it is not so – mathematical reason is that in spherical coordinates the point $r = 0$ is absent. The Jacobian of transformation to spherical coordinates has a form $J = r^2 \sin \theta$ and is singular at points $r = 0$ and $\theta = n\pi$ ($n = 0, 1, 2, \dots$).

Singularity in angles is eliminated by requirements of continuity and uniqueness, which lead to spherical harmonics $Y_l^m(\theta, \phi)$. As regards of the radial variable r , there is no such restriction for it. Therefore if we want to derive the solution valid everywhere, we are forced to include the delta function in the consideration.

It must be noted that the appearance of the delta function in the Laplace equation was discussed also in article [6], where the difference between spaces R^n and $R^n / \{0\}$ is studied from the positions of distribution theory.

The question is: *how to formulate the problem in such a way that to remain all results derived earlier for the central potentials with the aid of traditional reduced radial equation (2) containing the second derivative only?* One of the reasonable way is the following: Because in

spherical coordinates [11] $\Delta u(\vec{r}) = \frac{u(r)}{4f r^2}$, the Eq. (20) can be reduced to

$$r \frac{d^2 u}{dr^2} - u(r)u(r) = 0 \quad (19)$$

or

$$r \frac{d^2 u}{dr^2} - u(0)u(r) = 0 \quad (20)$$

Let us require that the additional term does not present, i.e.

$$u(0) = 0 \quad (21)$$

Moreover the delta function be “overcome” if at least

$$\lim_{r \rightarrow 0} u(r) \approx r \quad (22)$$

Then, owing to the relation $ru(r) = 0$, the extra term falls out and the standard equation (9) remains. Let us look at first what the condition (21) gives in above obtained solution, (10).

Requiring (21), it follows $b = 0$, i.e. $u = ar$ and $u'(r) = a = \text{const}$. Hence we obtain the correct, consisting with the full equation (5) value (7). It is consisting also with the real physical picture.

Therefore in the reduced radial equation (2) we must consider only such class of solutions, which vanish at the origin. All the other boundary conditions loss the physical meaning and have only mathematical interest. It is precisely the main result of this Section – the equation (2) gives the consistent with the primary equation in cartesian coordinates solution only if the restriction (21) is satisfied. Appearance of this condition is purely geometrical (not a dynamical) artefact. In short words, the Eq.(2) and the condition (21) appear simultaneously.

2. CONCLUSIONS

We have found a singularity like the Dirac delta function in process of reduction the Laplace equation in spherical polar coordinates, that was not mentioned earlier. The cornerstone in our consideration was a requirement of Dirac that the solution of the radial equation at the same time must be a solution of the full 3-dimensional equation.

On the basis of this observation we have proved that for removing this extra term from the radial equation it is necessary and sufficient to impose the reduced radial wave function by definite restriction, which has a form of the boundary condition at the origin, eq. (21). Moreover this condition is independent of whether the potential in the Schrodinger equation is regular or singular. The singular potential influences only the character of turning to zero the radial function at the origin.

The substitution (3) is convenient because the problem reduces to one dimensional one on the semi-axis.

Above described situation takes place in spaces with dimensions three and more. Therefore in all equations of mathematical physics, where the Laplacian is involved, after the separation of angular variables the singular solutions, generally speaking, would not be the solutions of the primary equations. It concerns e.g. to spherical Bessel functions – the spherical Neuman function is singular and is not the solution of the full problem.

REFERENCES

1. Dirac, P.M.A., *The Principles of quantum mechanics*: Second edition, Oxford at the Clarendon press, 1935.
2. Messiah, A., *Quantum Mechanics*: Vol 1, North-Holland Publishing Company, Amsterdam, 1961.
3. Rae, I.M., *Quantum Mechanics*: Fourth edition, IOP Publishing Ltd, Bristol and Philadelphia, 2002.
4. Khelashvili A and Nadareishvili T., *Am.J.Phys*, 2011, vol 79, 668; arXiv: 1009.2694v2
5. Khelashvili A and Nadareishvili T., *Bulletin of the Georgian National Academy of Sciences (Moambe)*, 2012, vol 6, 68; arXiv: 1102.1185v2
6. Cantelaube, Y and L. Khelif, L., *Journal of Mathematical Physics*, 2010, vol 51, 053518.
7. Cantelaube, Y., arXiv: 1203.0551
8. Feynman, R, Leighton, R and M. Sands, M., *The Feynman Lectures on Physics* vol 2, Addison-Wesley Publishing Company, Inc. Reading, Massachusetts, Palo Alto, London., 1964.
9. Weinberg, S., *Lectures on Quantum Mechanics*, Cambridge: Cambridge University Press, 2013.
10. Jackson, J. D., *Classical Electrodynamics*: Third Edition John Wiley & Sons, New York, 1999.
11. Blinder, M., *Am. J. Phys*, 2003, vol 71, 816.

ZAMANDAN ASILI XƏTTİ POTENSIAL ÜÇÜN REDİNGER

TƏNLƏYİNNƏN BƏZİ HƏLLƏR

M. Naıyev¹, A. Kazımova², K. Cəfərova¹

¹AMEA Fizika İnstitutu

²Gəncə Dövlət Universiteti

1. Giriş

Kvant nəzəriyyəsinin əsas məsələlərindən biri fiziki sistemlərin zamana görə evolyusiyasının tədqiqidir. Qeyri-stasionar hərəkət tənliklərinin dəqiq həllərinin qurulması böyük maraqa doğurur, çünki onlar kvant sistemlərinin zamana görə inkişafını təsvir edir və baxılan sistemi xarakteriz edən fiziki kəmiyyətlərin dəyişməsinə nədənsə köməklik verə bilər. Lakin yaxın məzəndür ki, zamandan asılı rediŋger tənliyinin dəqiq həlləri tapılan kvant sistemlərinin sayı çox deyildir. Zamandan asılı harmonik ossilyator və zamandan asılı xətti potensial modelləri dəqiq həllə olunan modellər yaxın misallardır. Bu modellər fizikanın müxtəlif sahələrində geniş tətbiqlər tapmaqdadır.

Məqsədimiz zamandan asılı xətti potensial üçün rediŋger tənliyinin bəzidəqiq həllərini tapmaq və onları araşdırmaqdır. Biz bunun üçün evolusiya operatoru metodundan istifadə edəcəyik. Qeyd edək ki, 30 ildən çoxdur ki, zamandan asılı xətti potensial üçün rediŋger tənliyinin analitik həlləri fiziklərin diqqətini cəlb etmişdir [1-7]. Zamandan asılı kvant sistemlərinin öyrənmək üçün bu ilrdə Lewis-Riesenfeld (LR) invariant metodundan [8], trayektoriyalar üzrə inteqral metodundan [9] və fəza-zaman çevirmələri metodundan [5] istifadə olunmuşdur. Nəticədə müstəvidalə tipli, Eyri paketi tipli [1, 5] və Qauss dalə paketi tipli [6] həlləri tapılmışdır.

Biz məlum həllərlə yanaşı məsələnin yeni həllərini məsələnin, ossilyator tipli həllərini də tapmışıq. Biz məsələni həm konfigurasiya fəzasında, həm də impuls fəzasında nə ümumi halda – zərriyyənin kütləsinin zamandan asılı oldu halda həllə etmişik.

2. Konfigurasiya fəzası

Zərriyyənin zamandan asılı xətti potensial sahədə hərəkətini təsvir edən rediŋger tənliyi belədir

$$i\hbar\partial_t\mathbb{E}(x,t) = \left[-\frac{\hbar^2}{2M(t)}\partial_x^2 - F(t)x \right] \mathbb{E}(x,t), \quad (2.1)$$

burada $M(t)$ -kütlə, $F(t)$ -qüvvədir. Onlar zamanın ixtiyari funksiyalarıdır. (2.1) tənliyinin həlli evolusiya operatoru $U(x,t)$ -nin köməyiylə tapıla bilər:

$$\mathbb{E}(x,t) = U(x,t)\mathbb{E}(x,0), \quad (2.2)$$

burada $\mathbb{E}(x,0)$ başlanğıc zamanında sistemin dalə funksiyasıdır. $U(x,t)$ operatorunun aqarkili [10] iŋd tapılmışdır:

$$U(x,t) = e^{\frac{ixu(t)}{\hbar}} e^{-\frac{i}{\hbar} \int_0^t \frac{1}{2M(t')} [-i\hbar\partial_x + u(t')]^2 dt'}, \quad (2.3)$$

burada $u(t) = \int_0^t F(t') dt'$. (2.3)-ü (2.2)-d yerini yazsaq, redinger t nliyinin həlləri üçün

$$\mathbb{E}(x, t) = e^{\frac{i}{\hbar}[xu(t) - S_0(t)]} e^{-S_1(t)\partial_x} e^{i\hbar S_2(t)\partial_x^2} \mathbb{E}(x, 0), \quad (2.4)$$

ümumi təsvirini alırıq, burada

$$S_0(t) = \int_0^t \frac{u^2(t')}{2M(t')} dt', \quad S_1(t) = \int_0^t \frac{u(t')}{M(t')} dt', \quad S_2(t) = \int_0^t \frac{dt'}{2M(t')}. \quad (2.5)$$

gər $\tilde{u}(t) = m$ götürsək

$$S_0(t) = \frac{u_2(t)}{2m}, \quad S_1(t) = \frac{u_1(t)}{m}, \quad S_2(t) = \frac{t}{2m}, \quad (2.6)$$

olar, burada $u_1(t) = \int_0^t u(t') dt'$ və $u_2(t) = \int_0^t u^2(t') dt'$.

Əndi (2.4) ifadəsində müxtəlif bənlərdə funksiyaları $\mathbb{E}(x, 0)$ seçərək, $t > 0$ zaman anları üçün müxtəlif $\mathbb{E}(x, t)$ bənlərdə funksiyaları qura bilərik. Misallara baxaq.

1) $\mathbb{E}(x, 0) = C = \text{const}$. Bu halda asanlıqla alırıq ki,

$$\mathbb{E}(x, t) = C e^{\frac{i}{\hbar}[xu(t) - S_0(t)]}. \quad (2.7)$$

Bu həll müstəvilərdə tipli həllərdir.

2) $\mathbb{E}(x, 0) = C e^{iAx}$, $C, A = \text{const}$. Bu halda tapırıq ki,

$$\mathbb{E}(x, t) = C e^{iA[x - S_1(t)]} e^{-i\hbar S_2(t)A^2} e^{\frac{i}{\hbar}[xu(t) - S_0(t)]}. \quad (2.8)$$

3) $\mathbb{E}(x, 0) = Ai(Bx)$, burada $Ai(x)$ - Eyrı funksiyası, B - istəyi sabitdir. Nəticə belədir:

$$\begin{aligned} \mathbb{E}(x, t) = e^{\frac{i}{\hbar}[xu(t) - S_0(t)]} e^{i\hbar S_2(t)B^3[x - S_1(t)] - \frac{2}{3}i\hbar^3 S_2^3(t)B^6} \cdot \\ \cdot Ai(B[x - S_1(t) - \hbar^2 S_2^2(t)B^3]). \end{aligned} \quad (2.9)$$

3. İmpuls fəzası

(2.1) redinger t nliyini impuls fəzasında yazsaq:

$$i\hbar \partial_t \Phi(p, t) = \left[\frac{p^2}{2M(t)} - i\hbar F(t) \partial_p \right] \Phi(p, t). \quad (3.1)$$

İmpuls fəzasında evolusiya operatoru sadəcəlik malikdir:

$$U(p, t) = e^{-\frac{i}{\hbar} \int_0^t \left[\frac{p'^2 - u(t) + u(t')}{2M(t')} dt' \right] e^{-u(t)\partial_p}}. \quad (3.2)$$

Əndi biz (3.1) t nliyinin simvolik həllini yaz bilərik:

$$\Phi(p,t) = e^{-\frac{i}{\hbar} \int_0^t \frac{[p-u(t)+u(t')]^2}{2M(t')} dt'} \Phi(p-u(t),0). \quad (3.3)$$

$\Phi(p,0)$ p -f zərflərində ixtiyari funksiyadır (bəzən 1c dal ə funksiyasıdır).

Misal olaraq Gauss tipli dal ə paketi \hbar lli tapanq. Bunun üçün bəzən 1c dal ə funksiyasını bel seç k:

$$\Phi(p,0) = (2\tau^2/f\hbar^2)^{1/4} \exp\left[-\frac{\tau^2(p-p_0)^2}{\hbar^2} - i\frac{(p-p_0)}{\hbar}x_0\right], \quad (3.4)$$

burada p_0 v x_0 baxılan kvant halında impulsun v koordinatın orta qiym tli ridir. Sad çevirm l rd n sonra Gauss tipli \hbar lli tapanq:

$$\begin{aligned} \Phi(p,t) = & (2\tau^2/f\hbar^2)^{1/4} \exp\left(-\frac{i}{\hbar} \int_0^t \frac{p_c^2(t')}{2M(t')} dt'\right) \exp\left(\frac{\tau^2(1+it/T(t))}{\hbar^2} [p-p_c(t)]^2\right) \times \\ & \times \exp\left(-\frac{i}{\hbar} [p-p_c(t)]x_c(t)\right), \end{aligned} \quad (3.5)$$

burada $p_c(t)$ v $x_c(t)$ funksiyaları a a ıdaki kimi t yin olunur:

$$p_c(t) = p_0 + u(t), \quad x_c(t) = x_0 + \int_0^t \frac{p_c(t')}{M(t')} dt'. \quad (3.6)$$

Burada

$$T(t) = \frac{\tau^2 t}{\hbar S_2(t)} = \frac{\tau^2 t}{\int_0^t \frac{dt'}{2M(t')}} \quad (3.7)$$

parametri Gauss dal ə paketi (3.5)-in da ılma müdd tinin zamandan asılı ölçüsüdür.

Konfigurasiya x -t svirind (3.5) dal ə funksiyası bel kil alır:

$$\begin{aligned} \mathbb{E}(x,t) = & \frac{1}{(f\hbar)^{1/4} \sqrt{\tau(1+it/T(t))}} \exp\left(-\frac{i}{\hbar} \int_0^t \frac{p_c^2(t')}{2M(t')} dt'\right) \exp\left(\frac{\tau^2(1+it/T(t))}{\hbar^2} [p-p_c(t)]^2\right) \times \\ & \times \exp\left(-\frac{[x-x_c(t)]^2}{4\tau^2(t)} + \frac{i}{\hbar} p_c(t)x\right), \end{aligned}$$

burada $\tau^2(t) = \tau^2(1+it/T(t))$.

4. Ossilyator tipli \hbar lli r

redinger t nliyi (2.1) -in sonlu sayda \hbar lli ri var. Bu paraqrafda biz onun ossilyator tipli \hbar lli rini tapaca ıq. Bunun üçün bəzən 1c dal ə funksiyasını bel seç k

$$\mathbb{E}_n(x,0) = c_n e^{-\frac{1}{2}\xi^2 x^2} H_n(\xi x), \quad \xi = \sqrt{mS/\hbar}, \quad (4.1)$$

Burada $H_n(x)$ - Ermit çoxhədlisidir və c_n - məsləhət normallaşdırma vuruğudur. Evolusiya operatorunun (4.1) - t sifətini hesablasaq, alırıq

$$\begin{aligned} \mathbb{E}(x,t) &= \frac{c_n}{\sqrt{v(t)}} \exp\left(\frac{v^*(t)}{v(t)}\right)^{n/2} \exp\left(\frac{i}{\hbar}[xu(t) - S_0(t)]\right) \times \\ &\times \exp\left(-\frac{\hbar^2[x - S_1(t)]^2}{2v(t)}\right) H_n\left(\frac{\hbar[x - S_1(t)]}{|v(t)|}\right). \end{aligned} \quad (4.2)$$

burada $v(t) = 1 + 2i\hbar \dot{S}_2(t)$ -i aralığa daxil edilmişdir. (4.2) həllərini uduşma və doşulma operatorlarının

$$\begin{aligned} a(t) &= \frac{1}{\sqrt{2}} \left(\hbar \hat{x}_1(t) + \frac{i v(t)}{\hbar} \hat{p}_1(t) \right), \\ a^+(t) &= \frac{1}{\sqrt{2}} \left(\hbar \hat{x}_1(t) - \frac{i v^*(t)}{\hbar} \hat{p}_1(t) \right). \end{aligned} \quad (4.3)$$

köməyində almaq olar, burada

$$\begin{aligned} \hat{x}_1(t) &= \hat{x} - S_1(t), \quad \hat{p}_1 = \hat{p} - u(t); \\ a(t)\mathbb{E}_n(x,t) &= \sqrt{n}\mathbb{E}_{n-1}(x,t), \quad a^+(t)\mathbb{E}_n(x,t) = \sqrt{n+1}\mathbb{E}_{n+1}(x,t). \end{aligned} \quad (4.4)$$

redingərt nliyi (2.1)-in ümumi həlli bütün $\mathbb{E}(x,t)$ -lərin superpozisiyası olacaqdır, yəni

$$\mathbb{E}(x,t) = \sum_n a_n \mathbb{E}_n(x,t), \quad (4.5)$$

burada a_n -ixtiyari sabit məsəllərdir.

5. Sərbəst zərriyənin potensial sahədə hərəkəti üçün zərriyə məsləhətli arasında unitar ekvivalentlik

redingərt nliyi (2.1) -i belə yazsaq:

$$\hat{S}_L \mathbb{E}_L(x,t) = 0, \quad \hat{S}_L = i\hbar \partial_t + \frac{\hbar^2}{2M(t)} \partial_x^2 - F(t)x. \quad (5.1)$$

Unitar çevirmə apararaq

$$\hat{S}_F(t) = U_1^{-1}(t) \hat{S}_L(t) U_1(t) = i\hbar \partial_t + \frac{\hbar^2}{2M(t)} \partial_x^2, \quad (5.2_a)$$

$$\mathbb{E}_F(x,t) = U_1^{-1}(t) \mathbb{E}_L(x,t). \quad (5.2_b)$$

Bu halda (5.1) t nliyi beləkil düzür:

$$\hat{S}_F(t) \mathbb{E}_F(x,t) = 0, \quad (5.3)$$

yəni biz sərbəst zərriçik üçün redinger tənliyini alırıq. Göstərmək olar ki, (5.2) tənliyini ödəyən unitar operator

$$U_1(t) = e^{\frac{i}{\hbar}[\chi U(t) - S_0(t)]} e^{-S_1(t)\partial_x} \quad (5.4)$$

klindir. Beləliklə, $U_1(t)$ -operatoru sərbəst redinger tənliyinin hər bir həllini xəttilə potensiallı redinger tənliyinin həllinə keçirir, $U_1^{-1}(t)$ -operatoru isə əks keçidi dəfə edir.

D B İYAT

1. M.V. Berry, N.L. Balazs, Am. J. Phys. **47** (1979) 264.
2. M.A. Gregorio, A.S. de Castro, Am. J. Phys. **52** (1984) 557.
3. V.V. Dodonov, V.I. Manko, O.V. Shakhmistova, Phys. Lett. **A102** (1984) 295.
4. I. Guedes, Phys. Rev. **A63** (2001) 034102.
5. M. Feng, Phys. Rev. **A64** (2002) 034101.
6. P.-G. Luan, C.-Sh. Tang, Phys. Rev. **A71** (2005) 014101.
7. H. Bekkar, F. Benamur, M. Maamache, Phys. Rev. **A68** (2003) 016101.
8. H.R. Lewis, W.B. Riesenfeld, J. Math. Phys. **10** (1969) 1458.
9. R. Feynman, A.R. Hibbs, Quantum mechanics and path integrals (McGraw-Hill, New York, 1965).
10. Sh.M. Nagiyev, K.Sh. Jafarova, Phys. Lett. **A377** (2013) 747.

ISING MODEL ON A 3-7 LATTICE: ORDER AND DISORDER

Viktor Urumov

Partenij Zografski 46, Skopje, Macedonia

v.urumov@gmail.com

The analytic solution of the model is obtained using the method of mapping. One observes ferromagnetic and antiferromagnetic phases, and the reentrance phenomenon. For a certain range of interaction parameters between nearest neighbors, as a result of geometrical frustration, the ground state is degenerate, but nevertheless the system exhibits phase transition at a finite critical temperature accompanied by coexistence of order and disorder.

INTRODUCTION

The model proposed by Lenz [1] to his student Ising [2] has an important place in the theory of phase transitions, as shown by the huge number of published papers accumulated over the years. The model has been applied to magnetic systems, lattice gas, binary alloys, systems with random interactions and random fields, and different types of lattices

with nearest and further neighbor interactions. An introductory guide to the literature in the field has been prepared by Tobochnik [3].

Geometrical frustration first appeared when the triangular lattice was considered [4]. The spin system is said to be frustrated if its minimum energy does not incorporate the minimum of

all local interactions of each pair of spins. In an elementary triangle with Ising spins with two possible orientations at each vertex, when the interaction is antiferromagnetic, all three bonds cannot be simultaneously in the state of lower energy.

ISING MODEL ON THE 3-7 LATTICE AND ITS TRANSFORMATION

The elementary plaquette of the lattice in the shape of a square is depicted in Fig. 1a. There are five internal sites, connected in the shape of bow tie and four at the corners of the square. The spin at each site can be in one of two possible states, denoted as upwards and downwards orientations, or plus and minus. The lattice has a structure similar to a chessboard pattern. Each plaquette is surrounded by four plaquettes, all of them rotated by 90° with respect to the one in the middle. This gives rise to heptagons from the elements of each pair of neighboring plaquettes. Hence the name 3-7 or bow tie lattice. The Cairo lattice has a similar structure, containing only pentagons [5, 6]. There are sites with two different coordination numbers, three and four. Only pair interactions between nearest neighbors are assumed, with an interaction strength, J , J_1 , or J_2 , depending on the type of bond (Fig. 1a). The contribution to the Hamiltonian of the system from each elementary plaquette is given by

$$H = -J(s_1s_2 + s_3s_4) - J(s_1\uparrow_1 + s_2\uparrow_2 + s_3\uparrow_3 + s_4\uparrow_4). \quad (1)$$

There are several ways to proceed. It can be verified that the partial summation in the partition function leads to a system that satisfies the free fermion condition [7] and subsequently to an equation for the critical temperature. Another method is to use star-triangle and dedecoration transformations [8] to map the model to the centered square lattice with nearest and next-nearest neighbor diagonal noncrossing interactions solved by Vaks et al. [9]. It is simpler to achieve the mapping to the above mentioned lattice by using the general transformation [10]. Thus, summation over all possible orientations of the internal spins of an elementary plaquette and the subsequent identity in Eq. 2, provide the effective interactions $P(K, K_1, K_2)$ and $Q(K, K_1, K_2)$ of the centered square lattice (Fig. 1b)

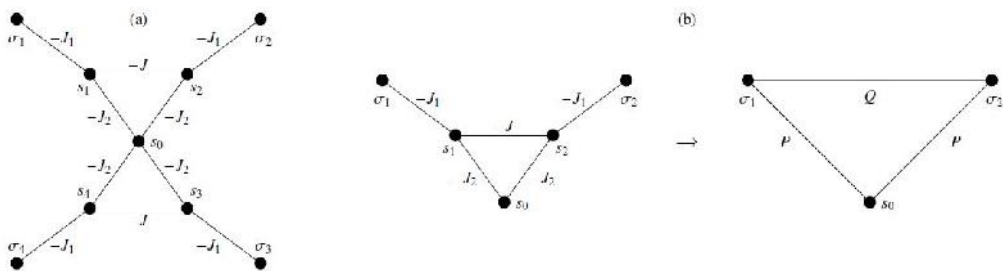


Fig. 1. (a) Elementary plaquette of 3-7 lattice, (b) Transformation by elimination of the internal spin variables s_1 and s_2 .

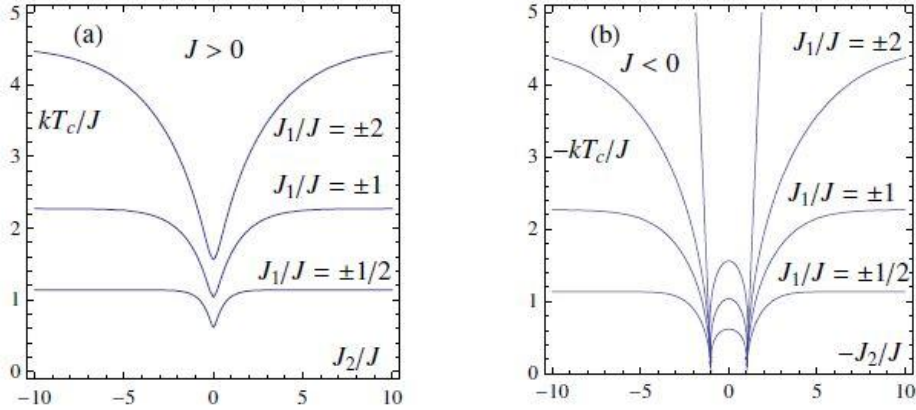


Fig. 2. Critical temperature as a function of J_2/J for several values of J_1/J : (a) $J > 0$, (b) $J < 0$. The slightly inclined lines are the asymptotes in the limit $T_c \rightarrow 0$ indicating reentrance in a tiny interval.

$$\begin{aligned} \sum_{s_1, s_2} \exp(-H/kT) &= \sum_{s_1, s_2} \exp[Ks_1s_2 + K_1s_0(s_1 + s_2) + K_2(s_1\uparrow_1 + s_2\uparrow_2)] = \\ &= A \exp[Ps_0(\uparrow_1 + \uparrow_2) + Q\uparrow_1\uparrow_2], \end{aligned} \quad (2)$$

where

$$\exp(4P) = [\exp(-K) + \exp \cosh 2(K_1 + K_2)] / [\exp(-K) + \exp \cosh 2(K_1 - K_2)], \quad (3)$$

$$\begin{aligned} \exp(4Q) &= [\exp(K) + \exp \cosh 2(K_1 + K_2)] \times \\ &[\exp(-K) + \exp \cosh 2(K_1 - K_2)] / [\exp K \cosh 2K_1 + \exp(-K) \cosh 2K_2]^2 \end{aligned} \quad (4)$$

$$\begin{aligned} A^4 &= \\ &= 16 [\exp(-K) + \exp \cosh 2(K_1 + K_2)] [\exp(-K) + \exp \cosh 2(K_1 - K_2)] \times \\ &[\exp K \cosh 2K_1 + \exp(-K) \cosh 2K_2]^2 \end{aligned} \quad (5)$$

$K = J/kT$, $K_1 = J_1/kT$, $K_2 = J_2/kT$, k is the Boltzmann constant and T is the absolute temperature. Here A represents a factor contributed to the partition function from each elementary plaquette. The effective interaction $P(K, K_1, K_2)$ is even function of K_1 and K_2 , while $Q(K, K_1, K_2)$ is odd function of the same arguments. Therefore $P(K, -K_1, -K_2) = P(K, K_1, K_2)$ and $Q(K, -K_1, -K_2) = -Q(K, K_1, K_2)$, and the space of parameters to be examined can be reduced to $J_1 > 0$ or $J_2 > 0$.

CRITICAL TEMPERATURE

There are two equivalent ways for determination of the critical temperature. In the first case it can be obtained from one or both of the following two equations [9]

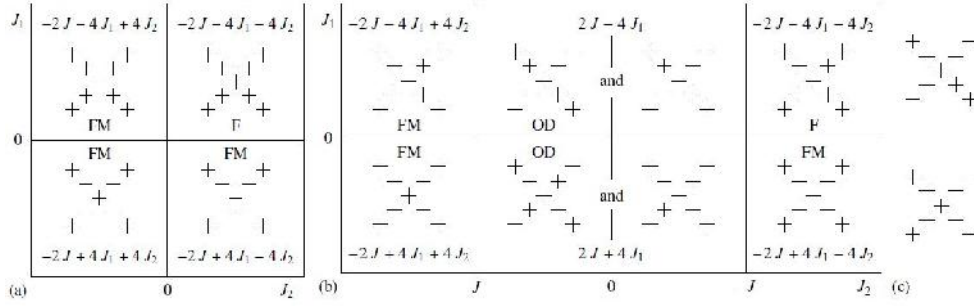


Fig. 3. Ground state energy and spin orientations of the elementary plaquette: ((a) $J > 0$, (b) $J < 0$, (c) two basic ground states when $J < 0$ and $|J_2| < |J|$. *FM* - ferrimagnetic state, *F* - ferromagnetic state, *OD* - coexistence of order and disorder.

$$(y+1)^2(x^2+1)^2 = 2(1-x^2)^2, \quad (y+1)^2(x^2+1)^2 = 2y(1-x^2)^2, \quad (6)$$

where $x = \tanh P$ and $y = \tanh Q$. Alternatively the equation for T_c is given by [9, 11]

$$(1-x^4)^2 + 4x^4(1-y^2)^2 = 4[xy(1+x^2)]^2 \quad (7)$$

where $x = \exp(-2P)$ and $y = \exp(-2Q)$. The latter equation can be factorized, which leads to the following simplified expressions

$$y_{1,2} = \pm 1 + \frac{1+x^2}{\sqrt{2x}}, \quad y_{3,4} = \pm 1 - \frac{1+x^2}{\sqrt{2x}} \quad (8)$$

Only y_1 and y_2 are positive and provide the expressions for determination of the critical temperature.

In Fig. 2a the dependence of T_c on the exchange interaction parameters is shown for the case $J > 0$. The critical temperature increases with the increase of the strength of J_1 independently of its sign. The minima of the curves correspond to the critical temperature of the doubly decorated square lattice which is obtained when the interaction J_2 vanishes. The analogous curves for $J < 0$ are shown in Fig. 2b. The critical temperature, similarly to the case of the triangular lattice, vanishes due to frustration when $J_2 = \pm|J|$. The approach to zero, for $J_2 > 0$, follows the asymptotic law

$$kT_c/J = (4/\ln 2)(1 + J_2/J), \quad (9)$$

or its symmetric expression when $J_2 < 0$. The same asymptotic law is found for the dependence of T_c on J , for a given J_2 , when $J \rightarrow -|J_2|$.

In a narrow interval for J_2 when $|J_2| > |J|$, increasing the temperature from zero, a disordered phase appears, which is followed by an ordered phase that disappears with further increase of the temperature. Such a behavior is known as reentrance phenomenon.

GROUND STATE

The ground states of the system are shown in Fig. 3a and 3b. When $J < 0$ and $|J_2| < |J|$, the ground state is degenerate. There are altogether 8 different arrangements of the spins on an elementary plaquette with a minimal energy. They arise from the two basic configurations (Fig. 3c) by mirror symmetry with respect to vertical line and from interchange between up and down spin orientations. Only the configurations obtained from the upper arrangement in Fig. 3c can cover the whole plane with plaquettes at their lowest energy. All possible coverages can be obtained by the quadruplets containing four elementary plaquettes shown in Fig. 4a and 4b for $J < 0$ and $|J_2| < |J|$, and $J_1 < 0$ or $J_1 > 0$, respectively.

Depending on the interaction parameters, the ground state is ferromagnetic (F) or ferrimagnetic (FM), except for the case when $J < 0$ and $|J_2| < |J|$. In the latter case, at $T = 0$, one observes coexistence of order and disorder (OD).

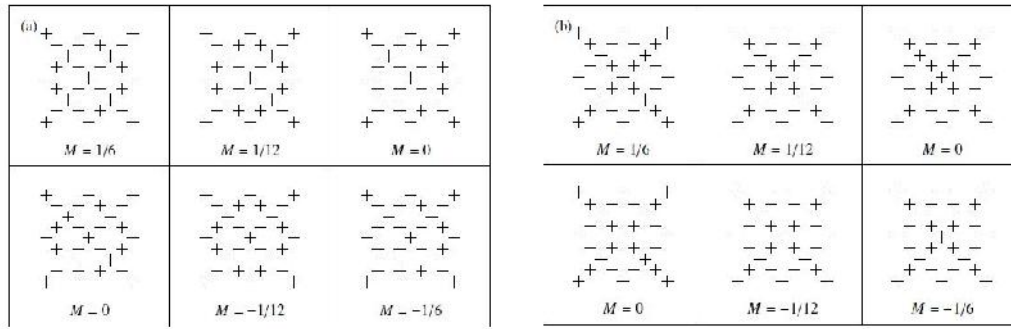


FIGURE 4. Quadruplets of elementary plaquettes in the ground state: (a) $J < 0, J_1 < 0, -|J| < J_2 < |J|$, (b) $J < 0, J_1 > 0, -|J| < J_2 < |J|$. Plaquettes on each diagonal have their own specific orientation which is rotated by 90° in comparison to the orientation of plaquettes on the other diagonal. Central spins are disordered, the remaining spins have antiferromagnetic (a) or superantiferromagnetic (b) order.

The central spins of each plaquette have arbitrary orientation, while the remaining spins are ordered antiferromagnetically (Fig. 4a) or superantiferromagnetically (Fig. 4b). The entropy at $T = 0$ for the OD state is $S_0 = \ln(2)/6$. The magnetization of the quadruplets with lowest energy takes one of the following values: $0, \pm 1/12$ and $\pm 1/6$. Despite the degeneracy of the ground state for the case under consideration, the system has a finite critical temperature (Fig. 2b). Similar behavior was observed in other two-dimensional Ising models [12].

DISCUSSION

The analysis of the model was performed without any approximation. It shows phase transition to some ordered phase or transition to a state leading to coexistence of order and partial disorder. For $J \rightarrow 0$ the model is reduced to decorated square lattice, for $J \rightarrow \infty$ it becomes equivalent to partly decorated pentagonal Cairo lattice. Other limiting cases considered previously are: $J_1 \rightarrow \infty, J_2 \rightarrow 0$ and $J_2 \rightarrow \infty$.

The model is exactly solvable in the more general case with higher spins included, not necessarily equal, at the intermediate locations between the central and corner spins. Also, the

symmetry of the interactions could be avoided and one can introduce further neighbor interactions between spins in the first part of Fig. 1b.

REFERENCES

1. W. Lenz, Z. Phys. 21, 613-615 (1920).
2. E. Ising, Z. Phys. 31, 253-258 (1925).
3. J. Tobochnik, Am. J. Phys. [69, 255-263 (2001).
4. R. M. F. Houtappel, Physica 16, 425-455 (1950).
5. V. Urumov, J. of Phys. A: Math. Gen. 35, 7317-7321 (2002).
6. M. Rojas, O. Rojas, and S. M. de Souza, Phys. Rev. E 86, 051116-1-11 (2012).
7. C. Fan, and F. Y. Wu, Phys. Rev. B 2, 723-733 (1970).
8. I. Syozi. "Transformation of Ising Models" in Phase Transitions and Critical Phenomena Vol. 1, edited by C. Domb and M. S. Green, Academic Press, New York, 1972.
9. V. G. Vaks, A. I. Larkin, and Yu. N. Ovchinnikov, Zh. Eksp. Theor. Phys. 45, 1180-1189 (1965) [Sov. Phys. JETP 22, 820-826 (1966)].
10. O. Rojas, and S. M. de Souza, J. of Phys. A: Math. Theor. 44, 245001-1-17 (2011).
11. T. C. Choy, and R. J. Baxter, Phys. Lett. A 125, 365-368 (1987).
12. P. Azaria, H. T. Diep, and H. Giacomini, Phys. Rev. Lett. 59, 1629-1632 (1987);
H. T. Diep, M. Debauche, and H. Giacomini, Phys. Rev. B 43, 8759-8762 (1991).

QCD SUM RULES FOR THE 70-PLET BARYONS

T. Aliev and V. Zamiralov *

Institute of physics, Baku, Azerbaijan and Physical Department,

Middle East Technical University, Ankara, Turkey, taliev@metu.edu.tr,

* *Skobeltsyn Institute of Nuclear Physics, Lomonosov Moscow State University, Moscow, Russia, zamir@depni.sinp.msu.ru*

Magnetic moments of the positive parity 70-plet baryons are estimated within the nonrelativistic quark model and QCD sum rules method. It is found that the magnetic moments of the 70-plet baryons can be expressed in terms of the D and F couplings. Results reproduce the nonrelativistic quark model predictions and exhibit unitary symmetry pattern.

Study of the electromagnetic properties of hadrons represents very important source of information about their internal structure and can provide valuable insight in understanding the mechanism of strong interactions at low energies, i.e., about nonperturbative aspects of QCD. Particular interest deserves magnetic moments of baryons as the subject of permanent study due to growing experimental information [1]. Magnetic moments of the positive parity octet and decuplet baryons are studied in framework of different approaches such as nonrelativistic quark model (NRQM) [2], static quark model [3], QCD string approach [4], chiral perturbation theory [4], Skyrme model [5], traditional QCD sum rules [6], light-cone version of QCD sum rules [7], lattice QCD [8].

Shortly we discuss construction of QCD sum rules introduced in [9], [10].

The starting point is polarization operator (correlator) for Σ -like hyperons. Explicitly we write it for Σ^0 -hyperon:

$$=i \int d^4x \exp(ipx) \langle 0 | T \{ \chi(x), \chi(0) \} | 0 \rangle, \quad (1)$$

where interpolating currents (in some way analogue of the baryon wave functions in NRQM) could be chosen as

$$J^0(x) = [u^{aT} C s^b - d^{aT} C s^b] \gamma_5 u^c - (C s^b \gamma_5 - C \gamma_5 s^b x), \quad (2)$$

where a, b, c are the color indices, γ_5 is the charge conjugation matrix. Other baryon currents (but that of J^0) are written by changing quark symbols.

The idea of the **QCD sum rules** [9],[10] could be stated as follows: polarization operator is calculated in two different schemes:

(1) Upon using some phenomenological pole model saturated by baryon poles and resonances plus high energy contributions;

(2) Upon performing Wilson operator product expansion (OPE) and calculating quark diagrams with insertions of non-zero vacuum expectation values.

Putting them equal and performing Borel transformation one arrives at desired sum rule.

We can write QCD sum rules for the magnetic moments of Σ -like octet 56-plet baryons μ_B [7, 11] as

$$a_B^2 \mu_B \exp(-m^2/M^2) = (e_u + e_d) \mu_1(u, d, s) + e_s \mu_2(u, d, s), \quad (3)$$

while for the Σ -hyperon we obtain result with the use of the relations from [11]. The a_B are so-called Borel residue, M is characteristic parameter of the Borel transformation and μ_i can be found in [6] and [12]. We have shown earlier that unitary symmetry plays essential role in the QCD sum rules in relating various couplings through well-known F- and D-type structures reducing number of independent correlation functions to minimum. We would show here in what way unitary pattern of the QCD sum rules arrives. We remind in what way SU(3) description in terms of F- and D couplings arrives in NRQM. Let us begin with the discussion of the 56-plet baryon octet $1/2^+$ in SU(3) and assume that photon interacts in a different way with two quarks of similar flavor of the Σ -like baryon $B(qq, Q)$ and with a single quark Q . As an example let the magnetic moment operator has the form $e_q w_q a^q$, where new operator w_q just differs between a single Q quark and a biquark $(q q)$ or $(q q)$ through the matrix elements

$$\begin{aligned} \langle qq, Q | w_q | qq, Q \rangle &= w, \quad \langle qq, Q | w_q | qq, Q \rangle = w, \\ \langle qq, Q | w_Q | qq, Q \rangle &= v, \quad \langle qq, Q | w_Q | qq, Q \rangle = v. \end{aligned} \quad (4)$$

Then magnetic moment of the proton $p(uu,d)$ yields:

$$\begin{aligned} \mu_p &= \langle p | e_q w_q a^q | p \rangle = 1/18 \langle 2u_1 u_1 d_2 - u_1 d_1 u_2 - d_1 u_1 u_2 + 2u_1 d_2 u_1 - u_1 u_2 d_1 - d_1 u_2 u_1 \\ &\quad + 2d_2 u_1 u_1 - u_2 u_2 d_1 - u_2 d_1 u_1 | e_q w_q a^q | p \rangle \\ &= (4/3) (e_u w - e_d (2v - v)) = e_u 2\mu_F + e_d (\mu_F - \mu_D) \end{aligned} \quad (5)$$

with $w = 3\mu_F/2$, $w = \mu_D$, $(2v - v)/3 = (\mu_F - \mu_D)$. (It is worth noting that the assumption $w = w$ yields $F/D = 2/3$!)

The main results are:

- The F coupling is related to the interaction of the Σ with 'biquark' composed of two quarks of (almost) equal flavour and the same spin projections
- The (F - D) is related to the interaction of the Σ with the single quark

Magnetic moment of the photon to $\Sigma^0(ud,s)$ containing two quarks u, d in a biquark state and a single quark s would have the form similar to that of the QCD sum rules of (3)

$$\mu_B = (e_u + e_d)F + e_s (F-D) \quad (6)$$

Now we try to transfer this reasoning to the QCD sum rules of baryons with spin $\frac{1}{2}$ of the 70-plet.

Let us analyze magnetic moments of baryons entering 70-plet representation SU(6) with decomposition $70 = (8,2) + (10,2) + (8,4) + (1,2)$ in framework of NRQM and quark-diquark model. The wave functions of 70-plet within the NRQM were obtained in a number of works (see [13] and references therein). Following [13] the wave function of N^{*+} state in 70-plet with positive parity can be written as

$$18 |N^{*+}\rangle = |2u_1 u_1 d_2 - u_1 d_1 u_2 - d_1 u_1 u_2 - u_1 d_2 u_1 - u_1 u_2 d_1 + 2d_1 u_2 u_1 - d_2 u_1 u_1 - u_2 u_1 d_1 + 2 u_2 d_1 u_1 \rangle \quad (7)$$

Using this wave function with the modified operator for the magnetic moment form $e_q w_q a^q$ for N^* we get

$$\mu_{N^{*+}} = e_u \frac{2}{3}(2w_+ + w_-) + e_d \frac{1}{3}(2v_+ + v_-) = e_u \mu_F + e_d (2\mu_F - \mu_D) \quad (8)$$

with $w_+ = 3\mu_F/2$, $(2v_+ - v_-)/3 = (\mu_F - \mu_D)$.

In a way similar for 56-plet one can predict the magnetic moments of the octet in 70-plet. in terms of D- and F- quantities and their NRQM limit with $D=1$, $F=2/3$ and e_q changed to μ_q

$$\begin{aligned} \mu_{N^{*+}} &= e_u \mu_F + e_d (2\mu_F - \mu_D) = \frac{2}{3} \mu_u + \frac{1}{3} \mu_d, \\ \mu_{\Sigma^{*+}} &= e_u \mu_F + e_s (2\mu_F - \mu_D) = \frac{2}{3} \mu_u + \frac{1}{3} \mu_s, \\ \mu_{\Lambda^0} &= \frac{1}{2}(e_u + e_d) \mu_F + e_s (2\mu_F - \mu_D) = \frac{1}{3} \mu_u + \frac{1}{3} \mu_d + \frac{1}{3} \mu_s, \\ \mu_{\Sigma^{*-}} &= \frac{1}{6}(e_u + e_d)(9\mu_F - 4\mu_D) + \frac{1}{3}e_s \mu_D = \frac{1}{3} \mu_u + \frac{1}{3} \mu_d + \frac{1}{3} \mu_s, \end{aligned} \quad (9)$$

in accord with the NRQM results [13].

Let us now assume that the same transformations from μ_p to $\mu_{N^{*+}}$ in NRQM and quark-diquark model hold in QCD sum rules framework, i.e. at interpolating current level. In this case even when the explicit expressions for interpolating currents of octet baryons belonging to the 70-plet representation are not known, one can predict the magnetic moments of these baryons. Derivation of sum rules for 70-plet baryons follows this reasoning. QCD sum rules for Λ^0 -like octet 70-plet can be written in the form similar to eq. (3);

$$\langle 0 | \bar{\psi} \psi | 0 \rangle = 1/2(e_u + e_d + 2e_s) \langle 1 | \bar{u} u, \bar{d} d, \bar{s} s \rangle + e_s \langle 2 | \bar{u} u, \bar{d} d, \bar{s} s \rangle, \quad (10)$$

while for the Σ^* -hyperon we obtain result with the use of the relations from [11]. Comparing these relations with sum rules for the Λ^0 and Σ^* baryons of the 56-plet we see that they change itself drastically and this constitutes the main result of this work.

As examples we cite only few of them, the rest can be found in [14]: $\mu_{N^{*+}}$ changes from $=2.72 \mu_N$ to $0.83 \mu_N$, $\mu_{\Sigma^{*+}}$ changes from $2.52 \mu_N$ to $0.70 \mu_N$, μ_{Λ^0} changes from $-0.50 \mu_N$ to $-0.11 \mu_N$.

Thus it is shown that octet baryons in the 70-plet can be analyzed in the way similar to those of 56-plet. In particular magnetic moments are written in terms of the D and F quantities characteristic for octet coupling. Moreover the main formulas for the magnetic moments are written in such a way as to obtain the NRQM results as well as unitary symmetry ones. Borel QCD sum rules are constructed for the magnetic moments of the 70-plet octet.

REFERENCES

1. J. Beringer et al. (Particle Data Group), Phys. Rev. D 86,010001 (2012) and 2013 update for the 2014 edition.
2. G.Morpurgo G. 1965 Physics 2, 95; J. Franklin, Phys. Rev. D 66,033010 (2002).
3. B.O. Kerbikov and Y.A. Simonov, Phys. Rev. D 62,093016 (2000).
4. S.J. Puglia and M.J. Ramsey-Musolf, Phys. Rev. D 62,034010 (2000).
5. N.W.Park and H.Weigel, Nucl. Phys. A 541, 453 (1992).
6. C.B.Chiu, J.Pasupathy and S.L.Wilson, Phys. Rev. D 33, 1961 (1986).
7. T.M.Aliev and A.Ozpineci, Phys. Rev. D 62,053012 (2000); T.M.Aliev, A.Ozpineci, M.Savci and C.Yuce, Phys. Rev. D 66,11506 (2002).
8. D.B.Leinweber, T.Draper and R.M.Woloshyn, Phys. Rev. D 46, 3067 (1992)
9. M.A.Shifman, V.I.Vainshtein and V.I.Zakharov, Nucl. Phys. **147** 385 (1979).
10. B.L.Ioffe and A.V.Smilga, Nucl.Phys. **232** 109 (1984); I.I.Balitsky and A.V.Yung, Phys. Lett. **129** 328 (1983).
11. A.Ozpineci, S.Yakovlev and V.Zamiralov, Mod. Phys. Let.A20, 243 (2005).
12. T.M.Aliev and M.Savci Phys. Rev. D 90, 116006 (2014).
13. N.Sharma, A.Martinez Torres, K.P.Khemchandani and H.Dahiya, Eur. Phys. J. A 49,11 (2013).
14. T.M.Aliev and V.S.Zamiralov, arXiv hep-ph 1506.07648, 2015.

$d + H \rightarrow \pm X$

. . . , . . . , . . . ,
A. . . , . . . , . . .

yashartur@yahoo.com

(A_y)

, 90° . . . , $3 \cdot 9 /$.
() . A_y
 $f - d + H \rightarrow \pm X$
 $300-350 /$. - ,
 A_y .

pp [1-3] $pA -$ [4]
(

) p_t $p \uparrow + p \rightarrow f^{\pm,0} + X$,
 x_F .

[1], [2] [3], ,

x_F 0.3, 40% x_F

1.

(A_y)

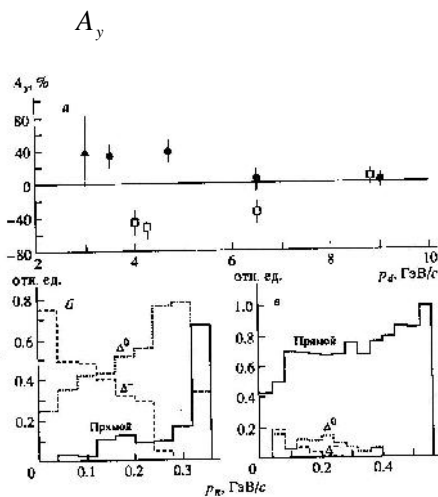
90^0

78^0 (90^0).

$d \uparrow + H \rightarrow f^\pm + X$

A_y

300-350 / 90^0 . . A_y , 40%, .1a.



.1 a- A_y $f^+ f^-$ $d \uparrow + H \rightarrow f^\pm(90^0) + X$

$p_f = 300-350$ / , $\bullet - f^+$, $-f^+(78^0)$, $-f^-$; , - -

$d + H \rightarrow f^- + X$ -

$p_d = 4$ / () 9 / () .

. 1 1 - ()

$d + H \rightarrow f^- + X$ $\theta_f = 90^0$ 4 9 / .

(, $p_t =$,) - -

. 1 1 , A_y

**BDU-nun Fizika Problemləri İnstitutunun yaradılmasının 10 illiyin həsr olunmuş
Beynəlxalq konfrans**

4 / ,
 A_y ,
 Δ^0 - " " . 9 / (A_y
)
 Δ^{++} - , f^+
 Δ^- -
 A_y f^- - ,
 6.5 / . A_y , A_y
 50% $p_f = 200$ /
 " " f^+ - 8.9 / . A_y
 A_y .
 , 600 / A_y ,
 D^- .
 - .
 :
 1) $d \uparrow + H \rightarrow f^\pm + X$ ($p_d = 6.5$ /)
 50% $p_f = 300 - 350$ / .
 2) : f^+ p_d f^- .
 A_y
 p_f .
 3) Δ^- - , A_y ,
 P^- .

1. Antille J. et al. - Phys. Lett., 1980, B94, p.523.
2. Bonner B.E. et al. - Phys. Rev., 1990, D41, p.13.
3. Adams D.L. et al. - Phys. Lett., 1991, B261, p.201.
4. Krisch A.D. - In: Proc. 9 Inter. Symp. on High Energy Spin Physics, Bonn, 1990.

INFLATIONARY EXPANDING UNIVERSE BY A COMPOSITE SCALAR FIELD

Tomohiro Inagaki

Information Media Center and Core of Research for the Energetic Universe,

Hiroshima University, Higashi-Hiroshima, 739-8521, Japan

inagaki@hiroshima-u.ac.jp

One of the basic concepts of the particle physics is symmetry and its breaking. It is considered that a more fundamental theory with a higher symmetry realizes and the symmetry is broken down at high energy scale. Hence, there is possibility to test the fundamental model by observing the critical phenomena induced by symmetry breaking at early universe.

A simple model of the symmetry breaking has been introduced by Y. Nambu and G. Jona-Lasinio to study the meson physics, low energy phenomena of QCD [1]. A scale up version of the model has been applied at the electroweak symmetry breaking is known as Technicolor model (see, for example [2]). Here we regard the gauged Nambu-Jona-Lasinio (NJL) model as a simple prototype model at inflationary expanding era of our universe and investigate the evolution of the universe.

We start from the $SU(N_c)$ gauged NJL model with N_f -flavor fermions,

$$L_{qNJL} = L_{qauqe} + \bar{\psi} i \hat{D} \psi + \frac{16f^2 q_4}{8N_f N_c \Lambda^2} \left[(\bar{\psi} \psi)^2 + (\bar{\psi} \gamma_5 \psi)^2 \right], \quad (1)$$

where L_{qauqe} denotes the pure $SU(N_c)$ gauge Lagrangian and τ^a indicates the generator of $SU(N_f)$ flavor symmetry. We normalized the four-fermion coupling, g_4 by $N_f N_c$ and the compositeness scale, Λ . The Lagrangian can be rewritten by the auxiliary field method,

$$L_{aux} = L_{qauqe} + \bar{\psi} \left(i \hat{D} - \tau^a f^a \right) \psi - \frac{2N_f N_c \Lambda^2}{16f^2 q_4} (\tau^2 + f^a f^a). \quad (2)$$

where the fields, σ and π , can be identified with composite scalar and pseudo-scalar fields, respectively. On the other hand, the gauged Higgs Yukawa theory is given by

$$L_{qHY} = L_{qauqe} + \frac{1}{2y^2} \partial_\mu \sigma \partial^\mu \sigma + \frac{1}{2y^2} \partial_\mu f^a \partial^\mu f^a - \frac{1}{2y^2} (\sigma^2 + f^a f^a) - \frac{1}{4y^4} (\sigma^2 + f^a f^a)^2 - \frac{1}{2y^2} R(\sigma^2 + f^a f^a) + \bar{\psi} i \hat{D} \psi - \bar{\psi} (\tau^a + i \gamma_5 \tau^a f^a) \psi, \quad (3)$$

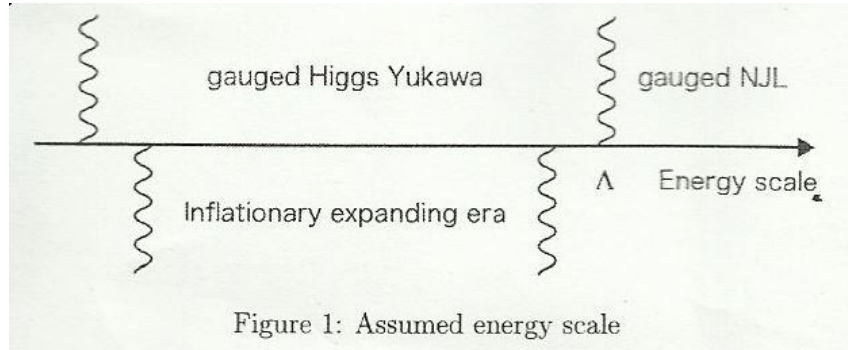
where y indicates the Yukawa coupling. We noted that the ordinary gauged Higgs Yukawa Lagrangian is obtained by the replacements, $\sigma \rightarrow y\sigma$ and $f^a \rightarrow yf^a$.

The compositeness conditions are imposed at the scale Λ [3, 4],

$$\frac{1}{y^2(\Lambda)} = 0, \quad \frac{y(\Lambda)}{y^4(\Lambda)} = 0, \quad \frac{m^2(\Lambda)}{y^2(\Lambda)} = \frac{2N_f N_c \Lambda^2}{16f^2 g_4}, \quad \langle \Lambda \rangle = \frac{1}{6}. \quad (4)$$

Eqs. (2) and (3) coincide under these conditions. Evaluating the renormalization group equation with neglecting the running of the $SU(N_c)$ gauge coupling and the higher order terms in the curvature, R , we obtain the solution to satisfy these conditions [5, 6]. Therefore we regard the gauged Higgs Yukawa theory with the compositeness conditions as an effective theory of the gauged NJL model below the compositeness scale, Λ .

As is illustrated in Fig. 1, we assume that the dominant contribution to the energy density of the universe can be described by the gauged Higgs Yukawa theory with the compositeness conditions at the inflationary expanding era. We also assume that only the field, ψ , contributes the inflationary expansion and apply the slow roll scenario of the chaotic inflation.



Starting from the renormalization group improved effective potential for the gauged Higgs Yukawa theory with the compositeness conditions, we evaluate the inflationary parameters [7]. Our model has parameters, the gauge coupling, g , the four-fermion coupling, g_4 , the number of fermion species, N_c and N_f , the energy scale, μ and the composite scale, Λ . The initial field configuration is set to generate an enough e-folding number, $N_{efold} = 50 \sim 60$. After some numerical calculations we obtain the amplitude of the density fluctuation, u , the spectral index, n_s , the tensor-to-scalar-ratio, r and the running of the spectral index, r_s . In Tab. 1 we show some typical results for a fixed N_f , N_c , μ and N_{efold} . A constant parameter, \tilde{S} , is introduced to define the renormalized four-fermion coupling, g_{4ren} . The amplitude of the density fluctuation, u , can be tuned by strength of the interactions, g , and g_{4ren} . The other parameter dependence is much smaller. We also found that the spectral index, the tensor-to-scalar-ratio and the running of the spectral index are consistent with the Planck 2015 data.

Table 1:

Inflationary parameters for $N_f = 1$, $N_c = 10$, $\mu = 10^{-5} M_{pb}$, $\Lambda = M_{pl}$ and $N_{efold} = 50$.

	$1/g_{4ren} - 1/\tilde{S}$	u	n_s	r	r_s
10^{-7}	10^{-1}	7.02×10^{-4}	0.970	0.08	-0.00059
10^{-8}	10^{-1}	2.22×10^{-4}	0.970	0.08	-0.00059
10^{-9}	10^{-1}	7.02×10^{-5}	0.970	0.08	-0.00059
10^{-9}	10^{-3}	7.02×10^{-6}	0.970	0.08	-0.00059
10^{-9}	10^{-5}	7.48×10^{-7}	0.968	0.11	-0.00061

A composite scalar field has been investigated as an alternative candidate for the inflaton field. The gauged Nambu-Jona-Lasinio model is employed as a simple model of the composite scalar field. The model can be described by the gauge-Higgs-Yukawa theory with the corresponding compositeness conditions. Evaluating the renormalization group improved effective potential, we have calculated the inflationary parameters: the amplitude of the density fluctuation, the spectral index, the tensor-to-scalar-ratio and the running of the spectral index. Under the slow roll approximation and some assumptions it is shown that the model predicts consistent the spectral index, the tensor-to-scalar-ratio and the running of the spectral index. Therefore we conclude that the inflation induced by a composite scalar field predicts consistent CMB fluctuations.

Acknowledgements

The main part of this talk is based on the work collaborated with Hiroki Sakamoto and Sergei D. Odintsov. The work is supported in part by JSPS KAKENHI Grant Number 26400250.

REFERENCES

1. Y. Nambu and G. Jona-Lasinio, Phys. Rev. 122 (1961) 345; Phys. Rev. 124 (1961) 246.
2. V. A. Miransky, *Dynamical Symmetry Breaking in Quantum Field Theories*, World Scientific (1993); M. Harada and K. Yamawaki, Phys. Rept. 381 (2003) 1.
3. W. A. Bardeen, C. T. Hill and M. Lindner, Phys. Rev. D41 (1990) 1647.
4. C. T. Hill and D. S. Salopek, Annals Phys. 213 (1992) 21.
5. M. Harada, Y. Kikukawa, T. Kugo and H. Nakano, Prog. Theor. Phys. 92 (1994) 1161.
6. B. Geyer and S. D. Odintsov, Phys. Lett. B376 (1996) 260; Phys. Rev. D53 (1996) 7321.
7. T. Inagaki, S. D. Odintsov and H. Sakamoto, arXiv:1509.03738 [hep-th], to appear in Astro. Space Sci.

ON NLO CONTRIBUTION TO QUARK MASS IN PION SECTOR AND SOME OTHER PROPERTIES OF REGULARIZATION PROCEDURE IN NJL MODEL

R.G. Jafarov

IPP BSU

rauf_jafarov@hotmail.com

As well known Nambu–Jona-Lasinio (NJL) model [1] with the quark content [2] is one of the most successful effective models of quantum chromodynamics of light hadrons in the non-perturbative region (see, for example, reviews [3] and [4] and references therein). Since the foundation of the NJL model is a non-renormalizable interaction, the quite essential point of the model is a regularization. It already advances in the literature an opinion, that the NJL model for different regularization can lead to different physical results. But as concerning to most common regularizations (such, for example, the 4-dimensional cutoff in comparison with the Fock–Schwinger “proper-time” regularization or the Pauli–Villars regularization) this statement is not mean some principal distinctions of main effects in the leading approximation of the model. In

the next-to-leading order, which includes the meson contributions in chiral condensate and corrections to the quark propagator, these distinctions become apparent more clearly (see, for example, [5] - [7]), but do not change essentially the physical content of the model in the case too. Nevertheless, a regularization of the NJL model exists in which the physical effects differ from the effects of the classical variant of the model with 4-dimensional cutoff as early as on the level of two-particle amplitudes. It is a dimensional regularization considered as a variant of the analytical regularization. Note, the traditional treatment of the dimensional regularization as a transition to D-dimensional space strikes in the application to the NJL model the essential obstacle: the regularization parameter, i.e. a deviation in physical dimension of space, is included in formulae for physical quantities. This circumstance makes an interpretation of results to be very awkward. In the alternative treatment of dimensional regularization as a variant of analytical regularization all calculations are made in four-dimensional Euclidean space, and the regularization parameter is treated as a power of a weight function, which regularizes divergent integrals¹. Such treatment of dimensional regularization was consistently developed for the NJL model in mean-field approximation by Krewald and Nakayama [8]. In work [9] in the framework of this regularization the meson contributions in chiral condensate were calculated. It should be stressed that in such treatment of dimensional regularization the regularization parameter is not a deviation in the physical dimension of space.

Conclusion

The results of present work demonstrate that the NJL model with dimensionally-analytical regularization essentially differs from the NJL model with 4-dimensional cutoff at least in two aspects. Firstly, there is the different behavior of scalar amplitude in threshold region. For the 4-dimensional cutoff it is possible to separate near the threshold a pole term, which is usually associated with a scalar particle –sigma-meson (note, however, that reasoning doubts in such interpretation have been stated as early as in founder’s work [1]).

c (MeV)	m (MeV)	ξ	$\kappa = 3gm^2/2\pi^2$
-210	357	0.333	0.373
-220	356	0.289	0.322
-230	354	0.252	0.277
-240	353	0.221	0.242
-250	352	0.195	0.212

Table 1. The model parameters in leading order (dimensionally-analytical regularization): chiral condensate c , quark mass m , regularization parameter ξ and dimensionless coupling κ .

For the dimensionally-analytical regularization the singularity of scalar amplitude is not of pole type at physical values of regularization parameter.

c (MeV)	m (MeV)	Λ (MeV)	$\kappa_\Lambda = 3g\Lambda^2/2\pi^2$
-210	423	733	1.86
-220	323	791	1.448
-230	276	873	1.315
-240	253	947	1.240
-250	236	1029	1.187

Table 2. The model parameters in leading order (4-dimensional cutoff): chiral condensate c , quark mass m , regularization parameter Λ and dimensionless coupling κ_Λ .

This fact, even if does not exclude entirely, makes its interpretation as a physical particle to be awkward. But much more principal thing is the different behavior of these models with respect to quantum fluctuations caused by meson contributions in chiral condensate.

c (MeV)	m_r (MeV)	ξ	$\kappa = 3gm^2/2\pi^2$
-210	339	0.432	0.486
-220	336	0.385	0.434
-230	333	0.346	0.387
-240	330	0.312	0.334
-250	328	0.284	0.316

Table 3. Model parameters with first-order corrections (dimensionally-analytical regularization): chiral condensate c , quark mass m_r , regularization parameter ξ and dimensionless coupling κ .

As it follows from results, the NJL model with dimensionally-analytical regularization is stable with respect to these fluctuations, whereas for the NJL model with 4-dimensional cutoff the meson contributions can lead to destabilization.

c (MeV)	m_r (MeV)	Λ (MeV)	$\kappa_\Lambda = 3g\Lambda^2/2\pi^2$
-240	310	785	1.501
-250	283	819	1.408

Table 4. Model parameters with first-order corrections (4-dimensional cutoff): chiral condensate c , quark mass m_r , regularization parameter Λ and dimensionless coupling κ_Λ .

Surely, a number of physical applications of the NJL model are connected exclusively with the leading order of mean-field expansion (mean-field approximation), for which the possibility of such destabilization can be simply ignored. On the other hand, some physical applications of the NJL model exist, that connected with multi-quark functions (such as pion-pion scattering, baryons etc.). For these applications the neglecting by the meson contributions in quark propagator is certainly noncorrect from the point of view of the mean-field expansion, and, consequently, the stability of basic model parameters with respect to these contributions becomes a determinative significance.

The calculations of meson contributions in the quark chiral condensate and in the dynamical quark mass demonstrate, that these contributions though their relatively smallness can

destabilize the Nambu–Jona-Lasinio model with 4-dimensional cutoff. On the contrary, the Nambu–Jona-Lasinio model with dimensionally-analytical regularization is stabilized with the next-to-leading order, i.e. the value of the regularization parameter shifts to the stability region, where these contributions decrease[10].

REFERENCES

1. Y. Nambu and G. Jona-Lasinio: Phys.Rev. 122 (1961) 345;
2. T. Eguchi and H. Sugawara: Phys.Rev. D 10 (1974) 4257; K. Kikkawa: Prog. Theor. Phys. 56 (1976) 947; H. Kleinert: in "Understanding the Fundamental Constituents of Matter", ed. A. Zichichi, Plenum Press, N.Y., 1978, p.289; D. Ebert and M.K. Volkov: Z.Phys. C 16 (1983) 305
3. S.P. Klevansky: Rev.Mod.Phys. 64 (1992) 649
4. T. Hatsuda and T. Kunihiro: Phys.Reports 247 (1994) 221
5. T. Inagaki, T. Muta, S.D. Odintsov Prog.Theor.Phys.Suppl. 127 (1997) 93
6. T. Fujihara, T. Inagaki, D. Kimura, A. Kvinikhidze: Prog.Theor.Phys.Suppl. 174 (2008) 72-75; T.Fujihara, D. Kimura, T. Inagaki (Hiroshima U.), A. Kvinikhidze: Phys.Rev. D79 (2009) 096008; T. Inagaki D. Kimura), H. Kohyama, A. Kvinikhidze: Phys.Rev. D83 (2011) 034005; T. Inagaki, D. Kimura, H. Kohyama, A. Kvinikhidze: Phys.Rev. D85 (2012) 076002; T. Inagaki, D. Kimura, H. Kohyama), A. Kvinikhidze Phys.Rev. D86 (2012) 116013; T. Inagaki,D. Kimura, H. Kohyama, A. Kvinikhidze: Int.J.Mod.Phys. A28 (2013) 1350164; T. Inagaki, D. Kimura, H. Kohyama: Int.J.Mod.Phys. A29 (2014) 1450048; T. Inagaki: TSPU Bulletin 2012 (2012) 13, 66-69
T. Inagaki, S. D. Odintsov, H. Sakamoto Astrophys.Space Sci. 360 (2015) 2, 67; D. Ebert, M. Nagy and M.K. Volkov: Yad.Fiz. 59 (1996) 149
7. M. Oertel, M. Buballa and J. Wambach: Nucl.Phys. A676 (2000) 247
8. S. Krewald and K. Nakayama: Annals of Phys. 216 (1992) 201
9. R.G. Jafarov and V.E. Rochev : Centr.Eur.J.of Phys. 2 (2004) 367 (hep-h/0311339) 13; R.G. Jafarov and V.E. Rochev : Russian Physics Journal: 49 (2006) 364-378; R.G. Jafarov: Russian Physics Journal: 49 (2006) 712-719
10. A.B. Arbuzov, A.N. Tavkhelidze, A.N. Faustov: Doklady AN USSR, 139, (1961) 69.

QFT APPROACH WHICH SAVES PROBABILITY INTERPRETATION OF THE WAVE FUNCTION

Alexander Kvinikhidze

*Razmadze Mathematical Institute, Tbilisi State University,
Department of Theoretical Physics, Tbilisi, Georgia*

"The wave function is the most fundamental concept of quantum mechanics. According to the standard interpretation of the wave function today the square of its absolute value represents the probability density for particles to be measured in certain locations."

However none of existing "quantum mechanical" approaches developed within quantum field theory (incorporating quantum mechanics) confirms such interpretation. Indeed all of them offer expressions for the charge density of a few body system which is altered by interaction between them in spite of that the probability interpretation would require the charge density of a few-body system to be only the sum of single particle charge densities.

Here the quantum field theoretical approach is presented for the description of strongly interacting particles where the expression for the charge density is consistent with the probability interpretation of the particles' wave function. A key bases of this achievement is the fundamental property of gauge invariance which is kept manifest up to the last step of our derivation.

Apart from the obvious conceptual importance of this result it is extremely useful for practical applications. For example it significantly simplifies high accuracy first principle calculations of electromagnetic properties of few nucleon systems which are extensively studied in the proposed by S. Weinberg chiral effective field theory

SCHWINGER-DYSON EQUATIONS

V. E. Rochev

*Institute for High Energy Physics, National Research Center Kurchatov
Institute, Protvino, Moscow oblast, 142281 Russia*

Vladimir.Rochev@ihep.ru

A system of Schwinger–Dyson equations for the model of scalar-field interaction is studied in a deep Euclidean region. It is shown that there exists a critical coupling constant that separates the weak-coupling region characterized by the asymptotically free behavior and the strong-coupling region, where the asymptotic behavior of field propagators becomes ultralocal.

DOI: 10.1134/S1063778815020258

We will consider a system of Schwinger–Dyson equations for the model involving a complex scalar field (phion) and a real scalar field (chion) and take the Lagrangian for this model in the four-dimensional Euclidean space in the form

$$L = -\partial_\mu W^* \partial_\mu W - m_0^2 W^* W - \frac{1}{2} (\partial_\mu t)^2 - \frac{\tilde{t}^2}{2} + g W^* W t, \quad (1)$$

where g is the coupling constant that have dimensions of mass. This model, also known as the scalar Yukawa model, is used in nuclear physics as a simplified version of the Yukawa model without spin degrees of freedom and as the effective model of scalar quark interaction. Despite its well-known imperfection associated with the presence of instability (more precisely, metastability - see [1]) in it, this model, which is the simplest field-interaction model, is frequently used as a prototype of more sophisticated theories for studying the properties of various nonperturbative methods of quantum field theory and for comparing them.

It is well known that the generating functional for Green's functions (vacuum expectation values of time-ordered products of fields) G can be represented as a functional integral that depends parametrically on some functions called sources. Such sources are usually chosen in the form of functions of one variable $x \in E_4$. We will refer to such sources as simple ones. It is also possible to choose sources in the form of functions of several variables. The derivatives of the generating functional with respect to such higher sources correspond to vacuum expectation values of several fields (their number is equal to the number of source variables). For example, a source y that depends on two variables can be introduced for the model specified by the Lagrangian in Eq. (1). The derivative with respect to this source is the vacuum expectation value of the phion and antiphion, that is, the propagator

$$\langle w(x)w^*(y) \rangle = -\frac{uG}{uy(y,x)}, \quad (2)$$

where the angular brackets mean the vacuum expectation value of a time-ordered product. Such a source is referred to as a bilocal source. For a long time, higher sources has been used both in statistical mechanics [2] and in quantum field theory [3] to study so-called higher Legendre transformations (a more correct term would be Legendre transformations with respect to higher sources). It is also convenient to use such sources in constructing nonperturbative expansions (of the $1/N$ -expansion type) and in studying many-body equations. In the present study, use is made of the bilocal source as a convenient tool for studying phion–antiphion functions for the model specified by Eq. (1). After Gaussian functional integration with respect to the field ϕ , the functional-differential Schwinger–Dyson equation for the generating functional $Z[y] = \ln G[y]$ can be represented in the following form by using the property of translation invariance of the functional-integration measure:

$$+ g^2 \int dx_1 D_c(x-x_1) \left[\frac{u^2 Z}{uy(x_1, x_1)uy(y, x)} + \frac{uZ}{uy(x_1, x_1)} \frac{uZ}{uy(y, x)} \right] + (m_0^2 - \partial_x^2) \frac{uZ^{(0)}}{uy(y, x)} + \int dy_1 y(x, y_1) \frac{uZ^*}{uy(y, y_1)} + u(x-y) = 0. \quad (3)$$

Here, we have used the notation $D_c \hat{O} (\mu^2 - \partial^2)^{-1}$. The successive differentiation of this equation yields an infinite system of Schwinger–Dyson equations for phion–antiphion functions. In order to calculate chion functions, it is necessary to introduce a simple chion source.

The mean-field approximation is the simplest exactly solvable nonperturbative approximation for this equation. The mean-field approximation and the expansion based on it are extensively used in statistical mechanics. This expansion does not involve a small parameter

{Even though there is a small parameter in lattice field theory - in this version, the mean-field expansion is a $1/d$ expansion, where d is the dimensionality of space (see, for example, [4])}.

The mean-field expansion for the generating functional in the model specified by Eq. (1) is based on the leading-order approximation

$$\begin{aligned}
 & + g^2 \int dx_1 D_c(x-x_1) \frac{uZ^{(0)}}{uy(x_1, x_1)} \frac{uZ^{(0)}}{uy(y, x)} + (m_0^2 - \partial_x^2) \frac{uZ^{(0)}}{uy(y, x)} \\
 & + \int dy y(x, y_1) \frac{uZ^{(0)}}{uy(y, y_1)} + u(x-y) = 0. \tag{4}
 \end{aligned}$$

Once the source has been switched off, the pion-field propagator in the leading order is obtained from Eq. (4): $\Delta_0 = (m^2 - \partial^2)^{-1}$. Here, $m^2 \equiv m_0^2 - \frac{g^2}{2} \Delta(x=0)$ is the renormalized pion mass. Differentiation of Eq. (4) with respect to the source yields an equation for the two-particle function. In terms of diagrams, the calculation of the two-particle function amounts to summing chains; therefore, we refer to this version of the mean-field expansion as the chain expansion.

The calculation of the remaining multiparticle functions is also straightforward (see [5]). A feature peculiar to multiparticle functions in the leading-order approximation is their incomplete structure from the point of view of crossing symmetry. This seeming mismatch is characteristic of many nonperturbative approximations. It is inherent, for example, in the Bethe–Salpeter equation in the ladder approximation. In order to restore crossing symmetry lost in the leading-order approximation, it is necessary to consider the next-to-leading-order (NLO) approximation. Calculations in the NLO approximation show that crossing symmetry lost for the two-particle system in the leading-order approximation is restored. This restoration of crossing symmetry is typical of nonperturbative expansions in the bilocal-source formalism (in [6], one can find similar examples for other models).

The expressions for the propagators and multiparticle functions in the mean-field approximation involve divergent quantities and call for a renormalization. The renormalization procedure performed according to standard recipes shows that the asymptotic behavior of the two-particle amplitude and the pion propagator, which is related to it, in the deep Euclidean region is self-consistent in the approximation being considered only in the weak-coupling region: $g^2 < g_c^2$. For $g^2 \geq g_c^2$, the asymptotic expression for the inverse propagator becomes negative, which means that the pion propagator develops a Landau singularity in the Euclidean region. This in turn means the breakdown of basic physics principles. The existence of a critical coupling constant in the scalar Yukawa model was noticed by almost all of the authors who studied this model by various methods (see, for example, [7] and references therein). According to the opinion of some of the authors, it is obvious that the presence of such a critical constant reflects the metastability of the model. The point of view advocated in the present article is that the presence of a singularity of this type means, first of all, the inapplicability of the method in question to calculations in the strong-coupling region and entails the need for constructing more adequate nonperturbative approximations.

The two-particle approximation is one of such approximations. For the model specified by Eq. (1), it was considered in [5]. The two-particle approximation is the set of equations that consists of Eq. (3) at $\eta=0$ and the equation obtained by differentiating Eq. (3) in which the term

involving a three-body function is discarded. This set of equations can be reduced to a set of two nonlinear integral equations for the pion and chion propagators. An investigation of this set of integral equations reveals that the asymptotic behavior of the propagators in the deep-Euclidean region changes at some value of the coupling constant. At small values of the coupling constant, the propagators behave as free ones in agreement with the commonly accepted opinion that perturbation theory is dominant for this superrenormalizable theory. In the strong-coupling region, however, the asymptotic behavior changes quite drastically- both propagators in the deep Euclidean region tend to some constant limits, and this corresponds to the ultralocal limit [8]. At the critical point, the propagators behave asymptotically as $1/\sqrt{p^2}$ - that is, their behavior is intermediate between that in the case of weak coupling and that in the case of strong coupling.

Thus, one can see that, in the two-particle approximation, a self-consistent solution for propagators exists for the strong-coupling region as well-that is, the existence of a critical coupling-constant value rather looks as a phase transition in accordance with the general definition of a phase transition as a sharp change in the properties of a model in response to a smooth variation of its parameters.

In the present study, the existence of such a phase transition is confirmed by the calculation of the asymptotic behavior of the pion propagator in the ladder approximation, which is one of the versions of the mean-field expansion and which is an alternative to the chain expansion considered above. In order to construct the expansion in question, we note that, in deriving the functional-differential equation (3), the quartic term, which belongs to the $\langle w(x)w(x')w^*(y)w^*(y') \rangle$ type and which corresponds to the interaction after Gaussian integration with respect to chion fields, admits representations of two types, in the form of derivatives of the generating functional with respect to the source ,

$$\langle w(x)w(x')w^*(y)w^*(y') \rangle \Rightarrow u^2 / u_y(y', x') u_y(y, x), \quad (5)$$

or in the form

$$\langle w(x)w(x')w^*(y)w^*(y') \rangle \Rightarrow u^2 / u_y(y', x') u_y(y, x'). \quad (6)$$

Equation (3) corresponds to the version in (5), and the following equation corresponds to the version in (6):

$$g^2 \int dx_1 D_c(x - x_1) \left[\frac{u^2 Z}{u_y(x_1, x) u_y(y, x_1)} + \frac{uZ}{u_y(x_1, x)} \frac{uZ}{u_y(y, x_1)} \right] + (m_0^2 - \partial_x^2) \frac{uZ}{u_y(y, x)} + \int dy_1 y(x, y_1) \frac{uZ}{u_y(y, y_1)} + u(x - y) = 0. \quad (7)$$

These two versions are fully equivalent from the point of view of constructing a perturbation-theory series in the coupling constant or from the point of view some imaginable exact solutions of the model being considered. However, they lead to different versions of nonperturbative expansions belonging to the type of the mean-field expansion. Of course, this is due to the aforementioned incomplete crossing structure of multiparticle functions in such expansions.

For Eq. (7), the leading approximation of the mean-field expansion has the form

$$g^2 \int dx_1 D_c(x-x_1) \frac{uZ^{(0)}}{uy(x_1, x)} \frac{uZ^{(0)}}{uy(y, x_1)} + (m_0^2 - \partial_x^2) \frac{uZ^{(0)}}{uy(y, x)} + (m_0^2 - \partial_x^2) \frac{uZ^{(0)}}{uy(y, x)} + \int dy_1 Y(x, y_1) \frac{uZ^{(0)}}{uy(y, y_1)} + u(x-y) = 0. \quad (8)$$

In contrast to what we obtain from the chain expansion, in which the pion propagator is a free propagator (apart from a trivial mass renormalization) in the leading-order approximation, a nontrivial nonlinear integral equation for the propagator arises from Eq. (8) upon switching off the source. Differentiation of Eq. (8) yields an equation for the two-particle function; in terms of diagrams, the latter corresponds to the Bethe–Salpeter equation in the ladder approximation (the only difference is that the pion propagator is a solution of the aforementioned nonlinear integral equation). In view of this, the expansion in question is referred to here as a ladder expansion. The renormalized leading-order equation for the pion propagator in momentum space has the form

$$\Delta^{-1}(p^2) = m^2 + p^2 + \sum_r \Sigma_r(p^2), \quad (9)$$

where

$$\sum_r \Sigma_r(p^2) = -\Sigma(0) - p^2 \Sigma'(0), \quad (10)$$

$$\Sigma(p^2) = -g^2 \int \frac{d^4q}{(2f)^4} D_c(p-q) \Delta(q^2).$$

Here, Δ and m are, respectively, the renormalized propagator and the pion mass.

In studying the asymptotic behavior of the solution of Eq. (9) in the deep Euclidean region, relevant calculations can be simplified substantially by using the approximation in which D_c is replaced by its asymptotic expression for $p^2 \rightarrow \infty$ – that is, by the massless propagator $1/p^2$. This massless-integration approximation is quite a conventional tool in studying the deep-Euclidean region. In this approximation, Eq. (9) reduces, after integration with respect to angular variables, to a one-dimensional Volterra equation, which, in turn, reduces readily to an ordinary nonlinear differential equation. In terms of the dimensionless variables

$$t = \frac{p^2}{m^2}, \quad y = \frac{1}{m^2} \Delta^{-1}, \quad \} = \frac{g^2}{32f^2 m^2}, \quad (11)$$

this equation assumes the form

$$(\ddot{t}y) = 2(1 - \dot{y}) + \frac{2\dot{y}}{y}, \quad (12)$$

the respective boundary conditions being $y(0)=1$ and $\dot{y}(0)=1$. This equation coincides with Eq. (57) in [5], where the present author derived it in studying the two-particle approximation. The results obtained in [5] by asymptotically solving this equation therefore apply directly to Eq. (12).

In the weak-coupling region of $g < 1$, we have $y = (1 - g)t$ for $t \rightarrow 0$ and $y \sim 1/p^2$. In the strong-coupling region of $g > 1$, we have $y = \frac{1}{g-1} + 0(1)$ and $\Delta \sim \text{const}$. At the critical point of $g = 1$, we arrive at $y = \sqrt{\frac{8t}{3}} + 0(1)$ and $\Delta \sim 1/\sqrt{p^2}$.

Thus, the changeover of the asymptotic regime in the scalar Yukawa model in the two-particle approximation used in [5] also occurs within the ladder expansion considered here. Equation for the pion propagator has self-consistent solutions in the Euclidean region not only in the weak-coupling region, where the dominance of perturbation theory is obvious, but also in the strong-coupling region. In the strong-coupling region, the field propagators tend to constants, and this corresponds to the ultralocal approximation [8]. This approximation, in which the model being considered is exactly solvable, is based on discarding the kinetic terms in the Lagrangian. As a result, all of the Green's functions become combinations of delta functions in coordinate space – that is, constants in momentum space. It would be difficult to interpret this approximation physically, but one can consider it as the leading-order approximation for a strong-coupling expansion. The solutions obtained in the present study within two different approximations of the set of Schwinger–Dyson equations for propagators in the strong-coupling region at high Euclidean momenta tend to constants; that is, they asymptotically correspond to the ultralocal approximation and the strong-coupling expansion based on it. It is noteworthy that these solutions (in contrast to the ultralocal approximation itself) are free from the interpretation problem, since, in the region of low momenta, they exhibit a traditional pole behavior.

REFERENCES

1. C. Savkli, F. Gross, and J. Tjon, Phys. At. Nucl. 68, 842 (2005).
2. C. de Dominicis, J. Math. Phys. 3, 983 (1962).
3. H. D. Dahmen and G. Jona-Lasinio, Nuovo Cimento A 52, 807 (1967).
4. J. Zinn-Justin, *Quantum Field Theory and Critical Phenomena* (Clarendon Press, Oxford, 1993).
5. V. E. Rochev, J. Phys. A 46, 185401 (2013).
6. V. E. Rochev, J. Phys. A 33, 7379 (2000).
7. R. Rosenfelder and A.W. Schreiber, Eur. Phys. J. C 25, 139 (2002).
8. R. J. Rivers, *Path Integral Methods in Quantum Field Theory* (Cambridge Univ. Press, Cambridge, 1987).

COULD QUARK GLUON PLASMA BE A SOURCE OF SUPER HIGH ENERGY COSMIC RAYS?

Mais Suleymanov

Department of physics COMSATS Institute of Information Technology Islamabad

mais_suleymanov@comsats.edu.pk

Cosmic rays can provide us an important information on appearance and evolution of the Universe. Since super high energy particle beams (greater than 10^{17-18} eV) are not available in ground-based laboratories, super high energy cosmic rays are the only resource to study interactions of the particles in this energy domain. The source of super high energy cosmic rays are still unknown [1], moreover, we don't even know whether their origin is galactic or extragalactic. The flux of cosmic rays with energy up to $\sim 10^{10}$ eV is mainly attributed to solar cosmic rays, intermediate energies (up to $\sim 10^{15}$ eV) to galactic cosmic rays, and highest energies (greater than 10^{15} eV) to extragalactic cosmic rays. The electromagnetic fields generated by some massive stars are considered as plausible sources for the super high energy cosmic rays [2], however, some theoretical predictions show that these fields could be too weak to accelerate particles to energies of order 10^{15} eV.

The talk focuses on one of the possible sources of the super high energy cosmic particles and proposes the Quark Gluon Plasma (QGP) is formed in the centre of some super massive stars as a possible source of the super high energy hadrons - super high energy cosmic rays.

Azimuthal anisotropy observed experimentally at RHIC and LHC shows a collective behavior, which is likely to be formed at an early, parton, stage of the space-time evolution of the produced hot and dense matter [3]. The anisotropy indicates that matter under extreme conditions behaves as a nearly ideal liquid rather than an ideal gas of quarks and gluons. Scaling behavior of $v_2 vs p_T$ [4] gives a possibility to assume that the collective behavior of the partons defines the dynamics of the expansion in the longitudinal plane namely (see Fig.1, Number of quark (n_q) scaled v_2 as a function of scaled p_T . All data are from 200 GeV Au+Au minimum bias collisions. The dot-dashed-line is the scaled result of the fit to K_0^S and Λ .)

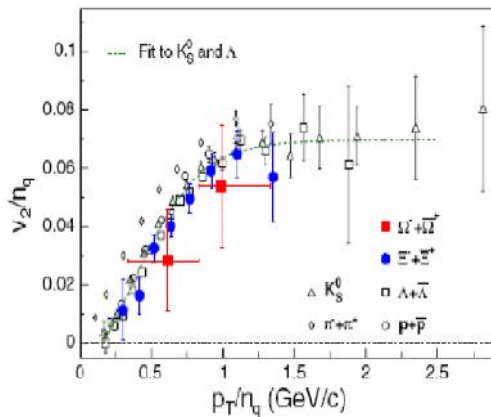


Fig. 1

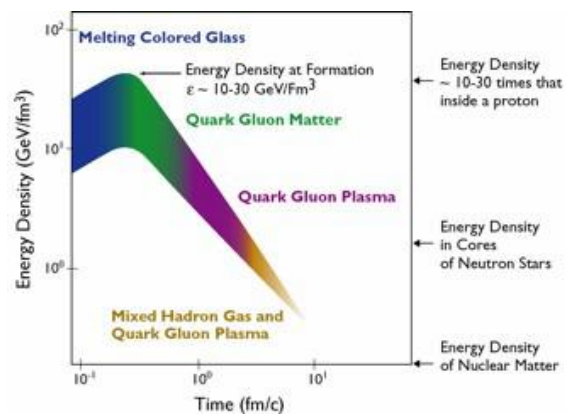


Fig.2

The first measurement of elliptic flow of charged particles in *Pb-Pb* collisions at the center of mass energy per nucleon pair $\sqrt{s_{NN}} = 2.76$ A GeV [5], with the ALICE detector, demonstrated

that the $v_2(p_T)$ does not change within uncertainties from the $\sqrt{s_{NN}} = 200 \text{ GeV}$ to 2.76 TeV . ALICE LHC data demonstrated that values of the v_2 increase with energy.

We support that above mentioned parton collective behavior could lead to formation of coherent parton system likes “Mini” Color Glass Condensate (M CGC). It means parton collective behavior and interactions in hot and dense matter, in the QGP could lead to increase locally the density of the matter due to for example parton percolation (decreasing the volume) [6] and fast growth of the number of gluons (increasing the energy) and something likes M CGC could be formed [7] (Fig.2)

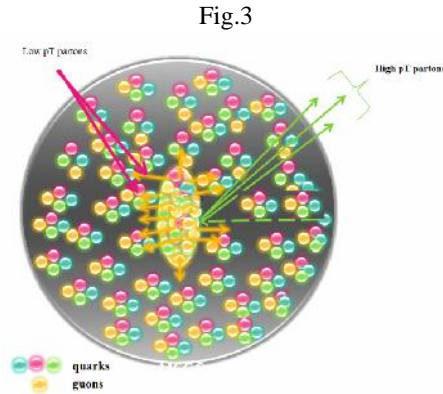


Fig.3. Shows schematically the coherent prompt parton production by collected parton system. As a result of coherent interaction with collected partons(s) within the M CGC could be emitted the partons with limited high-transfer energy and hadronized. The energy of the hadrons would depend on the parameters of the system and limited by the total energy of the mini M CGC only –could be obtained from the parton Coherent Tube Model (CTM) [8].

It is widely discussed that the dense and/or hot quark matter– QGP can be formed in the center of some massive stars, for example as a result of supernova explosion, and could lead to the neutron stars formation [9] and formation of the Quark Stars [10]. The M CGC might formed in the centre of the stars and be a source of super high energy hadrons -super high energy cosmic rays.

REFERENCES

1. V.L. Ginzburg "The origin of cosmic rays (Forty years later)" Phys. Usp. 36 (7) 587-591 (1993)
2. K.V. Ptitsina, S.V. Troitsky. Phys. Usp. 187 (7) 587–591 (2010)
3. V. A. Okorokov. Physics of Atomic Nuclei, 2009, Vol. 72, No. 1, pp. 147–160.; J.Adamset al., Phys.Rev.Lett. 95, 122301 (2005); A. Adareet al., Phys. Rev. Lett. 98, 162301 (2007).
4. J.Adamset al., Phys. Rev. Lett. 95, 122301 (2005); A. Adareet al., Phys. Rev. Lett. 98, 162301 (2007)
5. K. Aamodt et al. arXiv:1011.3914v1 [nucl-ex] 17 Nov 2010
6. H. Satz, arXiv:hep-ph/0212046; J. Brzychczyk, arXiv:nucl-th/0407008; C. Pajares, Eur. Phys. J. C43, 9 (2005) arXiv:hep-ph/0501125
7. Larry McLerran .arXiv:0812. 4989v1, hep-ph 2008

8. Y. Afek, G. Berlاد, G. Eilam and A. Darf. Phys. Rev. Lett. **37** 947 (1976); Y. Afek et al. Techkibon Hifa preprint TECHNION-PH-7722, 1978; Afek Y, Berlاد G, Eilam G and Dar A 1976 Technion Report No. PH-76-12; Afek Y, in Proceedings of the Multiparticle production Topical Meeting ICTP, Trieste, Italy, 1976, edited by G. Bellini (International Centre For Theoretical Physics, Trieste, 1976) p.591; Takagi Fujio, Lett. NuovoCimento, 14,(1975)559; Prog. Theor. Phys., 57(1977) 939; Berlاد G, Dar A and Eilam G, Phys. Rev.D , 13(1976) 161; Ta-Chung Meng, Phys.Rev. D, 15 (1977) 197.
9. A.G. Lyne and F.G. Smith. *Pulsar Astronomy*. Cambridge University Press, 1990.
10. N. Itoh, Prog. Theor. Phys. 44, 291 (1970); E. Witten. Phys. Rev. D **30**,272 (1984).

**SUPER SYMMETRY AND CONSERVATION OF PHASE VECTOR-POTENTIAL
CIRCULATION ON THE BASIS OF FIELD TRANSISTORS WITH
CIRCULATION RING GEOMETRY (THROUGHOUT HISTORY OF SCIENCE
AND TECHNOLOGY)**

P. Asatiani

Georgian Technical University

pavleasatiani@mail.ru

Discovery of superconductivity and helium superfluidity in experiments of Camerling-Onnes and Kapitza awarded with Nobel prizes have led to the formation of macroscopic quantum physics of condensed matter and postulation of macroscopic wave function of Bose-Einstein condensate of ideal gas in the works of F. London, R. Feinman, Bardeen-Cooper-Schrieffer leading to quantized vortexes based on the below-mentioned circulation:

$$\Psi(r) = \Psi_0 \exp[i\phi(r)]$$

where Ψ_0 is amplitude of wave function, r – vector \vec{r} , ϕ – phase of wave function's real part of the radius-vector.

Due to these works appearance in quantum metrology fundamental constant as above-mentioned circulation is established experimentally by W. Vinen and B. Josephson. In such a way the indicated relict factor of helium in the Universe formation from the very beginning, is of great historical and practical interests [[1], Asatiani (1977)].

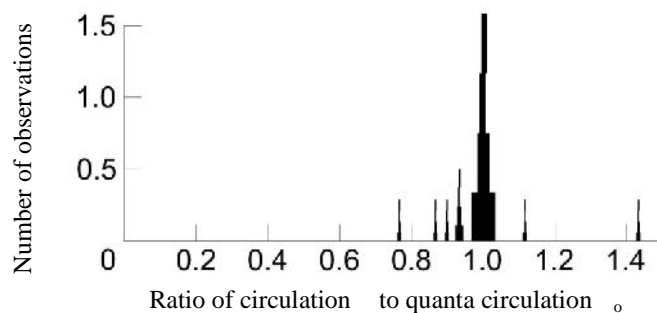


Fig. 1. Discovery of Circulation in Vinen's experiment

The fundamental condition of the circulation quantification has been obtained as follows:

$$\int_L 2m\vec{v}_s dl + \int_L 2e\vec{A}dl = nh \quad (1)$$

where L is contour of the circulation, \vec{v}_s - velocity of superfluid motion, m – mass of helium atom, e – charge of electron, A – Maxwell vector-potential; h – Planck's constant, n - order of quantification.

Generalization of experimental equations of quantum hydrodynamics of superfluids and Cauchy circulation integrals in (1) expression has led us to indivisible two-dimensional phenomenon of motion – the circulation of phase angular wave vector – real part of wave function (further the circulation) of the condensate using Feynman theory

$$\Gamma = \int \nabla\{\phi\} dl \quad (2)$$

where $\nabla\{\phi\}$ is the boundless phase velocity of superfluidity limited due to our feelings organs possibilities boundaries only (see below neuron in Fig. 4 with inbedded circulation); dl – differential of coherence (correlation) length in the space of generalized coordinates ($\{l\}$).

Defining motion as the Bohr complementarity of oppositions - the change and coherence (correlation) we have come to the universal kind of motion as the indivisible change of phase and its coherence giving circulation of matter, and to the Planck's constant as the derivative of more fundamental value of circulation than the “elementary” action quanta following the relation (1).

As is known Einstein has built his theory of relativity on the basis of the space curvature tensor using the Maxwell electrodynamics of continuous media. As a result we have come to conclusion that the space curvature itself is the derivative of the universal circulation. As a result the charge and mass are the derivatives of the same space-time curvature tensor revealing the same nature and carrying only the function of bond coefficients between Planck's constant – action quanta and circulation in (1) expression. Circulation generates the united space-time. Space and time are indivisible as derivatives of the same nature circulation in our model.

Being engaged in history of science and technology our analysis of the whole history of science shows the universal character of circulation, which is in the basics of all fundamental physical experiments and observations [1] beginning with the very first lines of the Old Testament of the Universe Creation “... and the God Soul carrying on the waters...”; with the circulation on the hydrodynamic orbits closed on the God Soul. Circulation itself in the classical definition is a vector of a point moving on the orbits (see Fig. 4, D).

As a result of the above-mentioned experimental facts and postulates the boundary between quantum and classical physics defined with the Heisenberg principle of uncertainties is being cancelled and we have come to the classical physics on the new level of universal motion as the nonquantized classical circulation.

Following the informatology (science of the information nature studying) approved with the special UNO Doctrine of Informatiological Development of the Mankind in the XXI century we have defined accordingly the information as a system of relations [1] lying in the basis of all kinds of correlations in Nature of the Creator. And information in the language of the circulation has got the fundamental definition throughout Bohr-Heisenberg complementarity of uncertainties as the united correlation of oppositions – phase wave vector change and its coherence in the circulation leading us to the two-dimensional Universe and lying in the basis of all kinds of interactions, being defined through phase shifts and their correlations. As soon as we try to fix

separately phase change or its coherence we come to uncertainty – fundamental sense of Heisenberg principle based on the Bohr's complementarity.

As a result of above-mentioned all matter particles from Cooper pairs, electron-hole pairs up to Higgs bosons can be represented as of the same nature coherent de Broglie wave packages of circulations throughout (positive and negative-oriented) Kepler-Bohr stationary orbits superpositions and revealed also in the Hudson's [1] two-dimensional function unity of maximal likelihood of mathematical expectation and dispersion of the random values of wave vectors (vector whose all directions are equiprobably coincided with travelling wave direction generating scalar Bose-Einstein condensate) generalized in the geometry spaces of vortexes from Democritus, Descartes, Newton up to neurons computing united on the same basis of the circulation in our model (see Fig. 4. A).

So instead of unsuccessful searching of **elementary particles** we have come to fundamental **“elementary” physical phenomenon as a circulation** forming our Universe.

Having repelled from Newton method of fluxes and Minkowsky geometry of numbers with his fundamental tangency of algebraic curves finely noted by D. Gilbert and Weyl in their introduction to “Space and Time” by Minkowsky astonishingly have coincided with Euler approach in his “Analysis of Infinitesimal” introduction. All these signs of the language including “zero” and “infinity” are constructed in our model as geometrical patterns of derivative of curves tangency (The Cross) in the circulation with opposite signs (following physics of Landau rotons defined by Landau as “a soul of disappeared vortex”).

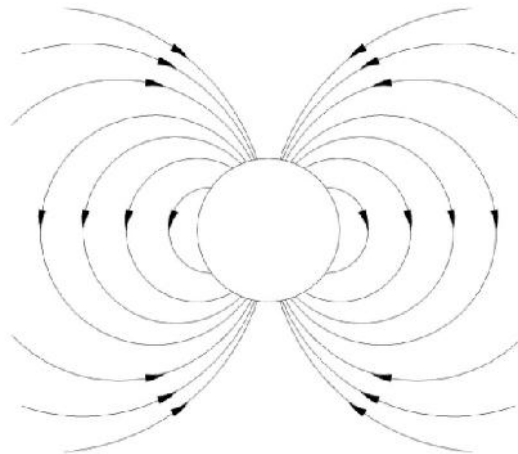


Fig. 2. Landau's Physical Model of Roton [[1], Asatiani (1977)]]

On the basis of above-mentioned we have come to conclusion that all history of physics throughout quantized vortexes, circular motions or spins generating matter is based on the circulation of phase wave vector of wave function as a new language fundamentals generalized finally in the theories of superconductivity and superfluidity by Onsager-Feynman and Bardeen-Cooper – Schrieffer (experimentally approved accordingly in Vinen's and Josephson's experiments), awarded with Nobel Prizes.

Earlier we have constructed the computer machine as the field MOS (metal-oxide semiconductor) transistor with circulation ring geometry tested successfully on the cosmic apparatus revealing the negative transversal resistor of tunneling phase transition between normal

matter (visual) and unconscious superfluid and superconducting (spiritual) states according to the two-fluid model of superconductivity (superfluidity) of semiconductors [[1], Asatiani (1977)].

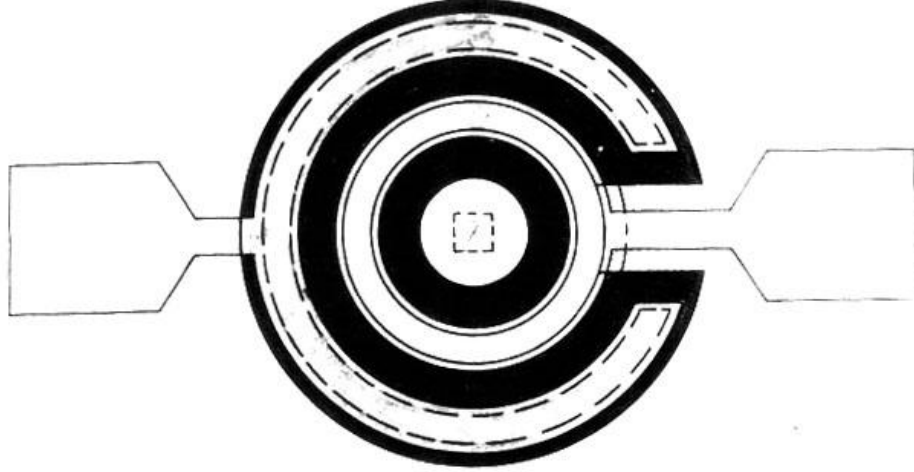


Fig. 3. MOS Field Transistor with Circulation Ring Geometry

This superfluid state experimentally correlated with 5-7% of the above-mentioned Bose-Einstein condensate (BEC) (BEC discoveries awarded with Nobel Prize), in our opinion is the limit state of experimentally interpreted part of the Universe (so-called “black matter”) due to the above-mentioned natural neurocomputing’s limited possibilities.

As a result we have come to the basics of universal mechanism of our geometrodynamics language on the wave vector circulation, put in the very nature of neuron (see Fig. 4 - model of neurons with superconducting axial and radial ion currents of the circulation) as the universal machine.

Using the circulation as fundamentals of universal language we have transferred the circulation in the machine language of information technology too. Following our above-mentioned MOS field transistors with circulation ring geometry last investigations in nanotechnology show for today the revealed opportunity for construction of the spin transport and Internet machine on the basis of circulation taking into account that the spin itself is the derivative of the circulation.

As a result of last investigations in nanotechnology for today the fundamental type of machines remains above-mentioned MOS field transistors with circulation ring geometry.

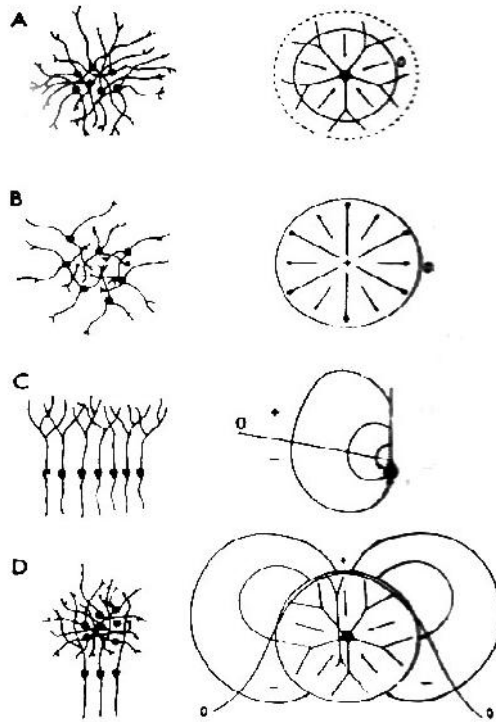


Fig. 4. Experimental Model of Neuron.

Examples of closed-open and open-closed fields for different types of neuron pools in the central nervous system (see Lopes da Silva and Ab van Rotterdam in [1])

So we have got for today the model of machine with universal computing language including neurocomputing, on the basis of circulation, which communicate two natures micro- and macrocosmos, its ideal (superfluid) and normal components in the two-fluid model of superfluids, uniting cognizable and incognizable parts of our Universe with the feedback.

Materials have been protected at Nobel Symposia Committee.

REFERENCES

1. P. Asatiani, V. Chavchanidze. Introduction to the Physical and Mathematical Modelling of Information System, Kybernetes. vol. 39, 1, pp. 140-142, 2010.